

Andres Lahe

ÕHUKESESEINALISTE VARRASTE TAKISTATUD VÄÄNE EST-meetod

$$\left[T_t \hat{\theta}' - B_\omega \hat{\theta}'' dx \right] dx +$$

M_ω

$s - \text{sisejõudude töö}$



Raamatus kirjeldatakse õhukeseseinaliste varraste takistatud väändel tekki-
 kivaid kooldenormaalpingeid ja kooldenihekpeid. Käsitletakse varraste
 liittööseisundit põhjustava koormuse ülekandmist elastsele teljele. Tuuakse
 avaldised bimomendi ja koguväändemomendi määramiseks. Varrassüsteemi-
 de takistatud väände rajaülesande püstitamisel esitatakse takistatud väände
 diferentsiaalvõrrandid ning kinemaatilised ja staatilised rajatingimused. Raja-
 ülesannete lahendamiseks kasutatakse EST-meetodit. Seda meetodit testitakse
 ülesannetega, millel on juba teiste meetoditega leitud lahendid. Raamatu lisas
 on viited GNU Octave'iga kirjutatud programmidele. Lõpuks tuuakse sõnasele-
 tuste loend koos vastetega saksa, inglise ja vene keeles.



Autorist

Andres Lahe on sündinud 30. märtsil 1938
 Kõnnu vallas Harjumaal. 1956 lõpetas Loka
 keskkooli. 1956–1959 õppis Tartu Riiklikus
 Ülikoolis. 1964 lõpetas Tallinna Polütehnilise
 Instituudi tööstus- ja tsiviilehituse insenerina.
 1965–1970 täiendas teadmisi Leningradi Riik-
 liku Ülikooli matemaatika ja mehaanika tea-
 duskonna kaugõppes. Õppis aspirantuuris Eesti
 Teaduste Akadeemia Kübermeetika Instituudi
 juures, kus kaitses füüsika-matemaatikakandi-

daadi kraadi 1973. Kandidaaditöö teemaks oli mittelineaarne lainelevi plaati-
 des ja koorikutes. 1959. aastast töötas Tallinna Tehnikaülikoolis ehitustöölise,
 laborandi, inseneri, dotsendi ja professorina. Aastast 2005 on Tallinna Tehnika-
 ülikooli emeritprofessor.

$$\left[\begin{matrix} (W_r - B_\omega) \hat{\theta}' \\ B_\omega \hat{\theta}' \end{matrix} \right] \Big|_0$$

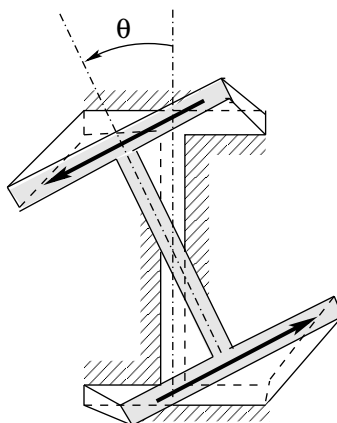
W_r – rajajõudude töö



Andres Lahe

Õhukeseseinaliste varraste takistatud vääne

EST-meetod



Keeletoimetaja Aime-Rutt Hall
Kaane kujundanud Tiia Eikholm

Autoriõigus: [Andres Lahe](#), 2016

ISBN 978-9949-23-907-8 (trükis)

ISBN 978-9949-23-908-5 (PDF)

[Tallinna Tehnikaülikooli kirjastus](#) 2016



See raamat on avaldatud Creative Commons Attribution-ShareAlike 3.0 litsentsi alusel. Litsentsi terviktekstiga tutvumiseks külastage aadressi <http://creativecommons.org/licenses/by-sa/3.0/ee/> või kirjutage aadressil Creative Commons, 543 Howard Street, 5th Floor, San Francisco, California, 94105, USA.



Raamatus sisalduvad väljavõtted programmidest alluvad GNU GPL 2.0 või uuemale litsentsile. Litsentsi terviktekstiga tutvumiseks külastage aadressi <http://www.gnu.org/licenses/old-licenses/gpl-2.0.html> või kirjutage aadressil Copyright (C) 1989, 1991 Free Software Foundation, Inc. 51 Franklin Street, Fifth Floor, Boston, MA 02110-1301, USA.

Õhukeseseinalisi vardaid kasutatakse lennuki-, laeva- ja sillaehituses ning ehituskonstruksioonides. Õhukeseseinaliste varraste projekteerimisel tuleb arvestada ka varda väänet, mida on käsitletud vaid põgusalt raamatus „Teraskonstruksioonide arvutus Eurokoodeks 3 järgi“ [Loo08]. Tänapäevani puudub eestikeelne kirjandus, ka õppematerjal, takistatud väändega seotud suuruste arvutamiseks. Siin esitatu püüab seda lünka täita.

Valik raamatus kasutatud termineist koos vastetega saksa, inglise ja vene keeles on koondatud sõnaseletuste loendisse „**Terminid ja sümbolid**“.

Esimeses peatükis vaadeldakse Vlassovi hüpoteese õhukeseseinalise varda takistatud väände kohta. Tuuakse avaldised **kooldenormaalpingete**, **kooldenihepingete** ja **bimomendi** leidmiseks ning määratakse märgikokkulepped väändel. Kirjeldatakse varraste liitööseisundit põhjustava koormuse ülekandmist **elastele teljele**.

Teises peatükis esitatakse takistatud väände diferentsiaalvõrrandid. Tuletatakse takistatud väände põhivõrrandid ja laiendatud ülekandemaatriks EST-meetodiga lahendamiseks. Näidatakse, et varda takistatud väände ülesannete lahendamisel on EST-meetodiga leitud suured heas kooskõlas raamatus [Sad63] toodud tulemustega.

Kolmas peatükis käsitleb õhukeseseinaliste varrassüsteemide arvutamist. Seatakse toetingimused (rajatingimused) varrassüsteemi kui terviku vabastamisel välissidemetest. Varrassüsteemi jaotamisel osadeks vabastatakse elemendid sisesidemetest¹: sõlmedes elemente ühendavad sidemed asendatakse pidevus- ja tasakaalutingimustega (rajatingimustega). Sidemetest vabastamise printsiibi ning kinemaatiliste ja staatiliste rajatingimuste rakendamist vaadeldakse järgmistes näidetes:

- jätkuvtala arvutus EST-meetodiga (lk 109),
- murtud teljega L-tala arvutus EST-meetodiga (lk 121),
- murtud teljega Π -tala arvutus EST-meetodiga (lk 137).

Eesmärgiga testida EST-meetodit valiti näideteks ülesanded, millele olid juba olemas jõu- ja deformatsioonimeetodiga leitud lahendid [Bõt62], [Sad63].

Lisas A on vaatluse all õhukeseseinalise varda ristlõike geomeetrilised karakteristikud: **sektorkoordinaat**, **staatiline sektormoment**, **sektortsentrifugaalmoment**, **sektorkoordinaadi nullpunkt**, **sektorinertsimoment** jt.

¹ Sise- ja välissidemed vt [Jür85, lk 9].

Lisa B tutvustab elastsete varrassüsteemide energiateoreemi, milles sisalduv rajajõudude töö avaldis on oluline rajatingimuste püstitamisel.

Lisas C esitatakse õhukeseseinalise tala takistatud väände ülekandevõrrandid ja koormusvektorid.

Lisast D leiab avaldised, mis aitavad paindemomendi ja koguväändemomendi ühendussõlmes kontakti panna.

Lisas E on viited programmidele jätkuvtala ja murtud tala väände arvutamiseks.

Raamatus viidatakse vabavara GNU Octave^{2,3} abil kirjutatud programmidele. Siin peab arvestama, et kümnendkoha märkimiseks kasutatakse punkti. Nii on arvutuspäevikutes kümnendkohad arvus eraldatud punktiga.

Raamatule lisatud CD-plaadilt leiab arvuti kettaseadme tähisele vastava pdf-faili:

Kettaseadme tähis	Pdf-fail
D:	avatud6huke_D.pdf
E:	avatud6huke_E.pdf
F:	avatud6huke_F.pdf
S:	avatud6huke_S.pdf
Z:	avatud6huke_Z.pdf
/media/cdrom0	avatud6huke_cdrom0.pdf
/media/E_OPE	avatud6huke.pdf

Kõrgetasemelises programmeerimiskeeles GNU Octave kirjutatud programmide vaatamiseks soovitage installida Notepad++ redaktori⁴.

Sobivad failid võib CD-plaadilt kirjutada mälupeale. USB-draivi tähist arvutis saab muuta (vt *Changing drive letters for the USB stick*)⁵.

Vanemas pdf-failide lugejas/vaatajas⁶ tuleb failis leiduvate viidete avamiseks aktiveerida tugevdatud turbe suvand (*Enable enhanced security*)⁷.

Andres Lahe

² <http://vabavara.eu/index.php?programm=501> (03.02.2016)

³ http://en.wikipedia.org/wiki/GNU_Octave (03.02.2016)

⁴ <https://notepad-plus-plus.org/> (16.03.2016)

⁵ http://digi.lib.ttu.ee/opik_eme/Structural_Mechanics_Book_with_Media_and_Computer_Programs.pdf#page=4 (16.03.2016)

⁶ <https://helpx.adobe.com/acrobat/kb/install-reader-xi-windows2.html> (16.03.2016)

⁷ <https://helpx.adobe.com/acrobat/using/enhanced-security-setting-pdfs.html> (16.03.2016)

Sisukord

Sisukord	5
Joonised	9
Tabelid	13
1 Põhimõisted	15
1.1 Avatud ja suletud ristlõikega vardad	15
1.2 Vaba ja takistatud vääne	15
1.3 Siirete ja deformatsioonide vahelised seosed	18
1.4 Kooldenormaalpinged	21
1.5 Tasakaaluvõrrandid ristlõike kõverdumisel	24
1.6 Sisejõududevahelised seosed	26
1.6.1 Seos kooldepingete vahel	26
1.6.2 Seos bimomendi ja kooldeväändemomendi vahel	26
1.6.3 Seos üldväändemomendi ja lausmomendi vahel	28
1.7 Kooldenihkepinged	28
1.8 Kooldenihkepinged ja pikikoormus	30
1.9 Märgikokkulepped väändel	32
1.10 Koormused	33
1.10.1 Põikkoormuse ülekandmine elastsele teljele	34
1.10.2 Momentkoormuse ülekandmine elastsele teljele	35
1.10.3 Pikikoormuse ülekandmine elastsele teljele	37
1.11 Toed	41
2 Takistatud väände võrrandid	43
2.1 Takistatud väände diferentsiaalvõrrandid	43
2.1.1 Väändenurga elastse joone diferentsiaalvõrrand	43
2.1.2 Väändenurga elastse joone diferentsiaalvõrrand pikikoormusel	44
2.1.3 Väändenurga elastse joone diferentsiaalvõrrand	46
2.1.4 Homogeenne diferentsiaalvõrrand	46
2.1.5 Diferentsiaalvõrrandi erilahendid	48
2.2 Ülekandemaatriks takistatud väändel	52
2.2.1 Koormusvektor takistatud väändel	53

2.3	Põhivõrrandid takistatud väändel	53
2.3.1	Ülekandevõrrandite lahenduste testimine	54
3	Õhukeseseinalised varrassüsteemid	107
3.1	Rajatingimused	109
3.1.1	Jätkuvtala arvutus	109
3.1.2	Murtud teljega L-tala arvutus	121
3.1.3	Murtud teljega II-tala arvutus	137
A	Õhukeseseinalise varda ristlõike geomeetriselised karakteristikud	151
A.1	Sektorkoordinaat	151
A.2	Staatiline sektormoment	153
A.2.1	Vereštšagini võte	155
A.2.2	Simpsoni valem	156
A.2.3	Simpsoni 3/8-valem	158
A.3	Sektortsentrifugaalmomendid	158
A.4	Sektorkoordinaadi teisendused	159
A.4.1	Sektorkoordinaadi alguspunkti muutmine	159
A.4.2	Sektorkoordinaadi pooluse muutmine	160
A.5	Lõikekese	161
A.6	Sektorkoordinaadi peanullpunkt	163
A.7	Peasektorkoordinaadid	164
A.8	Sektorinertsimoment	165
A.9	Valemid sektorinertsimomendi määramiseks	165
B	Töö õhukeseseinalise varda väändel	167
B.1	Väände töö	167
B.2	Varrassüsteemi rajaülesanne	169
C	Põhivalemid	171
C.1	Koormusvektorid	173
D	Vektorite teisendused	175
D.1	Kohalik ja üldteljestik	175
D.2	Koordinaatide teisendus	175
D.3	Jäiga keha pööre	179
D.4	Kvaasi- ja semitangentsiaalsed momendid	180
D.5	Kvaasi- ja semitangentsiaalsed pöörded	182
D.6	Pseudovektor	185
D.6.1	Suurte pöörete maatriksesitus	185
D.6.2	Üksik pseudovektor	187
D.6.3	Suured pöörded ja kvaternioonid	188

E Arvutiprogrammid	191
E.1 Programmid tala väände arvutamiseks	191
E.2 Programmid murtud tala arvutamiseks	197
E.3 Ristlõike geomeetrised karakteristikud	199
Kirjandus	201
Aineregister	207
Terminid ja sümbolid	211
Näited	
1.1 Kooldenormaalpingete epüür	23
1.2 Kooldenihkepinged	29
2.1 Lausmoment konsoolil	55
2.2 Koondmoment konsoolil	62
2.3 Koondbimoment konsoolil	68
2.4 Lausmoment talal	74
2.5 Koondmoment talal	80
2.6 Koondbimoment talal	86
2.7 Pikikoormus vardal	92
2.8 Laus- ja koondkoormus konsoolil	98
3.1 Jätkuvtala arvutus ülekandevõrranditega	109
3.2 L-tala arvutus ülekandevõrranditega	121
3.3 II-tala arvutus ülekandevõrranditega	137
A.1 Sektorkoordinaat	153
A.2 Staatileine sektormoment	154
A.3 Sektortsentrifugaalmomendid	158
A.4 Õhukeseseinalise varda lõikekese	162
A.5 Sektorkoordinaadi peanullpunkt	164
A.6 Peasektorkoordinaatide epüür	164
A.7 Sektorinertsimoment	165
A.8 Õhukeseseinaliste varraste ristlõike parameetrid	166
D.1 Vektorite teisendus pöördel	178

Joonised

1.1	Avatud ja suletud ristlõikega vardad	15
1.2	Vabavääne	16
1.3	Takistatud vääne	16
1.4	Kooldepinged	17
1.5	Ristkülik keskpinnal	18
1.6	Ristküliku deformatsioon	19
1.7	Ristküliku pööre	19
1.8	Keskjoone pööre	20
1.9	Ristlõike kooldumine takistatud väändel	21
1.10	U-profilil peasektorkoordinaadid	23
1.11	Kooldenormaalpinged U-profilis	24
1.12	Väändemomendid	25
1.13	Kooldenormaalpinged	25
1.14	Lausmoment	28
1.15	Kooldenihekpinged	29
1.16	Pikikoormus	30
1.17	Märgikokkulepped	32
1.18	Bimomendi märgireegel	33
1.19	Koormused	34
1.20	Koondatud põikkoormuse lahutamine	34
1.21	Ühtlaselt jaotatud põikkoormuse lahutamine	35
1.22	Koondatud momentkoormuse lahutamine	36
1.23	Ühtlaselt jaotatud momentkoormuse lahutamine	36
1.24	Koondatud pikikoormuse lahutamine	37
1.25	Koondatud pikikoormuse lahutamine	38
1.26	Moment keskpinnas	39
2.1	Lausmoment konsoolil	55
2.2	Lausmoment konsoolil. Muutujad	56
2.3	Lausmoment konsoolil. Hõreda maatriksi spA muster	57
2.4	Pinna pluss- ja miinuspool	59
2.5	Lausmoment konsoolil. Epüürid	60
2.6	Koondmoment konsoolil	62
2.7	Koondmoment konsoolil. Muutujad	63

2.8	Koondmoment konsoolil. Epüürid	66
2.9	Koondbimoment konsoolil	68
2.10	Koondbimoment konsoolil. Muutujad	69
2.11	Koondbimoment konsoolil. Epüürid	72
2.12	Lausmoment talal	74
2.13	Lausmoment talal. Muutujad	75
2.14	Lausmoment talal. Epüürid	78
2.15	Koondmoment talal	80
2.16	Koondmoment talal. Muutujad	81
2.17	Koondmoment talal. Epüürid	84
2.18	Koondbimoment	86
2.19	Koondbimoment. Muutujad	87
2.20	Koondbimoment talal. Epüürid	90
2.21	Pikikoormus vardal	92
2.22	Pikikoormus vardal. Muutujad	93
2.23	Pikikoormus vardal. Epüürid	96
2.24	Laus- ja koondkoormus konsoolil	98
2.25	Laus- ja koondkoormus konsoolil. Muutujad	99
2.26	Laus- ja koondkoormus konsoolil. Hõreda maatriksi spA muster	102
2.27	Laus- ja koondkoormus konsoolil. Epüürid	103
3.1	Kooldumine sõlmes	107
3.2	Jätkuvtala toed ei võimalda pööret	108
3.3	Elastsete tugedegaga jätkuvtala	108
3.4	Jätkuvtala vääne	110
3.5	Jätkuvtala muutujad	111
3.6	Jätkuvtala. Epüürid	117
3.7	Jätkuvtala hõreda maatriksi spA muster	120
3.8	L-tala paine ja vääne	121
3.9	L-tala paine ja vääne. Muutujad	122
3.10	L-tala koormusega m_x . Epüürid b–d	127
3.10	L-tala koormusega m_x . Epüürid e–j	128
3.11	L-tala hõreda maatriksi spA muster	131
3.12	L-tala koormusega q_z . Epüürid b–d	133
3.12	L-tala koormusega q_z . Epüürid e–j	134
3.13	II-tala paine ja vääne	137
3.14	II-tala paine ja vääne. Muutujad	138
3.15	II-tala paine ja vääne. Epüürid b–f	145
3.15	II-tala paine ja vääne. Epüürid g–j	146
3.16	II-tala hõreda maatriksi spA muster	150
A.1	Keskjoon	151
A.2	Sektorpindala	152
A.3	Vasaku ja parema käe teljestik	152

A.4	Sektorkoordinaat	153
A.5	Staatiline sektormoment	154
A.6	Staatiline sektormoment lõikes I–I	155
A.7	Vereštšagini võte	155
A.8	Epüüride pindalad	156
A.9	Märgid Simpsoni valemis	157
A.10	Sektortsentrifugaalmoment	159
A.11	Sektorkoordinaadi alguspunkti muutmine	160
A.12	Sektorkoordinaadi pooluse muutmine	161
A.13	Sektorkoordinaadi nullpunktid	163
A.14	Peasektorkoordinaadid	165
A.15	U-profil	166
D.1	Koordinaatide teisendus	175
D.2	Varda suunakoosinused	177
D.3	Euleri nurgad	179
D.4	Pöördenurkade mittekonservatiivsus fikseeritud telgede suhtes	179
D.5	Momentide mittekonservatiivsus fikseeritud telgede suhtes	180
D.6	Kvaasi- ja semitangentsiaalsed momendid	181
D.7	Jälgiv ja semitangentsiaalne moment	182
D.8	Jälgiv ja semitangentsiaalne pööre	183
D.9	Semitangentsiaalsete pöörete kommutatiivsus	183
D.10	Semitangentsiaalsete pöörete reeglid	184
D.11	Pseudovektor	186
D.12	Üksik pseudovektor	187

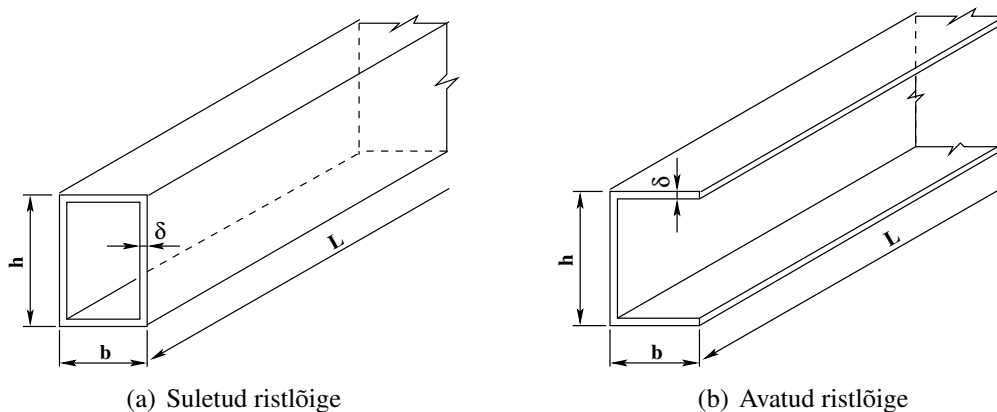
Tabelid

1.1	Koormusskeemid õhukeseseinalise varda takistatud väändel	40
1.2	Toed õhukeseseinalise varda väändel	41
2.1	Erilahendid õhukeseseinalise varda väändel	51
2.2	Lausmoment konsoolil. Tulemuste võrdlus	61
2.3	Koondmoment konsoolil. Tulemuste võrdlus	67
2.4	Koondbimoment konsoolil. Tulemuste võrdlus	73
2.5	Lausmoment talal. Tulemuste võrdlus	79
2.6	Koondmoment tala keskel. Tulemuste võrdlus	85
2.7	Koondbimoment tala keskel. Tulemuste võrdlus	91
2.8	Pikikoormus vardal. Tulemuste võrdlus	97
2.9	Laus- ja koondkoormus konsoolil. Tulemuste võrdlus	104
2.10	Rajatingimused õhukeseseinalise varda väändel	105
3.1	Jätkuvtala. Tulemuste võrdlus (1)	118
3.2	Jätkuvtala. Tulemuste võrdlus (2)	119
3.3	Jätkuvtala. Tulemuste võrdlus (3)	120
3.4	L-tala koormusega m_x . Tulemuste võrdlus (1)	129
3.5	L-tala koormusega m_x . Tulemuste võrdlus (2)	130
3.6	L-tala koormusega q_z . Tulemuste võrdlus (1)	135
3.7	L-tala koormusega q_z . Tulemuste võrdlus (2)	136
3.8	II-tala koormusega m_x . Tulemuste võrdlus (1)	147
3.9	II-tala koormusega m_x . Tulemuste võrdlus (2)	148
3.10	II-tala koormusega m_x . Tulemuste võrdlus (3)	149
C.1	Koormusvektorid õhukeseseinalise varda väändel (1)	173
C.2	Koormusvektorid õhukeseseinalise varda väändel (2)	174

1. Põhimõisted

1.1 Avatud ja suletud ristlõikega vardad

Õhukeseseinalise varda seina paksus δ on varda teiste mõõtmetega võrreldes väike: $\delta \ll b \approx h < L$ (jn 1.1). Õhukeseseinalised vardad võivad olla suletud ristlõikega (jn 1.1a) või avatud ristlõikega (jn 1.1b).



Joonis 1.1. Avatud ja suletud ristlõikega vardad

Õhukeseseinalise suletud ristlõikega varda arvutus erineb vähe mitteümara ristlõikega varda arvutusest, mis leidub õpikus [KMPR12]. Õhukeseseinalise avatud ristlõikega varda arvutustes kehtib ristlõigete tasandilisuse hüpotees (Bernoulli¹ hüpotees) ainult koormuse teatud rakendamisel ristlõikes.

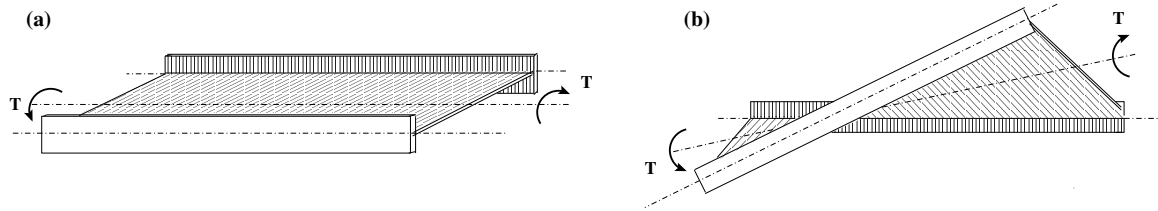
1.2 Vaba ja takistatud vääne

Kui kõik ristlõiketasandid kõverduvad takistuseta ja ühtmoodi, siis nimetatakse vääned vabaväändeks ehk takistamata väändeks (sks Saint-Venant Torsion, ingl St. Venant torsion, вч чистое кручение е свободное кручение).

Vabaväändemomendi (St. Venant'i väändemomendi) T_{xt} ja väändenurga $\theta(x)$ tuletis varda teljesuunalise koordinaadi x järgi on omavahel seotud (vt väändenurga diferentsiaalvõrrand [KMPR12]).

$$T_{xt} = GI_t \theta' \quad (1.1)$$

¹ Jacob Bernoulli (1655–1705), šveitsi matemaatik.



Joonis 1.2. Vabavääne

kus

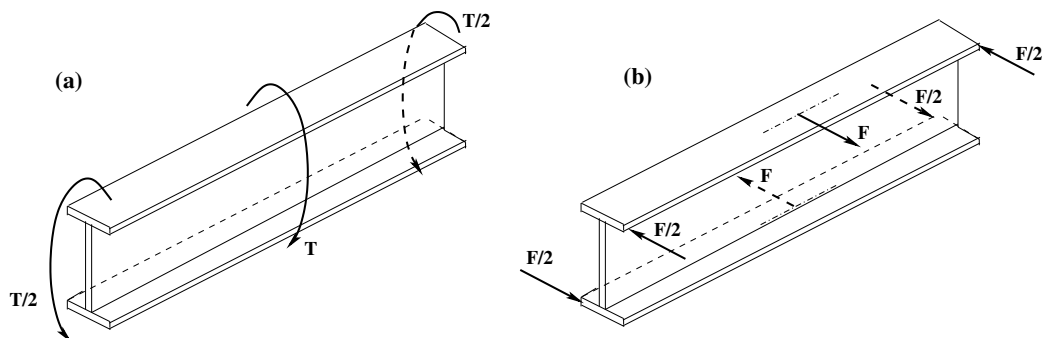
 GI_t – vabaväändejäikus; G – nihkeelastsusmoodul e nihkemoodul e Coulomb'i² moodul; I_t – väändeinertsimoment.

$$I_t = \frac{1}{3}\eta \sum_{i=1}^n b_i \delta_i^3 \quad (1.2)$$

kus

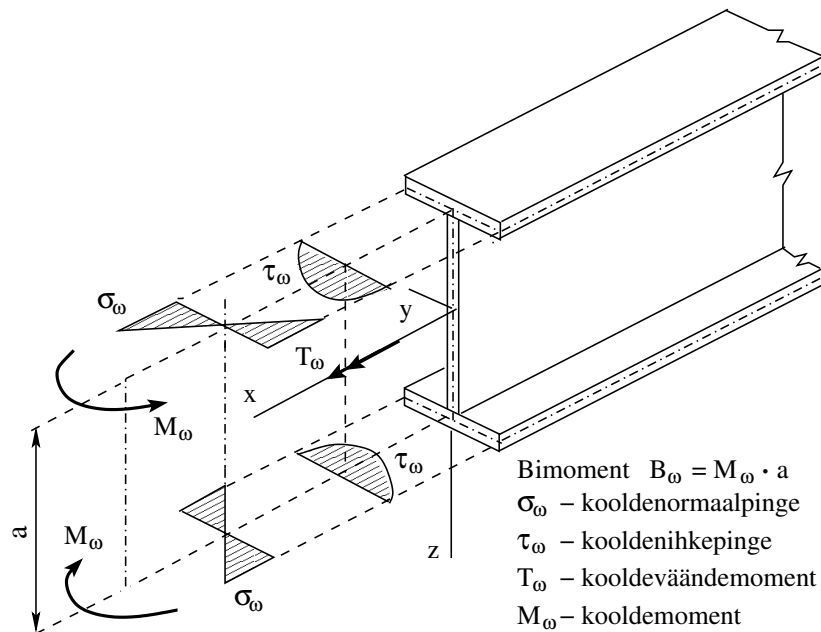
 b_i ja δ_i – varda ristlõikes (jn 1.1) oleva ristkülikulise lehe küljed ($b_i \gg \delta_i$); η – tegur, mille väärtus sõltub ristlõike kujust: L-profilil $\eta = 1.00 \dots 1.10$, I-profilil $\eta = 1.2$, U-profilil $\eta = 1.12$ ja T-profilil $\eta = 1.15$, vt [Sad63, lk 23].Väändeinertsimomendi I_t arvutamist suletud ristlõike korral vt [KMPR12, lk 305].

Vabaväändel (jn 1.2) säilitavad varda pikikiud oma pikkuse. Normaalpinged ristlõikes puuduvad, mõjuvad ainult nihkepinged.

Kui ristlõiketasandite kõverdumine on takistatud, siis sellist väänet nimetatakse *takistatud väändeks* (sks Wölbkrafttorsion, ingl restrained warping torsion, vn изгибное кручение e стесненное кручение [Vla59], [Smi75, lk 314]).Mitteümarvarraste väändel toimub ristlõiketasandi kõverdumine – kooldumine³,

Joonis 1.3. Takistatud vääne

² Charles Augustin de Coulomb (1736–1806), prantsuse füüsik ja insener.³ <http://www.eki.ee/dict/ies/index.cgi?Q=warp&F=M&C06=et> (28.04.2015)



Joonis 1.4. Kooldepinged

deplanatsioon (sks Wölbung⁴ e Verwerfung, ingl warping⁵⁶⁷ e deplanation, vn коробление⁸ e депланация).

Takistatud väändel deformeeruvad varda pikikiud erinevalt (jn 1.3). Joonisel 1.4 näeme I-profilil ülemise ja alumise vöö erisugust deformeerumist takistatud väändel. Erineva deformeerumise tagajärjel ristlõike kooldub (kõverdub). Ristlõike kooldumisel tekivad kooldepinged, mis jagunevad

- kooldenormaalpingeteks σ_{ω} (sks Wölbnormalspannungen⁹, ingl warping normal stresses¹⁰, vn секториальные нормальные напряжения) ja
- kooldenihkepingeteks τ_{ω} (sks Wölbschubspannungen, ingl warping shear stresses, vn секториальные касательные напряжения).

Kooldenormaalpinged σ_{ω} ülemises ja alumises vöös moodustavad paindemomentide M_{ω} paari (jn 1.4), mille korrutist nende vahekaugusega a nimetatakse bimomendiks B_{ω} .

⁴ <http://dict.leo.org/#/search=w%C3%B6lbung&searchLoc=0&resultOrder=basic&multiwordShowSingle=on> (28.04.2015)

⁵ <http://www.structuralwiki.org/en/Warping> (28.04.2015)

⁶ http://dict.leo.org/ende/index_de.html#/search=warping&searchLoc=0&resultOrder=basic&multiwordShowSingle=on (28.04.2015)

⁷ http://www.ttu.ee/public/m/Mehaanikateaduskond/Instituudid/Materjalitehnika_instituut/Materjalitehnika_seletav_sonaraamat.pdf#page=163 (19.20.2015)

⁸ <http://slovar-vocab.com/english-russian/vocabulary/warping-100033.html> (28.04.2015)

⁹ http://de.wikipedia.org/wiki/Torsion_%28Mechanik%29#W.C3.B6lbkrafttorsion (8.03.2015)

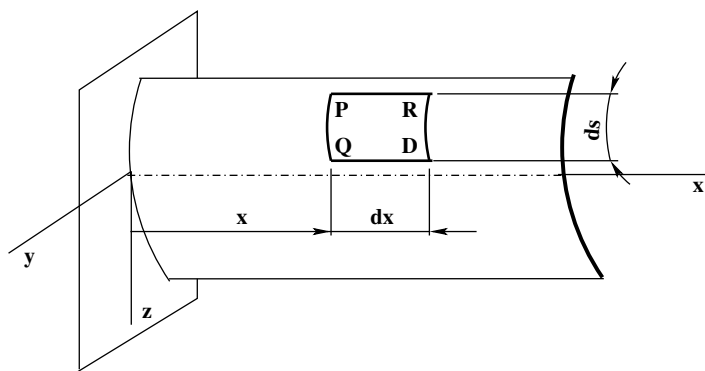
¹⁰ <http://www.steel-insdag.org/TeachingMaterial/Chapter17.pdf#page=14> (8.03.2015)

1.3 Siirete ja deformatsioonide vahelised seosed

Vaatleme nüüd õhukeseseinalise varda siirete ja deformatsioonide vahelisi seoseid. Nendes seostes arvestatakse järgmisi hüpoteese [Vla59]:

- õhukeseseinalise varda keskpinnal võib hüljata nihkedeformatsioonid ehk nihkemooned (vt [KMPR12, lk 109]), s.t keskpinnal on nihkenurk $\gamma \approx 0$;
- õhukeseseinalise varda ristlõike kontuur ei deformeeru, s.t kaugus ristlõike kahe punkti vahel ei muutu.

Esimese hüpoteesi selgitamiseks vaatleme õhukeseseinalise varda keskpinnal (jn A.1) ristkülikulist elementi PRQD mõõtmetega $dx \times ds$ (jn 1.5).



Joonis 1.5. Ristkülik keskpinnal

Nihkedeformatsiooni varda keskpinnal käsitleme kui kõrgemat järku väikest suurust: $\gamma \approx 0$.

Ristkülikulise elemendi punkti P (jn 1.6) siirete komponendid koordinaadi x ja sektorkoordinaadi s (vt jaotis A.1) suunas tähistame vastavalt $u(x, s)$ ja $v(x, s)$. Ristkülikulise elemendi punkti R siirete komponendid

$$u_R = u + \frac{\partial u}{\partial x} dx, \quad v_R = v + \frac{\partial v}{\partial x} dx \quad (1.3)$$

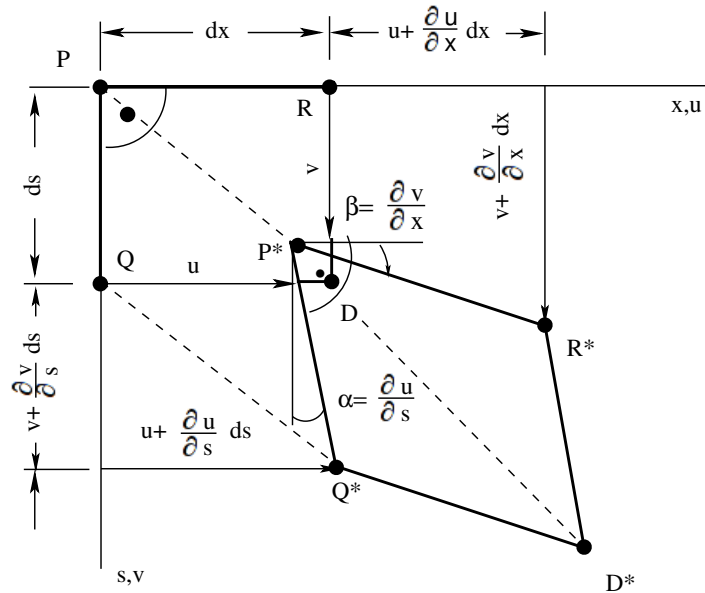
ja punkti Q siirete komponendid

$$u_Q = u + \frac{\partial u}{\partial s} ds, \quad v_Q = v + \frac{\partial v}{\partial s} ds \quad (1.4)$$

Ristkülikulise elemendi deformeerumisel (jn 1.6) moodustub nihkenurk γ nurkade α ja β summana:

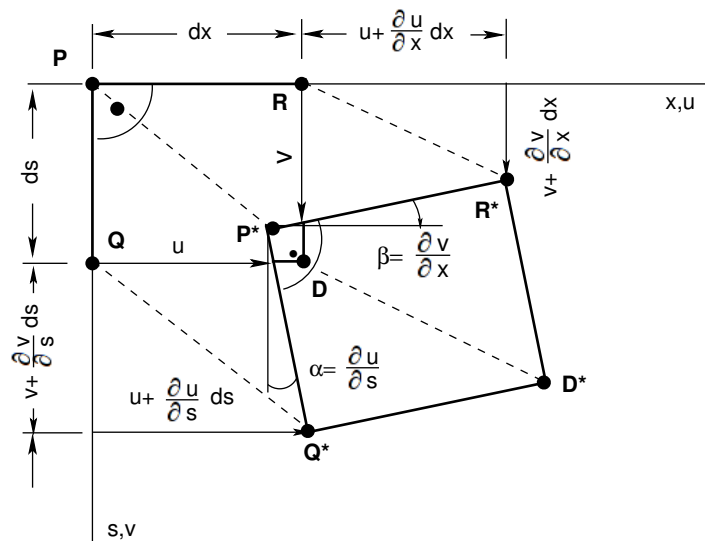
$$\gamma = \frac{\partial u}{\partial s} + \frac{\partial v}{\partial x} = 0 \quad (1.5)$$

Tingimuse (1.5) rakendamine õhukeseseinalise varda keskpinnal moodustab *esimese hüpoteesi* sisu.



Joonis 1.6. Ristküliku deformatsioon

Nihkenurga puudumisel ($\gamma = 0$) võib elemendi siirdumist ja pöördumist vaadelda kui jäiga keha pööret. Ristkülikulise elemendi $PRQD$ (jn 1.5 ja 1.7) kontuur ei deformeeru.



Joonis 1.7. Ristküliku pööre

Kahe ristlõike pööret teineteise suhtes ümber varda telje x mõõdame väändenurgaga θ . Vlassovi teooria [Vla59] teise hüpoteesi põhjal on väändenurk $\theta(x)$ ainult varda teljesuunalise koordinaadi x funktsioon.

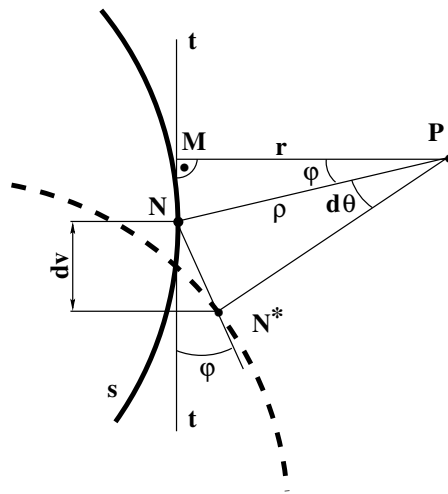
Ristlõike pöördumisel ümber telje, mis on paralleelne varda teljega (joonisel 1.8 on näidatud ristlõike keskjoone pööre ümber pooluseks nimetatava punkti P), võime keskjoone puutujasuunalise elementaarsiirde dv kirjutada kujul

$$dv = \overline{NN^*} \cos \varphi \approx \rho \cos \varphi d\theta(x) = r d\theta(x) \quad (1.6)$$

$$dv = r \frac{\partial \theta}{\partial x} dx \quad (1.7)$$

kus

ρ – raadiusvektor poolusest P vaadeldavasse punkti N (jn 1.8 ja jaotis A.1);
 r – pooluse P kaugus keskjoone puutujast $t-t$, mis läbib vaadeldavat punkti N ;
 $d\theta$ – elementaarväändenurk.



Joonis 1.8. Keskjoone pööre

Nihkenurga $\gamma = 0$ puudumise tingimusest (1.5) saame

$$\frac{\partial u}{\partial s} = -\frac{\partial v}{\partial x} = -r \frac{\partial \theta}{\partial x} \quad (1.8)$$

$$\partial u = -r \frac{\partial \theta}{\partial x} \partial s \quad (1.9)$$

Varda teljega paralleelse kiu pikkedeformatsioonil s -koordinaat ei muutu. Seega saame osatuletise avaldises (1.9) asendada täistuletisega:

$$du = -r \frac{d\theta}{dx} ds = -r \theta' ds \quad (1.10)$$

Nüüd saab suuruse $r ds$ asendada sektorkoordinaadi diferentsiaaliga $d\omega$ (A.33):

$$du = -\theta' r ds = -\theta' d\omega \quad (1.11)$$

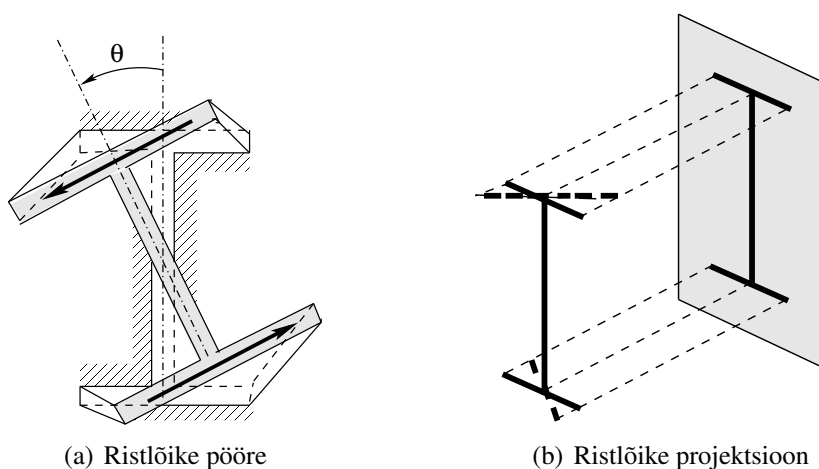
Ristlõikes, kus $x = konst$, saab siirde $u(s)$ leida avaldisega

$$u = -\theta' \int_s r ds = -\omega \theta' \quad (1.12)$$

Ristlõike kõverdumisest (kooldumisest) tekkiv kooldepikkedeformatsioon on leitav avaldisega

$$\epsilon_{x\omega} = \frac{\partial u}{\partial x} = -\omega \theta'' \quad (1.13)$$

Vlassovi teooria *teise hüpoteesi* põhjal on raadiusvektori $\overrightarrow{PN^*}$ projektsiooni pikkus (jn 1.8) ristlõiketasandil pärast ristlõike kooldumist võrdne raadiusvektori \overrightarrow{PN} esialgse pikkusega. Õhukeseseinalise varda ristlõike kontuur ei deformeeru (jn 1.9a), seega jääb kaugus kahe ristlõikes asuva punkti vahel deformeerimise käigus muutumatuks (jn 1.9b).



Joonis 1.9. Ristlõike kooldumine takistatud väändel

1.4 Kooldenormaalpinged

Normaalpingete leidmiseks *takistatud väändel* kasutatakse Hooke'i¹¹ seadust:

$$\sigma = E \epsilon \quad (1.14)$$

Tegurit E seoses (1.14) nimetatakse (normaal)elastsusmooduliks (ka Youngi¹² mooduliks). Asendades deformatsiooni ϵ avaldises (1.14) tema avaldisega (1.13), saame

$$\sigma_\omega = -E\omega\theta'' \quad (1.15)$$

kus

σ_ω – kooldenormaalpinged;

ω – sektoripindala ehk sektorkoordinaat (vt jaotis A.1);

θ'' – väändenurga θ teine tuletis koordinaadi x järgi.

¹¹ Robert Hooke (1635–1703), inglise füüsik.

¹² Thomas Young (1773–1829), inglise füüsik.

Praktilisteks arvutusteks moodustame kooldenormaalpinge σ_ω ja bimomendi B_ω (jn 1.4) vahelise seose analoogiliselt tugevusõpetuses kasutatava normaalpinge σ ja paindemomendi M vahelise seosega [KMPR12]. Korrutame avaldist (1.15) sektorikoordinaadiga ω ja ristlõike elementaarpindalaga dA ning integreerime pindala A ulatuses.

$$\int_A \sigma_\omega \omega dA = -E\theta'' \int_A \omega^2 dA \quad (1.16)$$

Seose (1.16) vasakpoolset suurust nimetame bimomendiks B_ω .

$$B_\omega = \int_A \sigma_\omega \omega dA \quad (1.17)$$

Seose (1.16) parempoolne integraal määrab sektorinertsimomendi I_ω (A.60):

$$I_\omega = \int_A \omega^2 dA \quad (1.18)$$

Võttes arvesse bimomendi B_ω ja sektorinertsimomendi I_ω avaldised (1.17), (1.18), saame seose (1.16) esitada kujul

$$B_\omega = -EI_\omega \theta'' \quad (1.19)$$

Bimoment B_ω õhukeseseinalise varda ristlõikes on momendipaar (jn 1.4), mis staatilises mõttes on tasakaalustatud. Bimomendi leidmist vaatleme edaspidi. Avaldame suuruse $E\theta''$ seosest (1.19):

$$-E\theta'' = \frac{B_\omega}{I_\omega} \quad (1.20)$$

Saadud avaldise paigutame seosesse (1.15):

$$\sigma_\omega = \frac{B_\omega \omega}{I_\omega} \quad (1.21)$$

Bimoment B_ω ja sektorinertsimoment I_ω ristlõikes ei muutu. Muutub ainult sektorikoordinaat ω . Seega sarnaneb kooldenormaalpingete σ_ω epiüür sektorikoordinaadi ω epiüüriga.

Raamatus [HIM11, lk 3] toodud märkuses rõhutatakse, et **bimomendi** ja **kooldemomendi** mõistet ei tohi segi ajada. Bimomendi suuruseks on jõud korrutatud pikkuse ruuduga, kooldemomendi suuruseks aga jõu ja pikkuse korrutis.

$$M_\omega = \mp \frac{EI_\omega}{(h - t_f)} \theta'' \quad (1.22)$$

kus

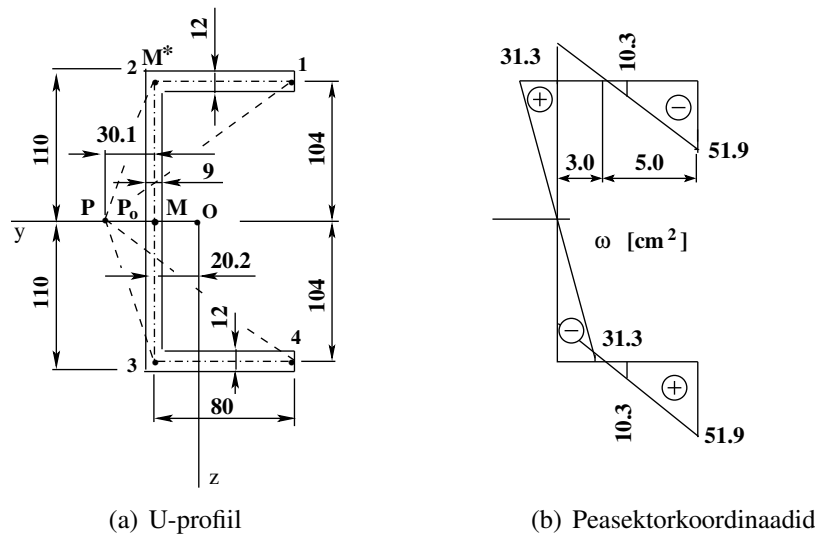
h – ristlõike kõrgus;

t_f – vöö paksus¹³.

¹³http://sahtel.keila.ee/avalik/Tallinn%20-%20Paldiski%20mnt.%20eelprojekt/III.3%20Keila%20II%20sild/1_DOKUMENDID/2_LISAD/Lisa%204%20-%20arvutused-%20Keila%20II%20sild.pdf (6.06.2015)

Kooldemomendi märgi (\mp) määrame vastavalt bimomendi märgireeglile (jn 1.18). Vaadates piki momendipaari õlga, tuleb avaldises (1.22) vaatajapoolse momendi määramisel võtta miinusmärk, vaatajast kaugema momendi määramisel aga plussmärk. Vaatajapoolne moment on positiivne pöördumisel vastupäeva. Vaatajast kaugem moment on positiivne pöördumisel päripäeva. Siin on kasutatud parema käe teljestiku (jn A.3) märgireegleid.

Näide 1.1 (kooldenormaalpingete epüür). Koostada kooldenormaalpingete epüür joonisel 1.10a toodud U-profilil ristlõikele. Ristlõikes mõjub bimoment $B = 0.59 \text{ kN} \cdot \text{m}^2$

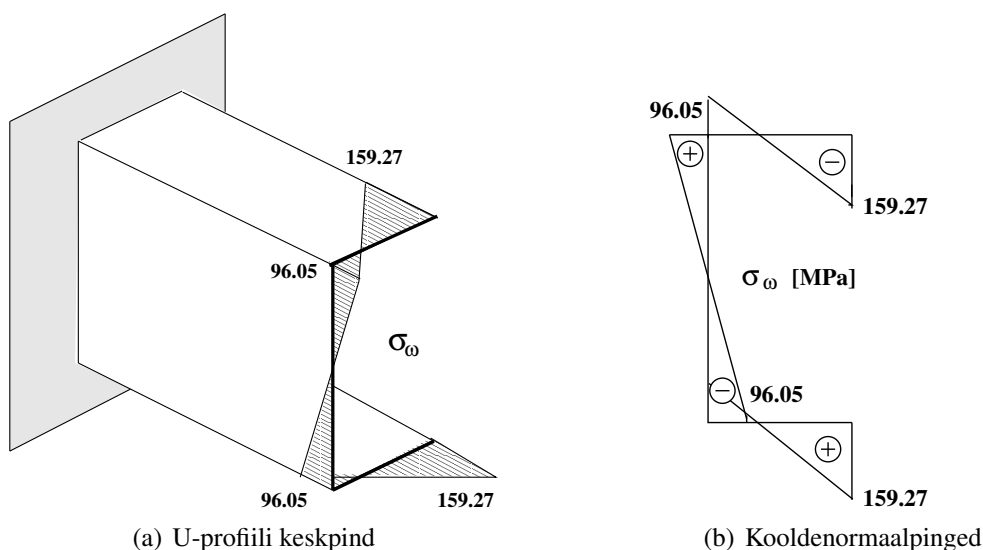


Joonis 1.10. U-profilil peasektorkoordinaadid

Joonisel 1.10a toodud ristlõike sektorkoordinaatide ω_i arvutus on toodud näites A.6: $\omega_1 = -51.9 \text{ cm}^2$, $\omega_2 = 31.3 \text{ cm}^2$, $\omega_3 = -31.3 \text{ cm}^2$, $\omega_4 = 51.9 \text{ cm}^2$. Ristlõike sektorinertsimoment $I_\omega = 19\,226 \text{ cm}^6$ (A.62). Kooldenormaalpinged σ_ω on võrdelised sektorkoordinaatidega ω (jn 1.10b).

$$\begin{aligned}\sigma_{\omega 1} &= \frac{B_\omega \omega_1}{I_\omega} = \frac{5.9 \times 10^6 \cdot (-51.9)}{19\,226} = -1.5927 \times 10^4 \text{ N/cm}^2 = -159.27 \text{ MPa} \\ \sigma_{\omega 2} &= \frac{B_\omega \omega_2}{I_\omega} = \frac{5.9 \times 10^6 \cdot 31.3}{19\,226} = 9.6052 \times 10^3 \text{ N/cm}^2 = 96.05 \text{ MPa} \\ \sigma_{\omega 3} &= \frac{B_\omega \omega_3}{I_\omega} = \frac{5.9 \times 10^6 \cdot (-31.3)}{19\,226} = -9.6052 \times 10^3 \text{ N/cm}^2 = -96.05 \text{ MPa} \\ \sigma_{\omega 4} &= \frac{B_\omega \omega_4}{I_\omega} = \frac{5.9 \times 10^6 \cdot 51.9}{19\,226} = 1.5927 \times 10^4 \text{ N/cm}^2 = 159.27 \text{ MPa}\end{aligned}\quad (1.23)$$

Kooldenormaalpingete σ_{ω_i} (1.21) epüür on esitatud joonisel 1.11.



Joonis 1.11. Kooldenormalpinged U-profilis

1.5 Tasakaaluvõrrandid ristlõike kõverdumisel

Vaatleme pingete jaotust ristlõikes takistatud väändel:

- vabaväändele vastavad nihkepinged τ_t (jn 1.12a) ristlõike keskjoonel (jn A.1) puuduvad, seina paksuses muutuvad lineaarselt;
- kooldenormalpinged σ_ω (jn 1.13) on seina paksuses konstantsed;
- kooldenihkepinged τ_ω (jn 1.12b) on seina paksuses konstantsed.

Õhukeseseinalise varda ristlõikes moodustavad kooldenormalpinged isetasakaalustuva süsteemi. Selle süsteemi kirjeldamisel seame järgmised tingimused:

- varda ristlõikes puudub *pikijõud* $N_{x\omega}$:

$$N_{x\omega} = \int_A \sigma_\omega dA = 0 \quad (1.24)$$

- varda ristlõikes puudub *paindemoment y-telje suhtes* $M_{y\omega}$:

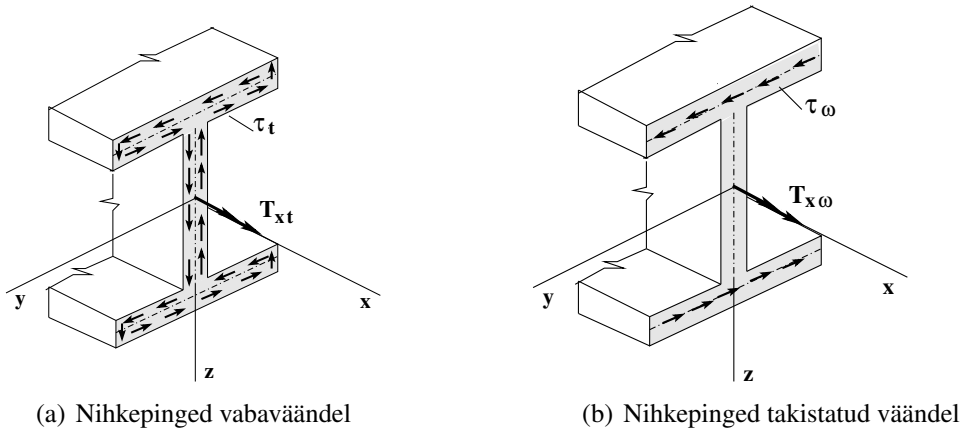
$$M_{y\omega} = \int_A \sigma_\omega z dA = 0 \quad (1.25)$$

- varda ristlõikes puudub *paindemoment z-telje suhtes* $M_{z\omega}$:

$$M_{z\omega} = \int_A \sigma_\omega y dA = 0 \quad (1.26)$$

- koguväändemoment T_{sum} on võrdne vabaväändemomendi T_{xt} (jn 1.12a) ja kooldenihkepingetele vastava väändemomendi $T_{x\omega}$ (jn 1.12b) algebralise summaga:

$$T_{sum} = T_{xt} + T_{x\omega}, \quad T_{sum} = T_{xt} + \int_A \tau_\omega r dA \quad (1.27)$$



Joonis 1.12. Väändemomendid

Tingimus (1.27) annab seose välise väändemomendi ja takistatud väände komponentide vahel.

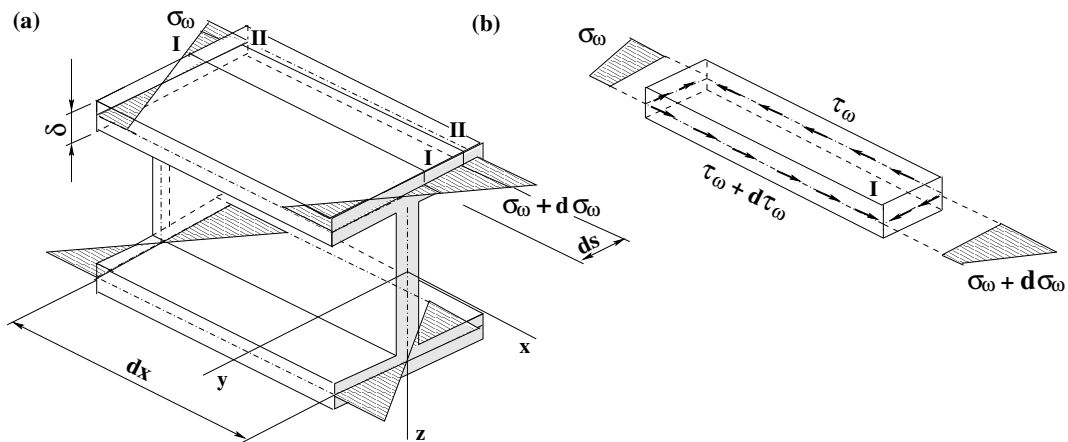
Kooldenihekepingetele vastav kooldeväändemoment $T_{x\omega}$ saadakse kooldenihekepingete τ_ω korrutamisel lõiguga r ja integreerimisel ristlõike pindala A ulatuses. Lõik r on sektorkoordinaadi pooluse kaugus keskjoone puutujast (vt jaotis A.1), mis läbib vaadeldavat kooldenihekepingete rakenduspunkti.

$$T_{x\omega} = \int_A \tau_\omega r dA \tag{1.28}$$

Tingimuses (1.24) asendame σ_ω tema avaldisega (1.15):

$$\int_A \sigma_\omega dA = -E\theta'' \int_A \omega dA = 0 \Rightarrow \int_A \omega dA = S_\omega = 0 \tag{1.29}$$

Siit leiame, et sektorkoordinaat ω algab peanullpunktis ($S_\omega = 0$, vt avaldist (A.52)).



Joonis 1.13. Kooldenormalpinged

Tingimustest (1.25) ja (1.26) leiame pooluse, mille puhul sektortsentrifugaalmomendid $I_{\omega y}$ (A.41), $I_{\omega z}$ (A.42) on võrdsed nulliga. Leitud poolus on **lõikekeske** (vt jaotis A.5).

$$M_{y\omega} = \int_A \sigma_\omega z dA = -E\theta'' \int_A \omega z dA = 0 \Rightarrow \int_A \omega z dA = I_{\omega z} = 0 \quad (1.30)$$

$$M_{z\omega} = \int_A \sigma_\omega y dA = -E\theta'' \int_A \omega y dA = 0 \Rightarrow \int_A \omega y dA = I_{\omega y} = 0 \quad (1.31)$$

Kirjanduses [Jür85, lk 229] on väljendi **lõikekeske** sünonüümina kasutatud ka terminit *paindekese* (sks Schubmittelpunkt e Drillruhepunkt, ingl bending center e twist center, vn центр изгиба e центр кручения).

1.6 Sisejõududevahelised seosed

1.6.1 Seos kooldepingete vahel

Kooldenormaalpinge σ_ω ja kooldenihkepinge τ_ω vahelise seose kirjeldamiseks vaatleme joonist 1.13. Eraldame õhukeseseinalisest vardast kahe teineteisele lähedase ristlõikega elemendi pikkusega dx (jn 1.13a). Eraldatud elemendi otspindadel mõjuvad erinevad kooldenormaalpinged σ_ω ja $\sigma_\omega + d\sigma_\omega$. Vaadeldavast elemendist eemaldame lõigetega $I-I$ ja $II-II$ riba laiusega ds ja paksusega δ (jn 1.13b).

Võtame arvesse kooldenihkepinged τ_ω ja $\tau_\omega + d\tau_\omega$, mis Žuravski¹⁴ hüpoteesi kohaselt laotuvad pikilõike laiuses ühtlaselt. Koostame vaadeldava riba tasakaalutingimuse:

$$\Sigma X = 0; \quad -\sigma_\omega \delta ds + (\sigma_\omega + d\sigma_\omega) \delta ds - \tau_\omega \delta dx + (\tau_\omega + d\tau_\omega) \delta dx = 0 \quad (1.32)$$

Pärast sarnaste liikmete koondamist

$$\Sigma X = 0; \quad d\sigma_\omega \delta ds + d\tau_\omega \delta dx = 0 \quad (1.33)$$

Siit leiame otsitava seose kooldenormaalpinge ja kooldenihkepinge vahel:

$$\frac{d\sigma_\omega}{dx} = -\frac{d\tau_\omega}{ds} \quad (1.34)$$

1.6.2 Seos bimomendi ja kooldeväändemomendi vahel

Bimomendi B (1.17) ja kooldeväändemomendi $T_{x\omega}$ (1.28) vahelise seose otsimist alustame avaldisest

$$B_\omega = \int_A \sigma_\omega \omega dA \quad (1.35)$$

mida diferentseerime muutuja x järgi:

$$\frac{dB_\omega}{dx} = \int_A \frac{d\sigma_\omega}{dx} \omega dA \quad (1.36)$$

¹⁴ Dmitri Žuravski (1821–1891), vene insener.

Asendame siin kooldenormaalpinge tuletise $d\sigma_\omega/dx$ kooldenihkepinge tuletisega $-d\tau_\omega/ds$ (vt avaldis (1.34)) ja pinnaelemendi dA keskjoone pikkusele vastava elemendiga ds ($dA = \delta ds$):

$$\frac{dB}{dx} = - \int_A \frac{d\tau_\omega}{ds} \omega \delta ds = - \int_A \omega d(\tau_\omega \delta) \quad (1.37)$$

Integreerime võrrandi (1.37) parempoolseimat liiget ositi valemi

$$\int_a^b u dv = uv \Big|_a^b - \int_a^b v du \quad (1.38)$$

järgi, võttes u ja dv järgmiselt:

$$\int_a^b \underbrace{\omega}_u \underbrace{d(\tau_\omega \delta)}_{dv}$$

Saame avaldise

$$\frac{dB_\omega}{dx} = - \tau_\omega \delta \omega \Big|_A + \int_A \tau_\omega \delta d\omega \quad (1.39)$$

Siin võrdub esimene parempoolne liige $-\tau_\omega \delta \omega \Big|_A$ nulliga, sest varda välispinnal (sektorkoordinaadi $\omega \Big|_a^b$ äärmistes punktides) kooldenihkepinged puuduvad: $\tau_{\omega b} = 0$, $\tau_{\omega a} = 0$.

$$- \tau_\omega \delta \omega \Big|_A = - \tau_\omega \delta \omega \Big|_a^b = - \tau_{\omega b} \delta \omega_b + \tau_{\omega a} \delta \omega_a = 0 \quad (1.40)$$

Võrrandis (1.39) teeme asenduse $d\omega = r ds$ (vt jaotis A.1):

$$\frac{dB_\omega}{dx} = \int_A \tau_\omega \delta d\omega = \int_A \tau_\omega r \delta ds = \int_A \tau_\omega r dA \quad (1.41)$$

Avaldiste (1.41) ja (1.28) võrdlusest saame

$$\frac{dB_\omega}{dx} = T_\omega \quad (1.42)$$

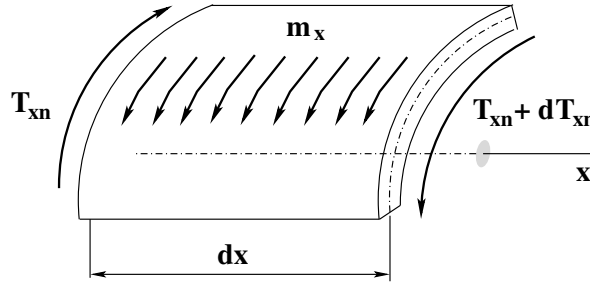
kus dB_ω/dx – bimomendi tuletis varda teljesuunalise koordinaadi x järgi – on võrdne kooldeväändemomendiga T_ω .

Seostest (1.19) ja (1.42) saame kooldeväändemomendi T_ω :

$$T_\omega = -EI_\omega \theta''' \quad (1.43)$$

1.6.3 Seos üldväändemomendi ja lausmomendi vahel

Üldväändemomendi T_{sum} (1.27) ja ümber varda telje mõjuva lausmomendi m_x vahelise seose leidmiseks vaatleme varda elementi pikkusega dx (jn 1.14).



Joonis 1.14. Lausmoment

Koostame tasakaaluvõrrandi x-teljele:

$$\sum X = 0, \quad -T_{sum} + m_x dx + (T_{sum} + dT_{sum}) = 0 \quad (1.44)$$

Siit

$$\frac{dT_{sum}}{dx} = -m_x \quad (1.45)$$

Õhukeseseinalise varda lõikudes, kus väändemoment T_{sum} on konstantne, kehtib seos

$$\frac{dT_{sum}}{dx} = 0 \quad (1.46)$$

1.7 Kooldenihkepinged

Vaatleme joonisel 1.15b kujutatud õhukeseseinalisest vardast eraldatud osa tasakaalu.

Koostame tasakaaluvõrrandi x-teljele:

$$\sum X = 0, \quad - \int_{A^*} \sigma_\omega dA + \int_{A^*} \left(\sigma_\omega + \frac{\partial \sigma_\omega}{\partial x} dx \right) dA + \tau_\omega \delta dx = 0 \quad (1.47)$$

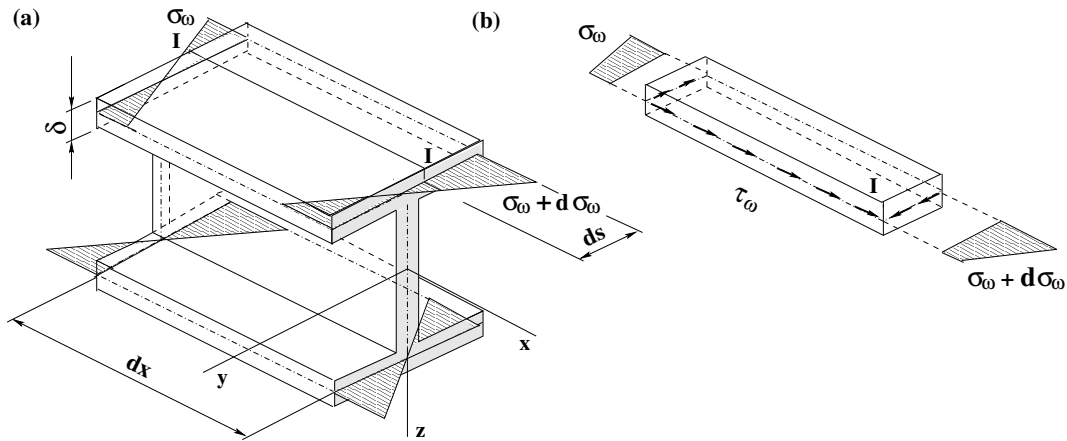
kus $A^* = \delta ds$ on lõikega $I-I$ eraldatud osa pindala.

Asendame kooldenormaalpinge σ_ω avaldises (1.47) tema avaldisega (1.15) ja jagame dx -iga:

$$\tau_\omega \delta + \int_{A^*} \frac{\partial \sigma_\omega}{\partial x} dA = 0, \quad \tau_\omega \delta - E\theta''' \int_{A^*} \omega dA = 0 \quad (1.48)$$

Siit leiame

$$\tau_\omega = \frac{E\theta'''}{\delta} \int_{A^*} \omega dA \quad (1.49)$$



Joonis 1.15. Kooldenihkepinged

Tähistame joonisel 1.15 lõikega $I-I$ eraldatud osa staatilise sektormomendi (A.3) tähisega S_ω^* :

$$S_\omega^* = \int_{A^*} \omega dA \quad (1.50)$$

Nüüd saame leida kooldenihkepinge:

$$\tau_\omega = E\theta''' \frac{S_\omega^*}{\delta} \quad (1.51)$$

Diferentseerime avaldist (1.19) varda teljesuunalise koordinaadi x järgi ning jagame sektorinertsimomendiga I_ω :

$$\frac{dB_\omega}{I_\omega dx} = -E\theta''' \quad (1.52)$$

Siit asendame $E\theta'''$ avaldisse (1.51). Valemis (1.52) saame bimomendi B_ω tuletise varda teljesuunalise koordinaadi x järgi asendada kooldeväändemomendiga T_ω (1.42).

$$\tau_\omega = -\frac{dB_\omega}{dx} \frac{S_\omega^*}{I_\omega \delta} = -\frac{T_\omega S_\omega^*}{I_\omega \delta} \quad (1.53)$$

Suurimad kooldenihkepinged τ_ω on ristlõikes seal, kus S_ω^*/δ on maksimaalne.

Avaldis (1.53) on struktuurilt sarnane tugevusõpetuses kasutatava Žuravski valemiga [KMPR12].

Näide 1.2 (kooldenihkepinged). Leida joonisel 1.10a kujutatud U-profili ristlõikes suurim kooldenihkepinge kooldeväändemomendist $T_\omega = 600 \text{ N}\cdot\text{m}$.

Selle ristlõike sektorinertsimoment $I_\omega = 19\,226 \text{ cm}^6$ (A.62). Suurim kooldenihkepinge on ülemises vöös, kus eraldatud osa staatiline sektormoment S_ω^* on minimaalne. Staatilise sektormomendi S_ω^* arvutamisel kasutame valemist (A.7). Selleks leiame peasektorkoordinaatide nulli asukoha joonisel 1.10b kujutatud sarnastest kolmnurkadest.

$$\Delta_y = 51.9 \cdot 8.0 / (31.3 + 51.9) = 4.99 \text{ cm} \quad (1.54)$$

Ülemisest vööst eraldatud osa staatiline sektormoment

$$S_{\omega}^* = \delta \Omega = 1.2 (-51.9 \cdot 4.99) / 2 = -155.4 \text{ cm}^4 \quad (1.55)$$

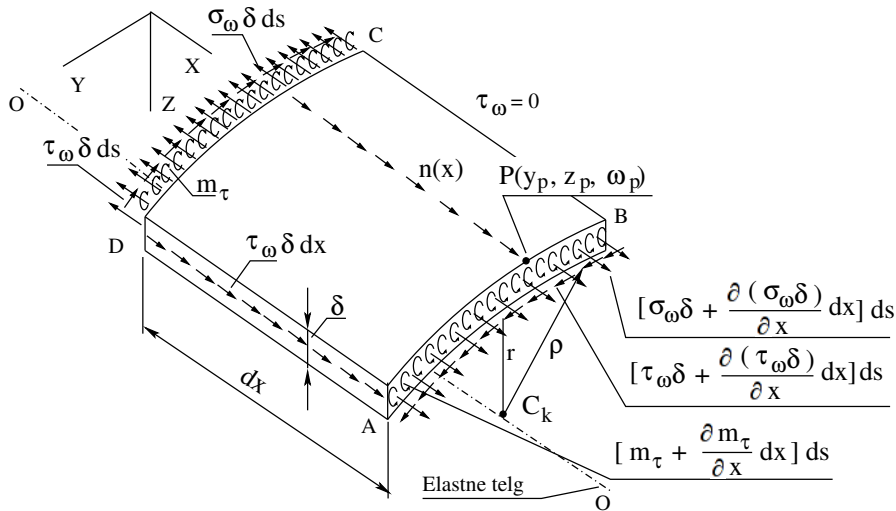
Suurimad kooldenihkepinged

$$\max \tau_{\omega} = - \frac{T_{\omega} S_{\omega}^*}{I_{\omega} \delta} = \frac{600 \cdot 155.4 \times 10^{-8}}{1.2 \times 10^{-2} \cdot 1.9226 \times 10^{-8}} = 4.04 \times 10^6 \text{ Pa} = 4.04 \text{ MPa} \quad (1.56)$$

1.8 Kooldenihkepinged ja pikikoormus

Järgnevalt tuletame diferentsiaalvõrrandi, kui õhukeseseinaline varras on koormatud pikikoormusega $n(x)$ (jn 1.16). Näitame, et pikikoormuse $n(x)$ olemasolul ei kehti avaldis (1.42), s.t $dB_{\omega}/dx \neq T_{\omega}$ [Böt62].

Vaatleme õhukeseseinalise varda elementi ABCD mõõtmetega $dx \times ds$ (jn 1.16), kus ds on keskjoone diferentsiaal (jn A.2).



Joonis 1.16. Pikikoormus

Vaadeldaval elemendil läbib pikikoormus $n(x)$ ristlõike punkti $P(y_p, z_p, \omega_p)$. Siin on ω_p punkti P sektorkoordinaat (jn A.2). Ristlõike paksuse suunas ebäühtlaselt jaotatud nihkepingete (vabaväände, St. Venant'i nihkepingete) mõju tähistame jaotatud väändemomendina m_{τ} .

$$\int_A m_{\tau} ds = T_t \quad (1.57)$$

kus T_t on vabaväändemoment.

Ristlõikes mõjuvad veel kooldenormaalpinged σ_{ω} ja kooldenihkepinged τ_{ω} . Koostame vaadeldava elemendi tasakaaluvõrrandi x -teljele:

$$\sum X = 0, \quad \int_{A^*} \frac{(\partial \sigma_{\omega} \delta)}{\partial x} dx ds + n(x) dx + \tau_{\omega} \delta dx = 0 \quad (1.58)$$

kus $A^* = \delta ds$ on lõikega eraldatud osa pindala.

Ristlõikes (koordinaat x on fikseeritud) on elemendi paksus δ koordinaadi s funktsioon, mis lubab δ tuua osatuletise märgi alt välja. Jagades avaldise ka dx -iga, saame

$$\sum X = 0, \quad \int_{A^*} \frac{\partial \sigma_\omega}{\partial x} dA + n(x) + \tau_\omega \delta = 0 \quad (1.59)$$

Asendame siin kooldenormaalpinged σ_ω nende avaldisega (1.15)

$$\sigma_\omega = -E\omega\theta'' \quad (1.60)$$

Nüüd

$$-E\theta''' \int_{A^*} \omega dA + n(x) + \tau_\omega \delta = 0 \quad (1.61)$$

millest avaldame kooldenihkepinged τ_ω :

$$\tau_\omega = \frac{1}{\delta} \left[E\theta''' \int_{A^*} \omega dA - n(x) \right] \quad (1.62)$$

Kooldeväändemomendi T_ω arvutame vastavalt avaldisele (1.28):

$$T_{x\omega} = \int_A \tau_\omega \delta r ds = \int_A \tau_\omega \delta d\omega \quad (1.63)$$

Siin on tehtud asendus $dA = r ds = d\omega$ (vt (A.1)).

Asendame kooldenihkepinged valemis (1.63) nende avaldisega (1.62):

$$T_{x\omega} = \int_A \left[E\theta''' \int_{A^*} \omega dA - n(x) \right] d\omega = E\theta''' \int_A d\omega \int_{A^*} \omega dA - n(x) \int_A d\omega \quad (1.64)$$

Integreerime esimest integraali ositi:

$$\int_A d\omega \int_A \omega dA = \omega \int_A \omega dA - \int_A \omega \omega dA \quad (1.65)$$

Kui sektorikoordinaat ω algab peanullpunktist, siis võrdub kogu ristlõike staatiline sektorimoment nulliga: $\int_A \omega dA = 0$ (vt avaldist (1.29)).

Kooldeväändemomendi T_ω saab nüüd esitada kujul

$$T_\omega = -EI_\omega \theta''' - n(x) \omega \quad (1.66)$$

kus

I_ω – sektorinertsimoment (A.60);

ω – sektorikoordinaat ristlõike punktile $P(y_p, z_p, \omega_p)$, mida läbib pikikoormuse $n(x)$ mõjusirge (jn 1.16).

Diferentseerime bimomenti B_ω (1.19) x-koordinaadi järgi:

$$\frac{dB_\omega}{dx} = -EI_\omega \theta''' \quad (1.67)$$

Asendame nüüd $-EI_\omega \theta'''$ avaldises (1.66) bimomendi tuletisega (1.67):

$$T_\omega = \frac{dB_\omega}{dx} - n(x) \omega \quad (1.68)$$

Siit

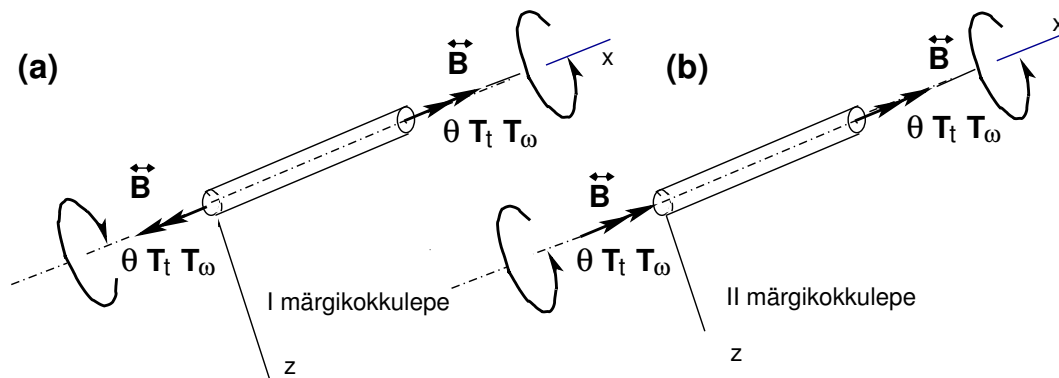
$$T_\omega \neq \frac{dB_\omega}{dx} \quad (1.69)$$

Varem saadud avaldis $dB_\omega/dx = T_\omega$ (1.42) ei kehti koormamisel pikikoormusega $n(x)$.

1.9 Märgikokkulepped väändel

Võtame kasutusele parema käe teljestiku (jn A.3). Nüüd on väändemomendi T ja väändenurga $\theta(x)$ pööre vastupäeva ümber varda teljega paralleelse x-telje positiivne (vt märgireegel [Böt62, lk 166], mis erineb raamatus [KMPR12, lk 30] kasutatust).

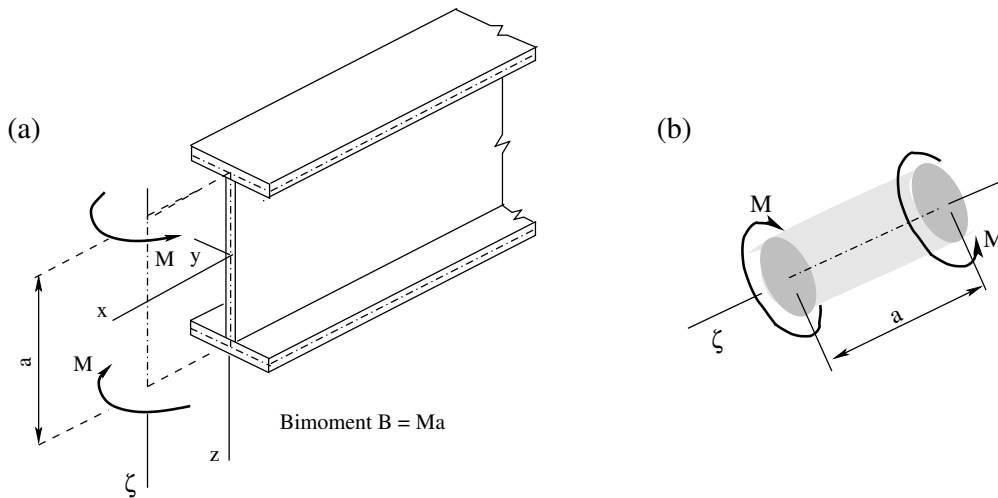
Varda otste välispinnal mõjuvaid rajajõude vaatleme kui välisjõude, täpsemini, kui reaktsiooni mõjuvale koormusele. Reaktsioonijõud määratakse tasakaalutingimustest. Rajajõudude märgi määramisel on kasutusel kaks märgikokkulepet. *Esimene märgikokkulepe* (jn 1.17a) on tuttav tugevusõpetusest [MR96, lk 10, jn 8]. *Teine märgikokkulepe* (jn 1.17b) on vajalik varrassüsteemide tasakaaluvõrrandite algoritmide koostamiseks.



Joonis 1.17. Märgikokkulepped

Märgikokkuleppeid võrreldes näeme, et rajajõudude suunad varda lõpus ühtivad, varda alguses on aga vastandmärgilised.

Bimoment B_ω õhukeseseinalise varda ristlõikes on staatilises tasakaalus momendipaar (jn 1.18). Bimomendi tekitavad kooldumist takistavad kooldenormaalpinged σ_ω (jn 1.4).



Joonis 1.18. Bimomendi märgireegel

Kui vaadata piki momendipaari õlga (ζ -telje suunas), siis loeme bimomendi B_ω (jn 1.18) positiivseks juhul, kui vaatajapoolne moment pöörab vastupäeva ning vaatajast kaugem moment pöörab päripäeva (jn 1.18b). Reegel kehtib olenemata sellest, millises suunas ζ -telge vaadata.

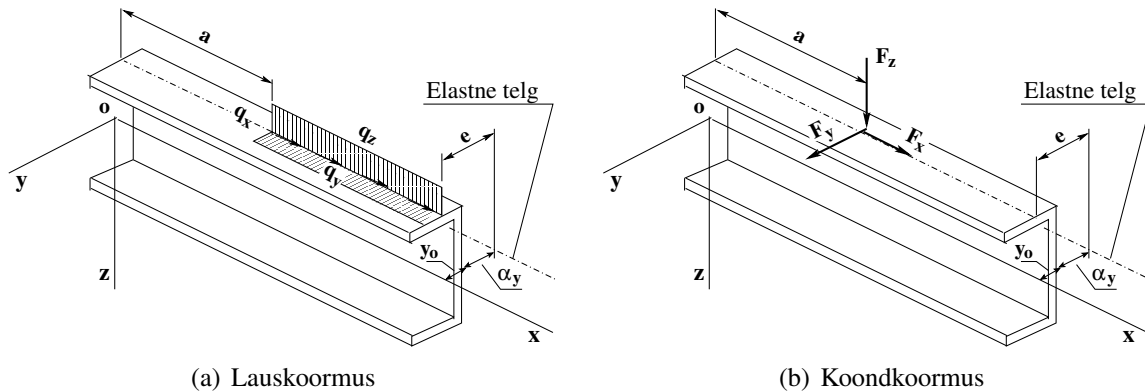
Kontrollime bimomendi märgireegli kehtivust valemiga (1.21) näite 1.1 abil. U-profiili ristlõikes on antud *positiivne* bimoment B_ω . U-profiili ristlõike punktides 1, 2, 3 ja 4 on leitud kooldenormaalpinged, mille epüür on toodud joonisel 1.11. Joonisel 1.11a näidatud kooldenormaalpinged tekitavad bimomendi B_ω , mis vastab eespool olevale bimomendi märgireeglile. Siin on peasektorkoordinaatide leidmisel kasutatud parema käe teljestikku, mille puhul on raadiusvektori ρ pööre vastupäeva positiivne.

1.10 Koormused

Õhukeseseinalise varda koormamisel põikkoormusega (jn 1.19), mis ei läbi *lõikekeset*, on varras *liittööseisundis* (paine koos väändega). Painde ja takistatud väände eraldi arvutamiseks kanname koormused üle ristlõike lõikekeskmeid (*väändekeskmeid* [Loo08], *paindekeskmeid* [Jür85, lk 229]) ühendavale joonele. Seda joont nimetame edaspidi *elastseks teljeks* (sks Schubmittelachse^{15 16}, ingl elastic axis e line of shear centers, vn упругая ось e линия центров изгиба). Paindel kõverdunud varda telge nimetatakse *elastseks jooneks* (sks Biegelinie e elastische Linie, ingl elastic line, vn упругая линия). Koormuste ülekandmisega elastsele teljele õnnestub meil eraldi vaadelda takistatud väände tööseisundit [Böt62] [BKL13].

¹⁵ https://www.bbik.de/assets/files/Seminare/Eurocode%203_2014/script-stahlbau-teil-3-2.pdf (07.01.2015)

¹⁶ <https://e-collection.library.ethz.ch/eserv.php?pid=eth:33999&dsID=eth-33999-02.pdf#page=59> (07.01.2015)



Joonis 1.19. Koormused

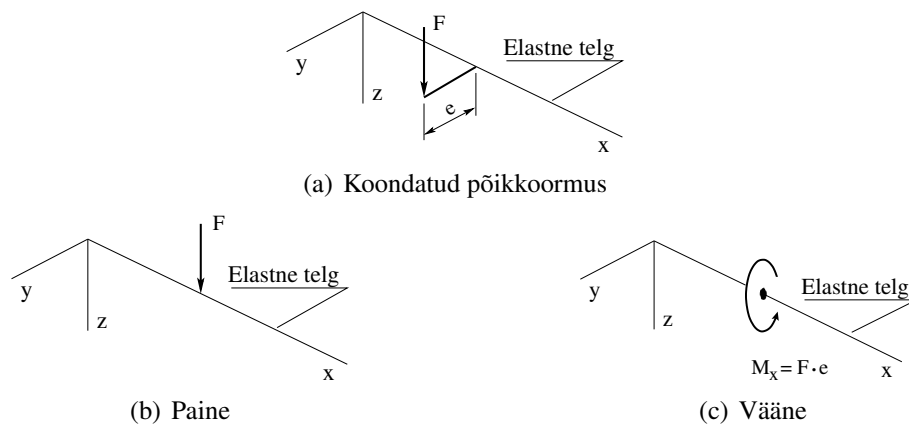
Järgnevas vaatleme põik- ja momentkoormuse ning varda teljesuunalise koormuse üleviimist elastsele teljele. Siin peab arvestama tugele vastavust ülekantavale koormusele. Toereaktsioone käsitleme edaspidi.

1.10.1 Põikkoormuse ülekandmine elastsele teljele

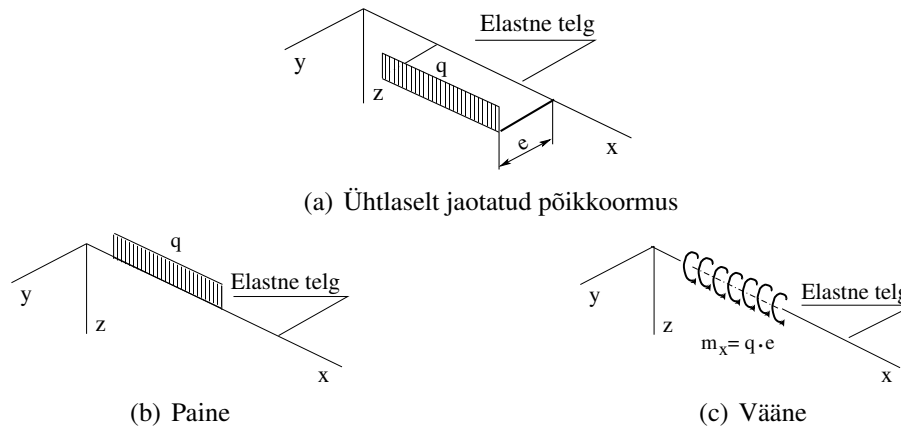
Mõjugu õhukeseseinalise varda mingis ristlõikes koondatud põikkoormus F , mille kaugus elastsest teljest on e (jn 1.20a). Kanname koondatud põikkoormuse F varda elastsele teljele. Nüüd on eraldi vaadeldavad kaks tööseisundit:

- paine, kus varras on koormatud põikkoormusega F (jn 1.20b);
- vääne, kus ristlõikes mõjub pöördemoment $M_x = F \cdot e$ (jn 1.20c).

Pöördemomendi suuna märgi määrame vastavuses parema käe teljestikuga (jn A.3). Pöördemomendi M_x vastupäevane suund ümber varda teljega paralleelse x -telje on positiivne.



Joonis 1.20. Koondatud põikkoormuse lahutamine



Joonis 1.21. Ühtlaselt jaotatud põikkoormuse lahutamine

Nii nagu koondatud põikkoormuse juhul, kanname ka juhul, kanname ka ühtlaselt jaotatud põikkoormuse q elastsele teljele (jn 1.21 a).

Ühtlaselt jaotatud põikkoormuse q kaugus elastsest teljest on e (jn 1.21 a). Koormuse ülekandmisel tekib kaks tööseisundit, mida saab eraldi vaadelda:

- paine, kus varras on koormatud ühtlaselt jaotatud põikkoormusega q (jn 1.21 b);
- vääne, kus varras on koormatud ühtlaselt jaotatud pöördemomendiga $m_x = q \cdot e$ (jn 1.21 c).

Jaotatud pöördemomendi suuna märgi määrame vastavuses parema käe teljestikuga (jn A.3), mispuhul on jaotatud pöördemomendi m_x vastupäevane suund ümber varda teljega paralleelse x-telje positiivne.

1.10.2 Momentkoormuse ülekandmine elastsele teljele

Mõjugu õhukeseseinalise varda mingis ristlõikes, ümber vardaga risti oleva telje y , koondmoment M_y , mille kaugus elastsest teljest on e (jn 1.22 a). Varras on liitööseisundis, kus esineb korraga paine ja takistatud vääne.

Koormuse ülekandmisel tekib kaks tööseisundit, mida saab eraldi vaadelda:

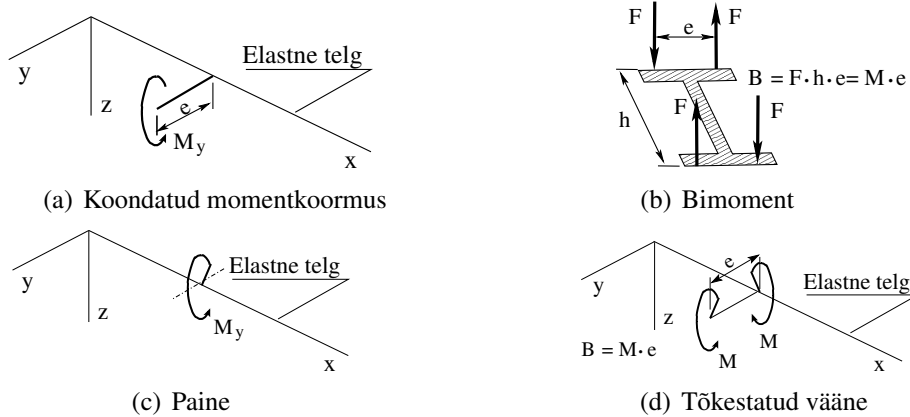
- paine, kus varras on koormatud momendiga M_y (jn 1.22 c);
- takistatud vääne, kus varras on koormatud jõudude bipaariga¹⁷ $M \cdot e$, kus e on jõudude bipaari õlg (jn 1.22 d, $M = M_y$).

Kui vaadata piki momendipaari õlga, siis loeme jõudude bipaari momendi (bimomendi) positiivseks juhul, kui vaatajapoolne moment pöörab vastupäeva ning vaatajast kaugem moment pöörab päripäeva (jn 1.18 b). Reegel kehtib olenemata sellest, kummas telje suunas vaadata.

$$B_w = M_y \cdot e \quad (1.70)$$

kus

¹⁷ Kaks võrdvastupidist jõupaari (joonisel 1.22 b jõupaarid $F \cdot h$), mis asetsevad paralleelsetel tasanditel, moodustavad jõudude bipaari. Nende tasandite vahelist kaugust nimetatakse jõudude bipaari õlaks. Jõupaari momendi korrutist bipaari õlga nimetakse bimomendiks: $B = F \cdot h \cdot e = M \cdot e$.



Joonis 1.22. Koondatud momentkoormuse lahutamine

M_y – koondmoment;

e – lõikekeskme kaugus ristlõike keskjoonest.

Nii nagu koondmomenti M_y üleviimisel, kanname ühtlaselt jaotatud momenti m_y elastsele teljele (jn 1.23a). Jaotatud momenti m_y kaugus elastsest teljest on e . Varras on liitööseisundis, kus esineb korruga paine ja takistatud vääne.

Koormuse ülekandmisel tekib kaks tööseisundit, mida saab eraldi vaadelda:

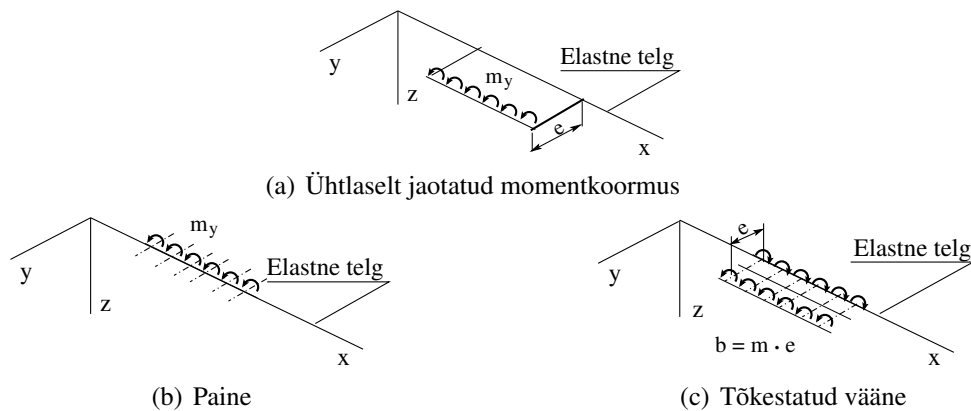
- paine, kus varras on koormatud ühtlaselt jaotatud momendiga m_y (jn 1.23b);
- takistatud vääne, kus varras on koormatud ühtlaselt jaotatud jõudude bipaariga $m \cdot e$, kus e on jõudude bipaari õlg (jn 1.23c, $m = m_y$).

$$b_\omega = m_y \cdot e \quad (1.71)$$

kus

m_y – ühtlaselt jaotatud moment;

e – lõikekeskme kaugus ristlõike keskjoonest.

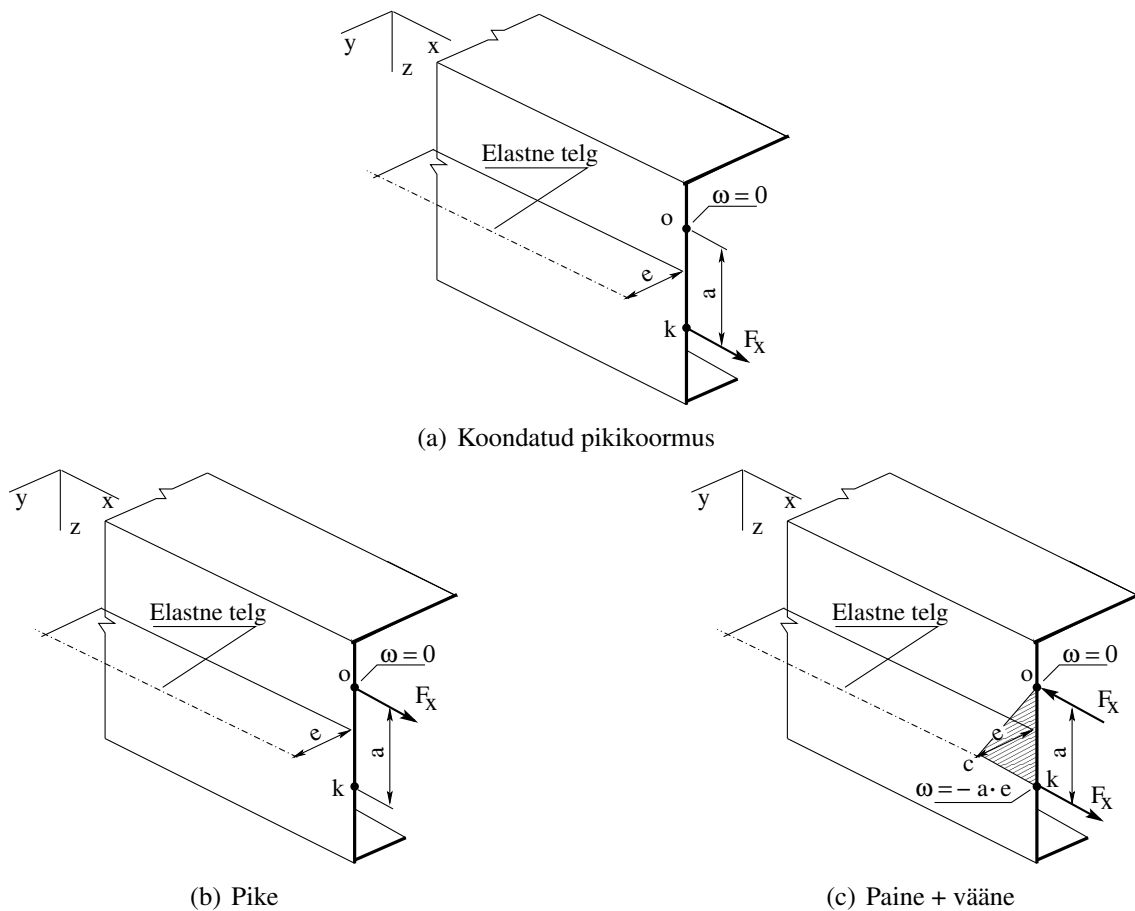


Joonis 1.23. Ühtlaselt jaotatud momentkoormuse lahutamine

Ühtlaselt jaotatud jõudude bipaari b_ω märgi määrame samal viisil kui jõudude bipaari momendi märgi.

1.10.3 Pikikoormuse ülekandmine elastsele teljele

Mõjugu õhukeseseinalise varda ristlõike keskjoone punktis k (mis ei ole **sektorkoordinaadi nullpunkt**) koondatud pikikoormus F_x (jn 1.24a).



Joonis 1.24. Koondatud pikikoormuse lahutamine

Kanname nimetatud pikikoormuse üle sektorkoordinaadi nullpunkti O (jn 1.24b), mis asub kaugusel a , ja lisame jõupaari õlaga a (jn 1.24c). Et jõupaar ei asu **lõikekeset** läbival tasandil, siis on varras liittööseisundis (paine + vääne), mida vaatlesime eelmises jaotises. Punkti k sektorkoordinaadi (sektorpinjala) ω_k saame avaldada kauguse a ning lõikekeskme ja ristlõike keskjoone vahekauguse e kaudu (jn 1.24c):

$$\omega_k = -2 \cdot \Delta okc = -a \cdot e \quad (1.72)$$

Sektorkoordinaadi määramisel on raadiusvektori päripäevane pööre negatiivne.

Koormuse ülekandmisel saime järgmised tööseisundid:

- pike, kus vardal on koondatud pikikoormus F_x sektorkoordinaadi nullpunktis O (jn 1.24b);
- paine + vääne, kus varras on koormatud koondmomendiga (jn 1.24c).

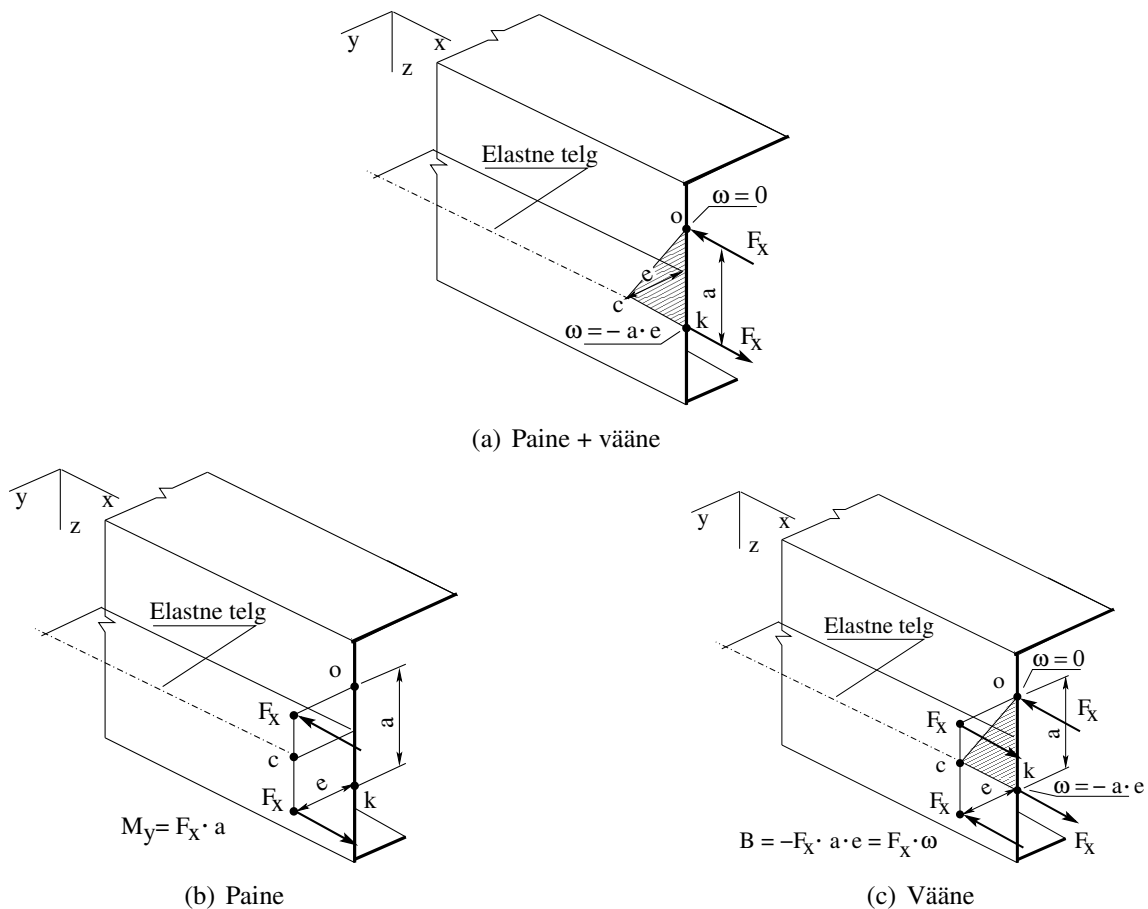
Lahutame liitööseisundi „paine + vääne“ (jn 1.24c ja 1.25a) paindeks ja väände. Paindel kanname jõupaari momendi löikekeset c läbivale tasandile, mis on paralleelne antud mõjutasandiga (jn 1.25b). Väändel lisame teise jõupaari tasandile, mis läbib löikekeset c ja on paralleelne antud jõupaari mõjutasandiga. Antud ja lisatav jõupaar on moodulilt võrdsed, kuid vastassuunalised (jn 1.25c).

Kahel paralleelsel mõjutasandil mõjuvaid võrdseid, kuid vastupidiselt suunatud jõupaare nimetatakse *jõubipaariks*. Ühe jõupaari korrutamisel *bipaaari õlaga* (jõupaaride mõjutasandite vahelise kaugusega) saadakse *bipaaari moment (bimoment)*.

Pikikoormuse F_x (ei asu *sektorkoordinaadi nullpunktis*) ülekandmisel saame tööseisunditeks pikke, painde ja väände.

Takistatud väändel tekib bipaaari moment (bimoment) B_ω .

$$B_\omega = -F_x a \cdot e = F_x \cdot \omega_k \quad (1.73)$$



Joonis 1.25. Koondatud pikikoormuse lahutamine

kus

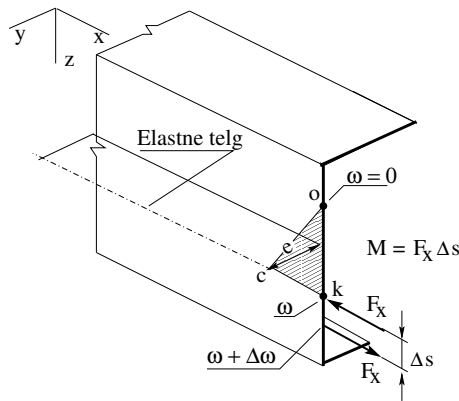
F_x – pikijõud;

ω_k – pikijõu rakenduspunkti k sektorkoordinaat;

a – jõupaari õlg;

e – lõikekeskme kaugus ristlõike keskjoonest.

Järgmisena vaatleme juhtu, kus keskpinna vabalt valitud punktis, mis on antud koordinaadiga ω , mõjub moment M (jn 1.26).



Joonis 1.26. Moment keskpinnas

Siin võib momentkoormust käsitleda kui pikijõu F_x ja õla Δs korrutise piirväärtust $M = \lim_{\Delta s \rightarrow 0} F_x \Delta s$, kust avaldame pikikoormuse

$$F_x = \frac{M}{\Delta s} \quad (1.74)$$

Kasutame bipaari momendi (bimomendi) B_ω avaldist (1.73):

$$B_\omega = F_x \cdot (\omega + \Delta\omega) - F_x \cdot \omega = M \frac{\Delta\omega}{\Delta s} \quad (1.75)$$

Suhtega $\Delta\omega/\Delta s$ piirile minnes saame piirväärtuseks

$$\lim_{\Delta s \rightarrow 0} \frac{\Delta\omega}{\Delta s} = \frac{d\omega}{ds} = \omega' \quad (1.76)$$

Nüüd saame bimomendile B_ω (1.75) avaldise

$$B_\omega = M\omega' \quad (1.77)$$

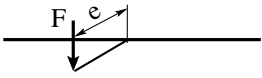
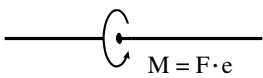
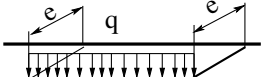
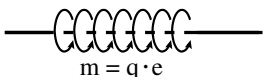
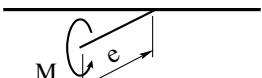
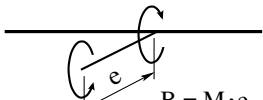
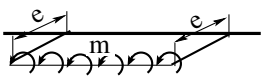
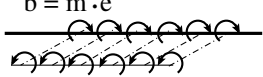
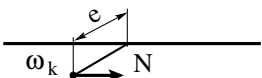
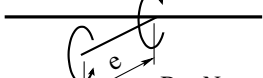
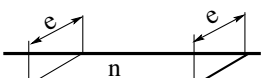
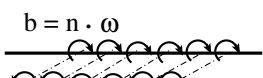
Selgub, et avaldistes (1.70) ja (1.77) on võrdsed suurused:

$$M \cdot e = M \cdot \omega' \quad (1.78)$$

Bipaari momendi märgi määrame vastavalt bimomendi märgireeglile (jn 1.18). Bimomendi vaatajapoolisel mõjutasandil oleva jõupaari pööramissuund¹⁸ määrab ära ka tema märgi. Jooniselt 1.25c näeme, et vaatajapoolne moment pöörab päripäeva ja on seega negatiivne. Siin on kasutatud parema käe teljestiku (jn A.3) märgireegleid, kus telje otsast vaadates on pööre päripäeva negatiivne ja pööre vastupäeva positiivne.

Eespool vaadeldud liitööseisunditest lahutatud väändetööseisundid on esitatud tabelis.

Tabel 1.1. Koormusskeemid õhukeseseinalise varda takistatud väändel

Liitööseisund	Vääne
 <p>vt jaotis 1.10.1</p>	 <p>$M = F \cdot e$</p>
 <p>vt jaotis 1.10.1</p>	 <p>$m = q \cdot e$</p>
 <p>vt jaotis 1.10.2</p>	 <p>$B = M \cdot e$</p>
 <p>vt jaotis 1.10.2</p>	 <p>$b = m \cdot e$</p>
 <p>vt jaotis 1.10.3</p>	 <p>$B = N \cdot \omega$</p>
 <p>vt jaotis 1.10.3</p>	 <p>$b = n \cdot \omega$</p>

¹⁸ <http://www.mh.ttu.ee/jkirs/staatika/Staatika3.doc> lk 126, (10.02.2016)

Ühtlaselt jaotatud pikikoormuse n_x tööseisundi saab lahutada lihttööseisunditeks nii nagu koondatud pikikoormuse juhul [Böt62]. Takistatud väänet põhjustab ühtlaselt jaotatud bimoment b_ω :

$$b_\omega = n_x \cdot \omega_k \quad (1.79)$$

kus n_x – ühtlaselt jaotatud pikikoormus;

ω_k – ühtlaselt jaotatud pikikoormuse rakenduspunkti k sektorkoordinaat.

1.11 Toed

Õhukeseseinaliste varraste takistatud väändel võib tugelele seada rajatingimusi väändnurga θ , suhtelise väändnurga θ' , vabaväändmomendi T_t , koguväändmomendi T_{sum} , kooldeväändmomendi T_ω ja bimomendi B_ω järgi (vt tabel 1.2 ja [BP68, lk 424]).

Tabel 1.2. Toed õhukeseseinalise varda väändel

Toe skeem	Rajatingimus	Toe kirjeldus
	$\theta = 0$ $\theta' = 0$	Jäik tugi: ei võimalda pööret ega kooldumist
	$\theta = 0$ $B_\omega = 0$	Tugi ei võimalda pööret; kooldumine on vaba
	$\theta' = 0$ $T_\omega = 0$	Tugi võimaldab pööret; ei võimalda kooldumist
	$B_\omega = 0$ $T_{sum} = T_t + T_\omega = 0$	Vaba ots
	$\theta' = 0$ $T_\omega = M$	Tugi võimaldab pööret; ei võimalda kooldumist. Toel on rakendatud väändmoment
	$B_\omega = 0$ $T_{sum} = T_t + T_\omega = M$	Vabale otsale on rakendatud väändmoment

Rajatingimuste seadmisel tuleb arvestada energiateoreemis (B.8) leitud rajatingimusi:

$$W_r = \left[T_{sum} \hat{\theta} - B_\omega \hat{\theta}' - b_\omega \hat{\theta} \right] \Big|_0^l \quad (1.80)$$

Kui esitatud paarides $T_{sum} \Leftrightarrow \hat{\theta}$, $B_\omega \Leftrightarrow \hat{\theta}'$, $b_\omega \Leftrightarrow \hat{\theta}$ üks suurus on ette antud, siis teine on tundmatu, mis tuleb leida. Nii näiteks on tabelis 1.2 jäiga toe puhul antud θ ja T_t . Tundmatuks on $T_{sum} = T_t + T_\omega$, kus T_t on antud, ning järelikult T_ω tuleb leida.

2. Takistatud väände võrrandid

2.1 Takistatud väände diferentsiaalvõrrandid

2.1.1 Väändenurga elastse joone diferentsiaalvõrrand

Õhukeseseinalise varda takistatud väände diferentsiaalvõrrandi tuletamist alustame määrangust (1.27)

$$T_{sum} = T_{xt} + T_{x\omega} \quad (2.1)$$

kus

T_{sum} – koguväändemoment;

T_{xt} – vabaväändemoment (väändemoment St. Venant'i väändel);

$T_{x\omega}$ – kooldeväändemoment (kooldenihkepingetele vastav väändemoment).

Vabaväändemoment T_{xt} ja väändenurk $\theta(x)$ on seotud avaldisega (1.1)

$$T_{xt} = GI_t\theta' \quad (2.2)$$

kus G on nihkeelastsusmoodul e nihkemoodul e Coulomb'i moodul ja I_t on väändeinertsimoment.

Bimomendi B_ω ja väändenurga tuletis θ'' on seotud avaldisega (1.19)

$$B_\omega = -EI_\omega\theta'' \quad (2.3)$$

Kooldeväändemoment T_ω ja väändenurk $\theta(x)$ on seotud avaldisega (1.43)

$$T_\omega = -EI_\omega\theta''' \quad (2.4)$$

kus E on (normaal)elastsusmoodul (Youngi moodul) ja I_ω on sektorinertsimoment (A.60).

Koguväändemomendi T_{sum} ja lausmomendi m_x vaheline seos (1.45):

$$\frac{dT_{sum}}{dx} = -m_x \quad (2.5)$$

Diferentseerime võrrandit (2.1) x-koordinaadi järgi:

$$-\frac{T_{xt}}{dx} - \frac{T_{x\omega}}{dx} = -\frac{T_{sum}}{dx} \quad (2.6)$$

Asendame võrrandis (2.6) väändemomendid väändenurga θ avaldistega ja lausmomendiga m_x :

$$EI_\omega \frac{d^4\theta}{dx^4} - GI_t \frac{d^2\theta}{dx^2} = m_x \quad (2.7)$$

Saadud võrrandi jagame *kooldejäikusega* EI_ω (sks Wölbsteifigkeit, ingl warping rigidity, vn секториальная жесткость депланации):

$$\frac{d^4\theta}{dx^4} - \frac{GI_t}{EI_\omega} \frac{d^2\theta}{dx^2} = \frac{m_x}{EI_\omega} \quad (2.8)$$

Võtame kasutusele õhukeseseinalise varda takistatud väänet iseloomustava karakteristiku κ , mida edaspidi nimetame *kooldekarakteristikuks* (sks Abklingfaktor für Torsion, ingl flexural-torsion cross-section characteristic, vn изгибно-крутильная характеристика стержня):

$$\kappa = \sqrt{\frac{GI_t}{EI_\omega}}, \quad a = \sqrt{\frac{EI_\omega}{GI_t}} \quad (2.9)$$

kus

a – kooldekarakteristiku pöördväärus (ingl torsional bending constant) [HIM11];

EI_ω – kooldejäikus;

GI_t – vabaväändejäikus (sks Torsionssteifigkeit, ingl torsional rigidity, vn жесткость при чистом кручении).

Õhukeseseinalise varda takistatud väänet iseloomustava karakteristikuna on kasutusel ka varda *tunnusarv väändel* ϵ_t (sks Stabkennzahl für Torsion, ingl torsion parameter e warping parameter, vn корень характеристического уравнения).

$$\epsilon_t = l \sqrt{\frac{GI_t}{EI_\omega}} \quad (2.10)$$

kus l on varda pikkus.

Nüüd esitame diferentsiaalvõrrandi (2.8) kujul

$$\theta^{IV} - \kappa^2 \theta'' = \frac{m_x}{EI_\omega} \quad (2.11)$$

2.1.2 Väändenurga elastse joone diferentsiaalvõrrand pikikoormusel

Koostame elemendile ABCD (jn 1.16) mõjuvate jõudude momentide võrrandi *elastse telje* O-O suhtes:

$$\sum M_{o-o} = 0, \quad - \int_A \frac{(\partial \tau_\omega \delta)}{\partial x} dx r ds - \int_A \frac{\partial m_\tau}{\partial x} dx ds = 0 \quad (2.12)$$

kus r on pooluse C_k kaugus keskjoone puutujast (vt ka jn A.2).

Taandame võrrandi (2.12) dx -iga ja asendame $r ds$ sektorkoordinaadi diferentsiaaliga $d\omega$ (vt jaotis A.1):

$$\int_A \delta \frac{\partial \tau_\omega}{\partial x} d\omega + \frac{\partial}{\partial x} \int_A m_\tau ds = 0 \quad (2.13)$$

Saadud võrrandi teise liikme teisendamisel arvestame seost (1.57) ja vabaväändemomendi T_t avaldist (1.1):

$$\frac{\partial}{\partial x} \int_A m_\tau ds = \frac{\partial}{\partial x} T_t = GI_t \theta'' \quad (2.14)$$

Kooldenihekpingete avaldise (1.62) ja avaldise (2.14) kasutamine võimaldab võrrandi (2.13) esitada järgmisel kujul:

$$\int_A \left[E\theta^{IV} \int_{A^*} \omega dA - n'(x) \right] d\omega + GI_t \theta'' = 0 \quad (2.15)$$

Kirjutame viimase võrrandi kujule

$$E\theta^{IV} \int_A d\omega \int_{A^*} \omega dA - \int_A n'(x) d\omega + GI_t \theta'' = 0 \quad (2.16)$$

Võrrandi (2.16) esimest liiget ositi integreerides (vt avaldis (1.65)) saame

$$E\theta^{IV} \int_A \left(\omega \int_A \omega dA - \int_A \omega^2 dA \right) - n'(x) \omega + GI_t \theta'' = 0 \quad (2.17)$$

Kui sektorkoordinaadi ω algus on sektorkoordinaadi peanullpunktis, siis võrdub kogu ristlõike staatiline sektormoment nulliga: $\int_A \omega dA = 0$ (1.29). Nüüd võtab võrrand (2.17) kuju

$$EI_\omega \theta^{IV} - GI_t \theta'' + n'(x) \omega = 0 \quad (2.18)$$

Jagame saadud võrrandi kooldejäikusega EI_ω :

$$\theta^{IV} - \kappa^2 \theta'' + \frac{n'(x) \omega}{EI_\omega} = 0 \quad (2.19)$$

kus κ on kooldekarakteristik

$$\kappa = \sqrt{\frac{GI_t}{EI_\omega}} \quad (2.20)$$

Siin on EI_ω kooldejäikus ja GI_t vabaväändejäikus.

2.1.3 Väändenurga elastse joone diferentsiaalvõrrand

Ühendame diferentsiaalvõrrandid (2.11) ja (2.19):

$$\theta^{IV} - \kappa^2 \theta'' = \frac{m_x - b'_x}{EI_\omega} \quad (2.21)$$

kus $b'_x = n'(x)\omega$ (võrdle avaldisega $b_\omega = n_x \cdot \omega_k$ (1.79)).

Diferentsiaalvõrrandi (2.21) lahendit otsime kujul

$$\theta = \theta_0 \theta_1 + \theta'_0 \theta_2 + \theta''_0 \theta_3 + \theta'''_0 \theta_4 + \theta_e(x) \quad (2.22)$$

kus

$\theta_0, \theta'_0, \theta''_0$ ja θ'''_0 – otsitava funktsiooni väärtused kohal $x = x_0$;

$\theta_1, \theta_2, \theta_3$ ja θ_4 – homogeense diferentsiaalvõrrandi normeeritud lahendite fundamentaalsüsteem¹ [Sad63, lk 39];

$\theta_e(x)$ – mittehomogeense diferentsiaalvõrrandi erilahend.

2.1.4 Homogeenne diferentsiaalvõrrand

Homogeense diferentsiaalvõrrandi

$$\theta^{IV} - \kappa^2 \theta'' = 0 \quad (2.23)$$

normeerimata lahendite süsteemi otsime järgmisel kujul:

$$\theta_1^* = 1, \quad \theta_2^* = x, \quad \theta_3^* = \text{ch } \kappa x, \quad \theta_4^* = \text{sh } \kappa x \quad (2.24)$$

kus $\kappa = \sqrt{\frac{GI_t}{EI_\omega}}$.

Lahendite süsteemi (2.24) normeerimiseks kirjutame välja Wronski² determinandi³:

$$W(x) = \begin{vmatrix} 1 & x & \text{ch } \kappa x & \text{sh } \kappa x \\ 0 & 1 & \kappa \text{sh } \kappa x & \kappa \text{ch } \kappa x \\ 0 & 0 & \kappa^2 \text{ch } \kappa x & \kappa^2 \text{sh } \kappa x \\ 0 & 0 & \kappa^3 \text{sh } \kappa x & \kappa^3 \text{ch } \kappa x \end{vmatrix} \quad (2.25)$$

Wronski determinandi W väärtus kohal $x = 0$:

$$W(0) = \begin{vmatrix} 1 & 0 & 1 & 0 \\ 0 & 1 & 0 & \kappa \\ 0 & 0 & \kappa^2 & 0 \\ 0 & 0 & 0 & \kappa^3 \end{vmatrix} \quad (2.26)$$

Selleks et determinandi (2.26) väärtus oleks üks, teeme teisendused:

¹ <http://www.mh.ttu.ee/jkirs/Difequation/Difequat6.doc#page=163>
(30.12.2015)

² Józef Maria Wronski (1776–1853), poola filosoof, matemaatik ja füüsik.

³ Determinant, kus iga järgmine rida on eelmise rea tuletis.

- lahutame kolmandast veerust esimese veeru ja korrutame tulemuse suurusega $(1/\kappa)^2$;
- lahutame neljandast veerust κ -ga korrutatud teise veeru, seejärel korrutame neljanda veeru suurusega $(1/\kappa)^3$.

Tulemuseks on ühikmaatriks

$$W(0) = \begin{vmatrix} 1 & 0 & 0 & 0 \\ 0 & 1 & 0 & 0 \\ 0 & 0 & 1 & 0 \\ 0 & 0 & 0 & 1 \end{vmatrix} = 1 \quad (2.27)$$

Teeme sarnase teisenduse normeerimata lahendite süsteemiga (2.25):

- lahutame kolmandast veerust esimese veeru ja korrutame tulemuse suurusega $(1/\kappa)^2$;
- lahutame neljandast veerust κ -ga korrutatud teise veeru, seejärel korrutame neljanda veeru suurusega $(1/\kappa)^3$.

Saame normeeritud lahendite fundamentaalsüsteemi:

$$\begin{aligned} \theta_1 &= 1, & \theta_2 &= x, \\ \theta_3 &= \frac{1}{\kappa^2} (\operatorname{ch} \kappa x - 1), & \theta_4 &= \frac{1}{\kappa^3} (\operatorname{sh} \kappa x - \kappa x) \end{aligned} \quad (2.28)$$

Varda sisejõudude leidmisel kasutatakse rajajõudude (kontaktjõudude) määramiseks kahte erinevat märgikokkulepet (jn 1.17). Esimese märgikokkuleppe puhul

$$\theta_0 = \theta_0, \quad \theta'_0 = \frac{T_{xt}^{(0)}}{GI_t}, \quad \theta''_0 = -\frac{B_\omega^{(0)}}{EI_\omega}, \quad \theta'''_0 = -\frac{T_\omega^{(0)}}{EI_\omega} \quad (2.29)$$

ja teise märgikokkuleppe korral

$$\theta_0 = \theta_0, \quad \theta'_0 = -\frac{T_{xt}^{(0)}}{GI_t}, \quad \theta''_0 = \frac{B_\omega^{(0)}}{EI_\omega}, \quad \theta'''_0 = \frac{T_\omega^{(0)}}{EI_\omega} \quad (2.30)$$

Homogeense diferentsiaalvõrrandi üldlahend esimese märgikokkuleppe puhul on

$$\theta = \theta_0 + \frac{T_{xt}^{(0)}}{GI_t} x - \frac{B_\omega^{(0)}}{EI_\omega} \frac{1}{\kappa^2} (\operatorname{ch} \kappa x - 1) - \frac{T_\omega^{(0)}}{EI_\omega} \frac{1}{\kappa^3} (\operatorname{sh} \kappa x - \kappa x) \quad (2.31)$$

ning teise märgikokkuleppe korral

$$\theta = \theta_0 - \frac{T_{xt}^{(0)}}{GI_t} x + \frac{B_\omega^{(0)}}{EI_\omega} \frac{1}{\kappa^2} (\operatorname{ch} \kappa x - 1) + \frac{T_\omega^{(0)}}{EI_\omega} \frac{1}{\kappa^3} (\operatorname{sh} \kappa x - \kappa x) \quad (2.32)$$

Asendame avaldises (2.32) kooldejäikuse pöördväärtuse ($1/EI_\omega$) seosega (2.9) ($1/EI_\omega = \kappa^2/GI_t$).

$$\theta = \theta_0 - \frac{T_{xt}^{(0)}}{GI_t} x + \frac{B_\omega^{(0)}}{GI_t} (\text{ch } \kappa x - 1) + \frac{T_\omega^{(0)}}{GI_t} \frac{1}{\kappa} (\text{sh } \kappa x - \kappa x) \quad (2.33)$$

$$\theta' = 0 - \frac{T_{xt}^{(0)}}{GI_t} + \frac{B_\omega^{(0)}}{GI_t} \kappa \text{sh } \kappa x + \frac{T_\omega^{(0)}}{GI_t} (\text{ch } \kappa x - \kappa) \quad (2.34)$$

$$\theta'' = 0 + 0 + \frac{B_\omega^{(0)}}{GI_t} \kappa^2 \text{ch } \kappa x + \frac{T_\omega^{(0)}}{GI_t} \kappa \text{sh } \kappa x \quad (2.35)$$

$$\theta''' = 0 + 0 + \frac{B_\omega^{(0)}}{GI_t} \kappa^3 \text{sh } \kappa x + \frac{T_\omega^{(0)}}{GI_t} \kappa^2 \text{ch } \kappa x \quad (2.36)$$

2.1.5 Diferentsiaalvõrrandi erilahendid

Mittehomogeense diferentsiaalvõrrandi (2.21) vabaliikmele lisame lauskoormusega ekvivalentse üldistatud koormuse [YSM00].

$$\theta^{IV} - \kappa^2 \theta'' = \frac{m_x}{EI_\omega} + \frac{M_x \delta(t - x_0)}{EI_\omega} \quad (2.37)$$

Siin on

$M_x \delta(t - x_0)/EI_\omega$ lauskoormusega $m_x = q_z \cdot e$ (jn 1.19a) ekvivalentne koguväändemoment (2.1), kus $M_x = F_z \cdot e$ ning e on jõu F_z kaugus löikekeskmeid ühendavast teljest (jn 1.19b);

$\delta(t - a)$ – Dirac'i⁴ deltafunktsioon.

Mittehomogeense diferentsiaalvõrrandi (2.37) erilahendit $\theta_e(x)$ (2.22) otsime Cauchy⁵ valemi [Sad63, lk 40], [Ste59] abil:

$$\theta_e(x) = \int_{x_0}^x K(x, t) f_n(t) dt \quad (2.38)$$

kus $K(x, t)$ on vastava homogeense diferentsiaalvõrrandi normeeritud lahend. Täpsemalt,

$$\theta_e(x) = \int_{x_0}^x K_4(x, t) f_4(t) dt + \int_{x_0}^x K_3(x, t) f_3(t) dt \quad (2.39)$$

Siin kasutame normeeritud lahendite fundamentaalsüsteemi (2.28):

$$K_4(x, t) = \theta_4(x - t) = \frac{1}{\kappa^3} (\text{sh } \kappa(x - t) - \kappa(x - t)) \quad (2.40)$$

$$K_3(x, t) = \theta_3(x - t) = \frac{1}{\kappa^2} (\text{ch } \kappa(x - t) - 1) \quad (2.41)$$

⁴ Paul Adrien Maurice Dirac (1902–1984), inglise füüsik.

⁵ Augustin-Louis Cauchy (1789–1857), prantsuse matemaatik.

ja koormusfunktsioone $f_n(t)$:

$$f_4(t) = \frac{m_x(t)}{EI_\omega}, \quad f_3(t) = \frac{M_x(t)}{EI_\omega} \quad (2.42)$$

Avaldame seosest (2.9) kooldejäikuse EI_ω :

$$\frac{1}{EI_\omega} = \frac{1}{GI_t} \kappa^2, \quad EI_\omega = GI_t \frac{1}{\kappa^2} \quad (2.43)$$

Nüüd saame koormusfunktsioonid $f_n(t)$ esitada kujul

$$f_4(t) = \frac{m_x(t)}{GI_t} \kappa^2, \quad f_3(t) = \frac{M_x(t)}{GI_t} \kappa^2 \quad (2.44)$$

Vaatleme juhtu, kui $m_x(t) = \text{const}$. Erilahendi (2.39) saamiseks tuleb integreerida avaldis

$$\theta_{4e}(x) = \int_{x_0}^x K_4(x, t) f_4(t) dt = \frac{m_x}{EI_\omega} \frac{1}{\kappa^3} \int_{x_0}^x (\text{sh } \kappa(x-t) - \kappa(x-t)) dt \quad (2.45)$$

või

$$\theta_{4e}(x) = \int_{x_0}^x K_4(x, t) f_4(t) dt = \frac{m_x}{GI_t} \frac{1}{\kappa} \int_{x_0}^x (\text{sh } \kappa(x-t) - \kappa(x-t)) dt \quad (2.46)$$

Esmalt integreerime integraalide (2.45), (2.46) esimese liikme:

$$\int_a^x \text{sh } \kappa(x-t) dt = -\frac{1}{\kappa} \text{ch } \kappa(x-t) \Big|_a^x = \frac{1}{\kappa} (\text{ch } \kappa(x-a)_+ - 1) \quad (2.47)$$

kus $(x-a)_+$ on Heaviside'i⁶ funktsioon

$$(x-a)_+ = \begin{cases} 0, & \text{kui } (x-a) < 0 \\ x-a, & \text{kui } (x-a) \geq 0 \end{cases} \quad (2.48)$$

Integraalide (2.45), (2.46) teise liikme integreerimisel saame

$$\int_a^x \kappa(x-t) dt = -\kappa \frac{(x-t)^2}{2} \Big|_a^x = \kappa \frac{(x-a)_+^2}{2} \quad (2.49)$$

Asetame leitud integraalid erilahenditesse (2.45), (2.46):

$$\theta_{4e}(x) = \frac{m_x}{EI_\omega} \frac{1}{\kappa^4} \left[\text{ch } \kappa(x-a)_+ - 1 - \kappa^2 \frac{(x-a)_+^2}{2} \right] \quad (2.50)$$

$$\theta_{4e}(x) = \frac{m_x}{GI_t} \frac{1}{\kappa^2} \left[\text{ch } \kappa(x-a)_+ - 1 - \kappa^2 \frac{(x-a)_+^2}{2} \right] \quad (2.51)$$

⁶ Oliver Heaviside (1850–1925), inglise füüsik ja elektriinsener.

Mittehomogeense diferentsiaalvõrrandi (2.37) teisele vabaliikmele ($M_x/EI_\omega = \text{const}$) vastava erilahendi saame avaldist (2.39) integreerides:

$$\theta_{3e}(x) = \int_{x_0}^x K_3(x,t) f_3(t) dt = \frac{M_x}{EI_\omega} \kappa^2 \int_{x_0}^x (\text{ch } \kappa(x-t) - 1) dt \quad (2.52)$$

või

$$\theta_{3e}(x) = \int_{x_0}^x K_3(x,t) f_3(t) dt = \frac{M_x}{GI_t} \int_{x_0}^x (\text{ch } \kappa(x-t) - 1) dt \quad (2.53)$$

Integreerime integraalide (2.52), (2.53) esimese liikme:

$$\int_a^x \text{ch } \kappa(x-t) dt = -\frac{1}{\kappa} \text{sh } \kappa(x-t) \Big|_a^x = \frac{1}{\kappa} (\text{sh } \kappa(x-a)_+) \quad (2.54)$$

Integraalide (2.52), (2.53) teise liikme integreerimisel saame

$$\int_a^x 1 dt = -(x-t) \Big|_a^x = (x-a)_+ \quad (2.55)$$

Asetame leitud integraalid erilahendisse (2.52), (2.53):

$$\theta_{3e}(x) = \frac{M_x}{EI_\omega} \frac{1}{\kappa^3} [\text{sh } \kappa(x-a)_+ - \kappa(x-a)_+] \quad (2.56)$$

$$\theta_{3e}(x) = \frac{M_x}{GI_t} \frac{1}{\kappa} [\text{sh } \kappa(x-a)_+ - \kappa(x-a)_+] \quad (2.57)$$

Lisame bimomendi $B_k = M \cdot e$ erilahendi:

$$\theta_{2e}(x) = \frac{B_k}{EI_\omega} \frac{1}{\kappa^2} [\text{ch } \kappa(x-a)_+ - 1] \quad (2.58)$$

$$\theta_{2e}(x) = \frac{B_k}{GI_t} [\text{ch } \kappa(x-a)_+ - 1] \quad (2.59)$$

Lisame erilahendid $n \cdot \omega$ jaoks:

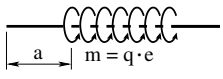
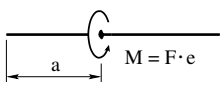
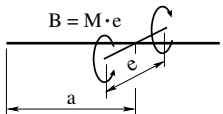
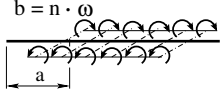
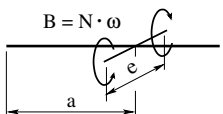
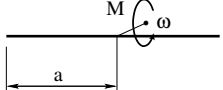
$$\theta_{3e}^{(n)}(x) = \frac{-n \cdot \omega}{GI_t} \frac{1}{\kappa} [\text{sh } \kappa(x-a)_+ - \kappa(x-a)_+] \quad (2.60)$$

$$\theta_{2e}^{(N)}(x) = \frac{-N \cdot \omega}{GI_t} [\text{ch } \kappa(x-a)_+ - 1] \quad (2.61)$$

$$\theta_{2e}^{(M)}(x) = \frac{M \cdot \omega'}{GI_t} [\text{ch } \kappa(x-a)_+ - 1] \quad (2.62)$$

Tabelis 1.1 esitatud koormuste jaoks on koostatud diferentsiaalvõrrandite erilahendite tabel 2.1.

Tabel 2.1. Erilahendid õhukeseseinalise varda väändel

Koormuse skeem	Erilahendid
	$\theta_{4e}^{(q)}(x) = \frac{m}{GI_t} \frac{1}{\kappa^2} \left[\operatorname{ch} \kappa (x - a)_+ - \kappa^2 \frac{(x - a)_+^2}{2} - 1 \right]$
	$\theta_{3e}^{(M)}(x) = \frac{M}{GI_t} \frac{1}{\kappa} [\operatorname{sh} \kappa (x - a)_+ - \kappa (x - a)_+]$
	$\theta_{2e}^{(B)}(x) = \frac{B}{GI_t} [\operatorname{ch} \kappa (x - a)_+ - 1]$
	$\theta_{3e}^{(n)}(x) = \frac{n \cdot \omega}{GI_t} \frac{1}{\kappa} [\operatorname{sh} \kappa (x - a)_+ - \kappa (x - a)_+]$
	$\theta_{2e}^{(N)}(x) = \frac{N \cdot \omega}{GI_t} [\operatorname{ch} \kappa (x - a)_+ - 1]$
	$\theta_{2e}^{(M)}(x) = \frac{M \cdot \omega'}{GI_t} [\operatorname{ch} \kappa (x - a)_+ - 1] \quad (\text{vt } 1.77)$

Leiame erilahendi $\theta_{4e}(x)$ tuletised:

$$\theta_{4e}(x) = \frac{m_x}{GI_t} \frac{1}{\kappa^2} \left[\operatorname{ch} \kappa (x - a)_+ - \kappa^2 \frac{(x - a)_+^2}{2} - 1 \right] \quad (2.63)$$

$$\theta'_{4e}(x) = \frac{m_x}{GI_t} \frac{1}{\kappa} [\operatorname{sh} \kappa (x - a)_+ - \kappa (x - a)_+] \quad (2.64)$$

$$\theta''_{4e}(x) = \frac{m_x}{GI_t} [\operatorname{ch} \kappa (x - a)_+ - 1] \quad (2.65)$$

$$\theta'''_{4e}(x) = \frac{m_x}{GI_t} \kappa [\operatorname{sh} \kappa (x - a)_+] \quad (2.66)$$

2.2 Ülekandemaatriks takistatud väändel

Õhukeseseinalise varda takistatud väände ülekandemaatriksi koostamiseks teise märgikokkuleppe järgi vaatleme väändenurga tuletiste ja momentide vahelisi seoseid:

$$T_t = GI_t \theta' = EI_\omega \kappa^2 \theta' \quad (2.67)$$

$$B_\omega = -GI_t \frac{1}{\kappa^2} \theta'' = -EI_\omega \theta'' \quad (2.68)$$

$$T_\omega = -GI_t \frac{1}{\kappa^2} \theta''' = -EI_\omega \theta''' \quad (2.69)$$

Väändenurga ja väändemomentide seosed saame algparameetritest, võttes väändenurgast tuletised (2.33)–(2.36) ja korrutades need vastava jäikusega (2.67)–(2.69).

$$\theta = \theta_0 - \frac{T_{xt}^{(0)}}{GI_t} x + \frac{B_\omega^{(0)}}{GI_t} (\text{ch } \kappa x - 1) + \frac{T_\omega^{(0)}}{GI_t} \frac{1}{\kappa} (\text{sh } \kappa x - \kappa x) \quad (2.70)$$

$$T_t = GI_t \theta' = 0 - T_{xt}^{(0)} + B_\omega^{(0)} \kappa \text{sh } \kappa x + T_\omega^{(0)} (\text{ch } \kappa x - 1) \quad (2.71)$$

$$B = -GI_t \frac{1}{\kappa^2} \theta'' = -0 - 0 - B_\omega^{(0)} \text{ch } \kappa x - T_\omega^{(0)} \frac{1}{\kappa} \text{sh } \kappa x \quad (2.72)$$

$$T_\omega = -GI_t \frac{1}{\kappa^2} \theta''' = -0 - 0 - B_\omega^{(0)} \kappa \text{sh } \kappa x - T_\omega^{(0)} \text{ch } \kappa x \quad (2.73)$$

Esitame võrrandid (2.70)–(2.73) maatrikskujul

$$\mathbf{Z}_L(\mathbf{x}) = \mathbf{U} \cdot \mathbf{Z}_A \quad (2.74)$$

kus \mathbf{Z}_L , \mathbf{Z}_A on varda lõpus ja alguses olevad väändenurgad ning väändemomendid

$$\mathbf{Z}_L = \begin{bmatrix} \theta_L \\ T_{tL} \\ B_{\omega L} \\ T_{\omega L} \end{bmatrix}, \quad \mathbf{Z}_A = \begin{bmatrix} \theta_A \\ T_{tA} \\ B_{\omega A} \\ T_{\omega A} \end{bmatrix} = \begin{bmatrix} \theta_0 \\ T_{xt}^{(0)} \\ B_\omega^{(0)} \\ T_\omega^{(0)} \end{bmatrix} \quad (2.75)$$

ja ülekandemaatriks \mathbf{U} teise märgikokkuleppe puhul

$$\mathbf{U} = \begin{bmatrix} 1 & -\frac{1}{GI_t} x & \frac{1}{GI_t} (\text{ch } \kappa x - 1) & \frac{1}{GI_t} \frac{1}{\kappa} (\text{sh } \kappa x - \kappa x) \\ 0 & -1 & \kappa \text{sh } \kappa x & \text{ch } \kappa x - 1 \\ 0 & 0 & -\text{ch } \kappa x & -\frac{1}{\kappa} \text{sh } \kappa x \\ 0 & 0 & -\kappa \text{sh } \kappa x & -\text{ch } \kappa x \end{bmatrix} \quad (2.76)$$

2.2.1 Koormusvektor takistatud väändel

Koormusvektori $\overset{\circ}{\mathbf{Z}}$ esitame kujul

$$\overset{\circ}{\mathbf{Z}} = \begin{bmatrix} \theta_e \\ T_{te} \\ B_{\omega e} \\ T_{\omega e} \end{bmatrix} = \begin{bmatrix} \theta_e \\ GI_t \theta'_e \\ -GI_t \frac{1}{\kappa^2} \theta''_e \\ -GI_t \frac{1}{\kappa^2} \theta'''_e \end{bmatrix} = \begin{bmatrix} \theta_e \\ EI_{\omega} \kappa^2 \theta'_e \\ EI_{\omega} \theta''_e \\ EI_{\omega} \theta'''_e \end{bmatrix} \quad (2.77)$$

Koormusvektori leidmist alustame erilahendist (2.51):

$$\theta_e = \theta_{4e}(x) = \frac{m_x}{GI_t \kappa^2} \left[\text{ch } \kappa (x-a)_+ - 1 - \kappa^2 \frac{(x-a)_+^2}{2} \right] \quad (2.78)$$

$$T_{te} = GI_t \theta'_{4e}(x) = m_x \frac{1}{\kappa} [\text{sh } \kappa (x-a)_+ - \kappa (x-a)_+] \quad (2.79)$$

$$B_{\omega e} = -GI_t \frac{1}{\kappa^2} \theta''_{4e}(x) = m_x \frac{1}{\kappa^2} [1 - \text{ch } \kappa (x-a)_+] \quad (2.80)$$

$$T_{\omega e} = -GI_t \frac{1}{\kappa^2} \theta'''_{4e}(x) = -m_x \frac{1}{\kappa} [\text{sh } \kappa (x-a)_+] \quad (2.81)$$

Avaldistest (2.78)–(2.81) moodustame lausmomendi m_x koormusvektori

$$\overset{\circ}{\mathbf{Z}} = \begin{bmatrix} \theta_e \\ T_{te} \\ B_{\omega e} \\ T_{\omega e} \end{bmatrix} = \begin{bmatrix} \frac{m_x}{GI_t \kappa^2} \left[\text{ch } \kappa (x-a)_+ - 1 - \kappa^2 \frac{(x-a)_+^2}{2} \right] \\ m_x \frac{1}{\kappa} [\text{sh } \kappa (x-a)_+ - \kappa (x-a)_+] \\ m_x \frac{1}{\kappa^2} [1 - \text{ch } \kappa (x-a)_+] \\ -m_x \frac{1}{\kappa} [\text{sh } \kappa (x-a)_+] \end{bmatrix} \quad (2.82)$$

2.3 Põhivõrrandid takistatud väändel

Avaldame õhukeseseinalise varda takistatud väände põhivõrrandid maatrikskujul

$$\mathbf{Z}_L(\mathbf{x}) = \mathbf{U} \cdot \mathbf{Z}_A + \overset{\circ}{\mathbf{Z}} \quad (2.83)$$

kus

$\mathbf{Z}_L, \mathbf{Z}_A$ – avaldisega (2.75) näidatud väändenurgad ja väändemomendid varda lõpus ning alguses;

\mathbf{U} – ülekandemaatriks (2.76).

Õhukeseseinalise varda takistatud väände põhivõrrandid teise märgikokkuleppe puhul (2.83) saab kirjutada võrrandisüsteemina

$$\mathbf{U} \cdot \mathbf{Z}_A - \mathbf{I}_{4 \times 4} \cdot \mathbf{Z}_L = -\overset{\circ}{\mathbf{Z}} \quad (2.84)$$

Lühemalt

$$\widehat{\mathbf{U}}_{4 \times 8} \cdot \widehat{\mathbf{Z}} = -\overset{\circ}{\mathbf{Z}} \quad (2.85)$$

kus

$$\widehat{\mathbf{Z}} = \begin{bmatrix} \mathbf{Z}_A \\ \mathbf{Z}_L \end{bmatrix} \quad (2.86)$$

$\widehat{\mathbf{U}}_{4 \times 8}$ – laiendatud ülekandemaatriks ($U_{4 \times 4} | -I_{4 \times 4}$):

$$\widehat{\mathbf{U}}_{4 \times 8} = \begin{bmatrix} 1 & -\frac{i_0}{GI_t} x & \frac{i_0}{GI_t} (\text{ch } \kappa x - 1) & \frac{i_0}{GI_t} \frac{1}{\kappa} (\text{sh } \kappa x - \kappa x) \\ 0 & -1 & \kappa \text{sh } \kappa x & \text{ch } \kappa x - 1 \\ 0 & 0 & -\text{ch } \kappa x & -\frac{1}{\kappa} \text{sh } \kappa x \\ 0 & 0 & -\kappa \text{sh } \kappa x & -\text{ch } \kappa x \end{bmatrix} - \begin{bmatrix} 1 & 0 & 0 & 0 \\ 0 & 1 & 0 & 0 \\ 0 & 0 & 1 & 0 \\ 0 & 0 & 0 & 1 \end{bmatrix} \quad (2.87)$$

ning koormusvektor $\overset{\circ}{\mathbf{Z}}$ lausmomendiga m_x avaldub

$$\overset{\circ}{\mathbf{Z}} = \begin{bmatrix} \frac{i_0 m_x}{GI_t} \frac{1}{\kappa^2} \left[\text{ch } \kappa (x - a)_+ - 1 - \kappa^2 \frac{(x - a)_+^2}{2} \right] \\ m_x \frac{1}{\kappa} \left[\text{sh } \kappa (x - a)_+ - \kappa (x - a)_+ \right] \\ m_x \frac{1}{\kappa^2} \left[1 - \text{ch } \kappa (x - a)_+ \right] \\ - m_x \frac{1}{\kappa} \left[\text{sh } \kappa (x - a)_+ \right] \end{bmatrix} \quad (2.88)$$

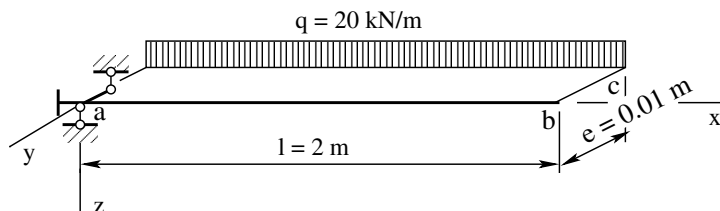
Siin on i_0 väändenurga θ skaleerimistegur (võrrandisüsteemiga (2.85) leitavad väändenurgad on i_0 korda suuremad).

Iga varda ülekandevõrrandite (2.85) kohta lisame neli rajatingimust.

2.3.1 Ülekandevõrrandite lahenduste testimine

Ülekandevõrrandeid kasutame varrassüsteemide rajatülesande püstitamiseks. Rajatülesande lahendamisel rakendame EST-meetodit. Lahendatavad ülesanded valisime nii, et saadud tulemused oleksid võrreldavad teiste meetodite abil leitudetega. Õhukeseseinalise varda väände hõreda laiendatud ülekandemaatriksi ($U_{4 \times 4} | -I_{4 \times 4}$) (2.85) koostamiseks kasutame GNU Octave'i funktsioone [ySpWGvfmhvI.m](#), [ySpWGfmlin.m](#). Koormusvektori $\overset{\circ}{\mathbf{Z}}$ (vt tabel C.1) leiame funktsioonidega [yzWGMx.m](#), [yzWGMx.m](#), [yzWGB.y.m](#), [SisejoudWGMxpunktis.m](#).

Näide 2.1 (lausmoment konsoolil). Koostada joonisel 2.1 kujutatud konsooli väändenurga θ_x , vabaväändemomendi T_t , bimomendi B_ω ja kooldeväändemomendi T_ω epiüürid.



Joonis 2.1. Lausmoment konsoolil

Andmed. Konsoolile pikkusega $l = 2$ m mõjub ekstsentriline lauskoormus $q = 20$ kN/m ($m_x = -20$ $\text{mathrm(kN} \cdot \text{m)/m}$). Vertikaalse lauskoormuse q ekstsentrilisus $e = 1.0$ cm. Ristlõike kooldejäikus ($EI_\omega = 1.052 \times 10^3$ kN \cdot m⁴), vabaväändejäikus ($GI_t = 2.63 \times 10^2$ kN \cdot m²) ja kooldekarakteristik ($\kappa = \sqrt{GI_t/EI_\omega} = \sqrt{2.63 \times 10^8/1.052 \times 10^{13}} = 0.005$ cm⁻¹) on konstantsed.

Lahendus. Vaatleme konsooli ühe elemendina, siis sisesidemed [Jür85, lk 8–9] puuduvad. Rajatingimuste W_r seadmisel on arvestatud energiateoreemi (B.8).

$$W_r = [T_{sum}\theta - B_\omega\theta' - b_\omega\theta] \Big|_0^l \quad (2.89)$$

Siit saab jälgida, milline rajatingimus on antud ja milline leitakse. Esimesel toel on toetingimuste paarides $T_{sum} \Leftrightarrow \theta$ ja $B_\omega \Leftrightarrow \theta'$ antud väändenurk $\theta = 0$ ja suhteline väändenurk $\theta' = 0$. Seega on esimene tugi jäik ning ei võimalda pööret ega kooldumist. Tundmatud on bimoment B_ω ja koguväändemoment T_{sum} .

Konsooli lõpus on antud bimoment $B_\omega = 0$ ja koguväändemoment $T_{sum} = T_t + T_\omega = 0$. Tundmatuks jäävad väändenurk θ ja suhteline väändenurk θ' ($T_t = GI_t\theta'$).

Rajaväärtuste arvutamiseks kasutame nagu EST-meetodi [Lah97a], [Lah14], [Lah97b], [Lah98a] puhulgi hõredat võrrandisüsteemi⁷

$$\text{spA} \cdot \mathbf{Z} = \mathbf{B} \quad (2.90)$$

kus \mathbf{Z} on võrrandisüsteemi tundmatute vektor

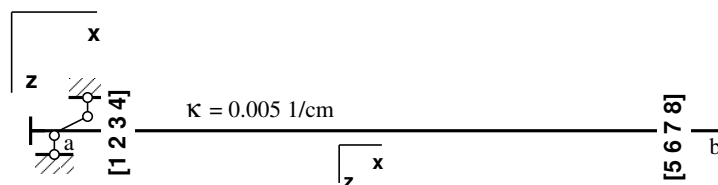
$$\mathbf{Z} = \hat{\mathbf{Z}} = \begin{bmatrix} \mathbf{Z}_a \\ \mathbf{Z}_b \end{bmatrix} \quad (2.91)$$

mille elementideks on väändenurgad ja väändemomendid varda alguses ning lõpus (jn 2.2):

$$\mathbf{Z}_a = \begin{bmatrix} \theta_A \\ T_{tA} \\ B_{\omega A} \\ T_{\omega A} \end{bmatrix} = \begin{bmatrix} Z(1,1) \\ Z(2,1) \\ Z(3,1) \\ Z(4,1) \end{bmatrix}, \quad \mathbf{Z}_b = \begin{bmatrix} \theta_L \\ T_{tL} \\ B_{\omega L} \\ T_{\omega L} \end{bmatrix} = \begin{bmatrix} Z(5,1) \\ Z(6,1) \\ Z(7,1) \\ Z(8,1) \end{bmatrix} \quad (2.92)$$

Muutuja $Z(i,1)$ indeks ($i=1, 2, 3, \dots, 8$) on toodud joonisel 2.2.

⁷ http://digi.lib.ttu.ee/opik_eme/Ehitusmehaanika.pdf#equation.14.22



Joonis 2.2. Lausmoment konsoolil. Muutujad

Põhivõrrandites (2.84) [Lah12, jn 14.9]⁸

$$\widehat{\mathbf{U}}_{4 \times 8} \cdot \widehat{\mathbf{Z}} = -\dot{\mathbf{Z}} \quad (2.93)$$

sisalduva laiendatud ülekandemaatriksi $\widehat{\mathbf{U}}_{4 \times 8} \equiv (\mathbf{U}_{4 \times 4} \mid -\mathbf{I}_{4 \times 4})$ (2.87) arvutamiseks saab kasutada GNU Octave'i funktsiooni *ySpWGvfmhvI.m*.

Võrrandisüsteemis (2.93) on tundmatuid poole rohkem kui võrrandeid. Kanname need võrrandid võrrandisüsteemi (2.90) (vt väljavõte programmist 2.1).

Väljavõte programmist 2.1 (Naide2_1.m)

```
# Tala hõreda laiendatud ülekandemaatriksi arvutus
spvF=ySpWGvfmhvI(baasi0,1,GI_t,EI_w);
vB=yzWGmx(baasi0,1,1,a,mx,GI_t,EI_w); # koormusvektori arvutus
IIv=1;
IJv=1;
vB=vB.*(-1);
# sisestab ülekandemaatriksi võrrandisüsteemi spA*Z=Bvb
spA=spInsertBtoA(spA,IIv,IJv,spvF);
# sisestab koormusvektori võrrandisüsteemi vabaliikmesse Bv
Bvb=InsertBtoA(Bvb,NNK,1,IIv,1,vB,4,1);
# võrrandisüsteemi vabaliige Bvb on eelnevalt nullitud
```

Võrrandisüsteemis (2.90) peab olema võrrandeid ja tundmatuid ühepalju. Võrrandite arv peab ühtima maatriksi \mathbf{spA} astakuga. Puuduvad sõltumatud võrrandid saame kinemaatilistest ja staatilistest rajatingimustest (vt jaotis 3.1).

Järgnevalt

- püstitame rajatingimused;
- arvutame algparameetrid;
- arvutame väändenurgad ja väändemomendid;
- koostame sisejõudude epüürid.

Rajatingimuste püstitus. Väliste rajatingimuste seadmisel tuleb arvestada energia-teoreemi⁹ (B.8). Kui avaldistes $\theta \Leftrightarrow T_{sum}$, $\theta' \Leftrightarrow B_\omega$ üks pool (pöördenurk θ , suhteline väändenurk θ') on antud, siis teine pool (koguväändemoment T_{sum} , bimoment B_ω) on tundmatu.

Konsoolil on sõlmes a jäik tugi, mis ei võimalda pööret ega kooldumist (vt tabel 1.2). Tundmatud on bimoment B_ω ja koguväändemoment $T_{sum} = T_t + T_\omega$. Viimases on vabaväändemoment antud: $T_t = GI_t \theta' = 0$. Tundmatuks jääb kooldeväändemoment T_ω .

⁸ http://digi.lib.ttu.ee/opik_eme/Ehitusmehaanika.pdf#figure.14.9

⁹ http://digi.lib.ttu.ee/opik_eme/Ehitusmehaanika.pdf#equation.F.26

Konsooli otsas, sõlmes b , on bimoment $B_\omega = 0$ ja koguväändemoment $T_{sum} = 0$. Tundmatud on pöördenurk θ ja suhteline väändernurk θ' ($GI_t\theta' = T_t$).

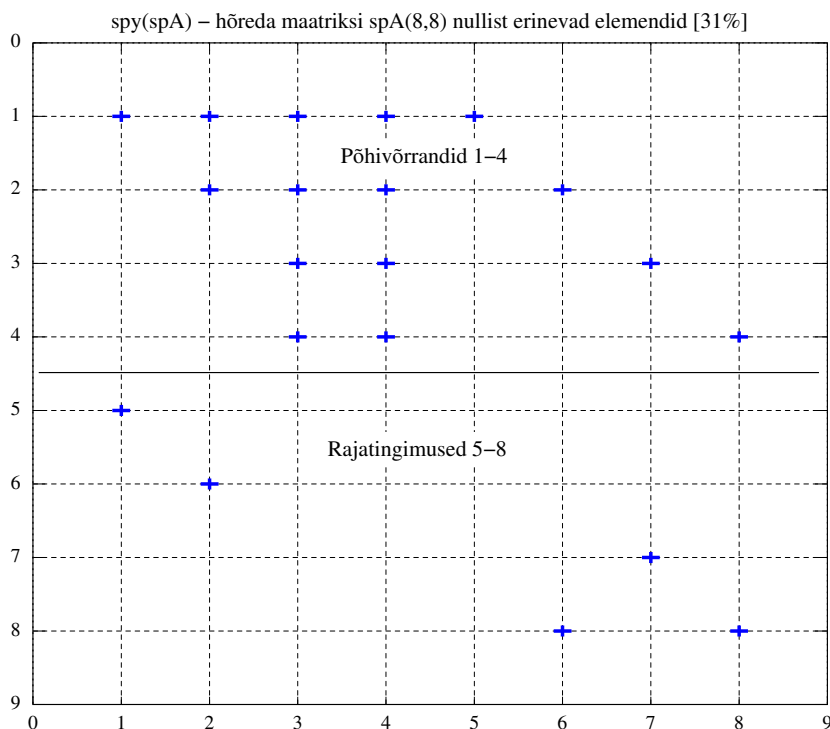
$$\begin{aligned} Z(1,1) &= \theta_A &= & 0 \\ Z(2,1) &= T_{tA} &\equiv & \theta_A = 0 \\ Z(7,1) &= B_{\omega L} &= & 0 \\ Z(6,1) + Z(8,1) &= T_{tL} + T_{\omega L} &\equiv & T_{sumL} = 0 \end{aligned} \quad (2.94)$$

Koostatud on neli rajatingimuse võrrandit. Sisestame need võrrandisüsteemi (2.90) (vt väljavõte programmist 2.2). Võrrandisüsteemi astak võrdub tundmatute arvuga. Järelikult on sisestatud võrrandid lineaarselt sõltumatud.

Väljavõte programmist 2.2 (Naide2_1.m)

```
##### Rajatingimused
spA=spSisestaArv(spA,5,1,1); # $theta_A$ - väändernurk
spA=spSisestaArv(spA,6,2,1); # $T_{tA}$ - kooldeväändemoment
spA=spSisestaArv(spA,7,7,1); # $B_{\omega L}$ - bimoment
spA=spSisestaArv(spA,8,6,1); # $T_{tL} + T_{\omega L}$ -
spA=spSisestaArv(spA,8,8,1); # - üldväändemoment
#vastavad vabaliikmed Bvb on juba nullitud
spA_rank = sprank(spA) # võrrandisüsteemi astak
```

Joonisel 2.3 on sisestatud võrrandisüsteemi kordajate hõreda maatriksi muster (hõreda maatriksi $spA(8,8)$ nullist erinevate elementide asukohad).



Joonis 2.3. Lausmoment konsoolil. Hõreda maatriksi spA muster

Sisestatud võrrandisüsteemi kordajad hõredas maatriksis spA on esitatud arvutuspäeviku väljavõttes 2.1.

Väljavõte arvutuspäevikust 2.1 (Naide2_1.m)

```
spA =
Compressed Column Sparse (rows = 8, cols = 8, nnz = 20 [31%])

(1, 1) -> 1          (3, 3) -> -1.5431      (2, 6) -> -1
(5, 1) -> 1          (4, 3) -> -0.0058760  (8, 6) -> 1
(1, 2) -> -7604.6    (1, 4) -> 1332.3      (3, 7) -> -1
(2, 2) -> -1         (2, 4) -> 0.54308     (7, 7) -> 1
(6, 2) -> 1          (3, 4) -> -235.04     (4, 8) -> -1
(1, 3) -> 20.649     (4, 4) -> -1.5431     (8, 8) -> 1
(2, 3) -> 0.0058760 (1, 5) -> -1
```

Sisestatud võrrandisüsteemi vabaliikmete vektor B on esitatud arvutuspäeviku väljavõttes 2.2.

Väljavõte arvutuspäevikust 2.2 (Naide2_1.m)

```
B =

1.3104e+07      0.0000e+00
7.0080e+03      0.0000e+00
-4.3446e+06     0.0000e+00
-4.7008e+04     0.0000e+00
```

Algparameetrite arvutus. Rajaväärtuste leidmisel korrutasime väändenurgad skaleerimisteguriga: $baasi0 = 1.0 \times 10^{10}$. Skaleerimata algparameetrite saamiseks tuleb vastavad suurused jagada skaleerimisteguriga. Konsooli skaleerimata algparameetrid on toodud arvutuspäeviku väljavõttes 2.3.

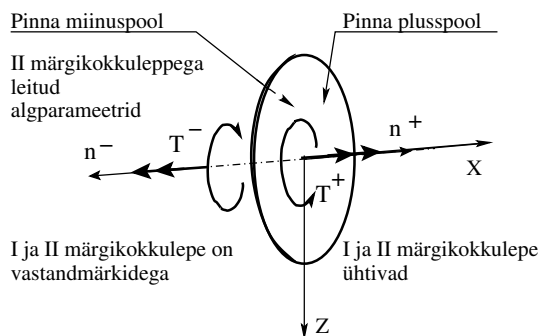
Väljavõte arvutuspäevikust 2.3 (Naide2_1.m)

```
Algparameetrid - AP1
theta -      0.0000e+00
Tt -      0.0000e+00
B -      -3.2772e+06
Tw -      4.0000e+04
```

Väändenurkade ja väändemomentide arvutus. Väändenurkade ja väändemomentide leidmiseks konsooli ristlõiget kasutame ülekandevõrrandit (C.1)

$$\mathbf{Z}_L(\mathbf{x}) = \mathbf{U} \cdot \mathbf{Z}_A + \overset{\circ}{\mathbf{Z}} \quad (2.95)$$

kus \mathbf{Z}_A on konsooli algparameetrid (vt arvutuspäeviku väljavõte 2.3). Ülekandemaatriksi \mathbf{U} leiame GNU Octave'i funktsiooniga `ylWGfhlin.m` ja koormusvektori \mathbf{Z} funktsioonidega `yzWGMx.m` ja `yzWGMx.m` (vt väljavõte programmist 2.3).

Joonis 2.4. Pinna pluss- ja miinuspool¹⁰

Varda algul, ristlõike negatiivsel pinnal ($x = 0, n^-$) (jn 2.4), on algparameetrid I ja II märgikokkuleppe puhul eri märkidega (jn 1.17). Arvutiprogrammiga leiame algparameetrid II märgikokkuleppe järgi, sisejõudude märgi määrame aga vastavalt I märgikokkuleppele. Plusspinnal on sisejõud I ja II märgikokkuleppe puhul sama märgiga. Seega arvutame sisejõud avaldisega (2.95) ka varda algul ristlõike plusspoolel ($x = 0, n^+$), nii saame sisejõud I märgikokkuleppe järgi.

Väljavõtte programmist 2.3 (Naide2_1.m)

```
AP=AlgPar(:,1)
baasi0=1.0
Nmitmeks=4
xx=0;
xsamm=1/Nmitmeks;
for ij=1:Nmitmeks+1 # 5 - displacements and forces at x=0.0
Xloikes(ij,1)=xx;
    vvF=y1WGfhlIn(baasi0,1,xx,GIt,EIw);
    vvB=yzWGMx(baasi0,1,xx,a,mx,GIt,EIw); # koormusvektori arvutus
    Fvv(1:4,ij)=vvF*AP+vvB;
    Fvv(5,ij)=Fvv(2,ij)+Fvv(4,ij);
xx=xx+xsamm;
endfor
```

Arvutustulemused on esitatud arvutuspäeviku väljavõttes 2.4.

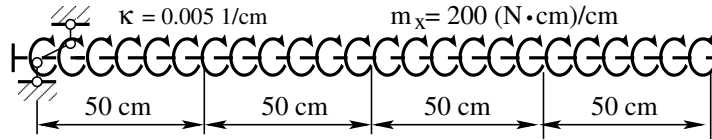
Väljavõtte arvutuspäevikust 2.4 (Naide2_1.m)

```
baasi0 = 1
Nmitmeks = 4
k = 0.0050000
    x=          0.00          50.00          100.00          150.00          200.00
theta -      0.000e+00      -3.169e-04      -1.029e-03      -1.881e-03      -2.748e-03
    Tt -      0.000e+00      -2.987e+03      -4.277e+03      -4.580e+03      -4.542e+03
    B -      3.277e+06      1.611e+06      5.477e+05      2.185e+04      -9.313e-10
    Tw -     -4.000e+04      -2.701e+04      -1.572e+04      -5.420e+03      4.542e+03
    Tsum -     -4.000e+04      -3.000e+04      -2.000e+04      -1.000e+04      -2.001e-11

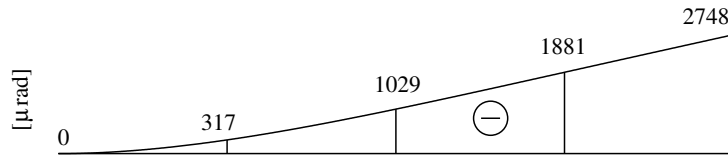
    x =          177.1936900000
theta -     -2.354e-03
    Tt -     -4.561e+03
    B -     -5.173e+04
    Tw -      1.333e-03
    Tsum -     -4.561e+03
```

¹⁰ Positiivne ja negatiivne sisejõud: http://www.mh.ttu.ee/priitp/Tugevusopetus/Tugevus_analuusi_alused/3_Detailide_tugevus_vaandel.pdf#page=7 (lk 37) (4.04.2015)

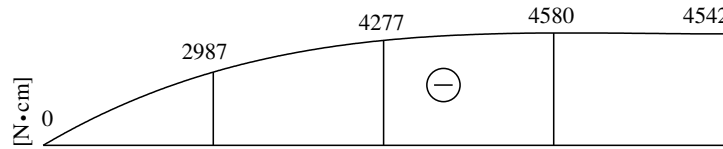
Leitud tulemuste põhjal koostame epüürid lausmomendist konsoolil (jn 2.5).



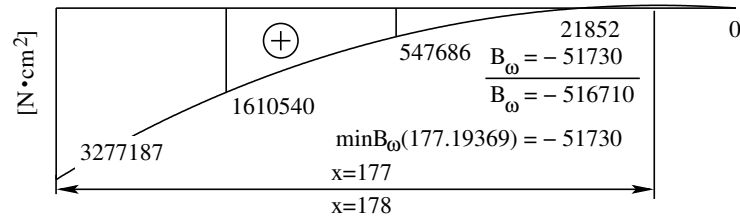
(a) Koormus $m_x = -200 N$ (vt tabel 1.1)



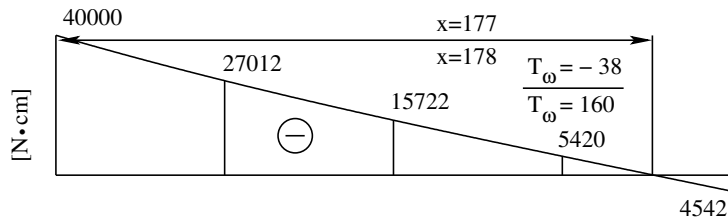
(b) Väändenurk θ



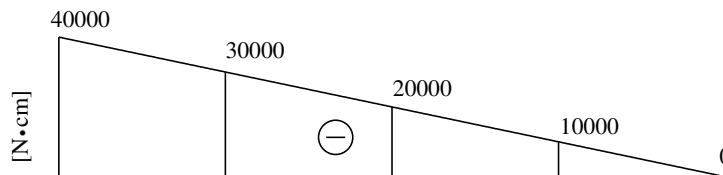
(c) Vabaväändemoment T_t



(d) Bimoment B_ω



(e) Kooldeväändemoment T_ω



(f) Koguväändemoment T_{sum}

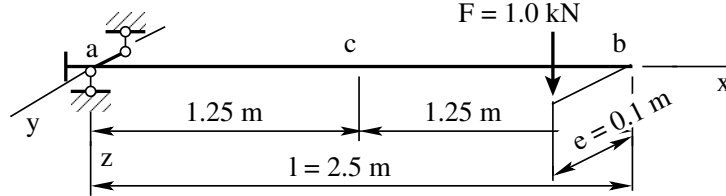
Joonis 2.5. Lausmoment konsoolil. Epüürid

Tabelist 2.2 näeme, et EST-meetodiga saadud tulemused on kooskõlas raamatus [Sad63] toodutega.

Tabel 2.2. Lausmoment konsoolil. Tulemuste võrdlus

x [cm]	Z(x)	[Sad63]	Mõõtühik	EST-meetod	Mõõtühik
0.0	θ		rad	0.000	rad
	T_t	0.00	kG·cm	0.000	N·cm
	B_ω	3.28×10^5	kG·cm ²	3.277×10^6	N·cm ²
	T_ω	-4.00×10^3	kG·cm	-4.000×10^4	N·cm
	T_{sum}	-4.00×10^3	kG·cm	-4.000×10^4	N·cm
50	θ		rad	-3.169×10^{-4}	rad
	T_t		kG·cm	-2.987×10^3	N·cm
	B_ω		kG·cm ²	1.611×10^6	N·cm ²
	T_ω		kG·cm	-2.701×10^4	N·cm
	T_{sum}		kG·cm	-3.000×10^4	N·cm
100	θ	-1.6×10^{-4}	rad	-1.029×10^{-3}	rad
	T_t	-4.20×10^2	kG·cm	-4.277×10^3	N·cm
	B_ω	5.47×10^4	kG·cm ²	5.477×10^5	N·cm ²
	T_ω	-1.58×10^3	kG·cm	-1.572×10^4	N·cm
	T_{sum}	-2.00×10^3	kG·cm	-2.000×10^4	N·cm
177	θ	-2.4×10^{-4}	rad	-2.351×10^{-3}	rad
	T_t	-4.60×10^2	kG·cm	-4.562×10^3	N·cm
	B_ω	-5.23×10^3	kG·cm ²	-5.173×10^4	N·cm ²
	T_ω	0.00	kG·cm	-3.849×10^1	N·cm
	T_{sum}	-4.60×10^2	kG·cm	-4.600×10^3	N·cm
200	θ	-2.9×10^{-4}	rad	-2.748×10^{-3}	rad
	T_t	-4.54×10^2	kG·cm	-4.542×10^3	N·cm
	B_ω	0.00	kG·cm ²	-9.313×10^{-10}	N·cm ²
	T_ω	4.54×10^2	kG·cm	4.542×10^3	N·cm
	T_{sum}	0.00	kG·cm	-2.001×10^{-11}	N·cm

Näide 2.2 (koondmoment konsoolil). Koostada joonisel 2.6 kujutatud konsooli väändenurga θ_x , vabaväändemomendi T_t , bimomendi B_ω ja kooldeväändemomendi T_ω epüürid.



Joonis 2.6. Koondmoment konsoolil

Andmed. Konsooli pikkus $l = 2.5$ m. Konsooli otsa b on ekstsentriliselt rakendatud jõud $F = 1.0$ kN. Vertikaalse koormuse F ekstsentrilisus $e = 10.0$ cm. Ristlõike kooldejäikus ($EI_\omega = 5.9130 \times 10^4$ kN·m⁴), vabaväändejäikus ($GI_t = 9.4608 \times 10^3$ kN·m²) ja kooldekarakteristik ($\kappa = \sqrt{GI_t/EI_\omega} = \sqrt{9.4608 \times 10^{10}/5.9130 \times 10^{15}} = 0.004$ cm⁻¹) on konstantsed.

Lahendus. Vaatleme konsooli ühe elemendina, siis sisesidemed [Jür85, lk 8–9] puuduvad. Rajatingimuste W_r seadmisel on arvestatud energiateoreemi (B.8).

$$W_r = [T_{sum}\theta - B_\omega\theta' - b_\omega\theta] \Big|_0^l \quad (2.96)$$

Siit saab jälgida, milline rajatingimus on antud ja milline leitakse. Esimesel toel on toetingimuste paardes $T_{sum} \Leftrightarrow \theta$ ja $B_\omega \Leftrightarrow \theta'$ antud väändenurk $\theta = 0$ ja suhteline väändenurk $\theta' = 0$. Seega on esimene tugi jäik ning ei võimalda pööret ega kooldumist. Tundmatud on bimoment B_ω ja koguväändemoment T_{sum} .

Konsooli lõpus on antud bimoment $B_\omega = 0$ ja koguväändemoment $T_{sum} = T_t + T_\omega = e \cdot F_z = 0.1 \cdot 1.0 \times 10^3 = 100$ N·m. Tundmatuks jäävad väändenurk θ ja suhteline väändenurk θ' ($T_t = GI_t\theta'$).

Rajaväärtuste arvutamiseks kasutame nagu EST-meetodi [Lah97a], [Lah14] puhulgi hõredat võrrandisüsteemi¹¹

$$\text{spA} \cdot \mathbf{Z} = \mathbf{B} \quad (2.97)$$

kus \mathbf{Z} on võrrandisüsteemi tundmatute vektor

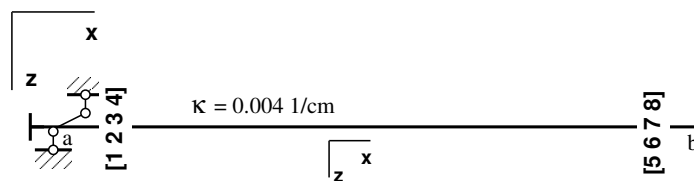
$$\mathbf{Z} = \hat{\mathbf{Z}} = \begin{bmatrix} \mathbf{Z}_a \\ \mathbf{Z}_b \end{bmatrix} \quad (2.98)$$

mille elementideks on väändenurgad ja -momendid varda alguses ja lõpus (jn 2.7):

$$\mathbf{Z}_a = \begin{bmatrix} \theta_A \\ T_{tA} \\ B_{\omega A} \\ T_{\omega A} \end{bmatrix} = \begin{bmatrix} Z(1,1) \\ Z(2,1) \\ Z(3,1) \\ Z(4,1) \end{bmatrix}, \quad \mathbf{Z}_b = \begin{bmatrix} \theta_L \\ T_{tL} \\ B_{\omega L} \\ T_{\omega L} \end{bmatrix} = \begin{bmatrix} Z(5,1) \\ Z(6,1) \\ Z(7,1) \\ Z(8,1) \end{bmatrix} \quad (2.99)$$

Muutuja $Z(i, 1)$ indeks ($i=1, 2, 3, \dots, 8$) on toodud joonisel 2.7.

¹¹ http://digi.lib.ttu.ee/opik_eme/Ehitusmehaanika.pdf#equation.14.22



Joonis 2.7. Koondmoment konsoolil. Muutujad

Põhivõrrandites (2.84) [Lah12, jn 14.9]¹²

$$\widehat{\mathbf{U}}_{4 \times 8} \cdot \widehat{\mathbf{Z}} = -\dot{\widehat{\mathbf{Z}}} \quad (2.100)$$

sisalduva laiendatud ülekanematriksi $\widehat{\mathbf{U}}_{4 \times 8} \equiv (\mathbf{U}_{4 \times 4} \mid -\mathbf{I}_{4 \times 4})$ (2.87) arvutamiseks saab kasutada GNU Octave'i funktsiooni *ySpWGvfmhvI.m*.

Võrrandisüsteemis (2.100) on tundmatuid poole rohkem kui võrrandeid. Kanname need võrrandid võrrandisüsteemi (2.97) (vt väljavõtte programmist 2.4).

Väljavõtte programmist 2.4 (Naide2_2.m)

```
# Tala hõreda laiendatud ülekanematriksi arvutus
spvF=ySpWGvfmhvI(baasi0,1,GIt,EIw);
%vB=yzWGMx(baasi0,1,1,a,mx,GIt,EIw); # koormusvektori arvutus
IIv=1;
IJv=1;
%vB=vB.*(-1);
# sisestab ülekanematriksi võrrandisüsteemi spA*Z=Bvb
spA=spInsertBtoA(spA,IIv,IJv,spvF);
% # sisestab koormusvektori võrrandisüsteemi vabaliikmesse Bv
%Bvb=InsertBtoA(Bvb,NNK,1,IIv,1,vB,4,1);
# võrrandisüsteemi vabaliige Bvb on eelnevalt nullitud
```

Võrrandisüsteemis (2.97) peab olema võrrandeid ja tundmatuid ühepalju. Võrrandite arv peab ühtima matriksi \mathbf{spA} astakuga. Puuduvad sõltumatud võrrandid saame kinemaatilistest ja staatilistest rajatingimustest (vt jaotis 3.1).

Järgnevalt

- püstitame rajatingimused;
- arvutame algparameetrid;
- arvutame väändenurgad ja väändemomendid;
- koostame sisejõudude epüürid.

Rajatingimuste püstitus. Väliste rajatingimuste seadmisel tuleb arvestada energia-teoreemi¹³ (B.8). Kui avaldistes $\theta \Leftrightarrow T_{sum}$, $\theta' \Leftrightarrow B_\omega$ üks pool (pöördenurk θ , suhteline väändenurk θ') on antud, siis teine pool (koguväändemoment T_{sum} , bimoment B_ω) on tundmatu.

Konsoolil on sõlmes a jäik tugi, mis ei võimalda pööret ega kooldumist (vt tabel 1.2). Tundmatud on bimoment B_ω ja koguväändemoment $T_{sum} = T_t + T_\omega$. Viimases on vabaväändemoment $T_t = GI_t\theta' = 0$ antud. Tundmatuks jääb kooldeväändemoment T_ω .

¹² http://digi.lib.ttu.ee/opik_eme/Ehitusmehaanika.pdf#figure.14.9

¹³ http://digi.lib.ttu.ee/opik_eme/Ehitusmehaanika.pdf#equation.F.26

Konsooli otsas, sõlmes b , on antud bimoment $B_\omega = 0$ ja koguväändemoment $T_{sum} = 0$. Tundmatuks jäävad pöördnurk θ ja suhteline väändenurk θ' ($GI_t\theta' = T_t$).

$$\begin{aligned}
 Z(1,1) &= \theta_A &= & 0 \\
 Z(2,1) &= T_{tA} &\equiv & \theta'_A &= 0 \\
 Z(7,1) &= B_{\omega L} &= & 0 \\
 Z(6,1) + Z(8,1) &= T_{tL} + T_{\omega L} &\equiv & T_{sumL} &= 10000.0 \text{ N}\cdot\text{cm}
 \end{aligned}
 \tag{2.101}$$

Koostatud on neli rajatingimuse võrrandit. Sisestame need võrrandisüsteemi (2.97) (vt väljavõte programmist 2.5). Võrrandisüsteemi astak võrdub tundmatute arvuga. Järelikult on sisestatud võrrandid lineaarselt sõltumatud.

Väljavõte programmist 2.5 (Naide2_2.m)

```
##### Rajatingimused
spA=spSisestaArv(spA,5,1,1); # $theta_A$ - väändenurk
spA=spSisestaArv(spA,6,2,1); # $T_{tA}$ - kooldeväändemoment
spA=spSisestaArv(spA,7,7,1); # $B_{\{L\}}$ - bimoment
spA=spSisestaArv(spA,8,6,1); # $T_{\{tL\}} + T_{\{\omega L\}}$
spA=spSisestaArv(spA,8,8,1); # - üldväändemoment
Bvb(8,1)=10000.0 ;
#vastavad vabaliikmed Bvb on juba nullitud
spA_rank = sprank(spA) # võrrandisüsteemi astak
```

Sisestatud võrrandisüsteemi kordajad hõredas maatriksis spA on esitatud arvutuspäeviku väljavõttes 2.5.

Väljavõte arvutuspäevikust 2.5 (Naide2_2.m)

```
spA =
Compressed Column Sparse (rows = 8, cols = 8, nnz = 20 [31%])

(1, 1) -> 1          (3, 3) -> -1.5431      (2, 6) -> -1
(5, 1) -> 1          (4, 3) -> -0.0047008   (8, 6) -> 1
(1, 2) -> -26.425    (1, 4) -> 4.6297       (3, 7) -> -1
(2, 2) -> -1         (2, 4) -> 0.54308      (7, 7) -> 1
(6, 2) -> 1          (3, 4) -> -293.80      (4, 8) -> -1
(1, 3) -> 0.057403   (4, 4) -> -1.5431      (8, 8) -> 1
(2, 3) -> 0.0047008 (1, 5) -> -1
```

Algparameetrite arvutus. Rajaväärtuste leidmisel korrutasime väändenurgad skaleerimisteguriga: $baasi0 = 1.0 \times 10^{10}$. Skaleerimata algparameetrite saamiseks tuleb vastavad suurused jagada skaleerimisteguriga. Konsooli skaleerimata algparameetrid on toodud arvutuspäeviku väljavõttes 2.6.

Väljavõte arvutuspäevikust 2.6 (Naide2_2.m)

```
Algparameetrid - AP1
theta - 0.0000e+00
Tt - 0.0000e+00
B - 1.9040e+06
Tw - -1.0000e+04
```

Väändenurkade ja väändemomentide arvutus. Väändenurkade ja väändemomentide leidmiseks konsooli ristlõigetel kasutame ülekandevõrrandit (C.1)

$$\mathbf{Z}_L(\mathbf{x}) = \mathbf{U} \cdot \mathbf{Z}_A + \overset{\circ}{\mathbf{Z}} \quad (2.102)$$

kus \mathbf{Z}_A on konsooli algparameetrid (vt arvutuspäeviku väljavõtte 2.6). Ülekandevõrrandi \mathbf{U} leiame GNU Octave'i funktsiooniga *yIWGfhlin.m* (vt väljavõtte programmist 2.6).

Väljavõtte programmist 2.6 (Naide2_2.m)

```
AP=AlgPar(:,1)
baasi0=1.0
Nmitmeks=4
xx=0;
xsamm=1/Nmitmeks;
for ij=1:Nmitmeks+1 # 5 - displacements and forces at x=0.0
Xloikes(ij,1)=xx;
    vvF=yIWGfhlin(baasi0,1,xx,GIt,EIw);
% vvB=yzWGmx(baasi0,1,xx,a,mx,GIt,EIw); # koormusvektori arvutus
    Fvv(1:4,ij)=vvF*AP % +vvB;
    Fvv(5,ij)=Fvv(2,ij)+Fvv(4,ij);
xx=xx+xsamm;
endfor
```

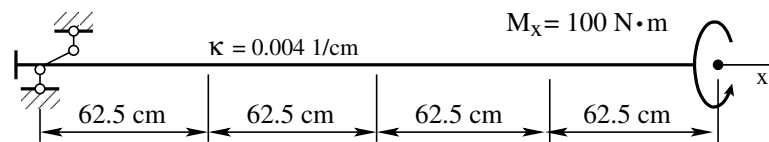
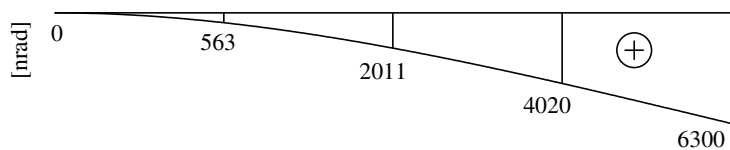
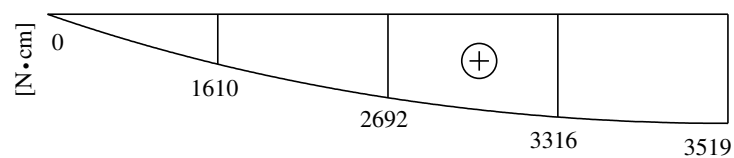
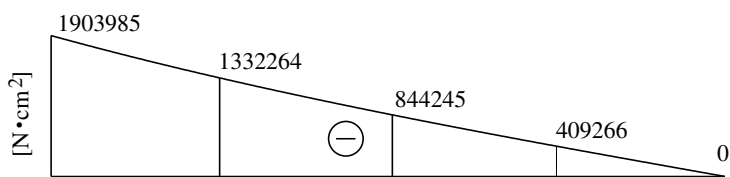
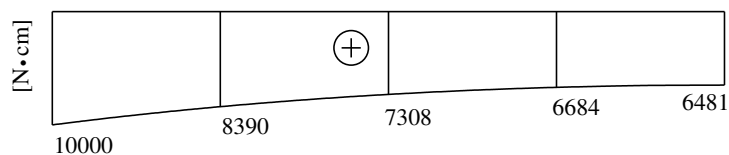
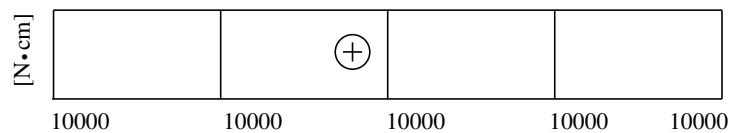
Arvutustulemused on esitatud arvutuspäeviku väljavõttes 2.7.

Väljavõtte arvutuspäevikust 2.7 (Naide2_2.m)

```
baasi0 = 1
Nmitmeks = 4
k = 0.0050000
    x=          0.00          50.00          100.00          150.00          200.00
theta - 0.000e+00 -3.169e-04 -1.029e-03 -1.881e-03 -2.748e-03
Tt - 0.000e+00 -2.987e+03 -4.277e+03 -4.580e+03 -4.542e+03
B - 3.277e+06 1.611e+06 5.477e+05 2.185e+04 -9.313e-10
Tw - -4.000e+04 -2.701e+04 -1.572e+04 -5.420e+03 4.542e+03
Tsum - -4.000e+04 -3.000e+04 -2.000e+04 -1.000e+04 -2.001e-11

    x = 177.1936900000
theta - -2.354e-03
Tt - -4.561e+03
B - -5.173e+04
Tw - 1.333e-03
Tsum - -4.561e+03
```

Leitud tulemuste põhjal koostame epiüürid koondmomentid konsoolil (jn 2.8).

(a) Koormus $M_x = 100 \text{ N}\cdot\text{m}$ (vt tabel 1.1)(b) Väändenurk θ (c) Vabaväändemoment T_t (d) Bimoment B_ω (e) Kooldeväändemoment T_ω (f) Koguväändemoment T_{sum}

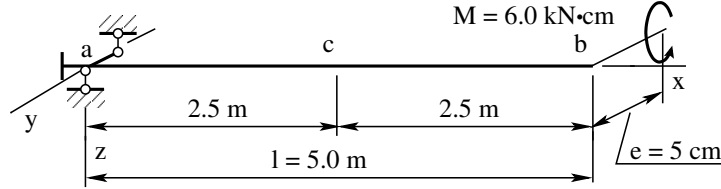
Joonis 2.8. Koondmoment konsoolil. Epüürid

EST-meetodiga saadud tulemused on kooskõlas raamatus [Bõit62] jõu- ja deformatsioonimeetodi abil leitud (vt tabel 2.3).

Tabel 2.3. Koondmoment konsoolil. Tulemuste võrdlus

x [cm]	Z(x)	[Sad63]	Mõõtühik	EST-meetod	Mõõtühik
0.0	θ		rad	0.000	rad
	T_t	0.00	kG·cm	0.000	N·cm
	B_ω	-1.904×10^5	kG·cm ²	-1.904×10^6	N·cm ²
	T_ω	1.000×10^3	kG·cm	1.000×10^4	N·cm
	T_{sum}	1.000×10^3	kG·cm	1.000×10^4	N·cm
62.5	θ		rad	5.632×10^{-7}	rad
	T_t		kG·cm	1.610×10^3	N·cm
	B_ω		kG·cm ²	-1.332×10^6	N·cm ²
	T_ω		kG·cm	8.390×10^3	N·cm
	T_{sum}		kG·cm	1.000×10^4	N·cm
125	θ		rad	2.011×10^{-6}	rad
	T_t	2.69×10^2	kG·cm	2.692×10^3	N·cm
	B_ω	-8.440×10^4	kG·cm ²	-8.442×10^5	N·cm ²
	T_ω	7.31×10^2	kG·cm	7.308×10^3	N·cm
	T_{sum}	1.000×10^3	kG·cm	1.000×10^4	N·cm
187.5	θ		rad	4.020×10^{-6}	rad
	T_t		kG·cm	3.316×10^3	N·cm
	B_ω		kG·cm ²	-4.093×10^5	N·cm ²
	T_ω		kG·cm	6.684×10^3	N·cm
	T_{sum}		kG·cm	1.000×10^4	N·cm
250	θ		rad	6.300×10^{-6}	rad
	T_t	3.52×10^2	kG·cm	3.519×10^3	N·cm
	B_ω	0.00	kG·cm ²	4.657×10^{-10}	N·cm ²
	T_ω	6.48×10^2	kG·cm	6.481×10^3	N·cm
	T_{sum}	1.00×10^3	kG·cm	1.000×10^4	N·cm

Näide 2.3 (koondbimoment konsoolil). Koostada joonisel 2.9 kujutatud konsooli väändenurga θ_x , vabaväändemomendi T_t , bimomendi B_ω ja kooldeväändemomendi T_ω epiüürid.



Joonis 2.9. Koondbimoment konsoolil

Andmed. Konsooli pikkus $l = 5.0$ m. Konsooli otsa b on ekstsentriliselt rakendatud moment $M_y = 6.0$ kN·cm. Momentkoormuse M_y ekstsentrilisus $e = 5.0$ cm. Ristlõike kooldejäikus ($EI_\omega = 3.7311 \times 10^3$ kN·m⁴), vabaväändejäikus ($GI_t = 2.3879 \times 10^3$ kN·m²) ja kooldekarakteristik ($\kappa = \sqrt{GI_t/EI_\omega} = \sqrt{2.3879 \times 10^{10}/3.7311 \times 10^{14}} = 0.008$ cm⁻¹) on konstantsed.

Lahendus. Vaatleme konsooli ühe elemendina, siis sisesidemed [Jür85, lk 8–9] puuduvad. Rajatingimuste W_r seadmisel on arvestatud energiateoreemi (B.8).

$$W_r = [T_{sum}\theta - B_\omega\theta' - b_\omega\theta] \Big|_0^l \quad (2.103)$$

Siit saab jälgida, milline rajatingimus on antud ja milline leitakse. Esimese toe toetingimuste paarides $T_{sum} \Leftrightarrow \theta$ ja $B_\omega \Leftrightarrow \theta'$ on antud väändenurk $\theta = 0$ ja suhteline väändenurk $\theta' = 0$. Seega on esimene tugi jäik ning ei võimalda pööret ega kooldumist. Tundmatud on bimoment B_ω ja koguväändemoment T_{sum} .

Konsooli lõpus on antud bimoment $B_\omega = -3.0 \times 10^4$ N·cm² ja koguväändemoment $T_{sum} = T_t + T_\omega = 0$. Tundmatuks jäävad väändenurk θ ja suhteline väändenurk θ' ($T_t = GI_t\theta'$).

Rajaväärtuste arvutamiseks kasutame nagu EST-meetodi [Lah97a], [Lah14] puhulgi hõredat võrrandisüsteemi¹⁴

$$\text{spA} \cdot \mathbf{Z} = \mathbf{B} \quad (2.104)$$

kus \mathbf{Z} on võrrandisüsteemi tundmatute vektor

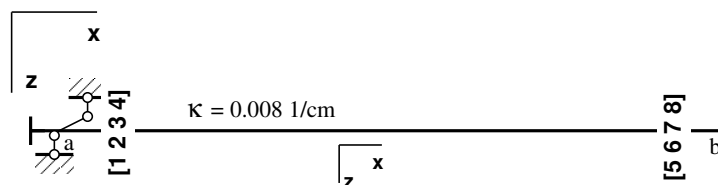
$$\mathbf{Z} = \hat{\mathbf{Z}} = \begin{bmatrix} \mathbf{Z}_a \\ \mathbf{Z}_b \end{bmatrix} \quad (2.105)$$

mille elementideks on väändenurgad ja -momendid varda alguses ja lõpus (jn 2.10):

$$\mathbf{Z}_a = \begin{bmatrix} \theta_A \\ T_{tA} \\ B_{\omega A} \\ T_{\omega A} \end{bmatrix} = \begin{bmatrix} Z(1,1) \\ Z(2,1) \\ Z(3,1) \\ Z(4,1) \end{bmatrix}, \quad \mathbf{Z}_b = \begin{bmatrix} \theta_L \\ T_{tL} \\ B_{\omega L} \\ T_{\omega L} \end{bmatrix} = \begin{bmatrix} Z(5,1) \\ Z(6,1) \\ Z(7,1) \\ Z(8,1) \end{bmatrix} \quad (2.106)$$

Muutuja $Z(i, 1)$ indeks ($i=1, 2, 3, \dots, 8$) on toodud joonisel 2.10.

¹⁴http://digi.lib.ttu.ee/opik_eme/Ehitusmehaanika.pdf#equation.14.22



Joonis 2.10. Koondbimoment konsoolil. Muutujad

Põhivõrrandites (2.84) [Lah12, jn 14.9]¹⁵

$$\widehat{\mathbf{U}}_{4 \times 8} \cdot \widehat{\mathbf{Z}} = -\mathring{\mathbf{Z}} \quad (2.107)$$

sisalduva laiendatud ülekan demaatriksi $\widehat{\mathbf{U}}_{4 \times 8} \equiv (\mathbf{U}_{4 \times 4} \mid -\mathbf{I}_{4 \times 4})$ (2.87) arutamiseks saab kasutada GNU Octave'i funktsiooni *yspWGVfmbHvI.m*.

Võrrandisüsteemis (2.107) on tundmatuid poole rohkem kui võrrandeid. Kanname need võrrandid võrrandisüsteemi (2.104) (vt väljavõte programmist 2.7).

Väljavõte programmist 2.7 (Naide2_3.m)

```
# Tala hõreda laiendatud ülekan demaatriksi arvutus
spvF=yspWGVfmbHvI(baasi0,1,GI_t,EI_w);
%vB=yzWGMx(baasi0,1,1,a,mx,GI_t,EI_w); # koormusvektori arvutus
IIv=1;
IJv=1;
%vB=vB.*(-1);
# sisestab ülekan demaatriksi võrrandisüsteemi spA*Z=Bvb
spA=spInsertBtoA(spA,IIv,IJv,spvF);
% # sisestab koormusvektori võrrandisüsteemi vabaliikmesse Bv
%Bvb=InsertBtoA(Bvb,NNK,1,IIv,1,vB,4,1);
# võrrandisüsteemi vabaliige Bvb on eelnevalt nullitud
```

Võrrandisüsteemis (2.104) peab olema võrrandeid ja tundmatuid ühepalju. Võrrandite arv peab ühtima maatriksi \mathbf{spA} astakuga. Puuduvad sõltumatud võrrandid saame kineemaatilistest ja staatilistest rajatingimustest (vt jaotis 3.1).

Järgnevalt

- püstitame rajatingimused;
- arvutame algparameetrid;
- arvutame väändenurgad ja väändemomendid;
- koostame sisejõudude epüürid.

Rajatingimuste püstitus. Väliste rajatingimuste seadmisel tuleb arvestada energia-teoreemi¹⁶ (B.8). Kui avaldistes $\theta \Leftrightarrow T_{sum}$, $\theta' \Leftrightarrow B_\omega$ üks pool (pöördenurk θ , suhteline väändenurk θ') on antud, siis teine pool (koguväändemoment T_{sum} , bimoment B_ω) on tundmatu.

Konsoolil on sõlmes a jäik tugi, mis ei võimalda pööret ega kooldumist (vt tabel 1.2). Tundmatud on bimoment B_ω ja koguväändemoment $T_{sum} = T_t + T_\omega$. Viimases on vabaväändemoment $T_t = GI_t \theta' = 0$ antud. Tundmatuks jääb kooldeväändemoment T_ω .

¹⁵ http://digi.lib.ttu.ee/opik_eme/Ehitusmehaanika.pdf#figure.14.9

¹⁶ http://digi.lib.ttu.ee/opik_eme/Ehitusmehaanika.pdf#equation.F.26

Konsooli otsas, sõlmes b , on antud bimoment $B_\omega = 0$ ning koguväändemoment $T_{sum} = 0$. Tundmatud on pöördenurk θ ja suhteline väändenurk θ' ($GI_t\theta' = T_t$).

$$\begin{aligned} Z(1,1) &= \theta_A &= & 0 \\ Z(2,1) &= T_{tA} &\equiv & \theta_A = 0 \\ Z(7,1) &= B_{\omega L} &= & -3.0 \times 10^4 \text{ N}\cdot\text{cm}^2 \\ Z(6,1) + Z(8,1) &= T_{tL} + T_{\omega L} &\equiv & T_{sumL} = 0 \end{aligned} \quad (2.108)$$

Koostatud on neli rajatingimuse võrrandit. Sisestame need võrrandisüsteemi (2.104) (vt väljavõte programmist 2.8). Võrrandisüsteemi astak võrdub tundmatute arvuga. Järelikult on sisestatud võrrandid lineaarselt sõltumatud.

Väljavõte programmist 2.8 (Naide2_3.m)

```
##### Rajatingimused
spA=spSisestaArv(spA,5,1,1); # $theta_A$ - väändenurk
spA=spSisestaArv(spA,6,2,1); # $T_{tA}$ - kooldeväändemoment
spA=spSisestaArv(spA,7,7,1); # $B_{\{L\}}$ - bimoment
Bvb(7,1)=-30000.0 ;
spA=spSisestaArv(spA,8,6,1); # $T_{\{tL\}}+ T_{\{\omega L\}}$ -
spA=spSisestaArv(spA,8,8,1); # - üldväändemoment
#vastavad vabaliikmed Bvb on juba nullitud
spA_rank = sprank(spA) # võrrandisüsteemi astak
```

Sisestatud võrrandisüsteemi kordajad hõredas maatriksis spA on esitatud arvutuspäeviku väljavõttes 2.8.

Väljavõte arvutuspäevikust 2.8 (Naide2_3.m)

```
spA =
Compressed Column Sparse (rows = 8, cols = 8, nnz = 20 [31%])

(1, 1) -> 1          (3, 3) -> -27.308      (2, 6) -> -1
(5, 1) -> 1          (4, 3) -> -0.21832     (8, 6) -> 1
(1, 2) -> -209.39    (1, 4) -> 1219.2      (3, 7) -> -1
(2, 2) -> -1         (2, 4) -> 26.308      (7, 7) -> 1
(6, 2) -> 1          (3, 4) -> -3411.2     (4, 8) -> -1
(1, 3) -> 11.017     (4, 4) -> -27.308     (8, 8) -> 1
(2, 3) -> 0.21832    (1, 5) -> -1
```

Sisestatud võrrandisüsteemi vabaliikmete vektor B on esitatud arvutuspäeviku väljavõttes 2.9.

Väljavõte arvutuspäevikust 2.9 (Naide2_3.m)

```
B =

      0          0          0      -30000
      0          0          0          0
```

Algparameetrite arvutus. Rajaväärtuste leidmisel korrutasime väändenurgad skaleerimisteguriga: $baasi0 = 1.0 \times 10^{10}$. Skaleerimata algparameetrite saamiseks tuleb vastavad suurused jagada skaleerimisteguriga. Konsooli skaleerimata algparameetrid on toodud arvutuspäeviku väljavõttes [2.10](#).

Väljavõte arvutuspäevikust 2.10 (Naide2_3.m)

```
Algparameetrid - AP1
theta -      0.0000e+00
  Tt -      0.0000e+00
   B -      1.0986e+03
  Tw -     -2.3284e-14
```

Väändenurkade ja väändemomentide arvutus. Väändenurkade ja väändemomentide leidmiseks konsooli ristlõiget kasutame ülekandevõrrandit ([C.1](#))

$$\mathbf{Z}_L(\mathbf{x}) = \mathbf{U} \cdot \mathbf{Z}_A + \mathring{\mathbf{Z}} \quad (2.109)$$

kus \mathbf{Z}_A on konsooli algparameetrid (vt arvutuspäeviku väljavõte [2.10](#)). Ülekandemaatriksi \mathbf{U} leiame GNU Octave'i funktsiooniga [ylWGFhlin.m](#) (vt väljavõte programmist [2.9](#)).

Väljavõte programmist 2.9 (Naide2_3.m)

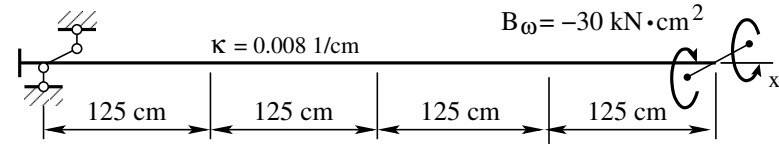
```
AP=AlgPar(:,1)
baasi0=1.0
Nmitmeks=4
xx=0;
xsamm=1/Nmitmeks;
for ij=1:Nmitmeks+1 # 5 - displacements and forces at x=0.0
Xloikes(ij,1)=xx;
  vvF=ylWGFhlin(baasi0,1,xx,GIt,EIw);
% vvB=yzWGMx(baasi0,1,xx,a,mx,GIt,EIw); # koormusvektori arvutus
  Fvv(1:4,ij)=vvF*AP % +vvB;
  Fvv(5,ij)=Fvv(2,ij)+Fvv(4,ij);
xx=xx+xsamm;
endfor
```

Arvutustulemused on esitatud arvutuspäeviku väljavõttes [2.11](#).

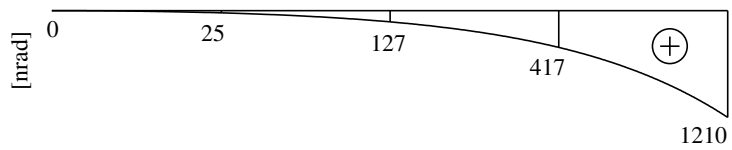
Väljavõte arvutuspäevikust 2.11 (Naide2_3.m)

```
baasi0 = 1
Nmitmeks = 4
k = 0.0080000
  x=      0.00      125.00      250.00      375.00      500.00
theta -  0.000e+00  2.498e-08  1.271e-07  4.172e-07  1.210e-06
  Tt -  0.000e+00  1.033e+01  3.187e+01  8.804e+01  2.398e+02
   B - -1.099e+03 -1.695e+03 -4.133e+03 -1.106e+04 -3.000e+04
  Tw -  2.328e-14 -1.033e+01 -3.187e+01 -8.804e+01 -2.398e+02
 Tsum -  2.328e-14  2.309e-14  2.487e-14  1.421e-14  0.000e+00
```

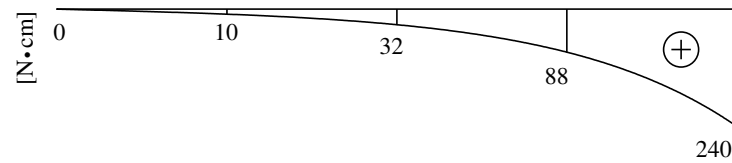
Leitud tulemuste põhjal koostame epüürid koondbimomendist konsoolil (jn 2.11).



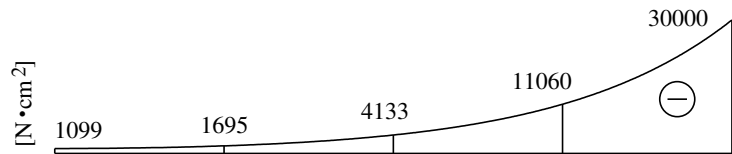
(a) Koormus $M_x = 100 \text{ N}\cdot\text{m}$ (vt tabel 1.1)



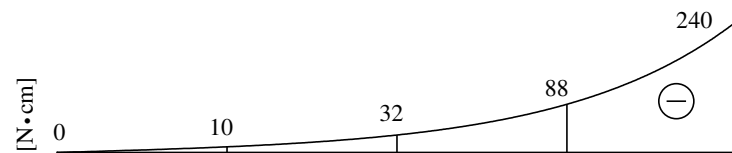
(b) Väändenurk θ



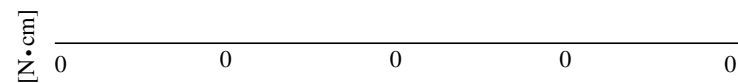
(c) Vabaväändemoment T_t



(d) Bimoment B_ω



(e) Kooldeväändemoment T_ω



(f) Koguväändemoment T_{sum}

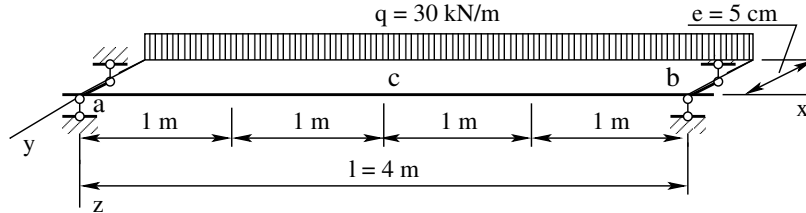
Joonis 2.11. Koondbimoment konsoolil. Epüürid

EST-meetodiga saadud tulemused on kooskõlas raamatus [Böt62] jõu- ja deformatsioonimeetodi abil leitud (vt tabel 2.4).

Tabel 2.4. Koondbimoment konsoolil. Tulemuste võrdlus

x [cm]	Z(x)	[Sad63]	Mõõtühik	EST-meetod	Mõõtühik
0.0	θ		rad	0.000	rad
	T_t	0.00	kG·cm	0.000	N·cm
	B_ω	-1.099×10^2	kG·cm ²	-1.099×10^3	N·cm ²
	T_ω	0.00	kG·cm	2.328×10^{-14}	N·cm
	T_{sum}	0.00	kG·cm	2.328×10^{-14}	N·cm
125	θ		rad	2.498×10^{-8}	rad
	T_t		kG·cm	1.033×10^1	N·cm
	B_ω		kG·cm ²	-1.695×10^3	N·cm ²
	T_ω		kG·cm	-1.033×10^1	N·cm
	T_{sum}		kG·cm	2.309×10^{-14}	N·cm
250	θ		rad	1.271×10^{-7}	rad
	T_t	3.19	kG·cm	3.187×10^1	N·cm
	B_ω	-4.13×10^2	kG·cm ²	-4.133×10^3	N·cm ²
	T_ω	-3.19	kG·cm	-3.187	N·cm
	T_{sum}	0.00	kG·cm	2.487×10^{-14}	N·cm
375	θ		rad	4.172×10^{-7}	rad
	T_t		kG·cm	8.804	N·cm
	B_ω		kG·cm ²	-1.106×10^4	N·cm ²
	T_ω		kG·cm	-8.804	N·cm
	T_{sum}		kG·cm	1.421×10^{-14}	N·cm
500	θ		rad	1.210×10^{-6}	rad
	T_t	2.40×10^1	kG·cm	2.398×10^2	N·cm
	B_ω	-3.000×10^3	kG·cm ²	-3.000×10^4	N·cm ²
	T_ω	-2.40×10^1	kG·cm	-2.398×10^2	N·cm
	T_{sum}	0.00	kG·cm	0.000	N·cm

Näide 2.4 (lausmoment talal). Koostada joonisel 2.12 kujutatud tala väändenurga θ_x , vabaväändemomendi T_t , bimomendi B_ω ja kooldeväändemomendi T_ω epiüürid.



Joonis 2.12. Lausmoment talal

Andmed. Varda pikkus $l = 4.0$ m. Tala on ekstsentriliselt koormatud lauskoormusega $q = 30$ kN/m ($m_x = -150$ (kN·m)/m). Vertikaalse lauskoormuse q ekstsentrilisus $e = 5$ cm. Ristlõike kooldejäikus ($EI_\omega = 2.9686 \times 10^4$ kN·m⁴), vabaväändejäikus ($GI_t = 1.1875 \times 10^3$ kN·m²) ja kooldekarakteristik ($\kappa = \sqrt{GI_t/EI_\omega} = \sqrt{1.1875 \times 10^{10}/2.9686 \times 10^{15}} = 0.002$ cm⁻¹) on konstantsed.

Lahendus. Vaatleme tala ühe elemendina, siis sisesidemed [Jür85, lk 8–9] puuduvad. Rajatingimuste W_r seadmisel on arvestatud energiateoreemi (B.8).

$$W_r = [T_{sum}\theta - B_\omega\theta' - b_\omega\theta] \Big|_0^l \quad (2.110)$$

Siit saab jälgida, milline rajatingimus on antud ja milline leitakse. Esimese toe toetingimuste paardes $T_{sum} \Leftrightarrow \theta$ ja $B_\omega \Leftrightarrow \theta'$ on antud väändenurk $\theta = 0$ ja bimoment $B_\omega = 0$. Tundmatud on koguväändemoment $T_{sum} = T_t + T_\omega$ ja suhteline väändenurk θ' ($T_t = GI_t\theta'$).

Tala lõpus on antud väändenurk $\theta = 0$ ja bimoment $B_\omega = 0$. Tundmatuks jäävad koguväändemoment $T_{sum} = T_t + T_\omega$ ja suhteline väändenurk θ' ($T_t = GI_t\theta'$).

Rajaväärtuste arvutamiseks kasutame nagu EST-meetodi [Lah97a], [Lah14] puhulgi hõredat võrrandisüsteemi¹⁷

$$\text{spA} \cdot \mathbf{Z} = \mathbf{B} \quad (2.111)$$

kus \mathbf{Z} on võrrandisüsteemi tundmatute vektor

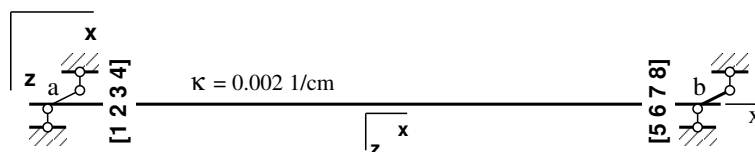
$$\mathbf{Z} = \hat{\mathbf{Z}} = \begin{bmatrix} \mathbf{Z}_a \\ \mathbf{Z}_b \end{bmatrix} \quad (2.112)$$

mille elementideks on väändenurgad ja -momendid varda alguses ja lõpus (jn 2.13):

$$\mathbf{Z}_a = \begin{bmatrix} \theta_A \\ T_{tA} \\ B_{\omega A} \\ T_{\omega A} \end{bmatrix} = \begin{bmatrix} Z(1,1) \\ Z(2,1) \\ Z(3,1) \\ Z(4,1) \end{bmatrix}, \quad \mathbf{Z}_b = \begin{bmatrix} \theta_L \\ T_{tL} \\ B_{\omega L} \\ T_{\omega L} \end{bmatrix} = \begin{bmatrix} Z(5,1) \\ Z(6,1) \\ Z(7,1) \\ Z(8,1) \end{bmatrix} \quad (2.113)$$

Muutuja $Z(i,1)$ indeks ($i=1, 2, 3, \dots, 8$) on toodud joonisel 2.13.

¹⁷ http://digi.lib.ttu.ee/opik_eme/Ehitusmehaanika.pdf#equation.14.22



Joonis 2.13. Lausmoment talal. Muutujad

Põhivõrrandites (2.84) [Lah12, jn 14.9]¹⁸

$$\widehat{\mathbf{U}}_{4 \times 8} \cdot \widehat{\mathbf{Z}} = -\mathring{\mathbf{Z}} \quad (2.114)$$

sisalduva laiendatud ülekandemaatriksi $\widehat{\mathbf{U}}_{4 \times 8} \equiv (\mathbf{U}_{4 \times 4} \mid -\mathbf{I}_{4 \times 4})$ (2.87) arvutamiseks saab kasutada GNU Octave'i funktsiooni *yspWGvfmhvI.m*.

Võrrandisüsteemis (2.114) on tundmatuid poole rohkem kui võrrandeid. Kanname need võrrandid võrrandisüsteemi (2.111) (vt väljavõte programmist 2.10).

Väljavõte programmist 2.10 (Naide2_4.m)

```
# Tala hõreda laiendatud ülekandemaatriksi arvutus
spvF=yspWGvfmhvI(baasi0,1,GI,Iw);
vB=yzWGMx(baasi0,1,1,a,mx,GI,Iw); # koormusvektori arvutus
IIv=1;
IJv=1;
vB=vB.*(-1);
# sisestab ülekandemaatriksi võrrandisüsteemi spA*Z=Bvb
spA=spInsertBtoA(spA,IIv,IJv,spvF);
% # sisestab koormusvektori võrrandisüsteemi vabaliikmesse Bv
Bvb=InsertBtoA(Bvb,NNK,1,IIv,1,vB,4,1);
# võrrandisüsteemi vabaliige Bvb on eelnevalt nullitud
```

Võrrandisüsteemis (2.111) peab olema võrrandeid ja tundmatuid ühepalju. Võrrandite arv peab ühtima maatriksi \mathbf{spA} astakuga. Puuduvad sõltumatud võrrandid saame kineemaatilistest ja staatilistest rajatingimustest (vt jaotis 3.1).

Järgnevalt

- püstitame rajatingimused;
- arvutame algparameetrid;
- arvutame väändenurgad ja väändemomendid;
- koostame sisejõudude epüürid.

Rajatingimuste püstitus. Väliste rajatingimuste seadmisel tuleb arvestada energia-teoreemi¹⁹ (B.8). Kui avaldistes $\theta \Leftrightarrow T_{sum}$, $\theta' \Leftrightarrow B_\omega$ üks pool (pöördenurk θ , suhteline väändenurk θ') on antud, siis teine pool (koguväändemoment T_{sum} , bimoment B_ω) on tundmatu.

Tala toed sõlmedes a ja b ei võimalda pööret ($\theta = 0$), kuid kooldumine on vaba: $B_\omega = 0$ (vt tabel 1.2). Tundmatud on suhteline väändenurk θ' ja koguväändemoment T_{sum} .

¹⁸ http://digi.lib.ttu.ee/opik_eme/Ehitusmehaanika.pdf#figure.14.9

¹⁹ http://digi.lib.ttu.ee/opik_eme/Ehitusmehaanika.pdf#equation.F.26

$$\begin{aligned}
 Z(1,1) &= \theta_A = 0 \\
 Z(3,1) &= B_{\omega A} = 0 \\
 Z(5,1) &= \theta_L = 0 \\
 Z(7,1) &= B_{\omega L} = 0
 \end{aligned}
 \tag{2.115}$$

Koostatud on neli rajatingimuse võrrandit. Sisestame need võrrandisüsteemi (2.111) (vt väljavõtte programmist 2.11).

Väljavõtte programmist 2.11 (Naide2_4.m)

```
##### Rajatingimused
#Tugi a
spA=spSisestaArv(spA,5,1,1); # $theta_A$ - väändenurk
spA=spSisestaArv(spA,6,3,1); # $B_{\omega A}$ - bimoment
#Tugi b
spA=spSisestaArv(spA,7,5,1); # $theta_L$ - väändenurk
spA=spSisestaArv(spA,8,7,1); # $B_{\omega L}$ - bimoment
#vastavad vabaliikmed Bvb on juba nullitud

spA_rank = sprank(spA) # võrrandisüsteemi astak
```

Sisestatud võrrandisüsteemi kordajad hõredas maatriksis spA on esitatud arvutuspäeviku väljavõttes 2.12.

Väljavõtte arvutuspäevikust 2.12 (Naide2_4.m)

```
spA =
Compressed Column Sparse (rows = 8, cols = 8, nnz = 19 [30%])

(1, 1) -> 1          (4, 3) -> -0.0017762      (7, 5) -> 1
(5, 1) -> 1          (6, 3) -> 1              (2, 6) -> -1
(1, 2) -> -336.84    (1, 4) -> 37.098        (3, 7) -> -1
(2, 2) -> -1         (2, 4) -> 0.33744       (8, 7) -> 1
(1, 3) -> 0.28416    (3, 4) -> -444.05       (4, 8) -> -1
(2, 3) -> 0.0017762 (4, 4) -> -1.3374
(3, 3) -> -1.3374   (1, 5) -> -1
```

Sisestatud võrrandisüsteemi vabaliikmete vektor B on esitatud arvutuspäeviku väljavõttes 2.13.

Väljavõtte arvutuspäevikust 2.13 (Naide2_4.m)

```
B =

5.5059e+05    -6.6608e+04    0.0000e+00
6.6081e+03     0.0000e+00    0.0000e+00
-1.2654e+07    0.0000e+00
```

Algparameetrite arvutus. Rajaväärtuste leidmisel korrutasime väändenurgad skaleerimisteguriga: $baasi0 = 1.0 \times 10^{10}$. Skaleerimata algparameetrite saamiseks tuleb vastavad suurused jagada skaleerimisteguriga. Tala skaleerimata algparameetrid on toodud arvutuspäeviku väljavõttes 2.14.

Väljavõte arvutuspäevikust 2.14 (Naide2_4.m)

```
Algparameetrid - AP1
theta -      0.0000e+00
  Tt -      1.5039e+03
   B -      0.0000e+00
  Tw -      2.8496e+04
```

Väändenurkade ja väändemomentide arvutus. Väändenurkade ja väändemomentide leidmiseks tala ristlõigetes kasutame ülekandevõrrandit (C.1)

$$\mathbf{Z}_L(\mathbf{x}) = \mathbf{U} \cdot \mathbf{Z}_A + \overset{\circ}{\mathbf{Z}} \quad (2.116)$$

kus \mathbf{Z}_A on tala algparameetrid (vt arvutuspäeviku väljavõte 2.14). Ülekandemaatriksi \mathbf{U} leiame GNU Octave'i funktsiooniga *ylWGFhlin.m* ja koormusvektori $\overset{\circ}{\mathbf{Z}}$ funktsiooniga *yzWGMx.m* (vt väljavõte programmist 2.12).

Väljavõte programmist 2.12 (Naide2_4.m)

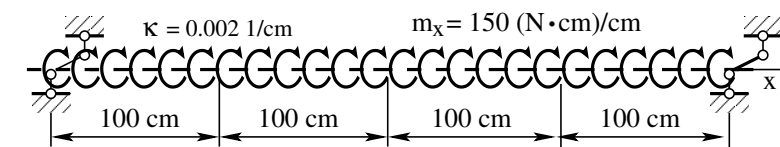
```
AP=AlgPar(:,1)
baasi0=1.0
Nmitmeks=4
xx=0;
xsamm=l/Nmitmeks;
for ij=1:Nmitmeks+1 # 5 - displacements and forces at x=0.0
Xloikes(ij,1)=xx;
  vvF=ylWGFhlin(baasi0,l,xx,GIt,Elw);
  vvB=yzWGMx(baasi0,l,xx,a,mx,GIt,Elw); # koormusvektori arvutus
  Fvv(1:4,ij)=vvF*AP+vvB;
  Fvv(5,ij)=Fvv(2,ij)+Fvv(4,ij);
xx=xx+xsamm;
endfor
```

Arvutustulemused on esitatud arvutuspäeviku väljavõttes 2.15.

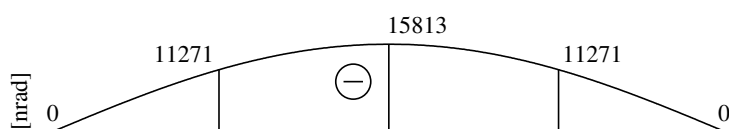
Väljavõte arvutuspäevikust 2.15 (Naide2_4.m)

```
baasi0 = 1
Nmitmeks = 4
k = 0.0020000
  x=      0.00      100.00      200.00      300.00      400.00
theta -  0.000e+00 -1.127e-05 -1.581e-05 -1.127e-05  0.000e+00
  Tt -  -1.504e+03 -1.032e+03 -1.319e-11  1.032e+03  1.504e+03
   B -  0.000e+00 -2.116e+06 -2.812e+06 -2.116e+06  0.000e+00
  Tw -  -2.850e+04 -1.397e+04  1.091e-11  1.397e+04  2.850e+04
  Tsum - -3.000e+04 -1.500e+04 -2.274e-12  1.500e+04  3.000e+04
```

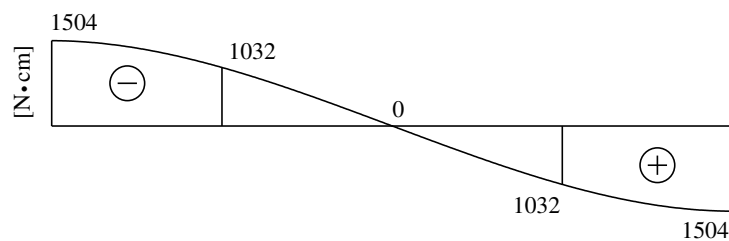
Leitud tulemuste põhjal koostame epüürid lausmomendist talal (jn 2.14).



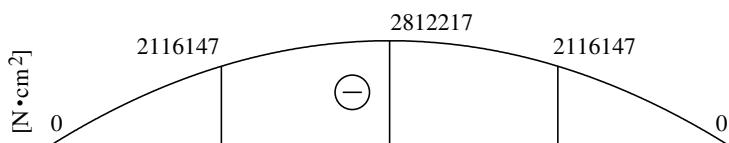
(a) Koormus $m_x = -150 \text{ N}$ (vt tabel 1.1)



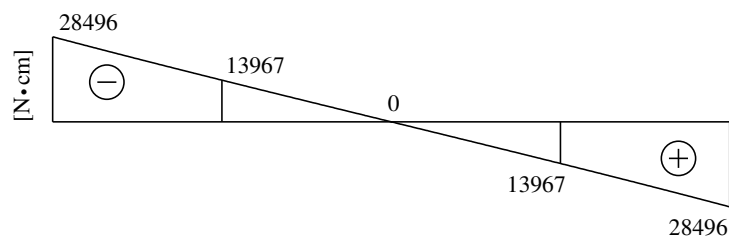
(b) Väändenurk θ



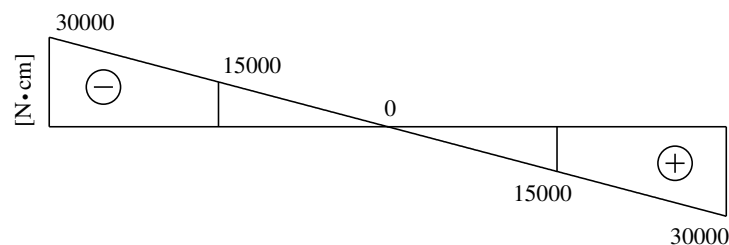
(c) Vabaväändemoment T_t



(d) Bimoment B_ω



(e) Kooldeväändemoment T_ω



(f) Koguväändemoment T_{sum}

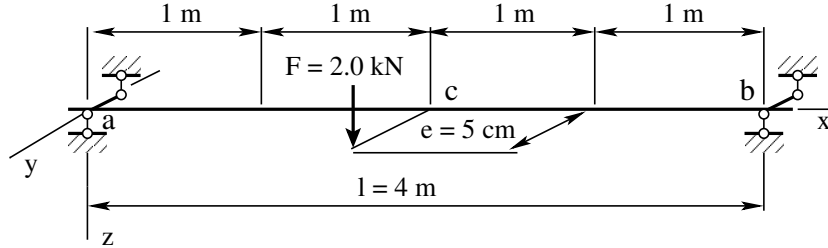
Joonis 2.14. Lausmoment talal. Epüürid

EST-meetodiga saadud tulemused on kooskõlas raamatus [Böt62] jõu- ja deformatsioonimeetodi abil leitud (vt tabel 2.5).

Tabel 2.5. Lausmoment talal. Tulemuste võrdlus

x [cm]	Z(x)	[Sad63]	Mõõtühik	EST-meetod	Mõõtühik
0.0	θ		rad	0.000	rad
	T_t	-1.50×10^2	kG·cm	-1.504×10^3	N·cm
	B_ω	0.00	kG·cm ²	0.000	N·cm ²
	T_ω	-2.85×10^3	kG·cm	-2.850×10^4	N·cm
	T_{sum}	-3.00×10^3	kG·cm	-3.000×10^4	N·cm
100	θ		rad	-1.127×10^{-5}	rad
	T_t	-1.00×10^2	kG·cm	-1.032×10^3	N·cm
	B_ω	-2.11×10^6	kG·cm ²	-2.116×10^6	N·cm ²
	T_ω	-1.40×10^3	kG·cm	-1.397×10^4	N·cm
	T_{sum}	-1.50×10^3	kG·cm	-1.500×10^4	N·cm
200	θ		rad	-1.581×10^{-5}	rad
	T_t	0.00	kG·cm	-1.216×10^{-11}	N·cm
	B_ω	2.87×10^5	kG·cm ²	-2.812×10^6	N·cm ²
	T_ω	0.00	kG·cm	3.638×10^{-12}	N·cm
	T_{sum}	0.00	kG·cm	-8.527×10^{-12}	N·cm
300	θ		rad	-1.127×10^{-5}	rad
	T_t	1.00×10^2	kG·cm	1.032×10^3	N·cm
	B_ω	-2.11×10^5	kG·cm ²	-2.116×10^6	N·cm ²
	T_ω	1.40×10^3	kG·cm	1.397×10^4	N·cm
	T_{sum}	1.50×10^3	kG·cm	1.500×10^4	N·cm
400	θ		rad	2.711×10^{-20}	rad
	T_t	1.50×10^2	kG·cm	1.504×10^3	N·cm
	B_ω	0.00	kG·cm ²	0.000	N·cm ²
	T_ω	2.85×10^3	kG·cm	2.850×10^4	N·cm
	T_{sum}	3.00×10^3	kG·cm	3.000×10^4	N·cm

Näide 2.5 (koondmoment talal). Koostada joonisel 2.15 kujutatud tala väändenurga θ_x , vabaväändemomendi T_t , bimomendi B_ω ja kooldeväändemomendi T_ω epiüürid.



Joonis 2.15. Koondmoment talal

Andmed. Varda pikkus $l = 4.0$ m. Tala on ekstsentriliselt koormatud koondatud jõuga $F = 2$ kN ($M_x = 10.0$ kN·cm). Vertikaalse jõu F ekstsentrilisus $e = 5$ cm. Ristlõike kooldejäikus ($EI_\omega = 7.560 \times 10^4$ kN·m⁴), vabaväändejäikus ($GI_t = 2.7216 \times 10^4$ kN·m²) ja kooldekarakteristik ($\kappa = \sqrt{GI_t/EI_\omega} = \sqrt{2.7216 \times 10^8 / 7.5600 \times 10^{12}} = 0.006$ cm⁻¹) on konstantsed.

Lahendus. Vaatleme tala ühe elemendina, siis sisesidemed [Jür85, lk 8–9] puuduvad. Rajatingimuste W_r seadmisel on arvestatud energiateoreemi (B.8).

$$W_r = [T_{sum}\theta - B_\omega\theta' - b_\omega\theta] \Big|_0^l \quad (2.117)$$

Siit saab jälgida, milline rajatingimus on antud ja milline leitakse. Esimese toe toetingimuste paarides $T_{sum} \Leftrightarrow \theta$ ja $B_\omega \Leftrightarrow \theta'$ on antud väändenurk $\theta = 0$ ja bimoment $B_\omega = 0$. Tundmatud on koguväändemoment $T_{sum} = T_t + T_\omega$ ja suhteline väändenurk θ' ($T_t = GI_t\theta'$).

Varda lõpus on antud väändenurk $\theta = 0$ ja bimoment $B_\omega = 0$. Tundmatuks jäävad koguväändemoment $T_{sum} = T_t + T_\omega$ ja suhteline väändenurk θ' ($T_t = GI_t\theta'$).

Rajaväärtuste arvutamiseks kasutame nagu EST-meetodi [Lah97a], [Lah14] puhulgi hõredat võrrandisüsteemi²⁰

$$\text{spA} \cdot \mathbf{Z} = \mathbf{B} \quad (2.118)$$

kus \mathbf{Z} on võrrandisüsteemi tundmatute vektor

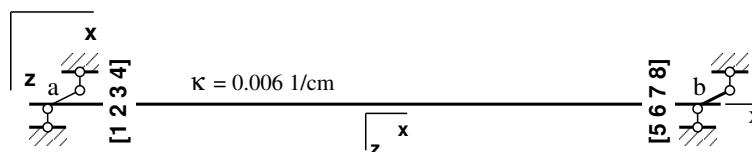
$$\mathbf{Z} = \hat{\mathbf{Z}} = \begin{bmatrix} \mathbf{Z}_a \\ \mathbf{Z}_b \end{bmatrix} \quad (2.119)$$

mille elementideks on väändenurgad ja -momendid varda alguses ja lõpus (jn 2.16):

$$\mathbf{Z}_a = \begin{bmatrix} \theta_A \\ T_{tA} \\ B_{\omega A} \\ T_{\omega A} \end{bmatrix} = \begin{bmatrix} Z(1,1) \\ Z(2,1) \\ Z(3,1) \\ Z(4,1) \end{bmatrix}, \quad \mathbf{Z}_b = \begin{bmatrix} \theta_L \\ T_{tL} \\ B_{\omega L} \\ T_{\omega L} \end{bmatrix} = \begin{bmatrix} Z(5,1) \\ Z(6,1) \\ Z(7,1) \\ Z(8,1) \end{bmatrix} \quad (2.120)$$

Muutuja $Z(i,1)$ indeks ($i=1, 2, 3, \dots, 8$) on toodud joonisel 2.16.

²⁰ http://digi.lib.ttu.ee/opik_eme/Ehitusmehaanika.pdf#equation.14.22



Joonis 2.16. Koondmoment talal. Muutujad

Põhivõrrandites (2.84) [Lah12, jn 14.9]²¹

$$\widehat{\mathbf{U}}_{4 \times 8} \cdot \widehat{\mathbf{Z}} = -\widehat{\mathbf{Z}} \quad (2.121)$$

sisalduva laiendatud ülekandemaatriksi $\widehat{\mathbf{U}}_{4 \times 8} \equiv (\mathbf{U}_{4 \times 4} \mid -\mathbf{I}_{4 \times 4})$ (2.87) arvutamiseks saab kasutada GNU Octave'i funktsiooni `yspWGVfmbHvI.m`.

Võrrandisüsteemis (2.121) on tundmatuid poole rohkem kui võrrandeid. Kanname need võrrandid võrrandisüsteemi (2.118) (vt väljavõte programmist 2.13).

Väljavõte programmist 2.13 (Naide2_5.m)

```
# Tala hõreda laiendatud ülekandemaatriksi arvutus
spvF=yspWGVfmbHvI(baasi0,1,GI_t,EI_w);
vB=yzWGMx(baasi0,1,1,a,Mx,GI_t,EI_w); # koormusvektori arvutus
IIv=1;
IJv=1;
vB=vB.*(-1);
# sisestab ülekandemaatriksi võrrandisüsteemi spA*Z=Bvb
spA=spInsertBtoA(spA,IIv,IJv,spvF);
% # sisestab koormusvektori võrrandisüsteemi vabaliikmesse Bv
Bvb=InsertBtoA(Bvb,NNK,1,IIv,1,vB,4,1);
# võrrandisüsteemi vabaliige Bvb on eelnevalt nullitud
```

Võrrandisüsteemis (2.118) peab olema võrrandeid ja tundmatuid ühepalju. Võrrandite arv peab ühtima maatriksi \mathbf{spA} astakuga. Puuduvad sõltumatud võrrandid saame kineemaatilistest ja staatilistest rajatingimustest (vt jaotis 3.1).

Nüüd

- püstitame rajatingimused;
- arvutame algparameetrid;
- arvutame väändenurgad ja väändemomendid;
- koostame sisejõudude epüürid.

Rajatingimuste püstitus. Väliste rajatingimuste seadmisel tuleb arvestada energia-teoreemi²² (B.8). Kui avaldistes $\theta \Leftrightarrow T_{sum}$, $\theta' \Leftrightarrow B_\omega$ üks pool (pöördenurk θ , suhteline väändenurk θ') on antud, siis teine pool (koguväändemoment T_{sum} , bimoment B_ω) on tundmatu.

Tala toed sõlmedes a ja b ei võimalda pööret ($\theta = 0$), kuid kooldumine on vaba: $B_\omega = 0$ (vt tabel 1.2). Tundmatud on suhteline väändenurk θ' ja koguväändemoment T_{sum} .

²¹ http://digi.lib.ttu.ee/opik_eme/Ehitusmehaanika.pdf#figure.14.9

²² http://digi.lib.ttu.ee/opik_eme/Ehitusmehaanika.pdf#equation.F.26

$$\begin{aligned}
 Z(1,1) &= \theta_A = 0 \\
 Z(3,1) &= B_{\omega A} = 0 \\
 Z(5,1) &= \theta_L = 0 \\
 Z(7,1) &= B_{\omega L} = 0
 \end{aligned}
 \tag{2.122}$$

Koostatud on neli rajatingimuse võrrandit. Sisestame need võrrandisüsteemi (2.118) (vt väljavõte programmist 2.14). Võrrandisüsteemi astak võrdub tundmatute arvuga. Järelikult on sisestatud võrrandid lineaarselt sõltumatud.

Väljavõte programmist 2.14 (Naide2_5.m)

```
##### Rajatingimused
spA=spSisestaArv(spA,5,1,1); # $theta_A$ - väändenurk
spA=spSisestaArv(spA,6,3,1); # $B_{\omega L}$ - bimoment
spA=spSisestaArv(spA,7,5,1); # $theta_A$ - väändenurk
spA=spSisestaArv(spA,8,7,1); # $B_{\omega L}$ - bimoment
#vastavad vabaliikmed Bvb on juba nullitud
spA_rank = sprank(spA) # võrrandisüsteemi astak
```

Sisestatud võrrandisüsteemi kordajad hõredas maatriksis spA on esitatud arvutuspäeviku väljavõttes 2.16.

Väljavõte arvutuspäevikust 2.16 (Naide2_5.m)

```
spA =
Compressed Column Sparse (rows = 8, cols = 8, nnz = 19 [30%])

(1, 1) -> 1          (4, 3) -> -0.032797      (7, 5) -> 1
(5, 1) -> 1          (6, 3) -> 1              (2, 6) -> -1
(1, 2) -> -1.4697e+04 (1, 4) -> 1.8777e+04    (3, 7) -> -1
(2, 2) -> -1         (2, 4) -> 4.5569         (8, 7) -> 1
(1, 3) -> 167.44     (3, 4) -> -911.04       (4, 8) -> -1
(2, 3) -> 0.032797  (4, 4) -> -5.5569
(3, 3) -> -5.5569   (1, 5) -> -1
```

Sisestatud võrrandisüsteemi vabaliikmete vektor B on esitatud arvutuspäeviku väljavõttes 2.17.

Väljavõte arvutuspäevikust 2.17 (Naide2_5.m)

```
B =

-1.8951e+07      2.5158e+06      0.0000e+00      0.0000e+00
-8.1066e+03      1.8107e+04      0.0000e+00      0.0000e+00
```

Algpameetrite arvutus. Rajaväärtuste leidmisel korrutasime väändenurgad skaleerimisteguriga: $baasi0 = 1.0 \times 10^{10}$. Skaleerimata algpameetrite saamiseks tuleb vastavad suurused jagada skaleerimisteguriga. Tala skaleerimata algpameetrid on toodud arvutuspäeviku väljavõttes 2.18.

Väljavõte arvutuspäevikust 2.18 (Naide2_5.m)

```
Algpameetrid - AP1
theta -      0.0000e+00
  Tt -      -2.2386e+03
   B -      0.0000e+00
  Tw -      -2.7614e+03
```

Väändenurkade ja väändemomentide arvutus. Väändenurkade ja väändemomentide leidmiseks tala ristlõigetes kasutame ülekandevõrrandit (C.1)

$$\mathbf{Z}_L(\mathbf{x}) = \mathbf{U} \cdot \mathbf{Z}_A + \overset{\circ}{\mathbf{Z}} \quad (2.123)$$

kus \mathbf{Z}_A on tala algpameetrid (vt arvutuspäeviku väljavõte 2.18). Ülekandemaatriksi \mathbf{U} leiame GNU Octave'i funktsiooniga `ylWGFhlin.m` ja koormusvektori $\overset{\circ}{\mathbf{Z}}$ funktsiooniga `yzWGMx.m` (vt väljavõte programmist 2.15).

Väljavõte programmist 2.15 (Naide2_5.m)

```
AP=AlgPar(:,1)
baasi0=1.0
Nmitmeks=4
xx=0;
xsamm=l/Nmitmeks;
for ij=1:Nmitmeks+1 # 5 - displacements and forces at x=0.0
Xloikes(ij,1)=xx;
  vvF=ylWGFhlin(baasi0,l,xx,GIt,Elw);
  vvB=yzWGMx(baasi0,l,xx,a,Mx,GIt,Elw); # koormusvektori arvutus
  Fvv(1:4,ij)=vvF*AP+vvB;
  Fvv(5,ij)=Fvv(2,ij)+Fvv(4,ij);
xx=xx+xsamm;
endfor
```

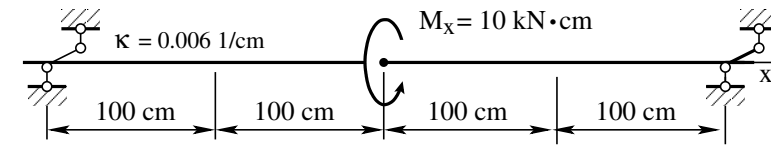
Arvustulemused on esitatud arvutuspäeviku väljavõttes 2.19.

Väljavõte arvutuspäevikust 2.19 (Naide2_5.m)

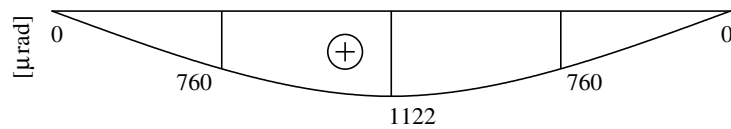
```
Nmitmeks = 4
k = 0.00600000
  x=      0.00      100.00      200.00      300.00      400.00
theta -   0.000e+00   7.605e-04   1.122e-03   7.605e-04   2.168e-19
  Tt -   2.239e+03   1.726e+03   4.547e-13  -1.726e+03  -2.239e+03
   B -   0.000e+00   2.930e+05   6.947e+05   2.930e+05   0.000e+00
  Tw -   2.761e+03   3.274e+03  -5.000e+03  -3.274e+03  -2.761e+03
 Tsum -   5.000e+03   5.000e+03  -5.000e+03  -5.000e+03  -5.000e+03

  x =      199.9999999999
theta -   1.122e-03
  Tt -   2.501e-09
   B -   6.947e+05
  Tw -   5.000e+03
 Tsum -   5.000e+03
```

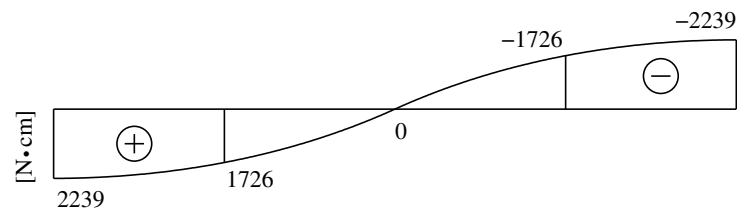

Leitud tulemuste põhjal koostame epüürid koondmomendist talal (jn 2.17).



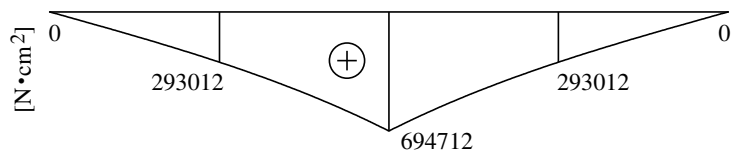
(a) Koormus $M_x = 10 \text{ kN}\cdot\text{cm}$ (vt tabel 1.1)



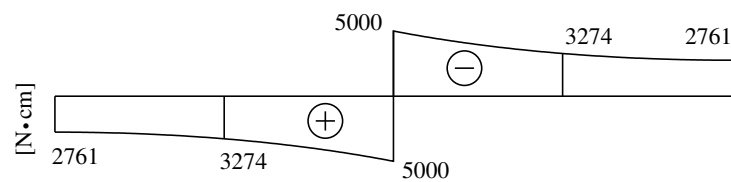
(b) Väändenurk θ



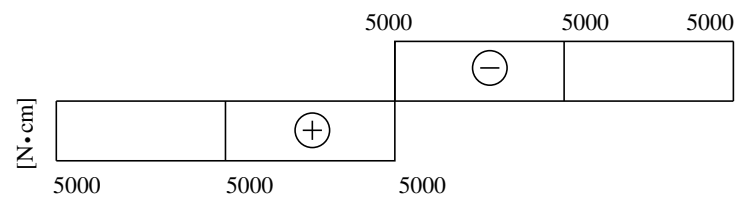
(c) Vabaväändemoment T_t



(d) Bimoment B_w



(e) Kooldeväändemoment T_w



(f) Koguväändemoment T_{sum}

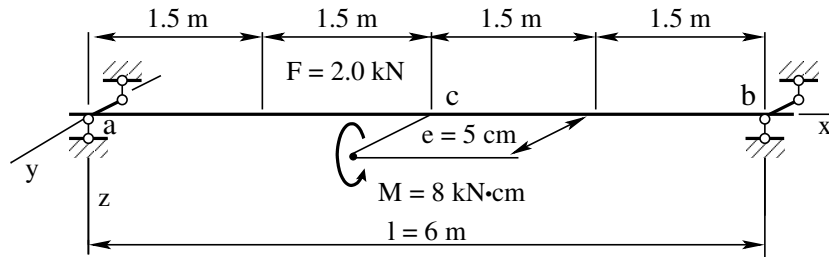
Joonis 2.17. Koondmoment talal. Epüürid

EST-meetodiga saadud tulemused on kooskõlas raamatus [Bõit62] jõu- ja deformatsioonimeetodi abil leitud (vt tabel 2.6).

Tabel 2.6. Koondmoment tala keskel. Tulemuste võrdlus

x [cm]	Z(x)	[Sad63]	Mõõtühik	EST-meetod	Mõõtühik
0.0	θ		rad	0.000	rad
	T_t	2.24×10^2	kG·cm	2.239×10^3	N·cm
	B_ω	0.00	kG·cm ²	0.000	N·cm ²
	T_ω	2.76×10^2	kG·cm	2.761×10^3	N·cm
	T_{sum}	5.00×10^2	kG·cm	5.000×10^3	N·cm
100	θ		rad	7.605×10^{-4}	rad
	T_t	1.73×10^2	kG·cm	1.726×10^3	N·cm
	B_ω	2.93×10^4	kG·cm ²	2.930×10^5	N·cm ²
	T_ω	3.27×10^2	kG·cm	3.274×10^3	N·cm
	T_{sum}	5.00×10^2	kG·cm	5.000×10^3	N·cm
200	θ		rad	1.122×10^{-3}	rad
	T_t	0.00	kG·cm	4.547×10^{-13}	N·cm
	B_ω	6.94×10^4	kG·cm ²	6.947×10^5	N·cm ²
	200 - ϵ	5.00×10^2	kG·cm ²	5.000×10^3	N·cm ²
	200	-5.00×10^2	kG·cm	-5.000×10^3	N·cm
	200 - ϵ	5.00×10^2	kG·cm	5.000×10^3	N·cm
	200	-5.00×10^2	kG·cm	-5.000×10^3	N·cm
300	θ		rad	7.605×10^{-4}	rad
	T_t	-1.73×10^2	kG·cm	-1.726×10^3	N·cm
	B_ω	2.93×10^4	kG·cm ²	2.930×10^5	N·cm ²
	T_ω	-3.27×10^2	kG·cm	-3.274×10^3	N·cm
	T_{sum}	-5.00×10^2	kG·cm	-5.000×10^3	N·cm
400	θ		rad	2.168×10^{-19}	rad
	T_t	-2.24×10^2	kG·cm	2.239×10^3	N·cm
	B_ω	0.00	kG·cm ²	0.000	N·cm ²
	T_ω	-2.76×10^2	kG·cm	-2.761×10^3	N·cm
	T_{sum}	-5.00×10^2	kG·cm	-5.000×10^3	N·cm

Näide 2.6 (koondbimoment talal). Koostada joonisel 2.18 kujutatud tala väändenurga θ_x , vabaväändemomendi T_t , bimomendi B_ω ja kooldeväändemomendi T_ω epiüürid.



Joonis 2.18. Koondbimoment talal

Andmed. Varda pikkus $l = 6.0$ m. Tala on ekstsentriliselt koormatud koondmomendiga $M_y = 8$ kN·cm ($B_y = 40.0$ kN·cm²). Vertikaalse koondmomendi M_y ekstsentrilisus $e = 5$ cm. Ristlõike kooldejäikus ($E I_\omega = 3.6288 \times 10^6$ kN·m⁴), vabaväändejäikus ($G I_t = 2.2680 \times 10^5$ kN·m²) ja kooldekarakteristik ($\kappa = \sqrt{G I_t / E I_\omega} = \sqrt{2.2680 \times 10^9 / 3.6288 \times 10^{14}} = 0.0025$ cm⁻¹) on konstantsed.

Lahendus. Vaatleme tala ühe elemendina, siis sisesidemed [Jür85, lk 8–9] puuduvad. Rajatingimuste W_r seadmisel on arvestatud energiateoreemi (B.8).

$$W_r = [T_{sum}\theta - B_\omega\theta' - b_\omega\theta] \Big|_0^l \quad (2.124)$$

Siit saab jälgida, milline rajatingimus on antud ja milline leitakse. Esimese toe toetingimuste paarides $T_{sum} \Leftrightarrow \theta$ ja $B_\omega \Leftrightarrow \theta'$ on antud väändenurk $\theta = 0$ ja bimoment $B_\omega = 0$. Tundmatud on koguväändemoment $T_{sum} = T_t + T_\omega$ ja suhteline väändenurk θ' ($T_t = G I_t \theta'$).

Varda lõpus on antud väändenurk $\theta = 0$ ja bimoment $B_\omega = 0$. Tundmatuks jäävad koguväändemoment $T_{sum} = T_t + T_\omega$ ja suhteline väändenurk θ' ($T_t = G I_t \theta'$).

Rajaväärtuste arvutamiseks kasutame nagu EST-meetodi [Lah97a], [Lah14] puhulgi hõredat võrrandisüsteemi²³

$$\text{spA} \cdot \mathbf{Z} = \mathbf{B} \quad (2.125)$$

kus \mathbf{Z} on võrrandisüsteemi tundmatute vektor

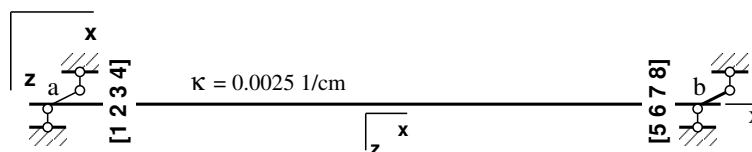
$$\mathbf{Z} = \hat{\mathbf{Z}} = \begin{bmatrix} \mathbf{Z}_a \\ \mathbf{Z}_b \end{bmatrix} \quad (2.126)$$

mille elementideks on väändenurgad ja -momendid varda alguses ja lõpus (jn 2.19):

$$\mathbf{Z}_a = \begin{bmatrix} \theta_A \\ T_{tA} \\ B_{\omega A} \\ T_{\omega A} \end{bmatrix} = \begin{bmatrix} Z(1,1) \\ Z(2,1) \\ Z(3,1) \\ Z(4,1) \end{bmatrix}, \quad \mathbf{Z}_b = \begin{bmatrix} \theta_L \\ T_{tL} \\ B_{\omega L} \\ T_{\omega L} \end{bmatrix} = \begin{bmatrix} Z(5,1) \\ Z(6,1) \\ Z(7,1) \\ Z(8,1) \end{bmatrix} \quad (2.127)$$

Muutuja $Z(i,1)$ indeks ($i=1, 2, 3, \dots, 8$) on toodud joonisel 2.13.

²³ http://digi.lib.ttu.ee/opik_eme/Ehitusmehaanika.pdf#equation.14.22



Joonis 2.19. Koondbimoment. Muutujad

Põhivõrrandites (2.84) [Lah12, jn 14.9]²⁴

$$\widehat{\mathbf{U}}_{4 \times 8} \cdot \widehat{\mathbf{Z}} = -\mathring{\mathbf{Z}} \quad (2.128)$$

sisalduva laiendatud ülekan demaatriksi $\widehat{\mathbf{U}}_{4 \times 8} \equiv (\mathbf{U}_{4 \times 4} \mid -\mathbf{I}_{4 \times 4})$ (2.87) arvutamiseks saab kasutada GNU Octave'i funktsiooni *yspWGvfmhvI.m*.

Võrrandisüsteemis (2.128) on tundmatuid poole rohkem kui võrrandeid. Kanname need võrrandid võrrandisüsteemi (2.125) (vt väljavõte programmist 2.16).

Väljavõte programmist 2.16 (Naide2_6.m)

```
# Tala hõreda laiendatud ülekan demaatriksi arvutus
spvF=yspWGvfmhvI(baasi0,1,GIt,EIw);
vB=yzWGBBy(baasi0,1,1,a,By,GIt,EIw); # koormusvektori arvutus
IIv=1;
IJv=1;
vB=vB.*(-1);
# sisestab ülekan demaatriksi võrrandisüsteemi spA*Z=Bvb
spA=spInsertBtoA(spA,IIv,IJv,spvF);
% # sisestab koormusvektori võrrandisüsteemi vabaliikmesse Bv
Bvb=InsertBtoA(Bvb,NNK,1,IIv,1,vB,4,1);
# võrrandisüsteemi vabaliige Bvb on eelnevalt nullitud
```

Võrrandisüsteemis (2.125) peab olema võrrandeid ja tundmatuid ühepalju. Võrrandite arv peab ühtima maatriksi \mathbf{spA} astakuga. Puuduvad sõltumatud võrrandid saame kineemaatilistest ja staatilistest rajatingimustest (vt jaotis 3.1).

Edasi

- püstitame rajatingimused;
- arvutame algparameetrid;
- arvutame väändenurgad ja väändemomendid;
- koostame sisejõudude epüürid.

Rajatingimuste püstitus. Väliste rajatingimuste seadmisel tuleb arvestada energia-teoreemi²⁵ (B.8). Kui avaldistes $\theta \Leftrightarrow T_{sum}$, $\theta' \Leftrightarrow B_\omega$ üks pool (pöördenurk θ , bimoment B_ω) on antud, siis teine pool (koguväändemoment T_{sum} , suhteline väändenurk θ') on tundmatu.

Tala toed sõlmedes a ja b ei võimalda pööret ($\theta = 0$), kuid kooldumine on vaba: $B_\omega = 0$ (vt tabel 1.2). Tundmatud on suhteline väändenurk θ' ja koguväändemoment T_{sum} .

²⁴ http://digi.lib.ttu.ee/opik_eme/Ehitusmehaanika.pdf#figure.14.9

²⁵ http://digi.lib.ttu.ee/opik_eme/Ehitusmehaanika.pdf#equation.F.26

$$\begin{aligned}
 Z(1,1) &= \theta_A = 0 \\
 Z(3,1) &= B_{\omega A} = 0 \\
 Z(5,1) &= \theta_L = 0 \\
 Z(7,1) &= B_{\omega L} = 0
 \end{aligned}
 \tag{2.129}$$

Koostatud on neli rajatingimuse võrrandit. Sisestame need võrrandisüsteemi (2.125) (vt väljavõtte programmist 2.17). Võrrandisüsteemi astak võrdub tundmatute arvuga. Järelikult on sisestatud võrrandid lineaarselt sõltumatud.

Väljavõtte programmist 2.17 (Naide2_6.m)

```
##### Rajatingimused
spA=spSisestaArv(spA,5,1,1); # $theta_A$ - väändenurk
spA=spSisestaArv(spA,6,3,1); # $B_{\omega L}$ - bimoment
spA=spSisestaArv(spA,7,5,1); # $theta_A$ - väändenurk
spA=spSisestaArv(spA,8,7,1); # $B_{\omega L}$ - bimoment
#vastavad vabaliikmed Bvb on juba nullitud
spA_rank = sprank(spA) # võrrandisüsteemi astak
```

Sisestatud võrrandisüsteemi kordajad hõredas maatriksis spA on esitatud arvutuspäeviku väljavõttes 2.20.

Väljavõtte arvutuspäevikust 2.20 (Naide2_6.m)

```
spA =
Compressed Column Sparse (rows = 8, cols = 8, nnz = 19 [30%])

(1, 1) -> 1          (4, 3) -> -0.0053232   (7, 5) -> 1
(5, 1) -> 1          (6, 3) -> 1           (2, 6) -> -1
(1, 2) -> -2645.5    (1, 4) -> 1109.8      (3, 7) -> -1
(2, 2) -> -1         (2, 4) -> 1.3524      (8, 7) -> 1
(1, 3) -> 5.9630     (3, 4) -> -851.71     (4, 8) -> -1
(2, 3) -> 0.0053232 (4, 4) -> -2.3524
(3, 3) -> -2.3524    (1, 5) -> -1
```

Sisestatud võrrandisüsteemi vabaliikmete vektor B on toodud arvutuspäeviku väljavõttes 2.21.

Väljavõtte arvutuspäevikust 2.21 (Naide2_6.m)

```
B =

-5.1972e+04    5.1787e+04    0.0000e+00    0.0000e+00
-8.2232e+01    8.2232e+01    0.0000e+00    0.0000e+00
```

Algparameetrite arvutus. Rajaväärtuste leidmisel korrutasime väändenurgad skaleerimisteguriga: $baasi0 = 1.0 \times 10^{10}$. Skaleerimata algparameetrite saamiseks tuleb vastavad suurused jagada skaleerimisteguriga. Tala skaleerimata algparameetrid on toodud arvutuspäeviku väljavõttes 2.22.

Väljavõte arvutuspäevikust 2.22 (Naide2_6.m)

```
Algparameetrid - AP1
theta -      0.00000
Tt -      -5.86284
B -       0.00000
Tw -     -60.80382
```

Väändenurkade ja väändemomentide arvutus. Väändenurkade ja väändemomentide leidmiseks tala ristlõigetes kasutame ülekandevõrrandit (C.1)

$$\mathbf{Z}_L(\mathbf{x}) = \mathbf{U} \cdot \mathbf{Z}_A + \mathring{\mathbf{Z}} \quad (2.130)$$

kus \mathbf{Z}_A on tala algparameetrid (vt arvutuspäeviku väljavõte 2.22). Ülekandemaatriksi \mathbf{U} leiame GNU Octave'i funktsiooniga *ylWGFhlin.m* ja koormusvektori $\mathring{\mathbf{Z}}$ funktsiooniga *yzWGBBy.m* (vt väljavõte programmist 2.18).

Väljavõte programmist 2.18 (Naide2_6.m)

```
AP=AlgPar(:,1)
baasi0=1.0
Nmitmeks=4
xx=0;
xsamm=l/Nmitmeks;
for ij=1:Nmitmeks+1 # 5 - displacements and forces at x=0.0

Xloikes(ij,1)=xx;
    vvF=ylWGFhlin(baasi0,l,xx,GIt,Elw);
    vvB=yzWGBBy(baasi0,l,xx,a,By,GIt,Elw); # koormusvektori arvutus
    Fvv(1:4,ij)=vvF*AP+vvB;
    Fvv(5,ij)=Fvv(2,ij)+Fvv(4,ij);
xx=xx+xsamm;
endfor
```

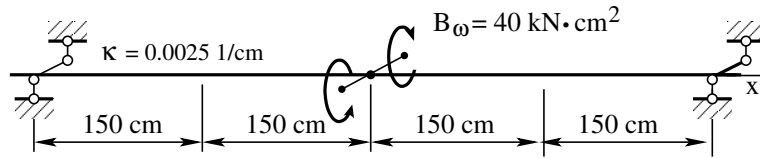
Arvutustulemused on esitatud arvutuspäeviku väljavõttes 2.23.

Väljavõte arvutuspäevikust 2.23 (Naide2_6.m)

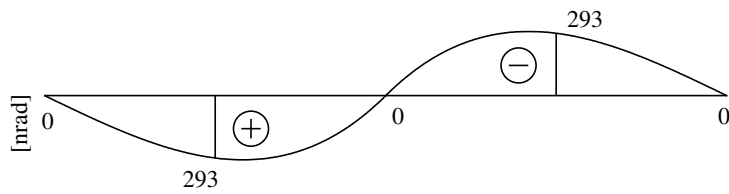
```
baasi0 = 1
Nmitmeks = 4
k = 0.0025000
    x=      0.00      150.00      300.00      450.00      600.00
theta -  0.000e+00  2.928e-07 -1.694e-21 -2.928e-07  0.000e+00
Tt -    5.863e+00  1.537e+00 -1.206e+01  1.537e+00  5.863e+00
B -    0.000e+00  9.336e+03 -2.000e+04 -9.336e+03  0.000e+00
Tw -    6.080e+01  6.513e+01  7.872e+01  6.513e+01  6.080e+01
Tsum -    6.667e+01  6.667e+01  6.667e+01  6.667e+01  6.667e+01
```

$x = 299.99999999$ $T_t = -1.206e+01$ $T_w = 7.872e+01$
 $\theta = 5.293e-19$ $B = 2.000e+04$ $T_{sum} = 6.667e+01$

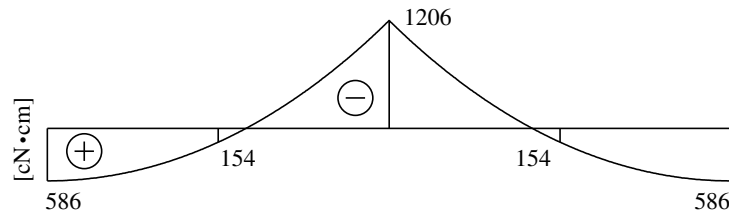
Leitud tulemuste põhjal koostame epiüürid koondbimomendist talal (jn 2.20).



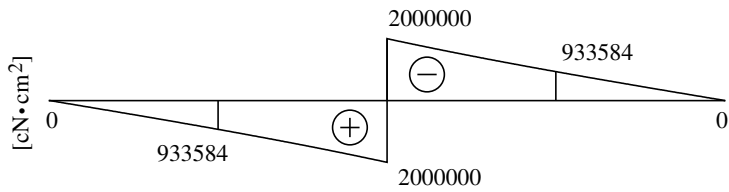
(a) Koormus $B_\omega = 40 \text{ kN}\cdot\text{cm}^2$ (vt tabel 1.1)



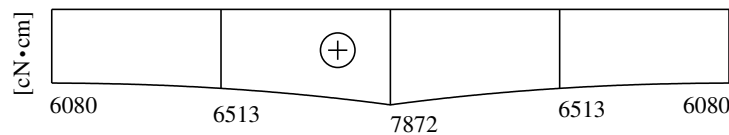
(b) Väändnurk θ



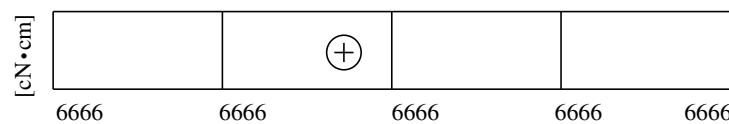
(c) Vabaväändemoment T_t



(d) Bimoment B_ω



(e) Kooldeväändemoment T_w



(f) Koguväändemoment T_{sum}

Joonis 2.20. Koondbimoment talal. Epiüürid

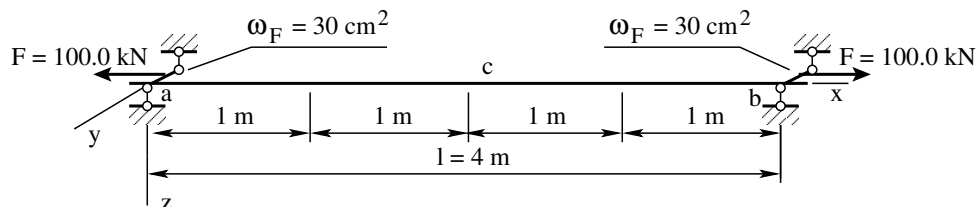
EST-meetodiga saadud tulemused on kooskõlas raamatus [Bõit62] jõu- ja deformatsioonimeetodi abil leitud (vt tabel 2.7).

Tabel 2.7. Koondbimoment tala keskel. Tulemuste võrdlus

x [cm]	Z(x)	[Sad63]	Mõõtühik	EST-meetod	Mõõtühik
0.0	θ		rad	0.000	rad
	T_t	0.57	kG·cm	5.863	N·cm
	B_ω	0.00	kG·cm ²	0.000	N·cm ²
	T_ω	6.08	kG·cm	6.080×10^1	N·cm
	T_{sum}	6.65 ²⁶	kG·cm	6.667×10^1	N·cm
150	θ		rad	2.928×10^{-7}	rad
	T_t	0.14	kG·cm	1.537	N·cm
	B_ω	9.33×10^2	kG·cm ²	9.336×10^3	N·cm ²
	T_ω	6.51	kG·cm	6.513×10^1	N·cm
	T_{sum}	6.65	kG·cm	6.667×10^1	N·cm
300	θ		rad	-1.694×10^{-21}	rad
	T_t	-1.22	kG·cm	-1.206×10^1	N·cm
	B_ω	2.00×10^3	kG·cm ²	2.000×10^4	N·cm ²
	B_ω	-2.00×10^3	kG·cm ²	-2.000×10^4	N·cm ²
	T_ω	7.87	kG·cm	7.872×10^1	N·cm
300 - ϵ	T_{sum}	6.65	kG·cm	6.667×10^1	N·cm
	θ		rad	-2.928×10^{-7}	rad
	T_t	0.14	kG·cm	1.537	N·cm
	B_ω	-9.33×10^2	kG·cm ²	-9.336×10^3	N·cm ²
	T_ω	6.51	kG·cm	6.513×10^1	N·cm
450	T_{sum}	6.65	kG·cm	6.667×10^1	N·cm
	θ		rad	0.000	rad
	T_t	0.57	kG·cm	5.863	N·cm
	B_ω	0.00	kG·cm ²	0.000	N·cm ²
	T_ω	6.08	kG·cm	6.080×10^1	N·cm
600	T_{sum}	6.65	kG·cm	6.667×10^1	N·cm

²⁶ Täpsem on $L_A = (T_{sum}) = 800 \cdot 5/600 = 6.666 \dots$

Näide 2.7 (pikikoormus vardal). Koostada joonisel 2.21 kujutatud varda väändenurga θ_x , vabaväändemomendi T_t , bimomendi B_ω ja kooldeväändemomendi T_ω epiüürid.



Joonis 2.21. Pikikoormus vardal

Andmed. Varda pikkus $l = 4.0$ m. Varras on ekstsentriliselt koormatud pikijõuga $F = 100$ kN. Varda otspinnal on pikikoormuse rakenduspunkti *sektorkoordinaat* $\omega_F = 30$ cm ($B_\omega = 3.0 \times 10^6$ N · cm²). Ristlõike kooldejäikus ($E I_\omega = 2.9686 \times 10^4$ kN · m⁴), vabaväändejäikus ($G I_t = 1.1875 \times 10^3$ kN · m²) ja kooldekarakteristik ($\kappa = \sqrt{G I_t / E I_\omega} = \sqrt{1.1875 \times 10^{10} / 2.9686 \times 10^{15}} = 0.002$ cm⁻¹) on konstantsed.

Lahendus. Vaatleme varrast ühe elemendina, siis sisesidemed [Jür85, lk 8–9] puuduvad. Rajatingimuste W_r seadmisel on arvestatud energiateoreemi (B.8).

$$W_r = [T_{sum}\theta - B_\omega\theta' - b_\omega\theta] \Big|_0^l \quad (2.131)$$

Siit näeb, milline rajatingimus on antud ja milline leitakse. Esimese toe toetingimuste paarides on antud väändenurk $\theta = 0$ ja bimoment $B_\omega = -3.0 \times 10^6$ N · cm². Tundmatud on suhteline väändenurk θ' ($T_t = G I_t \theta'$) ja koguväändemoment $T_{sum} = T_t + T_\omega$.

Varda lõpus on antud väändenurk $\theta = 0$ ja bimoment $B_\omega = 3.0 \times 10^6$ N · cm². Tundmatuks jäävad suhteline väändenurk θ' ($T_t = G I_t \theta'$) ja koguväändemoment $T_{sum} = T_t + T_\omega$.

Rajaväärtuste arvutamiseks kasutame nagu EST-meetodi [Lah97a], [Lah14] puhulgi hõredat võrrandisüsteemi²⁷

$$\text{spA} \cdot \mathbf{Z} = \mathbf{B} \quad (2.132)$$

kus \mathbf{Z} on võrrandisüsteemi tundmatute vektor

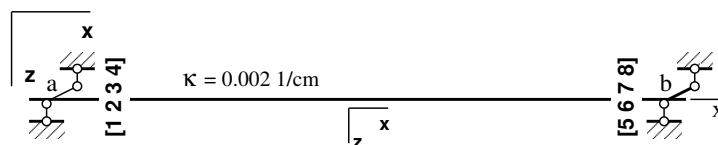
$$\mathbf{Z} = \hat{\mathbf{Z}} = \begin{bmatrix} \mathbf{Z}_a \\ \mathbf{Z}_b \end{bmatrix} \quad (2.133)$$

mille elementideks on väändenurgad ja -momendid varda alguses ja lõpus (jn 2.22):

$$\mathbf{Z}_a = \begin{bmatrix} \theta_A \\ T_{tA} \\ B_{\omega A} \\ T_{\omega A} \end{bmatrix} = \begin{bmatrix} Z(1,1) \\ Z(2,1) \\ Z(3,1) \\ Z(4,1) \end{bmatrix}, \quad \mathbf{Z}_b = \begin{bmatrix} \theta_L \\ T_{tL} \\ B_{\omega L} \\ T_{\omega L} \end{bmatrix} = \begin{bmatrix} Z(5,1) \\ Z(6,1) \\ Z(7,1) \\ Z(8,1) \end{bmatrix} \quad (2.134)$$

Muutuja $Z(i, 1)$ indeks ($i=1, 2, 3, \dots, 8$) on toodud joonisel 2.22.

²⁷ http://digi.lib.ttu.ee/opik_eme/Ehitusmehaanika.pdf#equation.14.22



Joonis 2.22. Pikikoormus vardal. Muutujad

Põhivõrrandites (2.84) [Lah12, jn 14.9]²⁸

$$\widehat{\mathbf{U}}_{4 \times 8} \cdot \widehat{\mathbf{Z}} = -\dot{\mathbf{Z}} \quad (2.135)$$

sisalduva laiendatud ülekandemaatriksi $\widehat{\mathbf{U}}_{4 \times 8} \equiv (\mathbf{U}_{4 \times 4} \mid -\mathbf{I}_{4 \times 4})$ (2.87) arvutamiseks saab kasutada GNU Octave'i funktsiooni `yspWGVfmbHvI.m`. Siin $\dot{\mathbf{Z}}$ on tala takistatud väände koormusvektor (C.8).

Võrrandisüsteemis on (2.135) tundmatuid poole rohkem kui võrrandeid. Kanname need võrrandid võrrandisüsteemi (2.132) (vt väljavõte programmist 2.19).

Väljavõte programmist 2.19 (Naide2_7.m)

```
# Tala hõreda laiendatud ülekandemaatriksi arvutus
spvF=yvspWGVfmbHvI(baasi0,1,GI,Iw);
%vB=yzWGBBy(baasi0,1,1,a,By,GI,Iw); # koormusvektori arvutus
IIv=1;
IJv=1;
%vB=vB.*(-1);
# sisestab ülekandemaatriksi võrrandisüsteemi spA*Z=Bvb
spA=spInsertBtoA(spA,IIv,IJv,spvF);
% # sisestab koormusvektori võrrandisüsteemi vabaliikmesse Bv
%Bvb=InsertBtoA(Bvb,NNK,1,IIv,1,vB,4,1);
# võrrandisüsteemi vabaliige Bvb on eelnevalt nullitud
```

Võrrandisüsteemis (2.132) peab olema võrrandeid ja tundmatuid ühepalju. Võrrandite arv peab ühtima maatriksi \mathbf{spA} astakuga. Puuduvad sõltumatud võrrandid saame kineemaatilistest ja staatilistest rajatingimustest (vt jaotis 3.1).

Nüüd

- püstitame rajatingimused;
- arvutame algparameetrid;
- arvutame väändenurgad ja väändemomendid;
- koostame sisejõudude epüürid.

Rajatingimuste püstitus. Väliste rajatingimuste seadmisel tuleb arvestada energiateoreemi²⁹ (B.8). Kui avaldistes $\theta \Leftrightarrow T_{sum}$, $\theta' \Leftrightarrow B_\omega$ üks pool (pöördenurk θ , bimoment B_ω) on antud, siis teine pool (koguväändemoment T_{sum} , suhteline väändenurk θ') on tundmatu.

Varda toed sõlmedes a ja b ei võimalda pööret: $\theta = 0$. Sõlmes a on bimoment $B_\omega = -3.0 \times 10^6 \text{ N} \cdot \text{cm}^2$. Sõlmes b on bimoment $B_\omega = 3.0 \times 10^6 \text{ N} \cdot \text{cm}^2$. Tundmatud on suhteline väändenurk θ' ja koguväändemoment T_{sum} .

²⁸ http://digi.lib.ttu.ee/opik_eme/Ehitusmehaanika.pdf#figure.14.9

²⁹ http://digi.lib.ttu.ee/opik_eme/Ehitusmehaanika.pdf#equation.F.26

$$\begin{aligned}
 Z(1,1) &= \theta_A = 0 \\
 Z(3,1) &= B_{\omega A} = -3.0 \times 10^6 \text{ N}\cdot\text{cm}^2 \\
 Z(5,1) &= \theta_L = 0 \\
 Z(7,1) &= B_{\omega L} = 3.0 \times 10^6 \text{ N}\cdot\text{cm}^2
 \end{aligned}
 \tag{2.136}$$

Koostatud on neli rajatingimuse võrrandit. Sisestame need võrrandisüsteemi (2.132) (vt väljavõte programmist 2.20). Võrrandisüsteemi astak võrdub tundmatute arvuga. Järelikult on sisestatud võrrandid lineaarselt sõltumatud.

Väljavõte programmist 2.20 (Naide2_7.m)

```
##### Rajatingimused
spA=spSisestaArv(spA,5,1,1); # $theta_A$ - väändenurk
spA=spSisestaArv(spA,6,3,1); # $B_{\{L\}}$ - bimoment
Bvb(6,1)=-By; # -3.0e+06;
spA=spSisestaArv(spA,7,5,1); # $theta_A$ - väändenurk
spA=spSisestaArv(spA,8,7,1); # $B_{\{L\}}$ - bimoment
Bvb(8,1)=By; # 3.0e+06;
#vastavad vabaliikmed Bvb on juba nullitud
spA_rank = sprank(spA) # võrrandisüsteemi astak
```

Sisestatud võrrandisüsteemi kordajad hõredas maatriksis spA on esitatud arvutuspäeviku väljavõttes 2.24.

Väljavõte arvutuspäevikust 2.24 (Naide2_7.m)

```
spA =
Compressed Column Sparse (rows = 8, cols = 8, nnz = 19 [30%])

(1, 1) -> 1          (4, 3) -> -0.0017761      (7, 5) -> 1
(5, 1) -> 1          (6, 3) -> 1                (2, 6) -> -1
(1, 2) -> -336.87    (1, 4) -> 37.099           (3, 7) -> -1
(2, 2) -> -1         (2, 4) -> 0.33742          (8, 7) -> 1
(1, 3) -> 0.28417    (3, 4) -> -444.05
(2, 3) -> 0.0017761 (4, 4) -> -1.3374
(3, 3) -> -1.3374    (1, 5) -> -1
```

Sisestatud võrrandisüsteemi vabaliikmete vektor B on 700dud arvutuspäeviku väljavõttes 2.25.

Väljavõte arvutuspäevikust 2.25 (Naide2_7.m)

```
B =

      0          0          0          0
      0          0     -3000000     3000000
```

Algparameetrite arvutus. Rajaväärtuste leidmisel korrutasime väändenurgad skaleerimisteguriga: $baasi0 = 1.0 \times 10^{10}$. Skaleerimata algparameetrite saamiseks tuleb vastavad suurused jagada skaleerimisteguriga. Tala skaleerimata algparameetrid on toodud arvutuspäeviku väljavõttes 2.26.

Väljavõte arvutuspäevikust 2.26 (Naide2_7.m)

```
Algparameetrid - AP1
theta -      0.0000e+00
  Tt -      -2.2796e+03
   B -      -3.0000e+06
  Tw -       2.2796e+03
```

Väändenurkade ja väändemomentide arvutus. Väändenurkade ja väändemomentide leidmiseks tala ristlõiget kasutame ülekandevõrrandit (C.1)

$$\mathbf{Z}_L(\mathbf{x}) = \mathbf{U} \cdot \mathbf{Z}_A + \overset{\circ}{\mathbf{Z}} \quad (2.137)$$

kus \mathbf{Z}_A on tala algparameetrid (vt arvutuspäeviku väljavõte 2.26). Ülekandemaatriksi \mathbf{U} leiame GNU Octave'i funktsiooniga *ylWGFhlin.m*. Koormusvektor $\overset{\circ}{\mathbf{Z}} = 0$ (vt väljavõte programmist 2.21).

Väljavõte programmist 2.21 (Naide2_7.m)

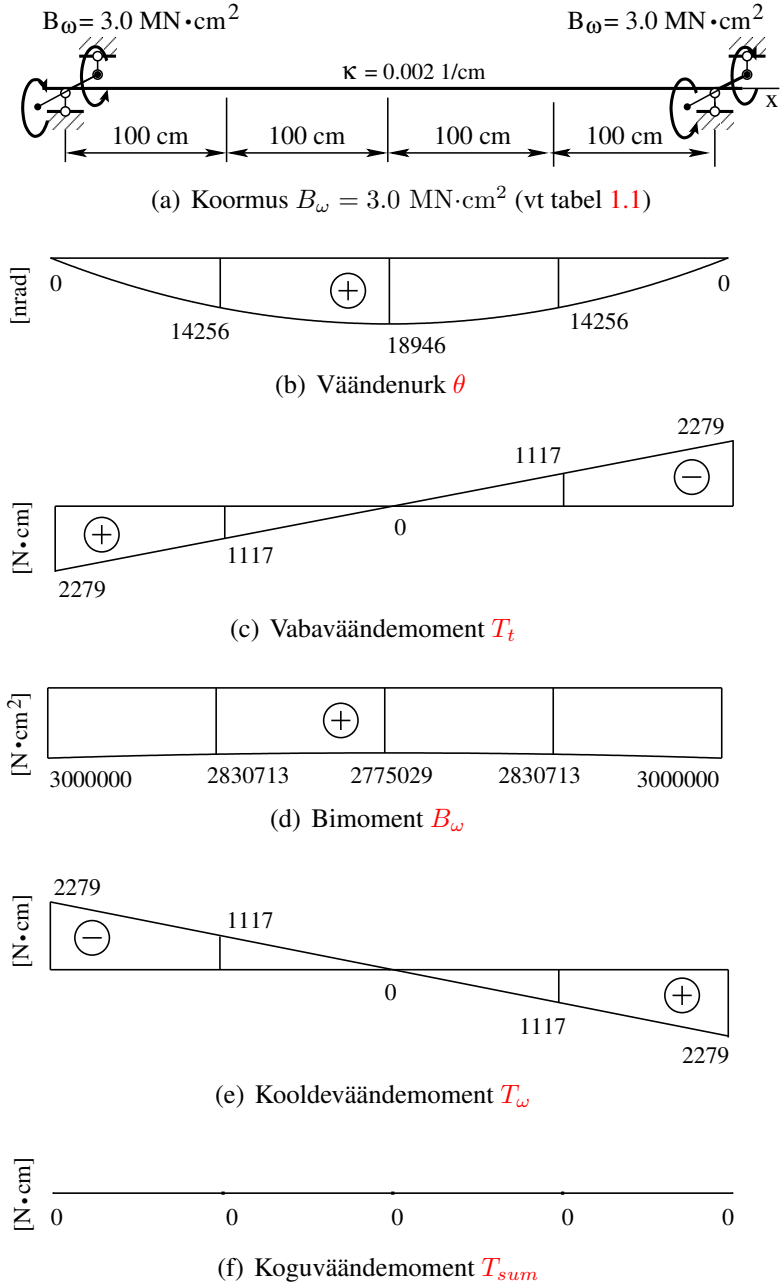
```
AP=AlgPar(:,1)
baasi0=1.0
Nmitmeks=4
xx=0;
xsamm=1/Nmitmeks;
for ij=1:Nmitmeks+1 # 5 - displacements and forces at x=0.0
Xloikes(ij,1)=xx;
  vvF=ylWGFhlin(baasi0,1,xx,GIt,EIw);
  Fvv(1:4,ij)=vvF*AP; % +vvB;
  Fvv(5,ij)=Fvv(2,ij)+Fvv(4,ij);
xx=xx+xsamm;
endfor
```

Arvutustulemused on esitatud arvutuspäeviku väljavõttes 2.27.

Väljavõte arvutuspäevikust 2.27 (Naide2_7.m)

```
baasi0 = 1
Nmitmeks = 4
k = 0.0020000
  x=      0.00      100.00      200.00      300.00      400.00
theta -  0.000e+00  1.426e-05  1.895e-05  1.426e-05  1.186e-20
  Tt -  2.280e+03  1.117e+03  -5.116e-13  -1.117e+03  -2.280e+03
   B -  3.000e+06  2.831e+06  2.775e+06  2.831e+06  3.000e+06
  Tw -  -2.280e+03  -1.117e+03  0.000e+00  1.117e+03  2.280e+03
 Tsum -  -4.547e-13  -4.547e-13  -5.116e-13  -4.547e-13  -4.547e-13
```

Leitud tulemuste põhjal koostame epüürid pikikoormusest vardal (jn 2.23).



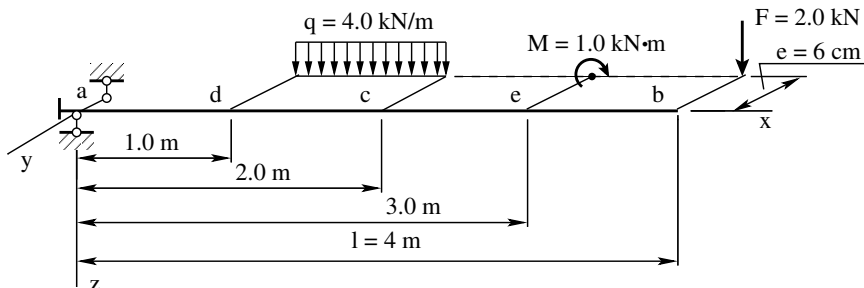
Joonis 2.23. Pikikoormus vardal. Epüürid

EST-meetodiga saadud tulemused on kooskõlas raamatus [Bõit62] jõu- ja deformatsioonimeetodi abil leitud (vt tabel 2.8).

Tabel 2.8. Pikikoormus vardal. Tulemuste võrdlus

x [cm]	Z(x)	[Sad63]	Mõõtühik	EST-meetod	Mõõtühik
0.0	θ		rad	0.000	rad
	T_t	2.28×10^2	kG·cm	2.280×10^3	N·cm
	B_ω	3.00×10^5	kG·cm ²	3.000×10^6	N·cm ²
	T_ω	-2.28×10^2	kG·cm	-2.280×10^3	N·cm
	T_{sum}		kG·cm	-4.547×10^{-13}	N·cm
100	θ		rad	1.426×10^{-5}	rad
	T_t	1.12×10^2	kG·cm	1.117×10^3	N·cm
	B_ω	2.83×10^5	kG·cm ²	2.831×10^6	N·cm ²
	T_ω	-1.12×10^2	kG·cm	-1.117×10^3	N·cm
	T_{sum}		kG·cm	-4.547×10^{-13}	N·cm
200	θ		rad	1.895×10^{-5}	rad
	T_t	0.00	kG·cm	-5.116×10^{-13}	N·cm
	B_ω	2.77×10^5	kG·cm ²	2.775×10^6	N·cm ²
	T_ω	0.00	kG·cm	0.000	N·cm
	T_{sum}		kG·cm	-4.547×10^{-13}	N·cm
300	θ		rad	1.426×10^{-5}	rad
	T_t	-1.12×10^2	kG·cm	-1.117×10^3	N·cm
	B_ω	2.83×10^5	kG·cm ²	2.831×10^6	N·cm ²
	T_ω	1.12×10^2	kG·cm	1.117×10^3	N·cm
	T_{sum}		kG·cm	-4.547×10^{-13}	N·cm
400	θ		rad	1.186×10^{-20}	rad
	T_t	-2.28×10^2	kG·cm	-2.280×10^3	N·cm
	B_ω	3.00×10^5	kG·cm ²	3.000×10^6	N·cm ²
	T_ω	2.28×10^2	kG·cm	2.280×10^3	N·cm
	T_{sum}		kG·cm	-4.547×10^{-13}	N·cm

Näide 2.8 (laus- ja koondkoormus konsoolil). Koostada joonisel 2.24 kujutatud konsooli väändenurga θ_x , vabaväändemomendi T_t , bimomendi B_ω ja kooldeväändemomendi T_ω epüürid.



Joonis 2.24. Laus- ja koondkoormus konsoolil

Andmed. Konsooli pikkus $l = 4.0$ m. Konsool on ekstsentriliselt koormatud lauskoormusega $q = 4.0$ kN/m ($m_x = -240$ (N·cm)/cm). Vertikaalse lauskoormuse q ekstsentrilisus $e = 6$ cm. Konsoolile on ekstsentriliselt rakendatud moment $M_y = -1.0$ kN·m ($B_\omega = 600$ kN·cm²). Konsool on ekstsentriliselt koormatud koondatud jõuga $F = 2$ kN ($M_x = -12.0$ kN·cm). Vertikaalse jõu F ekstsentrilisus $e = 5$ cm. Ristlõike kooldejäikus ($EI_\omega = 7.560 \times 10^4$ kN·m⁴), vabaväändejäikus ($GI_t = 2.7216 \times 10^4$ kN·m²) ja kooldekarakteristik ($\kappa = \sqrt{GI_t/EI_\omega} = \sqrt{2.7216 \times 10^8 / 7.5600 \times 10^{12}} = 0.006$ cm⁻¹) on konstantsed.

Lahendus. Vaatleme konsooli ühe elemendina, siis sisesidemed [Jür85, lk 8–9] puuduvad. Rajatingimuste W_r seadmisel on arvestatud energiateoreemi (B.8).

$$W_r = [T_{sum}\theta - B_\omega\theta' - b_\omega\theta] \Big|_0^l \quad (2.138)$$

Siit selgub, milline rajatingimus on antud ja milline leitakse. Esimese toe toetingimuste paarides $T_{sum} \Leftrightarrow \theta$ ja $B_\omega \Leftrightarrow \theta'$ on antud väändenurk $\theta = 0$ ja suhteline väändenurk $\theta' = 0$. Seega on esimene tugi jäik ning ei võimalda pööret ega kooldumist. Tundmatud on bimoment B_ω ja koguväändemoment T_{sum} .

Konsooli lõpus on bimoment $B_\omega = 0$ ja koguväändemoment $T_{sum} = T_t + T_\omega = -12.0$ kN·cm. Tundmatuks jäävad väändenurk θ ja suhteline väändenurk θ' ($T_t = GI_t\theta'$).

Rajaväärtuste arvutamiseks kasutame nagu EST-meetodi [Lah97a], [Lah14] puhulgi hõredat võrrandisüsteemi³⁰

$$\text{spA} \cdot \mathbf{Z} = \mathbf{B} \quad (2.139)$$

kus \mathbf{Z} on võrrandisüsteemi tundmatute vektor

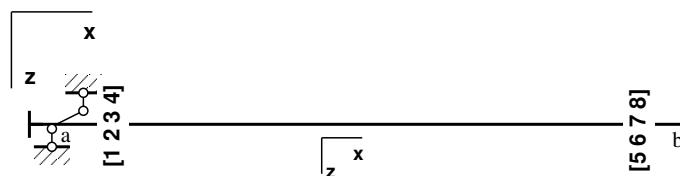
$$\mathbf{Z} = \hat{\mathbf{Z}} = \begin{bmatrix} \mathbf{Z}_a \\ \mathbf{Z}_b \end{bmatrix} \quad (2.140)$$

mille elementideks on väändenurgad ja -momendid konsooli alguses ja lõpus (jn 2.25):

$$\mathbf{Z}_a = \begin{bmatrix} \theta_A \\ T_{tA} \\ B_{\omega A} \\ T_{\omega A} \end{bmatrix} = \begin{bmatrix} Z(1,1) \\ Z(2,1) \\ Z(3,1) \\ Z(4,1) \end{bmatrix}, \quad \mathbf{Z}_b = \begin{bmatrix} \theta_L \\ T_{tL} \\ B_{\omega L} \\ T_{\omega L} \end{bmatrix} = \begin{bmatrix} Z(5,1) \\ Z(6,1) \\ Z(7,1) \\ Z(8,1) \end{bmatrix} \quad (2.141)$$

Muutuja $Z(i,1)$ indeks ($i=1, 2, 3, \dots, 8$) on toodud joonisel 2.25.

³⁰ http://digi.lib.ttu.ee/opik_eme/Ehitusmehaanika.pdf#equation.14.22



Joonis 2.25. Laus- ja koondkoormus konsoolil. Muutujad

Põhivõrrandites (2.84) [Lah12, jn 14.9]³¹

$$\widehat{\mathbf{U}}_{4 \times 8} \cdot \widehat{\mathbf{Z}} = -\mathring{\mathbf{Z}} \quad (2.142)$$

sisalduva laiendatud ülekanematriksi $\widehat{\mathbf{U}}_{4 \times 8} \equiv (\mathbf{U}_{4 \times 4} \mid -\mathbf{I}_{4 \times 4})$ (2.87) arutamiseks saab kasutada GNU Octave'i funktsiooni *yspWGVfmbHvI.m*.

Võrrandisüsteemis (2.142) on tundmatuid poole rohkem kui võrrandeid. Kanname need võrrandid võrrandisüsteemi (2.139) (vt väljavõtte programmist 2.22).

Väljavõtte programmist 2.22 (Naide2.8.m)

```
# Tala hõreda laiendatud ülekanematriksi arvutus
spvF=yspWGVfmbHvI(baasi0,1,GIt,EIw);
vB1q=yzWGMx(baasi0,1,1,a1,mx,GIt,EIw); # koormusvektori arvutus
vB2q=yzWGMx(baasi0,1,1,a2,-mx,GIt,EIw);
vB3B=yzWGBBy(baasi0,1,1,a3,By,GIt,EIw);
vB=vB1q+vB2q+vB3B;
IIv=1;
IJv=1;
vB=vB.*(-1);
# sisestab ülekanematriksi võrrandisüsteemi spA*Z=Bvb
spA=spInsertBtoA(spA,IIv,IJv,spvF);
# sisestab koormusvektori võrrandisüsteemi vabaliikmesse Bvb
Bvb=InsertBtoA(Bvb,NNK,1,IIv,1,vB,4,1);
# võrrandisüsteemi vabaliige Bvb on eelnevalt nullitud
```

Võrrandisüsteemis (2.139) peab olema võrrandeid ja tundmatuid ühepalju. Võrrandite arv peab ühtima matriksi \mathbf{spA} astakuga. Puuduvad sõltumatud võrrandid saame kineemaatilistest ja staatilistest rajatingimustest (vt jaotis 3.1).

Edasi

- püstitame rajatingimused;
- arvutame algparameetrid;
- arvutame väändenurgad ja väändemomendid;
- koostame sisejõudude epüürid.

Rajatingimuste püstitus. Väliste rajatingimuste seadmisel tuleb arvestada energiateoreemi³² (B.8). Kui avaldistes $\theta \Leftrightarrow T_{sum}$, $\theta' \Leftrightarrow B_\omega$ üks pool (pöördenurk θ , suhteline väändenurk θ') on antud, siis teine pool (koguväändemoment T_{sum} , bimoment B_ω) on tundmatu.

Jäik tugi konsooli sõlmes a ei võimalda pööret ega kooldumist (vt tabel 1.2). Tundmatuks on bimoment B_ω ja koguväändemoment T_{sum} . Viimases ($T_{sum} = T_t + T_\omega$) on vabaväändemoment $T_t = GI_t\theta' = 0$ antud. Tundmatuks jääb kooldeväändemoment T_ω .

³¹ http://digi.lib.ttu.ee/opik_eme/Ehitusmehaanika.pdf#figure.14.9

³² http://digi.lib.ttu.ee/opik_eme/Ehitusmehaanika.pdf#equation.F.26

Konsooli otsas, sõlmes b , on antud bimoment $B_\omega = 0$ ja koguväändemoment $T_{sum} = -1.2 \times 10^4 \text{ N}\cdot\text{cm}$. Tundmatud on pöördenurk θ ja suhteline väändenurk θ' ($GI_t\theta' = T_t$).

$$\begin{aligned} Z(1,1) &= \theta_A &= & 0 \\ Z(2,1) &= T_{tA} &\equiv & \theta_A &= 0 \\ Z(7,1) &= B_{\omega L} &= & 0 \\ Z(6,1) + Z(8,1) &= T_{tL} + T_{\omega L} &\equiv & T_{sumL} &= 0 \end{aligned} \quad (2.143)$$

Koostatud on neli rajatingimuse võrrandit. Sisestame need võrrandisüsteemi (2.139) (vt väljavõte programmist 2.23). Võrrandisüsteemi astak võrdub tundmatute arvuga. Järelikult on sisestatud võrrandid lineaarselt sõltumatud.

Väljavõte programmist 2.23 (Naide2_8.m)

```
##### Rajatingimused
spA=spSisestaArv(spA,5,1,1); # $theta(1)$ - väändenurk
spA=spSisestaArv(spA,6,2,1); # $Tt(2)$
spA=spSisestaArv(spA,7,7,1); # $B(7)$ -bimoment
Bvb(7,1)=0.0;
spA=spSisestaArv(spA,8,6,1); # $Tt(6)$ -
spA=spSisestaArv(spA,8,8,1); # $Tw(8)$ =Tsum
Bvb(8,1)=Mx; #Mx=-12000.0 Ncm;
#
#vastavad vabaliikmed Bvb on juba nullitud
#
spA_rank = sprank(spA) # võrrandisüsteemi astak
```

Sisestatud võrrandisüsteemi kordajad hõredas maatriksis spA on esitatud arvutuspäeviku väljavõttes 2.28.

Väljavõte arvutuspäevikust 2.28 (Naide2_8.m)

```
spA =
Compressed Column Sparse (rows = 8, cols = 8, nnz = 20 [31%])

(1, 1) -> 1          (3, 3) -> -5.5569      (2, 6) -> -1
(5, 1) -> 1          (4, 3) -> -0.032797   (8, 6) -> 1
(1, 2) -> -14.697    (1, 4) -> 18.777      (3, 7) -> -1
(2, 2) -> -1         (2, 4) -> 4.5569      (7, 7) -> 1
(6, 2) -> 1          (3, 4) -> -911.04     (4, 8) -> -1
(1, 3) -> 0.16744    (4, 4) -> -5.5569     (8, 8) -> 1
(2, 3) -> 0.032797  (1, 5) -> -1
```

Sisestatud võrrandisüsteemi vabaliikmete vektor \mathbf{B} on toodud arvutuspäeviku väljavõttes 2.29.

Väljavõte arvutuspäevikust 2.29 (Naide2_8.m)

B =

9.3113e+04	-7.9342e+06	0.0000e+00	0.0000e+00
3.1017e+04	-5.5017e+04	0.0000e+00	-1.2000e+04

Algparameetrite arvutus. Rajaväärtuste leidmisel korrutasime väändenurgad skaleerimisteguriga: $baasi0 = 1.0 \times 10^{10}$. Skaleerimata algparameetrite saamiseks tuleb vastavad suurused jagada skaleerimisteguriga. Konsooli skaleerimata algparameetrid on toodud arvutuspäeviku väljavõttes 2.30.

Väljavõte arvutuspäevikust 2.30 (Naide2_8.m)

```
Algparameetrid - AP1
theta -      0.0000e+00
Tt -      0.0000e+00
B -     -4.4743e+06
Tw -      3.6000e+04
```

Väändenurkade ja väändemomentide arvutus. Väändenurkade ja väändemomentide leidmiseks konsooli ristlõiget kasutame ülekandevõrrandit (C.1)

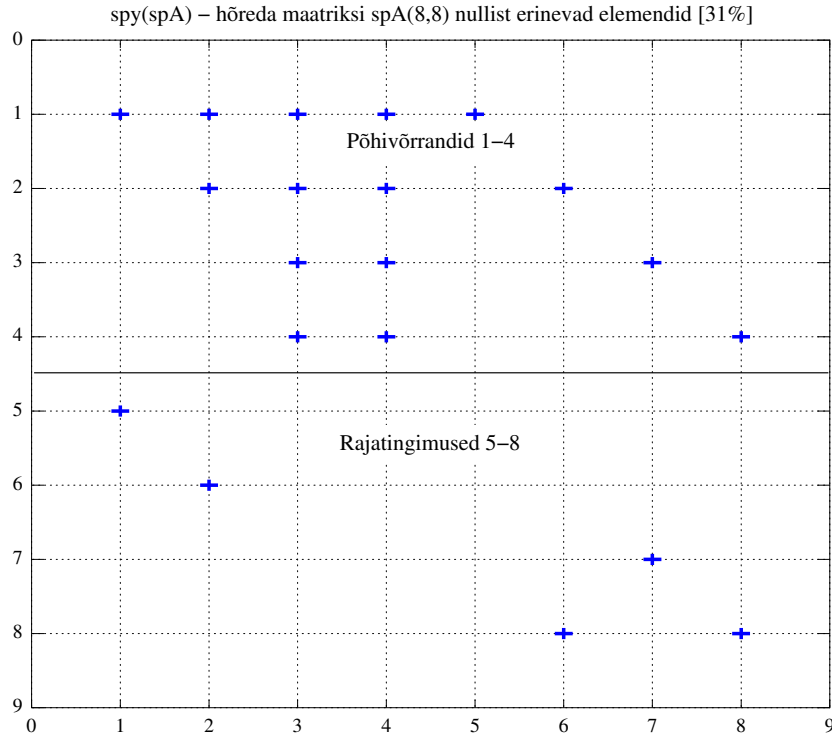
$$\mathbf{Z}_L(\mathbf{x}) = \mathbf{U} \cdot \mathbf{Z}_A + \mathring{\mathbf{Z}} \quad (2.144)$$

kus \mathbf{Z}_A on konsooli algparameetrid (vt arvutuspäeviku väljavõte 2.30). Ülekandemaatriksi \mathbf{U} leiame GNU Octave'i funktsiooniga *ylWGFhlin.m* ning koormusvektori $\mathring{\mathbf{Z}}$ funktsioonidega *yzWGMx.m* ja *yzWGBx.m* (vt väljavõte programmist 2.24).

Väljavõte programmist 2.24 (Naide2_8.m)

```
AP=AlgPar(:,1)
baasi0=1.0
Nmitmeks=4
xx=0;
xsamm=1/Nmitmeks;
vvB=zeros(4,1)
for ij=1:Nmitmeks+1 # 5 - displacements and forces at x=0.0
Xloikes(ij,1)=xx;
    vvF=ylWGFhlin(baasi0,1,xx,GIt,EIw);
    vB1q=yzWGMx(baasi0,1,xx,a1,mx,GIt,EIw); # koormusvektori arvutus
    vB2q=yzWGMx(baasi0,1,xx,a2,-mx,GIt,EIw);
    vB3B=yzWGBx(baasi0,1,xx,a3,By,GIt,EIw);
    vvB=vB1q+vB2q+vB3B;
    Fvv(1:4,ij)=vvF*AP+vvB;
    Fvv(5,ij)=Fvv(2,ij)+Fvv(4,ij);
    xx=xx+xsamm;
endfor
```

Joonisel 2.26 on näidatud sisestatud võrrandisüsteemi kordajate hõreda maatriksi muster (hõreda maatriksi $spA(8,8)$ nullist erinevate elementide asukohad).



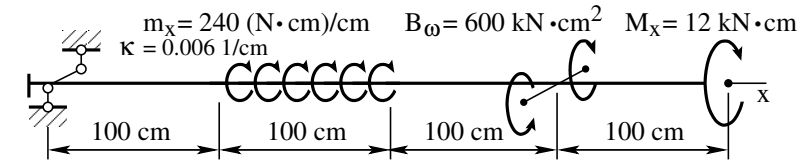
Joonis 2.26. Laus- ja koondkoormus konsoolil. Hõreda maatriksi spA muster

Arvutustulemused on arvutuspäeviku väljavõttes 2.31.

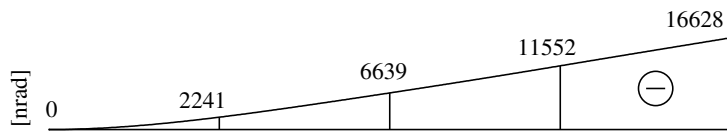
Väljavõtte arvutuspäevikust 2.31 (Naide2_8.m)

x =	0.00	100.00	200.00	300.00	400.00
theta -	0.000e+00	-2.241e-03	-6.639e-03	-1.155e-02	-1.663e-02
Tt -	0.000e+00	-1.041e+04	-1.280e+04	-1.403e+04	-1.371e+04
B -	4.474e+06	1.484e+06	2.810e+05	-1.815e+05	-5.588e-09
Tw -	-3.600e+04	-2.559e+04	8.048e+02	2.028e+03	1.710e+03
Tsum -	-3.600e+04	-3.600e+04	-1.200e+04	-1.200e+04	-1.200e+04
x =	299.999	x =	196.782	x =	197.000
theta -	-1.155e-02	theta -	-6.487e-03	theta -	-6.498e-03
Tt -	-1.403e+04	Tt -	-1.277e+04	Tt -	-1.277e+04
B -	4.185e+05	B -	2.797e+05	B -	2.797e+05
Tw -	2.028e+03	Tw -	6.755e-02	Tw -	5.458e+01
Tsum -	-1.200e+04	Tsum -	-1.277e+04	Tsum -	-1.272e+04

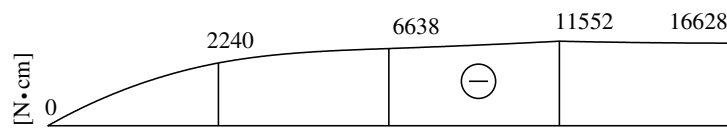
Leitud tulemuste põhjal koostame epüürid laus- ja koondkoormusest konsoolil (jn 2.27).



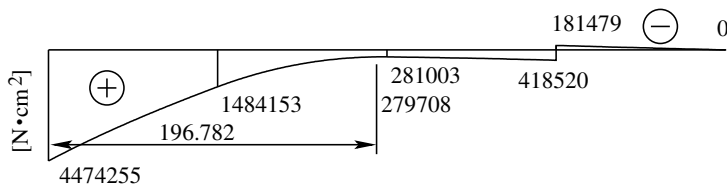
(a) Koormus $m_x = 240 \text{ N}$, $M_x = 12 \text{ kN}\cdot\text{cm}$, $B_\omega = 600 \text{ kN}\cdot\text{cm}^2$
(vt tabel 1.1)



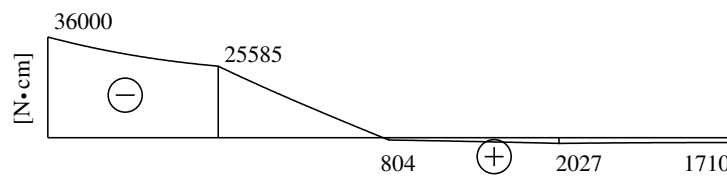
(b) Väändenurk θ



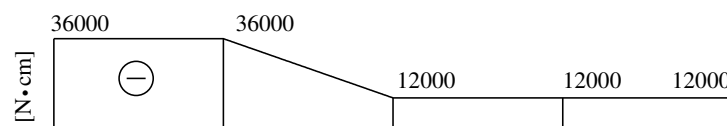
(c) Vabaväändemoment T_t



(d) Bimoment B_ω



(e) Kooldeväändemoment T_ω



(f) Koguväändemoment T_{sum}

Joonis 2.27. Laus- ja koondkoormus konsoolil. Epüürid

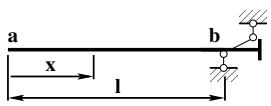
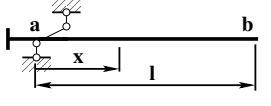
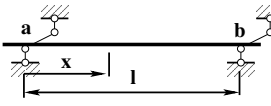
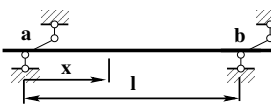

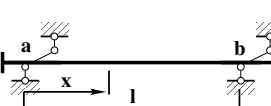
EST-meetodiga saadud tulemused on kooskõlas raamatus [Sad63] leitudetega (vt tabel 2.9).

Tabel 2.9. Laus- ja koondkoormus konsoolil. Tulemuste võrdlus

x [cm]	Z(x)	[Sad63]	Mõõtühik	EST-meetod	Mõõtühik
0.0	θ		rad	0.000	rad
	T_t	0.000	kG·cm	0.000	N·cm
	B_ω	4.470×10^5	kG·cm ²	4.474×10^6	N·cm ²
	T_ω	-3.600×10^3	kG·cm	-3.600×10^4	N·cm
	T_{sum}	-3.600×10^3	kG·cm	-3.600×10^4	N·cm
100	θ		rad	-2.241×10^{-3}	rad
	T_t	1.040×10^3	kG·cm	-1.041×10^4	N·cm
	B_ω	1.480×10^5	kG·cm ²	1.484×10^6	N·cm ²
	T_ω	-2.560×10^3	kG·cm	-2.559×10^4	N·cm
	T_{sum}	-3.600×10^3	kG·cm	-3.600×10^4	N·cm
196.782	θ		rad	-6.487×10^{-3}	rad
	T_t		kG·cm	-1.277×10^4	N·cm
	B_ω	2.720×10^4	kG·cm ²	2.797×10^5	N·cm ²
	T_ω		kG·cm	6.755×10^{-2}	N·cm
	T_{sum}		kG·cm	-1.277×10^4	N·cm
200	θ		rad	-6.639×10^{-3}	rad
	T_t	1.276×10^3	kG·cm	-1.280×10^4	N·cm
	B_ω	2.730×10^4	kG·cm ²	2.810×10^5	N·cm ²
	T_ω	7.6×10^1	kG·cm	8.048×10^2	N·cm
	T_{sum}	-1.200×10^3	kG·cm	-1.200×10^4	N·cm
300	θ		rad	-1.155×10^{-2}	rad
	T_t	-1.395×10^3	kG·cm	-1.403×10^4	N·cm
	B_ω	4.050×10^4	kG·cm ²	4.185×10^5	N·cm ²
	B_ω	-1.950×10^4	kG·cm ²	-1.815×10^5	N·cm ²
	T_ω	1.95×10^2	kG·cm	2.028×10^3	N·cm
300 - ϵ	T_{sum}	-1.200×10^3	kG·cm	-1.200×10^4	N·cm
	θ		rad	-1.663×10^{-2}	rad
	T_t	-1.356×10^3	kG·cm	-1.371×10^4	N·cm
	B_ω	0.000	kG·cm ²	-5.588×10^{-9}	N·cm ²
	T_ω	1.56×10^2 ³³	kG·cm	1.710×10^3	N·cm
400	T_{sum}	-1.200×10^3	kG·cm	-1.200×10^4	N·cm

³³ Raamatus [Sad63, lk 64] on $M_{\omega B} = (T_\omega) = \dots - 0.006 \cdot 10\,000 \cdot 0.6367 \dots$, peab olema $\dots - 0.006 \cdot 6 \cdot 10\,000 \cdot 0.6367 \dots M_{\omega B} \dots = 156 \text{ kG}\cdot\text{cm}$.

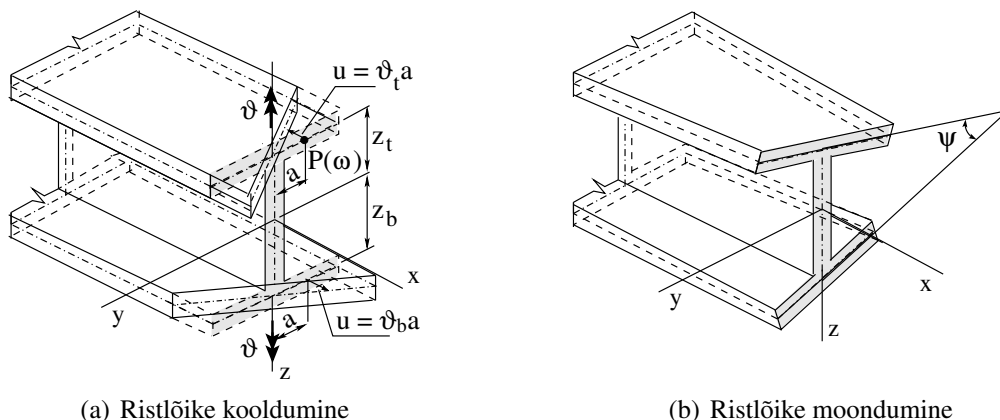
Tabel 2.10. Rajatingimused õhukeseseinalise varda väändel

Varda skeem	Rajatingimused		Valemid
	$x = 0$	$\theta'' = 0$ $T_{sum} = 0$	$B = -EI_{\omega}\theta'' = 0$ $T_{sum} = GI_t\theta' - EI_{\omega}\theta''' = 0$
	$x = l$	$\theta = 0$ $\theta' = 0$	$T_t = GI_t\theta' = 0$
	$x = 0$	$\theta = 0$ $\theta' = 0$	$T_t = GI_t\theta' = 0$
	$x = l$	$B_{\omega} = 0$ $T_{sum} = 0$	$B_{\omega} = -EI_{\omega}\theta'' = 0$ $T_{sum} = GI_t\theta' - EI_{\omega}\theta''' = 0$
	$x = 0$	$\theta = 0$ $B_{\omega} = 0$	$B_{\omega} = -EI_{\omega}\theta'' = 0$
	$x = l$	$\theta = 0$ $B_{\omega} = 0$	$B_{\omega} = -EI_{\omega}\theta'' = 0$
	$x = 0$	$\theta = 0$ $B_{\omega} = 0$	$B_{\omega} = -EI_{\omega}\theta'' = 0$
	$x = l$	$\theta = 0$ $\theta' = 0$	$T_t = GI_t\theta' = 0$
	$x = 0$	$\theta = 0$ $\theta' = 0$	$T_t = GI_t\theta' = 0$
	$x = l$	$\theta = 0$ $B_{\omega} = 0$	$B_{\omega} = -EI_{\omega}\theta'' = 0$
	$x = 0$	$\theta = 0$ $\theta' = 0$	$T_t = GI_t\theta' = 0$
	$x = l$	$\theta = 0$ $\theta' = 0$	$T_t = GI_t\theta' = 0$

3. Õhukeseseinalised varrassüsteemid

Õhukeseseinalise ristlõikega varda kinemaatikat kirjeldavad 7 vabadusastet: 3 siiret, 3 pöördenurka (väändenurka) ja ristlõike kooldumist iseloomustav vabadusaste, mis on võrdne suhtelise väändenurgaga θ' . Väändenurk θ ja kooldumine θ' on omavahel seotud.

Vaatleme kooldumist õhukeseseinaliste talade ühendamisel sõlmes. Piirdume süsteemiga, kus talade ristlõigete pinnakeskmed asuvad ühisel tasandil. Samuti asuvad ühisel tasandil talade **elastsed teljed**. Punkti, kus elastsed teljed lõikuvad, nimetame sõlme keskmeks (ingl joint center, вп центр узла). Selleks et sõlmes ühendatavate talade kooldumus θ' oleks võrdne, peaksid talade ristlõigete sektorkoordinaatide ω tuletised, s.t sektorkoordinaatide epüüride puutujad ($d\omega/ds = \omega'$), olema kontaktpunktis võrdsed [Böt62].



(a) Ristlõike kooldumine

(b) Ristlõike moondumine

Joonis 3.1. Kooldumine sõlmes

Vaatleme õhukeseseinalise tala (jn 3.1a) ristlõike punkti $P(\omega)$ pikisiiret u . Pikisiirde u saame määrata avaldisega $u = -\omega \theta'$ (1.12), kus ω on punkti $P(\omega)$ sektorkoordinaat ($\omega_p = -z_t a$). Tähistame ülemise vöö pöördenurga ümber z-telje sümboliga ϑ . Ristlõike punkti $P(\omega)$ pikisiirde saame avaldada korrutisena $u = \vartheta a$, kus a on punkti kaugus z-teljest. Kui võtta suhteline väändenurk võrdseks ühega ($\theta' = 1$), siis avaldisest (1.12) saame

$$u = -\omega \cdot 1 = z_t a \cdot 1 = \vartheta_t a \quad (3.1)$$

ning alumises vöös

$$u = -\omega \cdot 1 = z_b a \cdot 1 = \vartheta_b a \quad (3.2)$$

Kui $z_t = z_b = h/2$, siis

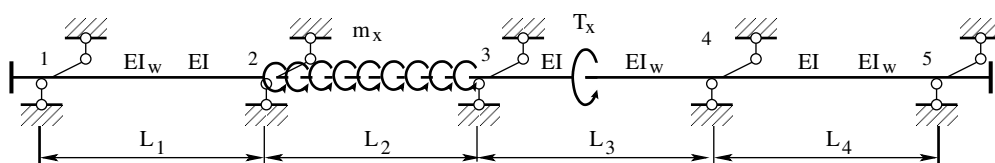
$$\vartheta_t = \vartheta_b = h/2 \quad (3.3)$$

Õhukeseseinaliste varraste liitekoht võib deformeeruda [MW03]. Kui varraste ühendamisel sõlmes ristlõige moonduv (jn 3.1b), siis tuleb valida sobivad kinemaatilised pidevustingimused [DK90].

Suurte pöördenurkade (väändenurkade) kirjeldamiseks kasutatakse pöörde pseudovektorit (D.46) [Teh05].

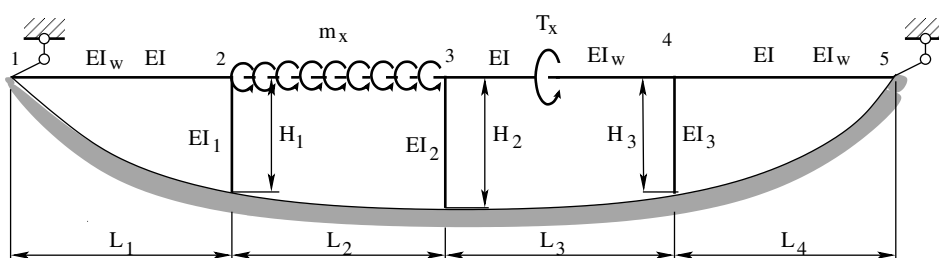
Õhukeseseinalisi varrassüsteeme arvutatakse ka jõumeetodiga ja deformatsioonimeetodiga [BC09], [Böt62]. Jõumeetodi puhul on lisatundmatuteks jõud, mis leitakse kinemaatilistest pidevustingimustest. Deformatsioonimeetodi korral on tundmatuteks siirded ja pöörded, mis leitakse sõlmede tasakaalutingimustest. EST-meetodiga arvutamisel leitakse siirded, pöörded, jõud ja momendid varraste otstes samaaegselt. Selle meetodiga rajaülesannet lahendades kasutatakse kinemaatilisi pidevustingimusi ja tasakaalutingimusi.

Jätkuvtala kinemaatilisi pidevustingimusi kirjeldame näites 3.1. Joonisel 3.2 kujutatud jätkuvtala toesidemed takistavad väänet ¹ (väändenurk $\theta = 0$).



Joonis 3.2. Jätkuvtala toed ei võimalda pööret

Joonisel 3.3 on kujutatud elastsete tugegeda ^{2,3} jätkuvtala. Väändenurga ja paindenurga pidevustingimust on vaadeldud näites 3.2 „L-tala arvutus ülekandevõrranditega”.



Joonis 3.3. Elastsete tugegeda jätkuvtala

¹ https://commons.wikimedia.org/wiki/File:Kraanad_ja_sillasambad_Ihaste_silla_ehitusel_Tartu_Idaringteel,_28._mai_2013.JPG

² http://www.youtube.com/watch?v=5smsMzA_xII&feature=related

³ <https://www.youtube.com/watch?v=IEl59FCBE-k>

3.1 Rajatingimused

Varrassüsteemi elemente ühendavad sidemed jagatakse välis- ja sisesidemeteks. Selline jagamine on tinglik selles mõttes, et üle minnes varrassüsteemi kui terviku käsitluselt tema osa vaatlusele, muutuvad sisesidemed välissidemeteks, mis seovad vaadeldavat osa tervikuga [Jür85, lk 8–9].⁴

Sidemetest vabastamise printsiipi rakendades vaatleme kinemaatilisi ja staatilisi rajatingimusi. Kinemaatiliste ja staatiliste rajatingimuste seadmisel arvestame energiateoreemist⁵ (B.8) saadud rajatingimusi:

$$W_r = \left[T_{sum} \hat{\theta} - B_\omega \hat{\theta}' - b_\omega \hat{\theta} \right] \Big|_0^l \quad (3.4)$$

Kui toodud avaldises leiduvatest paaridest $T_{sum} \Leftrightarrow \hat{\theta}$, $B_\omega \Leftrightarrow \hat{\theta}'$, $b_\omega \Leftrightarrow \hat{\theta}$ üks on antud, siis teine on tundmatu ning tuleb leida. Nii näiteks on tabelis 2.10 [Böt62, lk 156] jäiga toe puhul antud väändenurk θ ja suhteline väändenurk θ' . Tundmatud on bimoment B_ω ja koguväändemoment $T_{sum} = T_t + T_\omega$, milles vabaväändemoment $T_t = GT_t \theta' = 0$ on antud. Järelikult tuleb leida kooldeväändemoment T_ω .

Staatilised rajatingimused jagatakse välimisteks ja sisemisteks reaktsioonideks.⁶ Välimisi reaktsioone nimetame toereaktsioonideks. Sisemised reaktsioonid on elementide ühendussõlmes tasakaalus, seega võrdub nende summa siin nulliga. Sisemisi reaktsioone võib nimetada ka kontaktjõududeks.⁷ Nii tuleb murtud teljega tala puhul kontakti panna paindemoment ja koguväändemoment (vt näide D.1 ja 3.2).

Sisemisi kinemaatilisi rajatingimusi elementide ühendussõlmes nimetame pidevustingimusteks. Näiteks on jätkuvtala talasid ühendavas sõlmes pöördenurga pidevus $\theta_{vasakul} - \theta_{paremal} = 0$ ja kooldepidevus $\theta'_{paremal} - \theta'_{vasakul} = 0$. Murtud teljega tala puhul peab üleminek paindenurgalt väändenurgale ning ka vastupidi olema pidev (vt näited 3.2 ja D.1).

Sisemised kinemaatilised ja staatilised rajatingimused:⁸

- pidevustingimused (kinemaatilised rajatingimused) ühendussõlmedes;
- ühendussõlmede tasakaalutingimused (staatilised rajatingimused);
- kõrvaltingimused liigendite kohta (varraste otstes).

3.1.1 Jätkuvtala arvutus

Näide 3.1 (jätkuvtala arvutus ülekandevõrranditega). Koostada joonisel 3.4 kujutatud jätkuvtala väändenurga θ_x , vabaväändemomendi T_t , bimomendi B_ω ja kooldeväändemomendi T_ω epiüürid.

Andmed. Jätkuvtala avad $l_1 = 8$ m, $l_2 = 6$ m ja konsooli pikkus $l_3 = 2$ m. Tala esimene ava on koormatud ühtlase lausmomendiga $m_x = 1.0$ (kN·m)/m. Tala teise ava

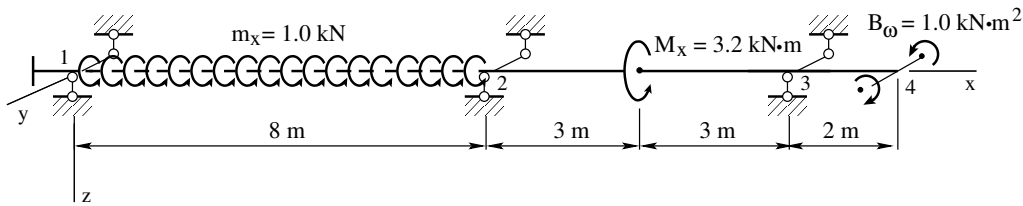
⁴ <http://digi.lib.ttu.ee/i/?472>

⁵ http://digi.lib.ttu.ee/opik_eme/Ehitusmehaanika.pdf#equation.F.26

⁶ http://www.ce.memphis.edu/3121/notes/notes_04d.pdf (20.08.2013)

⁷ https://en.wikipedia.org/wiki/Contact_force (20.08.2013)

⁸ <http://digi.lib.ttu.ee/estmethod/ESTmethod.pdf#figure.1.13>



Joonis 3.4. Jätkuvtala vääne

keskele on rakendatud moment $M_x = 3.2 \text{ kN} \cdot \text{m}$. Konsoli otsas mõjub bimoment $B_\omega = -1.0 \text{ kN} \cdot \text{m}^2$. Ristlõikeks on valitud I-profil nr 60a [Bõit62, lk 435]. Ristlõike koolde-tugevusmoment ($W_\omega = 5373.4 \text{ cm}^4$), paindejäikus ($EI = 1.7611 \times 10^5 \text{ kN} \cdot \text{m}^2$), koolde-jäikus ($EI_\omega = 2.8348 \times 10^5 \text{ kN} \cdot \text{m}^4$), vabaväändejäikus ($GI_t = 1.5640 \times 10^5 \text{ kN} \cdot \text{m}^2$) ja kooldekarakteristik ($\kappa = \sqrt{GI_t/EI_\omega} = \sqrt{1.5640 \times 10^9 / 2.8348 \times 10^{13}} = 0.0074278 \text{ cm}^{-1}$) on konstantsed.

Lahendus. Toetingimuste seadmisel on arvestatud energiateoreemi (B.8)

$$W_r = [T_{sum}\theta - B_\omega\theta' - b_\omega\theta] \Big|_0^l \quad (3.5)$$

Siit saab jälgida, milline toetingimus on antud ja milline leitakse. Esimese toe toetingimuste paarides $T_{sum} \Leftrightarrow \theta$ ja $B_\omega \Leftrightarrow \theta'$ on antud väändenurk $\theta = 0$ ja suhteline väändenurk $\theta' = 0$. Seega on esimene tugi jäik ning ei võimalda pööret ega kooldumist. Tundmatud on bimoment B_ω ja koguväändemoment T_{sum} . Varda lõpus on antud bimoment $B_\omega = -1.0 \text{ kN} \cdot \text{m}^2$ ja koguväändemoment $T_{sum} = T_t + T_\omega = 0$. Tundmatuks jäävad väändenurk θ ja suhteline väändenurk θ' ($T_t = GI_t\theta'$).

Teisel ja kolmandal toel on varrassüsteemi elemente ühendavad sisesidemed ja välisidemed. Välissidemeks on antud väändenurk $\theta = 0$. Tundmatu on toemoment, mis on võrdne elementide koguväändemomentide T_{sum} summaga. Elemente ühendavateks sisesidemeteks on väändenurkade θ võrdsus ja suhteliste väändenurkade θ' võrdsus. Samal ajal peavad elementide bimomendid B_ω , koguväändemomendid T_{sum} ja toemoment olema sõlmes tasakaalus.

Rajaväärtuste arvutamiseks kasutame nagu EST-meetodi [Lah97a], [Lah14] puhulgi hõredat võrrandisüsteemi⁹

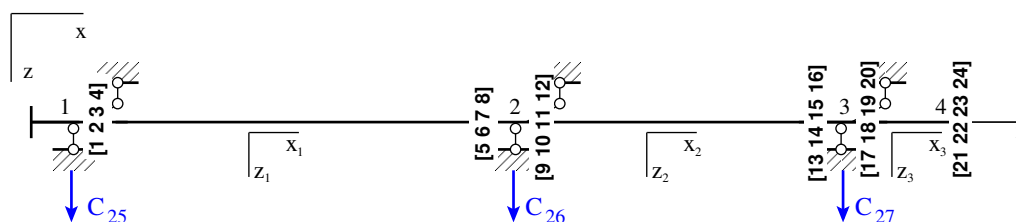
$$\text{spA} \cdot \mathbf{Z} = \mathbf{B} \quad (3.6)$$

kus \mathbf{Z} on võrrandisüsteemi tundmatute vektor

$$\mathbf{Z} = \begin{bmatrix} \mathbf{Z}_a^{(1)} \\ \mathbf{Z}_b^{(1)} \\ \mathbf{Z}_a^{(2)} \\ \mathbf{Z}_b^{(2)} \\ \mathbf{Z}_a^{(3)} \\ \mathbf{Z}_b^{(3)} \end{bmatrix} \quad (3.7)$$

mille elementideks on väändenurgad ja -momendid varraste 1, 2 ja 3 alguses ja lõpus (jn 3.5):

⁹ http://digi.lib.ttu.ee/opik_eme/Ehitusmehaanika.pdf#equation.14.22



Joonis 3.5. Jätkuvtala muutujad

$$\mathbf{Z}_a^{(1)} = \begin{bmatrix} \theta_A \\ T_{tA} \\ B_{\omega A} \\ T_{\omega A} \end{bmatrix} = \begin{bmatrix} Z(1,1) \\ Z(2,1) \\ Z(3,1) \\ Z(4,1) \end{bmatrix}, \quad \mathbf{Z}_b^{(1)} = \begin{bmatrix} \theta_L \\ T_{tL} \\ B_{\omega L} \\ T_{\omega L} \end{bmatrix} = \begin{bmatrix} Z(5,1) \\ Z(6,1) \\ Z(7,1) \\ Z(8,1) \end{bmatrix} \quad (3.8)$$

$$\mathbf{Z}_a^{(2)} = \begin{bmatrix} \theta_A \\ T_{tA} \\ B_{\omega A} \\ T_{\omega A} \end{bmatrix} = \begin{bmatrix} Z(9,1) \\ Z(10,1) \\ Z(11,1) \\ Z(12,1) \end{bmatrix}, \quad \mathbf{Z}_b^{(2)} = \begin{bmatrix} \theta_L \\ T_{tL} \\ B_{\omega L} \\ T_{\omega L} \end{bmatrix} = \begin{bmatrix} Z(13,1) \\ Z(14,1) \\ Z(15,1) \\ Z(16,1) \end{bmatrix} \quad (3.9)$$

$$\mathbf{Z}_a^{(3)} = \begin{bmatrix} \theta_A \\ T_{tA} \\ B_{\omega A} \\ T_{\omega A} \end{bmatrix} = \begin{bmatrix} Z(17,1) \\ Z(18,1) \\ Z(19,1) \\ Z(20,1) \end{bmatrix}, \quad \mathbf{Z}_b^{(3)} = \begin{bmatrix} \theta_L \\ T_{tL} \\ B_{\omega L} \\ T_{\omega L} \end{bmatrix} = \begin{bmatrix} Z(21,1) \\ Z(22,1) \\ Z(23,1) \\ Z(24,1) \end{bmatrix} \quad (3.10)$$

Muutuja $Z(i, 1)$ indeks ($i=1, 2, 3, \dots, 24$) on näidatud joonisel 3.5. Põhivõrrandites¹⁰ (2.84)

$$\widehat{\mathbf{U}}_{4 \times 8} \cdot \widehat{\mathbf{Z}} = -\dot{\mathbf{Z}} \quad (3.11)$$

sisalduva laiendatud ülekan demaatriksi $\widehat{\mathbf{U}}_{4 \times 8} \equiv (\mathbf{U}_{4 \times 4} \mid -\mathbf{I}_{4 \times 4})$ (2.87) arvutamiseks saab kasutada GNU Octave'i funktsiooni `yspWGvfmhvI.m`.

Võrrandisüsteemis (3.11) on tundmatuid poole rohkem kui võrrandeid. Kanname need võrrandid võrrandisüsteemi (3.6) (vt väljavõtte programmist 3.1).

Väljavõtte programmist 3.1 (Naide2_10.m)

```
# Esimese tala hõreda laiendatud ülekan demaatriksi arvutus
spvF=yspWGvfmhvI(baasi0,l1,GIt,EIw);
vB1=yzWGMx(baasi0,l1,l1,a1,mx,GIt,EIw); # koormusvektori arvutus
IIv=1;
IJv=1;
vB1=vB1.*(-1);
# sisestab ülekan demaatriksi võrrandisüsteemi spA*Z=Bvb
spA=spInsertBtoA(spA,IIv,IJv,spvF);
```

¹⁰ http://digi.lib.ttu.ee/opik_eme/Ehitusmehaanika.pdf#figure.14.9

```

# sisestab koormusvektori võrrandisüsteemi vabaliikmesse Bvb
Bvb=InsertBtoA(Bvb, NNK, 1, IIv, 1, vB1, 4, 1);
# Teise tala hõreda laiendatud ülekandemaatriksi arvutus
spvF=ySpWGVfMhVl(baasi0, l2, GI, EIw);
vB2=yzWGMx(baasi0, l2, l2, a2, Mx2, GI, EIw); # koormusvektori arvutus
krda=2;
IIv=krda*8-7;
IJv=krda*16-15;
# sisestab ülekandemaatriksi võrrandisüsteemi spA*Z=Bvb
spA=spInsertBtoA(spA, IIv, IJv, spvF);
# sisestab koormusvektori võrrandisüsteemi vabaliikmesse Bvb
Bvb=InsertBtoA(Bvb, NNK, 1, IIv, 1, vB2, 4, 1);
# Kolmanda tala hõreda laiendatud ülekandemaatriksi arvutus
spvF=ySpWGVfMhVl(baasi0, l3, GI, EIw);
krda=3;
IIv=krda*4-3;
IJv=krda*8-7;
# sisestab ülekandemaatriksi võrrandisüsteemi spA*Z=Bvb
spA=spInsertBtoA(spA, IIv, IJv, spvF);
# võrrandisüsteemi vabaliige Bvb on eelnevalt nullitud

```

Võrrandisüsteemis (3.6) peab olema võrrandeid ja tundmatuid ühepalju. Võrrandite arv peab ühtima maatriksi spA astakuga. Puuduvad sõltumatud võrrandid saame kinemaatilistest ja staatilistest rajatingimustest (vt jaotis 3.1).

Järgnevalt

- püstitame rajatingimused;
- arvutame algparameetrid;
- arvutame väändenurgad ja väändemomendid;
- koostame sisejõudude epüürid.

Rajatingimuste püstitus. Väliste rajatingimuste seadmisel sõlmedes tuleb arvestada energiateoreemi¹¹ (B.8). Kui avaldistes $\theta \Leftrightarrow T_{sum}$, $\theta' \Leftrightarrow B_\omega$ üks pool (pöördenurk θ , suhteline väändenurk θ') on antud, siis teine pool (koguväändemoment T_{sum} , bimoment B_ω) on tundmatu.

Talal on sõlmes 1 jäik tugi, mis ei võimalda pööret ega kooldumist (vt tabel 1.2). Tundmatud on bimoment B_ω , toemoment C_{25} (vt jn 3.5) ja koguväändemoment $T_{sum} = T_t + T_\omega$. Viimases on vabaväändemoment $T_t = GI_t\theta' = 0$ antud. Tundmatuks jääb kooldeväändemoment T_ω . Teisel ja kolmandal toel on antud pöördenurk θ . Tundmatuks jäävad toemomendid C_{26} ja C_{27} . Tala otsas, sõlmes 4, on antud bimoment B_ω ja koguväändemoment $T_{sum} = 0$. Tundmatud on pöördenurk θ ja suhteline väändenurk θ' ($GI_t\theta' = T_t$).

$$\begin{array}{rclclcl}
Z(1,1) & = & \theta_A^{(1)} & = & 0 & Z(2,1) & = & T_{tA}^{(1)} & \equiv & \theta_A'^{(1)} = 0 \\
Z(5,1) & = & \theta_L^{(1)} & = & 0, & Z(22,1) & + & Z(24,1) & = & \\
Z(13,1) & = & \theta_L^{(2)} & = & 0 & T_{tL}^{(3)} + T_{\omega L}^{(3)} & \equiv & T_{sumL}^{(3)} = 0 & & (3.12) \\
& & & & & Z(23,1) & = & B_{\omega L}^{(3)} & = & -1.0 \times 10^7 \text{ N}\cdot\text{cm}^2
\end{array}$$

¹¹ http://digi.lib.ttu.ee/opik_eme/Ehitusmehaanika.pdf#equation.F.26

Sisemistest rajatingimustest vaatleme sõlmede 2 ja 3 pidevustingimusi. Varraste 1 ja 2 ning 2 ja 3 väändenurgad ja kooldumus¹² on võrdsed.

$$\begin{aligned}
 Z(5, 1) - Z(9, 1) &= \theta_L^{(1)} - \theta_A^{(2)} = 0 \\
 Z(6, 1) + Z(10, 1) &= T_{tL}^{(1)} + T_{tA}^{(2)} \equiv \theta_L'^{(1)} - \theta_A'^{(2)} = 0 \\
 Z(13, 1) - Z(17, 1) &= \theta_L^{(2)} - \theta_A^{(3)} = 0 \\
 Z(14, 1) + Z(18, 1) &= T_{tL}^{(2)} + T_{tA}^{(3)} \equiv \theta_L'^{(2)} - \theta_A'^{(3)} = 0
 \end{aligned} \tag{3.13}$$

Sisemistest rajatingimustest vaatleme veel sõlmede 2 ja 3 tasakaalutingimusi. Tasakaalus peavad olema bimomendid, koguväändemomendid ja toeväändemomendid.

$$\begin{aligned}
 Z(7, 1) + Z(11, 1) &= B_{\omega L}^{(1)} + B_{\omega A}^{(2)} = 0 \\
 Z(15, 1) + Z(19, 1) &= B_{\omega L}^{(2)} + B_{\omega A}^{(3)} = 0 \\
 Z(6, 1) + Z(8, 1) &\equiv T_{sum}^{(1)} + \\
 Z(10, 1) + Z(12, 1) &\equiv T_{sum}^{(2)} - \\
 C_{26} &= 0 \\
 Z(14, 1) + Z(16, 1) &\equiv T_{sum}^{(2)} + \\
 Z(18, 1) + Z(20, 1) &\equiv T_{sum}^{(3)} - \\
 C_{27} &= 0
 \end{aligned} \tag{3.14}$$

Koostatud on 16 rajatingimuse võrrandit. Sisestame need võrrandisüsteemi (3.6) (vt väljavõte programmist 3.2). Võrrandisüsteemi astak võrdub tundmatute arvuga. Järelikult on sisestatud võrrandid lineaarselt sõltumatud.

Väljavõte programmist 3.2 (Naide2_10.m)

```

##### Rajatingimused
# Pidevustingimused
# Sõlm 2
spA=spSisestaArv(spA, 13, 5, 1); # $theta_{5}$ on võrdne
spA=spSisestaArv(spA, 13, 9, -1); # $theta_{9}$ väändenurgaga
    spA=spSisestaArv(spA, 14, 6, 1); # $T_{t6}$ on võrdne
    spA=spSisestaArv(spA, 14, 10, 1); # $T_{t10}$
# Sõlm 3
spA=spSisestaArv(spA, 15, 13, 1); # $theta_{13}$ - väändenurk
spA=spSisestaArv(spA, 15, 17, -1); # võrdne $theta_{17}$ väändenurga
    spA=spSisestaArv(spA, 16, 14, 1); # $T_{t14}$ on võrdne
    spA=spSisestaArv(spA, 16, 18, 1); # $T_{t18}$
# Tasakaalutingimused
# Sõlm 1
spA=spSisestaArv(spA, 17, 2, 1); # $T_{t2}$ +
spA=spSisestaArv(spA, 17, 4, 1); # $T_{t4}$ -
spA=spSisestaArv(spA, 17, 25, -1); # $C_{25}$ summa on tasakaalus
# Sõlm 2
spA=spSisestaArv(spA, 18, 7, 1); # $B_{7}$ - bimoment
spA=spSisestaArv(spA, 18, 11, 1); # $B_{11}$ summa on tasakaalus
    spA=spSisestaArv(spA, 19, 6, 1); # $T_{t8}$ +

```

¹² Kooldumisel vabaväändemomenti kasutades järgitakse II märgikokkulepet.

```

spA=spSisestaArv(spA, 19, 8, 1); # $T_{w8}$ +
spA=spSisestaArv(spA, 19, 10, 1); # $T_{t10}$ +
spA=spSisestaArv(spA, 19, 12, 1); # $T_{w12}$ -
spA=spSisestaArv(spA, 19, 26, -1); # $-C_{26}$
# Sõlm 3
spA=spSisestaArv(spA, 20, 15, 1); # $B_{15}$ - bimoment
spA=spSisestaArv(spA, 20, 19, 1); # $B_{19}$ summa on tasakaalus
spA=spSisestaArv(spA, 21, 14, 1); # $T_{t14}$ +
spA=spSisestaArv(spA, 21, 16, 1); # $T_{w16}$ +
spA=spSisestaArv(spA, 21, 18, 1); # $T_{t18}$ +
spA=spSisestaArv(spA, 21, 20, 1); # $T_{w20}$ -
spA=spSisestaArv(spA, 21, 27, -1); # $C_{27}$ summa on tasakaalus
#SUM1=Z(25, 1)+Z(26, 1)+Z(27, 1)
# Toetingimused
# Sõlm 1
spA=spSisestaArv(spA, 22, 1, 1); # $theta_A$ - väändenurk on null
spA=spSisestaArv(spA, 23, 2, 1); # $T_{tA}$ - kooldeväändemoment
# Sõlm 2
spA=spSisestaArv(spA, 24, 9, 1); # $theta_A$ - väändenurk on null
# Sõlm 3
spA=spSisestaArv(spA, 25, 17, 1); # $theta_A$ - väändenurk on null
# Sõlm 4
spA=spSisestaArv(spA, 26, 23, 1); # $B_{L}$ - bimoment
Bvb(26, 1)=By ;
spA=spSisestaArv(spA, 27, 22, 1); # $T_{tL}$+
spA=spSisestaArv(spA, 27, 24, 1); # $T_{\omega L}$ = üldväändemoment
#Bvb(27, 1)=0.0;
#vastavad vabaliikmed Bvb on juba nullitud
#
#spA_rank = sprank(spA) # võrrandisüsteemi astak

```

Toereaktsioonid (toemomendid) leiab arvutuspäeviku väljavõttest 3.1.

Väljavõte arvutuspäevikust 3.1 (Naide2_10.m)

```

Toereaktsioonid (toemomendid)
C25 = -4.1206e+05
C26 = -5.8028e+05
C27 = -1.2767e+05

```

Algparameetrite arvutus. Rajaväärtuste leidmisel korrutati väändenurgad skaleerimisteguriga: baasi0 = 1.0×10^{10} . Skaleerimata algparameetrite saamiseks tuleb vastavad suurused jagada skaleerimisteguriga. Talade 1, 2 ja 3 skaleerimata algparameetrid on toodud arvutuspäeviku väljavõttes 3.2.

Väljavõte arvutuspäevikust 3.2 (Naide2_10.m)

Algparameetrid -	AP1	AP2	AP3
theta -	0.0000e+00	0.0000e+00	0.0000e+00
Tt -	0.0000e+00	4.7899e+04	3.4901e+04
B -	3.7593e+07	2.7948e+07	8.5483e+06
Tw -	-4.1206e+05	-2.4023e+05	-3.4901e+04

Väändenurkade ja väändemomentide arvutus. Väändenurkade ja väändemomentide leidmiseks tala ristlõigetes kasutame ülekandevõrrandit (C.1)

$$\mathbf{Z}_L(\mathbf{x}) = \mathbf{U} \cdot \mathbf{Z}_A + \overset{\circ}{\mathbf{Z}} \quad (3.15)$$

kus \mathbf{Z}_A on tala algparameetrid (vt arvutuspäeviku väljavõte 3.2). Ülekandemaatriksi \mathbf{U} leiame GNU Octave'i funktsiooniga *ylWGFhlin.m* ning koormusvektori $\overset{\circ}{\mathbf{Z}}$ funktsioonidega *yzWGMx.m* ja *yzWGMx.m* (vt väljavõte programmist 3.3).

Väljavõte programmist 3.3 (Naide2_10.m)

```

AP=AP1;
baasi0=1.0
Nmitmeks=4
xx=0.0;
xsamm=0.0;
xsamm=l1/Nmitmeks;
for ij=1:Nmitmeks+1 # 5 - displacements and forces at x=0.0
Xloikes (ij,1)=xx;
    vvF=ylWGFhlin (baasi0, l1, xx, GIt, EIw);
    vvB1=yzWGMx (baasi0, l1, xx, a1, mx1, GIt, EIw);
    Fvv (1:4, ij)=vvF*AP+vvB1;
    Fvv (5, ij)=Fvv (2, ij)+Fvv (4, ij);
xx=xx+xsamm;
endfor
AP=AP2;
baasi0=1.0
Nmitmeks=4
xx=0.0;
xsamm=0.0;
xsamm=l2/Nmitmeks;
for ij=1:Nmitmeks+1 # 5 - displacements and forces at x=0.0
Xloikes (ij,1)=xx;
    vvF=ylWGFhlin (baasi0, l2, xx, GIt, EIw);
    vvB2=yzWGMx (baasi0, l2, xx, a2, Mx2, GIt, EIw);
    Fvv (1:4, ij)=vvF*AP+vvB2;
    Fvv (5, ij)=Fvv (2, ij)+Fvv (4, ij);
xx=xx+xsamm;
endfor
AP=AP3;
baasi0=1.0
Nmitmeks=4
xx=0.0;
xsamm=0.0;
xsamm=l3/Nmitmeks;
for ij=1:Nmitmeks+1 # 5 - displacements and forces at x=0.0
Xloikes (ij,1)=xx;
    vvF=ylWGFhlin (baasi0, l3, xx, GIt, EIw);
    Fvv (1:4, ij)=vvF*AP; % +vvB3;
    Fvv (5, ij)=Fvv (2, ij)+Fvv (4, ij);
xx=xx+xsamm;
endfor

```


Arvutustulemused on esitatud arvutuspäeviku väljavõttes 3.3.

Väljavõte arvutuspäevikust 3.3 (Naide2_10.m)

```

baasi0 = 1
Nmitmeks = 4
k = 0.0074270
  x=      0.00      200.00      400.00      600.00      800.00
theta -   0.000e+00   1.267e-02   2.194e-02   1.442e-02  -2.665e-15
  Tt -   0.000e+00   1.225e+05   8.375e+03  -1.155e+05  -4.790e+04
   B -  -3.759e+07   5.007e+06   1.292e+07   7.084e+06  -2.795e+07
  Tw -   4.121e+05   8.954e+04   3.682e+03  -7.244e+04  -3.400e+05
 Tsum -   4.121e+05   2.121e+05   1.206e+04  -1.879e+05  -3.879e+05

```

```

baasi0 = 1
Nmitmeks = 4
k = 0.0074270
  x=      0.00      150.00      300.00      450.00      600.00
theta -   0.000e+00   2.621e-03   8.051e-03   5.148e-03  -1.665e-16
  Tt -  -4.790e+04   6.909e+04   1.663e+04  -5.742e+04  -3.490e+04
   B -  -2.795e+07  -3.196e+06   1.716e+07   2.552e+06  -8.548e+06
  Tw -   2.402e+05   1.232e+05  -1.443e+05  -7.024e+04  -9.277e+04
 Tsum -   1.923e+05   1.923e+05  -1.277e+05  -1.277e+05  -1.277e+05
  x =      299.999999999999
theta -   8.051e-03
  Tt -   1.663e+04
   B -   1.716e+07
  Tw -   1.757e+05
 Tsum -   1.923e+05

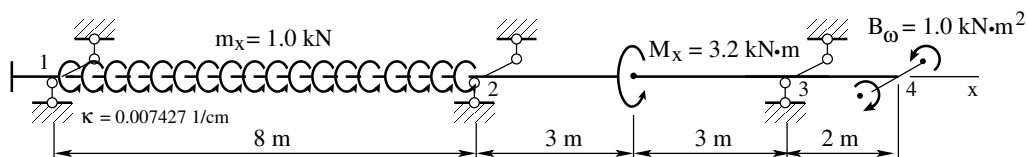
```

```

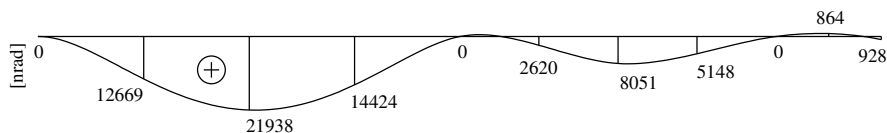
baasi0 = 1
Nmitmeks = 4
k = 0.0074270
  x=      0.00      50.00      100.00      150.00      200.00
theta -   0.000e+00  -7.605e-04  -8.646e-04  -3.266e-04   9.283e-04
  Tt -  -3.490e+04  -1.321e+04   6.632e+03   2.740e+04   5.199e+04
   B -  -8.548e+06  -7.359e+06  -7.196e+06  -8.038e+06  -1.000e+07
  Tw -   3.490e+04   1.321e+04  -6.632e+03  -2.740e+04  -5.199e+04
 Tsum -   0.000e+00   0.000e+00   0.000e+00   0.000e+00   7.276e-12

```

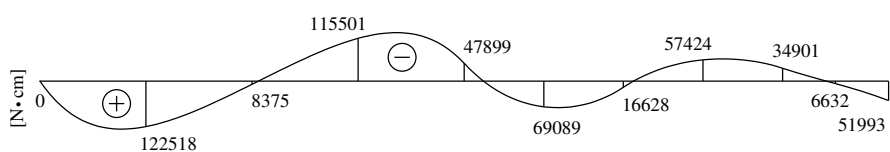
Leitud tulemuste põhjal koostame jäätvtala epüürid (jn 3.6).



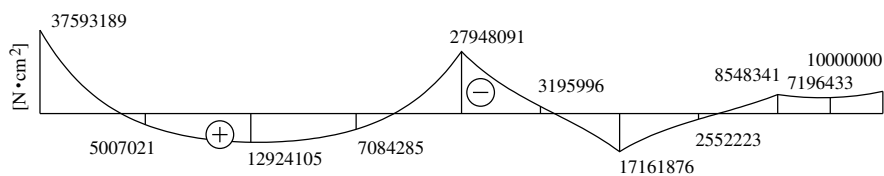
(a) Koormus $m_x = 1.0$ (kN·cm)/cm, $M_x = 3.2$ kN·cm, $B_\omega = 1.0$ kN·cm² (vt tabel 1.1)



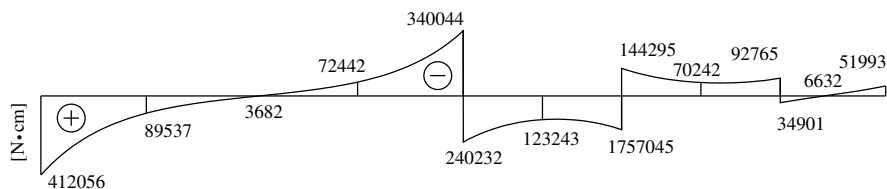
(b) Väändenurk θ



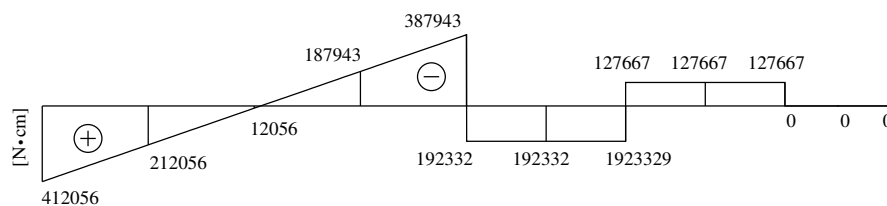
(c) Vabaväändemoment T_t



(d) Bimoment B_ω



(e) Kooldeväändemoment T_ω



(f) Koguväändemoment T_{sum}

Joonis 3.6. Jätkuvtala. Epüürid

EST-meetodiga saadud tulemused on kooskõlas raamatus [Böt62] jõu- ja deformatsioonimeetodi abil leitud (vt tabelid 3.1, 3.2 ja 3.3).

Tabel 3.1. Jätkuvtala. Tulemuste võrdlus (1)

x [cm]	Z(x)	[Böt62]	Mõõtühik	EST-meetod	Mõõtühik
0.0	θ		rad	0.000	rad
	T_t		kG·m	0.000	N·cm
	B_ω	-3.762×10^2	kG·m ²	-3.759×10^7	N·cm ²
	T_ω		kG·m	4.121×10^5	N·cm
	T_{sum}	4.120×10^2	kG·m	4.121×10^5	N·cm
200	θ		rad	1.267×10^{-2}	rad
	T_t		kG·m	1.225×10^5	N·cm
	B_ω	4.89×10^1	kG·m ²	5.007×10^6	N·cm ²
	T_ω		kG·m	8.954×10^4	N·cm
	T_{sum}		kG·m	2.121×10^5	N·cm
400	θ		rad	2.194×10^{-2}	rad
	T_t		kG·m	8.375×10^3	N·cm
	B_ω	1.292×10^2	kG·m ²	1.292×10^7	N·cm ²
	T_ω		kG·m	3.682×10^3	N·cm
	T_{sum}		kG·m	1.206×10^4	N·cm
600	θ		rad	1.442×10^{-2}	rad
	T_t		kG·m	-1.155×10^5	N·cm
	B_ω	7.000×10^1	kG·m ²	7.084×10^6	N·cm ²
	T_ω		kG·m	-7.244×10^4	N·cm
	T_{sum}		kG·m	-1.879×10^5	N·cm
800	θ		rad	-2.665×10^{-15}	rad
	T_t		kG·m	-4.790×10^4	N·cm
	B_ω	-2.794×10^2	kG·m ²	-2.795×10^7	N·cm ²
	T_ω		kG·m	-3.400×10^5	N·cm
	T_{sum}	-3.880×10^2	kG·m	-3.879×10^5	N·cm
0.0	θ		rad	0.000	rad
	T_t		kG·m	-4.790×10^4	N·cm
	B_ω	-2.794×10^2	kG·m ²	-2.795×10^7	N·cm ²
	T_ω		kG·m	2.402×10^5	N·cm
	T_{sum}	1.920×10^2	kG·m	1.923×10^5	N·cm

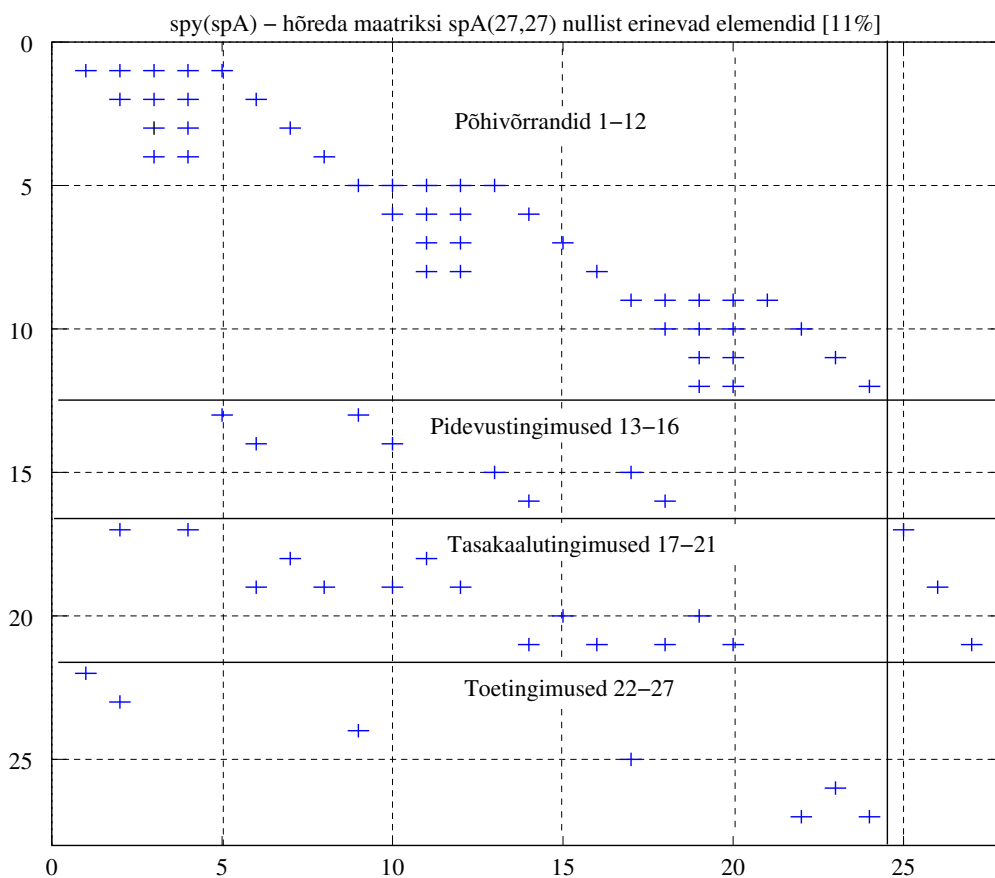
Tabel 3.2. Jätkuvtala. Tulemuste võrdlus (2)

x [cm]	Z(x)	[Böt62]	Mõõtühik	EST-meetod	Mõõtühik
150	θ		rad	2.621×10^{-3}	rad
	T_t		kG·m	6.909×10^4	N·cm
	B_ω	-3.20×10^1	kG·m ²	-3.196×10^6	N·cm ²
	T_ω		kG·m	1.232×10^5	N·cm
	T_{sum}	1.920×10^2	kG·m	1.923×10^5	N·cm
300	θ		rad	8.051×10^{-3}	rad
	T_t		kG·m	1.663×10^4	N·cm
	B_ω	1.722×10^2	kG·m ²	1.716×10^7	N·cm ²
	T_ω		kG·m	-1.443×10^5	N·cm
	T_{sum}	1.920×10^2	kG·cm	1.923×10^5	N·cm
300 - ϵ	T_{sum}	-1.280×10^2	kG·m	-1.277×10^5	N·cm
450	θ		rad	5.148×10^{-3}	rad
	T_t		kG·m	-5.742×10^4	N·cm
	B_ω	2.56×10^1	kG·m ²	2.552×10^6	N·cm ²
	T_ω		kG·m	-7.024×10^4	N·cm
	T_{sum}	-1.280×10^2	kG·m	-1.277×10^5	N·cm
600	θ		rad	-1.665×10^{-16}	rad
	T_t		kG·m	-3.490×10^4	N·cm
	B_ω	-8.54×10^1	kG·m ²	-8.548×10^6	N·cm ²
	T_ω		kG·m	-9.277×10^4	N·cm
	T_{sum}	-1.280×10^2	kG·m	-1.277×10^5	N·cm
0.0	θ		rad	0.000	rad
	T_t		kG·m	-3.490×10^4	N·cm
	B_ω	-8.54×10^1	kG·m ²	-8.548×10^6	N·cm ²
	T_ω		kG·m	3.490×10^4	N·cm
	T_{sum}	0.00	kG·m	0.000	N·cm
100	θ		rad	-8.646×10^{-4}	rad
	T_t		kG·m	6.632×10^3	N·cm
	B_ω	-7.17×10^1	kG·m ²	-7.196×10^6	N·cm ²
	T_ω		kG·m	-6.632×10^3	N·cm
	T_{sum}	0.00	kG·m	0.000	N·cm

Tabel 3.3. Jätukvtala. Tulemuste võrdlus (3)

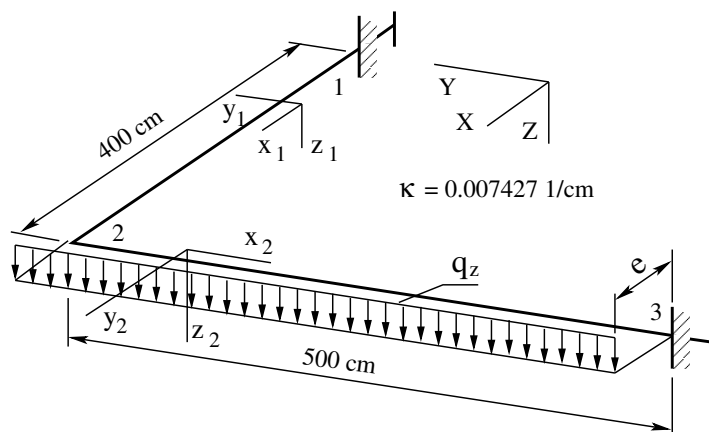
x [cm]	Z(x)	[Böt62]	Mõõtühik	EST-meetod	Mõõtühik
100	θ		rad	-8.646×10^{-4}	rad
	T_t		kG·m	6.632×10^3	N·cm
	B_ω	-7.17×10^1	kG·m ²	-7.196×10^6	N·cm ²
	T_ω		kG·m	-6.632×10^3	N·cm
	T_{sum}	0.00	kG·m	0.000	N·cm
200	θ		rad	9.283×10^{-4}	rad
	T_t		kG·m	5.199×10^4	N·cm
	B_ω	-1.000×10^2	kG·m ²	-1.000×10^7	N·cm ²
	T_ω		kG·m	-5.199×10^4	N·cm
	T_{sum}	0.00	kG·m	7.276×10^{-12}	N·cm

Joonisel 3.7 on hõreda maatriksi muster (hõreda maatriksi $spA(27,27)$ nullist erinevate elementide asukohad).

Joonis 3.7. Jätukvtala hõreda maatriksi spA muster

3.1.2 Murtud teljega L-tala arvutus

Näide 3.2 (L-tala arvutus ülekandevõrranditega). Koostada joonisel 3.8 kujutatud murtud teljega tala vertikaalse siirde w , paindenurga φ_y , põikjõu Q_z , paindemomendi M_y , väändenurga θ_x , vabaväändemomendi T_t , bimomendi B_ω ja kooldeväändemomendi T_ω epiüürid.



Joonis 3.8. L-tala paine ja vääne

Andmed. Murtud teljega tala elementide pikkused $l_1 = 4$ m ja $l_2 = 5$ m. Teine ava on ekstsentriliselt koormatud ühtlase lauskoormusega $q_z = 1.0$ kN/m. Vertikaalse lauskoormuse q_z ekstsentrilisus $e = 1.0$ cm. Ristlõikeks on valitud I-profil nr 60a [Böt62, lk 435]. Ristlõike paindejäikus ($EI = 1.7611 \times 10^5$ kN·m²), kooldejäikus ($EI_\omega = 2.8348 \times 10^5$ kN·m⁴), vabaväändejäikus ($GI_t = 1.5640 \times 10^5$ kN·m²) ning kooldekarakteristik ($\kappa = \sqrt{GI_t/EI_\omega} = \sqrt{1.5640 \times 10^9 / 2.8348 \times 10^{13}} = 0.0074278$ cm⁻¹) on konstantsed.

Lahendus. Kanname ühtlaselt jaotatud põikkoormuse q_z elastsele teljele (jn 1.21 ja tabel 1.1). Vaatleme kahte koormusjuhtu (jn 3.9), kus elastsel teljel on ühtlaselt jaotatud väändemoment $m_x = 10$ (N·cm)/cm ja ühtlaselt jaotatud põikkoormus $q_z = 10$ N/cm.

Rajaväärtuste arvutamiseks kasutame nagu EST-meetodi [Lah97a], [Lah14] puhulgi hõredat võrrandisüsteemi¹³

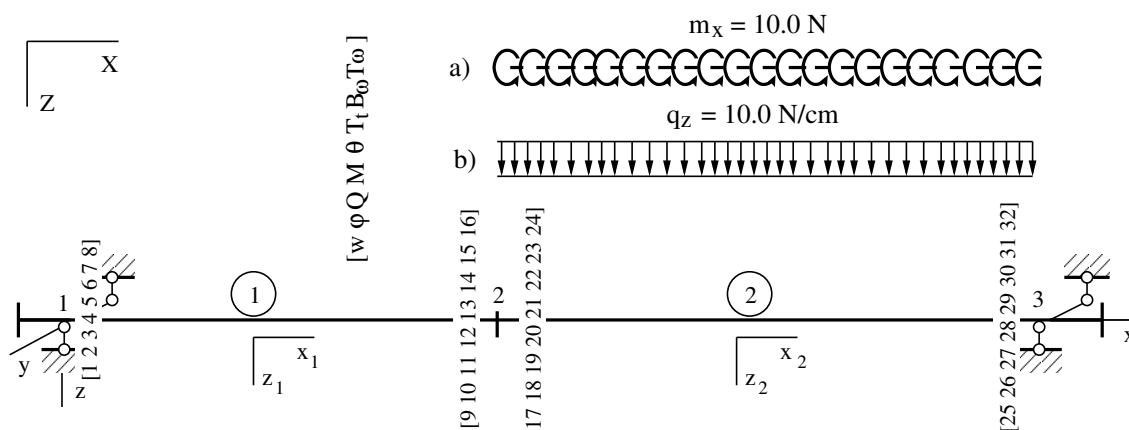
$$\text{spA} \cdot \mathbf{Z} = \mathbf{B} \quad (3.16)$$

kus \mathbf{Z} on võrrandisüsteemi tundmatute vektor

$$\mathbf{Z} = \begin{bmatrix} \mathbf{Z}_a^{(1)} \\ \mathbf{Z}_b^{(1)} \\ \mathbf{Z}_a^{(2)} \\ \mathbf{Z}_b^{(2)} \end{bmatrix} \quad (3.17)$$

mille elementideks on siirded, paindenurgad, põikjõud, paindemomendid, väändenurgad ja väändemomendid varraste 1 ja 2 alguses ning lõpus:

¹³ http://digi.lib.ttu.ee/opik_eme/Ehitusmehaanika.pdf#equation.14.22



Joonis 3.9. L-tala paine ja vääne. Muutujad

$$\mathbf{Z}_a^{(1)} = \begin{bmatrix} w_A \\ \varphi_A \\ Q_A \\ M_A \\ \theta_A \\ T_{tA} \\ B_{\omega A} \\ T_{\omega A} \end{bmatrix} = \begin{bmatrix} Z(1,1) \\ Z(2,1) \\ Z(3,1) \\ Z(4,1) \\ Z(5,1) \\ Z(6,1) \\ Z(7,1) \\ Z(8,1) \end{bmatrix}, \quad \mathbf{Z}_b^{(1)} = \begin{bmatrix} w_L \\ \varphi_L \\ Q_L \\ M_L \\ \theta_L \\ T_{tL} \\ B_{\omega L} \\ T_{\omega L} \end{bmatrix} = \begin{bmatrix} Z(9,1) \\ Z(10,1) \\ Z(11,1) \\ Z(12,1) \\ Z(13,1) \\ Z(14,1) \\ Z(15,1) \\ Z(16,1) \end{bmatrix} \quad (3.18)$$

$$\mathbf{Z}_a^{(2)} = \begin{bmatrix} w_A \\ \varphi_A \\ Q_A \\ M_A \\ \theta_A \\ T_{tA} \\ B_{\omega A} \\ T_{\omega A} \end{bmatrix} = \begin{bmatrix} Z(17,1) \\ Z(18,1) \\ Z(19,1) \\ Z(20,1) \\ Z(21,1) \\ Z(22,1) \\ Z(23,1) \\ Z(24,1) \end{bmatrix}, \quad \mathbf{Z}_b^{(2)} = \begin{bmatrix} w_L \\ \varphi_L \\ Q_L \\ M_L \\ \theta_L \\ T_{tL} \\ B_{\omega L} \\ T_{\omega L} \end{bmatrix} = \begin{bmatrix} Z(25,1) \\ Z(26,1) \\ Z(27,1) \\ Z(28,1) \\ Z(29,1) \\ Z(30,1) \\ Z(31,1) \\ Z(32,1) \end{bmatrix} \quad (3.19)$$

Muutuja $Z(i, 1)$ indeks ($i=1, 2, 3, \dots, 32$) on toodud joonisel 3.9.

Põhivõrrandites¹⁴ (2.84)

$$\widehat{\mathbf{U}}_{8 \times 16} \cdot \widehat{\mathbf{Z}} = -\dot{\mathbf{Z}} \quad (3.20)$$

sisalduva laiendatud ülekan demaatriksi $\widehat{\mathbf{U}}_{8 \times 16} \equiv (\mathbf{U}_{8 \times 8} \mid -\mathbf{I}_{8 \times 8})$ (C.13) arvutamiseks saab kasutada GNU Octave'i funktsioone *yspTVmI.m* ja *yspTVlin.m*.

Võrrandisüsteemis (3.20) on tundmatuid poole rohkem kui võrrandeid. Kanname need võrrandid võrrandisüsteemi (3.16) (vt väljavõtte programmist 3.4).

¹⁴ http://digi.lib.ttu.ee/opik_eme/Ehitusmehaanika.pdf#figure.14.9

Väljavõte programmist 3.4 (Naide4_5Gamma.m)

```

# Esimese tala hõreda laiendatud ülekan demaatriksi arvutus
spvF=y spTVmI (baasi0, l1, l1, GAr, EI, GI t, EIw) ;
IIv=1;
IJv=1;

# sisestab ülekan demaatriksi võrrandisüsteemi spA*Z=Bvb
spA=spInsertBtoA (spA, IIv, IJv, spvF) ;
# võrrandisüsteemi vabaliige Bvb on eelnevalt nullitud
# Teise tala hõreda laiendatud ülekan demaatriksi arvutus
spvF=y spTVmI (baasi0, l2, l2, GAr, EI, GI t, EIw) ;
#vB2a=yzTVqz (baasi0, l2, 0.0, qz, EI) # koormusvektori arvutus
vB2b=yzTVmx (baasi0, l2, l2, 0.0, mx, GI t, EIw) # koormusvektori arvutus
#vB2=vB2a+vB2b
vB2=vB2b
krda=2;
IIv=krda*8-7;
IJv=krda*16-15;

# sisestab ülekan demaatriksi võrrandisüsteemi spA*Z=Bvb
spA=spInsertBtoA (spA, IIv, IJv, spvF) ;
# sisestab koormusvektori võrrandisüsteemi vabaliikmesse Bvb
Bvb=InsertBtoA (Bvb, NNK, 1, IIv, 1, vB2, 8, 1) ;

```

Võrrandisüsteemis (3.16) peab olema võrrandeid ja tundmatuid ühepalju. Võrrandite arv peab ühtima maatriksi spA astakuga. Puuduvad sõltumatud võrrandid saame kinemaatilistest ja staatilistest rajatingimustest. Varrassüsteemi elemente ühendavad sidemed võib jagada välis- ja sisesidemeteks [Jür85, lk 8–9].¹⁵ Reaktsioonid jagatakse välisteks ja sisemisteks.¹⁶ Sisemiste reaktsioonide summa võrdub nulliga. Vaadeldes varrasüsteemi kui tervikut, võime sisemisi reaktsioone nimetada ka kontaktjõududeks.¹⁷

Sisemised kinemaatilised ja staatilised rajatingimused:¹⁸

- pidevustingimused (kinemaatilised rajatingimused) ühendussõlmedes;
- ühendussõlmede tasakaalutingimused (staatilised rajatingimused);
- kõrvaltingimused liigendite jaoks (liigendid varraste otstes).

Järgnevalt

- püstitame rajatingimused;
- arvutame algparameetrid;
- arvutame väändenurgad ja väändemomendid;
- koostame sisejõudude epüürid.

Rajatingimuste püstitus. Väliste rajatingimuste seadmisel tuleb arvestada energiateoreemi¹⁹ (B.8). Kui avaldistes $w \Leftrightarrow Q_z$, $\varphi \Leftrightarrow M_y$, $\theta \Leftrightarrow T_{sum}$, $\theta' \Leftrightarrow B_\omega$ üks

¹⁵ <http://digi.lib.ttu.ee/i/?472>

¹⁶ http://www.ce.memphis.edu/3121/notes/notes_04d.pdf (20.08.2013)

¹⁷ https://en.wikipedia.org/wiki/Contact_force (20.08.2013)

¹⁸ <http://digi.lib.ttu.ee/estmethod/ESTmethod.pdf#figure.1.13>

¹⁹ http://digi.lib.ttu.ee/opik_eme/Ehitusmehaanika.pdf#equation.F.26

pool (siire w , paindenurk φ , pöördnurk θ , suhteline väändenurk θ') on antud, siis teine pool (põikjõud Q_z , paindemoment M_y , koguväändemoment T_{sum} , bimoment B_ω) on tundmatu.

Talal on sõlmedes 1 ja 3 jäigad toed, mis ei võimalda pööret ega kooldumist (vt tabel 1.2).

$$\begin{aligned} Z(1,1) &= w_A^{(1)} = 0 & Z(25,1) &= w_L^{(2)} = 0 \\ Z(2,1) &= \varphi_A^{(1)} = 0 & Z(26,1) &= \varphi_L^{(2)} = 0 \\ Z(5,1) &= \theta_A^{(1)} = 0 & Z(29,1) &= \theta_L^{(2)} = 0 \\ Z(6,1) &= T_{tA}^{(1)} \equiv \theta_A^{\prime(1)} = 0 & Z(30,1) &= T_{tL}^{(2)} \equiv \theta_L^{\prime(2)} = 0 \end{aligned} \quad (3.21)$$

Sisemistest rajatingimustest vaatleme sõlmes 2 pidevustingimusi. Varraste 1 ja 2 siirded ja kooldumus²⁰ on võrdsed.

$$\begin{aligned} Z(9,1) - Z(17,1) &= w_L^{(1)} - w_A^{(2)} = 0 \\ Z(14,1) + Z(22,1) &= T_{tL}^{(1)} + T_{tA}^{(2)} \equiv \theta_L^{\prime(1)} - \theta_A^{\prime(2)} = 0 \end{aligned} \quad (3.22)$$

Painde- ja väändenurkade (φ_y , θ_x) puhul peame arvestama, et varda x -telg on murtud (telgede pööre nurga $-\pi/2$ võrra ümber z -telje, vt avaldis (D.17)).

$$\begin{aligned} Z(21,1) + Z(10,1) &= \theta_A^{(2)} + \varphi_L^{(1)} = 0 \\ Z(18,1) - Z(13,1) &= \varphi_A^{(2)} - \theta_L^{(1)} = 0 \end{aligned} \quad (3.23)$$

Sisemistest rajatingimustest vaatleme ka sõlme 2 tasakaalutingimusi. Painde- ja väändemomentide (M_y ja $T_{sum,x}$) puhul peame arvestama, et varda x -telg on murtud (telgede pööre nurga $-\pi/2$ võrra ümber z -telje vt avaldis (D.17)).

$$\begin{aligned} Z(19,1) + Z(11,1) &= Q_{zA}^{(2)} + Q_{zL}^{(1)} = 0 \\ Z(22,1) + Z(24,1) - Z(12,1) &= T_{tA}^{(2)} + T_{\omega A}^{(2)} - M_{yL}^{(1)} = 0 \\ Z(20,1) + Z(14,1) + Z(16,1) &= M_{yA}^{(2)} + T_{tL}^{(1)} + T_{\omega L}^{(1)} = 0 \\ Z(33,1) + Z(15,1) &= B_{\omega A}^{(2)} + B_{\omega L}^{(1)} = 0 \end{aligned} \quad (3.24)$$

Koostatud on 16 rajatingimuse võrrandit. Sisestame need võrrandisüsteemi (3.16) (vt väljavõte programmist 3.5). Võrrandisüsteemi astak võrdub tundmatute arvuga. Järelikult on sisestatud võrrandid lineaarselt sõltumatud.

Väljavõte programmist 3.5 (Naide4_5Gamma.m)

```
##### Rajatingimused
# sõlm 1
spA=spSisestaArv(spA,17,1,1); # siire w
spA=spSisestaArv(spA,18,2,1); # pööre fi
spA=spSisestaArv(spA,19,5,1); # $theta$ - väändenurk
spA=spSisestaArv(spA,20,6,1); # $T_{t}$ ($theta^{\prime}$)
# sõlm 2
# pidevus
spA=spSisestaArv(spA,21,9,1); # siire w
spA=spSisestaArv(spA,21,17,-1);
```

²⁰ Kooldumisel vabaväändemomenti kasutades järgitakse II märgikokkulepet.

```

spA=spSisestaArv(spA, 22, 10, 1); # pööre fi
spA=spSisestaArv(spA, 22, 21, 1);
spA=spSisestaArv(spA, 23, 13, 1); # väändenurk
spA=spSisestaArv(spA, 23, 18, -1);
spA=spSisestaArv(spA, 24, 14, 1);
spA=spSisestaArv(spA, 24, 22, 1);
# tasakaal
spA=spSisestaArv(spA, 25, 11, 1); # Q
spA=spSisestaArv(spA, 25, 19, 1);
spA=spSisestaArv(spA, 26, 12, -1); # M
spA=spSisestaArv(spA, 26, 22, 1); # $T_t$
spA=spSisestaArv(spA, 26, 24, 1); # $T_{\omega}$
spA=spSisestaArv(spA, 27, 20, 1); # M
spA=spSisestaArv(spA, 27, 14, 1); # $T_t$
spA=spSisestaArv(spA, 27, 16, 1); # $T_{\omega}$
spA=spSisestaArv(spA, 28, 15, 1); # B
spA=spSisestaArv(spA, 28, 23, 1);
# sõlm 3
spA=spSisestaArv(spA, 29, 25, 1); # siire w
spA=spSisestaArv(spA, 30, 26, -1); # pööre fi
spA=spSisestaArv(spA, 31, 29, 1); # $theta$ - väändenurk
spA=spSisestaArv(spA, 32, 30, 1); # $T_t$ ($theta^{\prime}$)
#
spA_rank = sprank(spA) # võrrandisüsteemi astak

```

Sisestatud võrrandite arvu ja astakut saab kontrollida arvutuspäeviku väljavõttest 3.4.

Väljavõte arvutuspäevikust 3.4 (Naide4_5Gamma.m)

```

Pärast põhivõrrandite sisestamist on võrrandisüsteemis
spA_rida = 16
spA_veergu = 32
Pärast toel 1 toetingimuste lisamist on võrrandisüsteemis
spA_rida = 20
spA_veergu = 32
Pärast pidevusvõrrandite lisamist on võrrandisüsteemis
spA_rida = 24
spA_veergu = 32
Pärast tasakaaluvõrrandite lisamist on võrrandisüsteemis
spA_rida = 28
spA_veergu = 32
Pärast toel 3 toetingimuste lisamist on võrrandisüsteemis
spA_rida = 32
spA_veergu = 32

spA_rank = 32

```

***Algpameetrite arvutus.** Rajaväärtuste leidmisel korrutasime siirded, paindenurgad ja väändenurgad skaleerimisteguriga: $baasi0 = 1.0 \times 10^{10}$. Skaleerimata algpameetrite saamiseks tuleb vastavad suurused jagada skaleerimisteguriga. Talade 1 ja 2 skaleerimata algpameetrid on toodud arvutuspäeviku väljavõttes 3.5.*

Väljavõtte arvutuspäevikust 3.5 (Naide4_5Gamma.m)

Algparameetrid	AP1	ja	AP2
w	0.0000e+00		7.6081e-05
fi	0.0000e+00		2.4997e-07
Q	2.2973e+00		2.2973e+00
M	1.3685e+03		3.0610e+02
theta	0.0000e+00		4.1519e-07
Tt	0.0000e+00		-3.9865e+02
B	-3.1677e+04		9.1154e+04
Tw	3.0610e+02		-1.8888e+03

3. Siirete, nurkade ja momentide arvutus. Siirete, painde- ja vändenurkade, põikjõudude, painde- ja vändemomentide leidmiseks tala ristlõigetes kasutame ülekandevõrrandit (C.1)

$$\mathbf{Z}_L(\mathbf{x}) = \mathbf{U} \cdot \mathbf{Z}_A + \mathring{\mathbf{Z}} \quad (3.25)$$

kus \mathbf{Z}_A on tala algparameetrid (vt arvutuspäeviku väljavõtte 3.5). Ülekandemaatriksi \mathbf{U} leiame GNU Octave'i funktsiooniga *ylTVlin.m* ning koormusvektori $\mathring{\mathbf{Z}}$ funktsioonidega *yzTVmx.m* ja *yzTVqz.m* (vt väljavõtte programmist 3.6).

Väljavõtte programmist 3.6 (Naide4_5Gamma.m)

```
AP=AP1;
for ij=1:Nmitmeks+1 # 5 - displacements and forces at x=0.0
Xloikes(ij,1)=xx;
vvF=ylTVlin(baasi0,l1,xx,GAr,EI,GIt,EIw);
Fvv(1:8,ij)=vvF*AP; %%+vvB1;
Fvv(9,ij)=Fvv(6,ij)+Fvv(8,ij);
xx=xx+xsamm;
endfor
AP=AP2;
for ij=1:Nmitmeks+1 # 5 - displacements and forces at x=0.0
Xloikes(ij,1)=xx;
vvF=ylTVlin(baasi0,l2,xx,GAr,EI,GIt,EIw);
vB2b=yzTVmx(baasi0,l2,xx,0.0,mx,GIt,EIw);
vB2=vB2b;
Fvv(1:8,ij)=vvF*AP+vB2;
Fvv(9,ij)=Fvv(6,ij)+Fvv(8,ij);
xx=xx+xsamm;
endfor
```

Arvutustulemused on esitatud arvutuspäeviku väljavõttes 3.6.

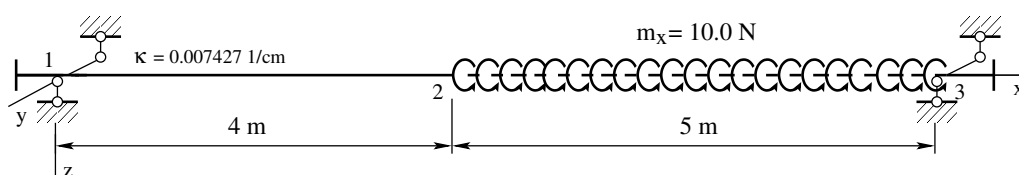
Väljavõtte arvutuspäevikust 3.6 (Naide4_5Gamma.m)

```
baasi0 = 1
Nmitmeks = 4
k = 0.0074270
```

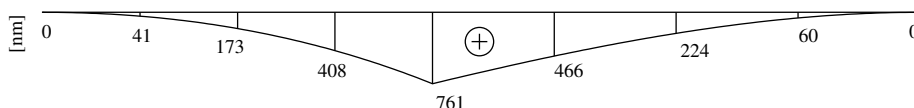
x=	0.00	100.00	200.00	300.00	400.00
w	0.000e+00	4.103e-06	1.728e-05	4.084e-05	7.608e-05
fi	0.000e+00	-8.423e-08	-1.815e-07	-2.918e-07	-4.152e-07
Q	-2.297e+00	-2.297e+00	-2.297e+00	-2.297e+00	-2.297e+00
M	-1.368e+03	-1.598e+03	-1.828e+03	-2.058e+03	-2.287e+03

theta -	0.000e+00	-3.999e-06	-1.070e-05	-1.267e-05	2.500e-07
Tt -	0.000e+00	-1.029e+02	-8.839e+01	5.180e+01	3.987e+02
B -	3.168e+04	7.320e+03	-1.281e+04	-4.034e+04	-9.115e+04
Tw -	-3.061e+02	-2.032e+02	-2.177e+02	-3.579e+02	-7.048e+02
Tsum -	-3.061e+02	-3.061e+02	-3.061e+02	-3.061e+02	-3.061e+02
baasi0 =	1				
Nmitmeks =	4				
k =	0.0074270				
x =	0.00	125.00	250.00	375.00	500.00
w -	7.608e-05	4.662e-05	2.242e-05	6.029e-06	1.355e-20
fi -	2.500e-07	2.181e-07	1.658e-07	9.307e-08	-6.617e-23
Q -	-2.297e+00	-2.297e+00	-2.297e+00	-2.297e+00	-2.297e+00
M -	-3.061e+02	-5.933e+02	-8.804e+02	-1.168e+03	-1.455e+03
theta -	4.152e-07	4.031e-05	5.547e-05	2.942e-05	2.168e-19
Tt -	3.987e+02	4.348e+02	-8.698e+01	-4.925e+02	0.000e+00
B -	-9.115e+04	5.426e+04	8.211e+04	1.816e+04	-1.968e+05
Tw -	1.889e+03	6.027e+02	-1.256e+02	-9.701e+02	-2.713e+03
Tsum -	2.287e+03	1.037e+03	-2.126e+02	-1.463e+03	-2.713e+03

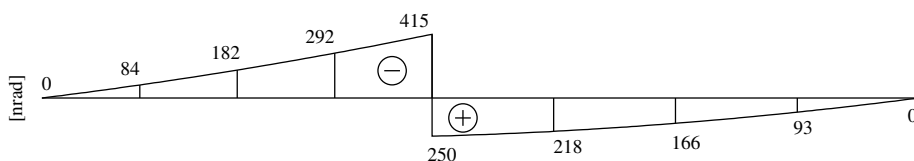
Leitud tulemuste põhjal koostame L-tala epüürid koormusest m_x (jn 3.10, b–j).



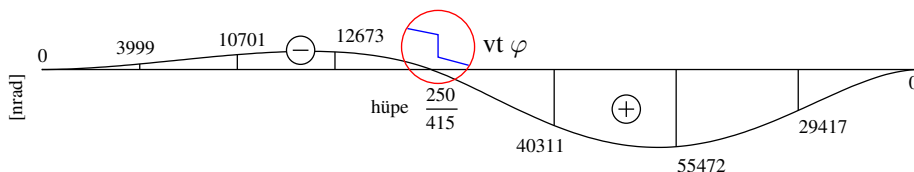
(a) Koormus $m_x = 10.0 \text{ (N}\cdot\text{cm)}/\text{cm}$ (vt tabel 1.1)



(b) Siire w

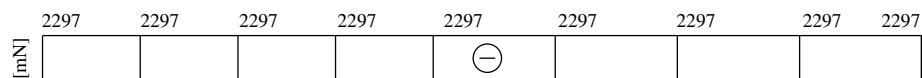
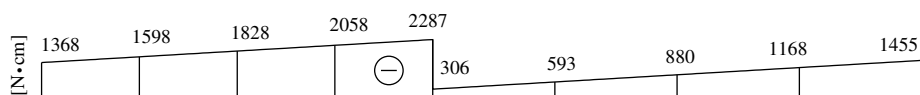
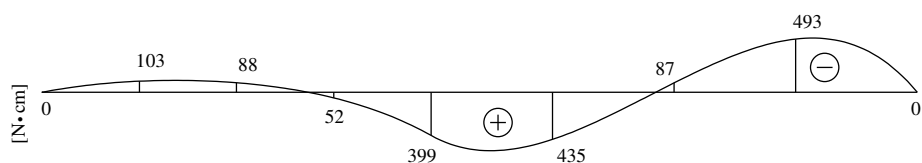
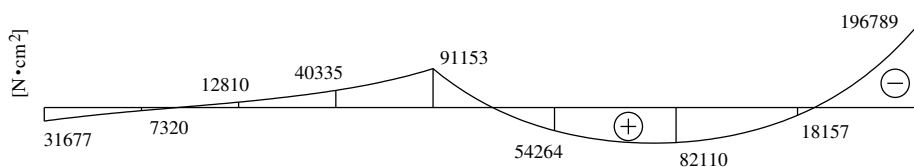
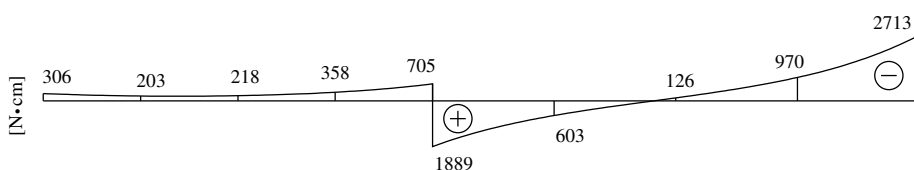
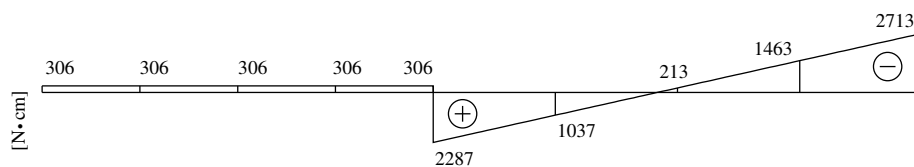


(c) Paindenurk φ



(d) Väändenurk θ

Joonis 3.10. L-tala koormusega m_x . Epüürid b–d

(e) Põikjõud Q_z (f) Paindemoment M_y (g) Vabaväändemoment T_t (h) Bimoment B_ω (i) Kooldeväändemoment T_ω (j) Koguväändemoment T_{sum} Joonis 3.10. L-tala koormusega m_x . Epüürid e–j

EST-meetodiga saadud tulemused on kooskõlas raamatus [Böt62] jõu- ja deformatsioonimeetodi abil leitud (vt tabelid 3.4 ja 3.5).

Tabel 3.4. L-tala koormusega m_x . Tulemuste võrdlus (1)

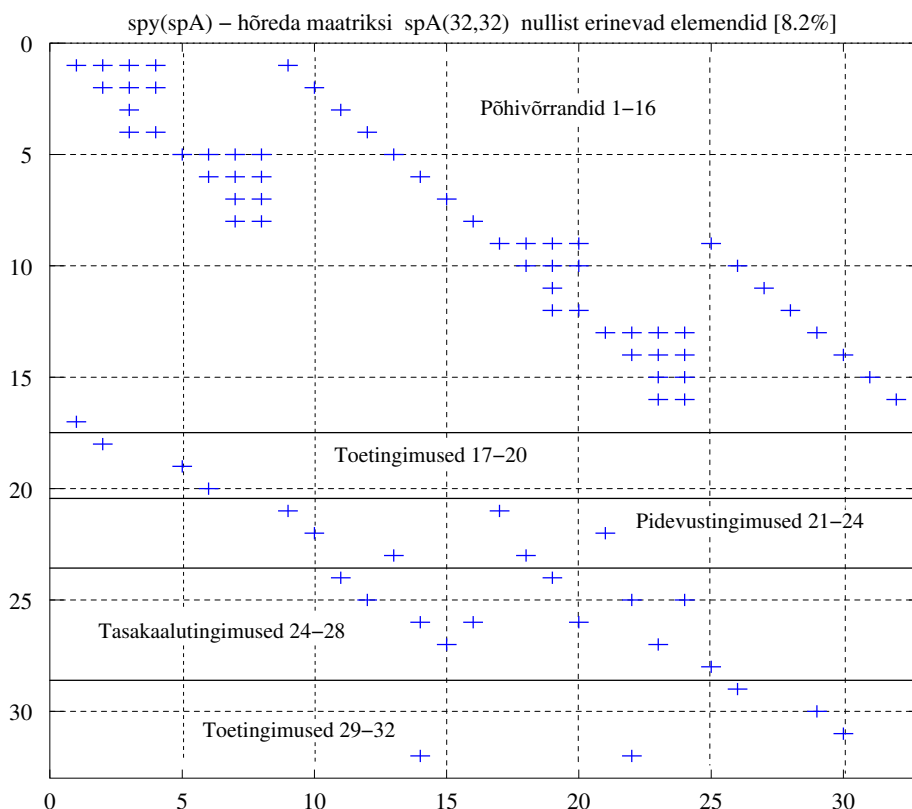
x [cm]	Z(x)	Jõumeetod [Böt62]	Def-meetod [Böt62]	Mõõtühik	EST-meetod	Mõõtühik
0.0	w			cm	0.000	cm
	φ			rad	0.000	rad
	Q_z			kG	-2.297	N
	M_y	-1.38×10^2	-1.34×10^2	kG·m	-1.368×10^3	N·cm
	θ			rad	0.000	rad
	T_t			kG·m	0.000	N·cm
	B_ω	3.22×10^3	3.21×10^3	kG·m ²	3.168×10^4	N·cm ²
	T_ω			kG·m	-3.061×10^2	N·cm
	T_{sum}			kG·m	-3.061×10^2	N·cm
	200	w			cm	1.728×10^{-5}
φ				rad	-1.815×10^{-7}	rad
Q_z				kG	-2.297	N
M_y				kG·m	-1.828×10^3	N·cm
θ				rad	-1.070×10^{-5}	rad
T_t				kG·m	-8.839×10^1	N·cm
B_ω				kG·m ²	-1.281×10^4	N·cm ²
T_ω				kG·m	-1.281×10^4	N·cm
T_{sum}				kG·m	-3.061×10^2	N·cm
400 - ϵ		w			cm	7.608×10^{-5}
	φ			rad	-4.152×10^{-7}	rad
	Q_z			kG	-2.297	N
	M_y	-2.30×10^2	2.28×10^2 ²¹	kG·m	-2.287×10^3	N·cm
	θ			rad	2.500×10^{-7}	rad
	T_t			kG·m	3.987×10^2	N·cm
	B_ω	-9.20×10^3	9.18×10^3	kG·m ²	-9.115×10^4	N·cm ²
	T_ω			kG·m	-7.048×10^2	N·cm
	T_{sum}			kG·m	-3.061×10^2	N·cm

²¹ Deformatsioonimeetodit kasutades on siin positiivsel momendil päripäevane suund.

Tabel 3.5. L-tala koormusega m_x . Tulemuste võrdlus (2)

x [cm]	Z(x)	Jõumeetod [Böt62]	Def-meetod [Böt62]	Mõõtühik	EST-meetod	Mõõtühik
400 + ϵ	w			cm	7.608×10^{-5}	cm
	φ			rad	2.500×10^{-7}	rad
	Q_z			kG	-2.297	N
	M_y	-3.11×10^1	-2.92×10^1	kG·m	-3.061×10^2	N·cm
	θ			rad	4.152×10^{-7}	rad
	T_t			kG·m	3.987×10^2	N·cm
	B_ω	-9.20×10^3	-9.13×10^3	kG·m ²	-9.115×10^4	N·cm ²
	T_ω			kG·m	1.889×10^3	N·cm
	T_{sum}			kG·m	2.287×10^3	N·cm
650	w			cm	2.242×10^{-5}	cm
	φ			rad	1.658×10^{-7}	rad
	Q_z			kG	-2.297	N
	M_y			kG·m	-8.804×10^2	N·cm
	θ			rad	5.547×10^{-5}	rad
	T_t			kG·m	-8.698×10^1	N·cm
	B_ω			kG·m ²	8.211×10^4	N·cm ²
	T_ω			kG·m	-1.256×10^2	N·cm
	T_{sum}			kG·m	-2.126×10^2	N·cm
900	w			cm	1.355×10^{-20}	cm
	φ			rad	-6.617×10^{-23}	rad
	Q_z			kG	-2.297	N
	M_y	-1.47×10^2	1.44×10^2	kG·m	-1.455×10^3	N·cm
	θ			rad	2.168×10^{-19}	rad
	T_t			kG·m	0.000	N·cm
	B_ω	-1.97×10^4	1.97×10^4	kG·m ²	-1.968×10^5	N·cm ²
	T_ω			kG·m	-2.713×10^3	N·cm
	T_{sum}			kG·m	-2.713×10^3	N·cm

Joonisel 3.11 on hõreda maatriksi muster (hõreda maatriksi $spA(32,32)$ nullist erinevate elementide asukohad).



Joonis 3.11. L-tala hõreda maatriksi spA muster

Edasi arvutame GNU Octave'i programmiga *Naide4_5GammaTV.m* sedasama murtud teljega tala, kui tala teine ava on koormatud ühtlase lauskoormusega $q_z = 10 \text{ N/cm}$. Programm erineb eelnevast ainult koormusvektori poolest (vt väljavõte programmist 3.7).

Väljavõte programmist 3.7 (*Naide4_5GammaTV.m*)

```
# Esimese tala hõreda laiendatud ülekandemaatriksi arvutus
spvF=yspTVmI(baasi0,11,11,GA_r,EI,GIt,EIw);
IIv=1;
IJv=1;

# sisestab ülekandemaatriksi võrrandisüsteemi spA*Z=Bvb
spA=spInsertBtoA(spA,IIv,IJv,spvF);
# võrrandisüsteemi vabaliige Bvb on eelnevalt nullitud
# Teise tala hõreda laiendatud ülekandemaatriksi arvutus
spvF=yspTVmI(baasi0,12,12,GA_r,EI,GIt,EIw);
vB2a=yzTVqz(baasi0,12,0.0,qz,EI) # koormusvektori arvutus
#vB2b=yzTVmx(baasi0,12,12,0.0,mx,GIt,EIw) # koormusvektori arvutus
#vB2=vB2a+vB2b
vB2=vB2a
IIv=krda*8-7;
IJv=krda*16-15;

# sisestab ülekandemaatriksi võrrandisüsteemi spA*Z=Bvb
spA=spInsertBtoA(spA,IIv,IJv,spvF);
# sisestab koormusvektori võrrandisüsteemi vabaliikmesse Bvb
Bvb=InsertBtoA(Bvb,NNK,1,IIv,1,vB2,8,1);
```


Sisestatud võrrandite arvu ja astakut saab kontrollida arvutuspäeviku väljavõttest 3.7.

Väljavõte arvutuspäevikust 3.7 (Naide4_5GammaTV.m)

```
Pärast põhivõrrandite sisestamist on võrrandisüsteemis
spA_rida = 16
spA_veergu = 32
Pärast toel 1 toetingimuste lisamist on võrrandisüsteemis
spA_rida = 20
spA_veergu = 32
Pärast pidevusvõrrandite lisamist on võrrandisüsteemis
spA_rida = 24
spA_veergu = 32
Pärast tasakaaluvõrrandite lisamist on võrrandisüsteemis
spA_rida = 28
spA_veergu = 32
Pärast toel 3 toetingimuste lisamist on võrrandisüsteemis
spA_rida = 32
spA_veergu = 32

spA_rank = 32
```

Talade 1 ja 2 skaleerimata algparameetrid on toodud arvutuspäeviku väljavõttes 3.8.

Väljavõte arvutuspäevikust 3.8 (Naide4_5GammaTV.m)

Algparameetrid - AP1	ja	AP2
w -	0.0000e+00	1.5004e-02
fi -	0.0000e+00	3.0202e-05
Q -	-1.2399e+03	-1.2399e+03
M -	4.9561e+05	-3.1834e+02
theta -	0.0000e+00	5.6245e-05
Tt -	0.0000e+00	2.2587e+01
B -	3.8369e+04	-4.1739e+04
Tw -	-3.1834e+02	3.2666e+02

Arvutustulemused on esitatud arvutuspäeviku väljavõttes 3.9.

Väljavõte arvutuspäevikust 3.9 (Naide4_5GammaTV.m)

```
baasi0 = 1
Nmitmeks = 4
k = 0.0074270
```

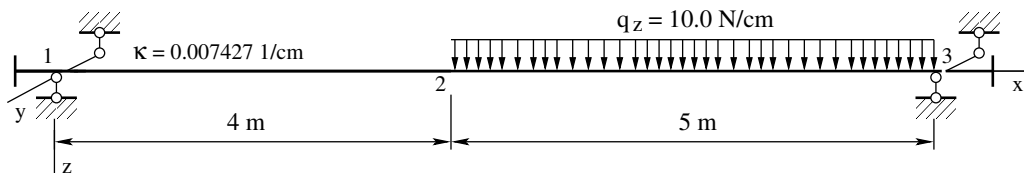
x=	0.00	100.00	200.00	300.00	400.00
w -	0.000e+00	1.290e-03	4.690e-03	9.496e-03	1.500e-02
fi -	0.000e+00	-2.462e-05	-4.220e-05	-5.274e-05	-5.625e-05
Q -	1.240e+03	1.240e+03	1.240e+03	1.240e+03	1.240e+03
M -	-4.956e+05	-3.716e+05	-2.476e+05	-1.236e+05	3.492e+02
theta -	0.000e+00	5.161e-06	1.571e-05	2.600e-05	3.020e-05
Tt -	0.000e+00	1.397e+02	1.764e+02	1.310e+02	-2.259e+01
B -	-3.837e+04	-1.461e+04	7.258e+02	1.648e+04	4.174e+04
Tw -	3.183e+02	1.786e+02	1.420e+02	1.874e+02	3.409e+02
Tsum -	3.183e+02	3.183e+02	3.183e+02	3.183e+02	3.183e+02

```

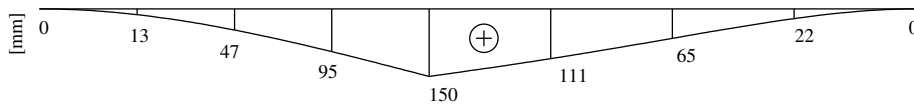
baasi0 = 1
Nmitmeks = 4
k = 0.0074270
    
```

x=	0.00	125.00	250.00	375.00	500.00
w -	1.500e-02	1.106e-02	6.539e-03	2.156e-03	1.735e-18
fi -	3.020e-05	3.388e-05	3.746e-05	2.987e-05	-1.355e-20
Q -	1.240e+03	-1.011e+01	-1.260e+03	-2.510e+03	-3.760e+03
M -	3.183e+02	7.718e+04	-2.209e+03	-2.378e+05	-6.297e+05
theta -	5.625e-05	4.600e-05	2.741e-05	9.112e-06	1.084e-19
Tt -	-2.259e+01	-2.024e+02	-2.462e+02	-1.946e+02	9.095e-13
B -	4.174e+04	1.410e+04	-4.868e+02	-1.552e+04	-4.493e+04
Tw -	-3.267e+02	-1.469e+02	-1.030e+02	-1.546e+02	-3.492e+02
Tsum -	-3.492e+02	-3.492e+02	-3.492e+02	-3.492e+02	-3.492e+02

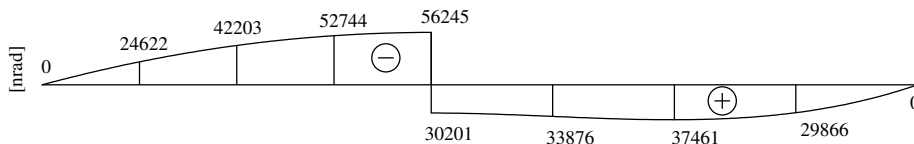
Leitud tulemuste põhjal koostame L-tala epüürid koormusest q_z (jn 3.12, b–j).



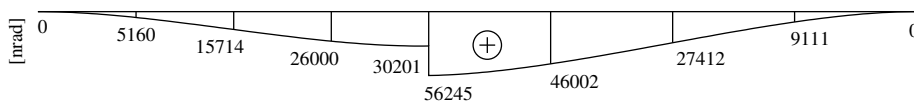
(a) Koormus $q_z = 10.0 \text{ N/cm}$ (vt tabel 1.1)



(b) Siire w

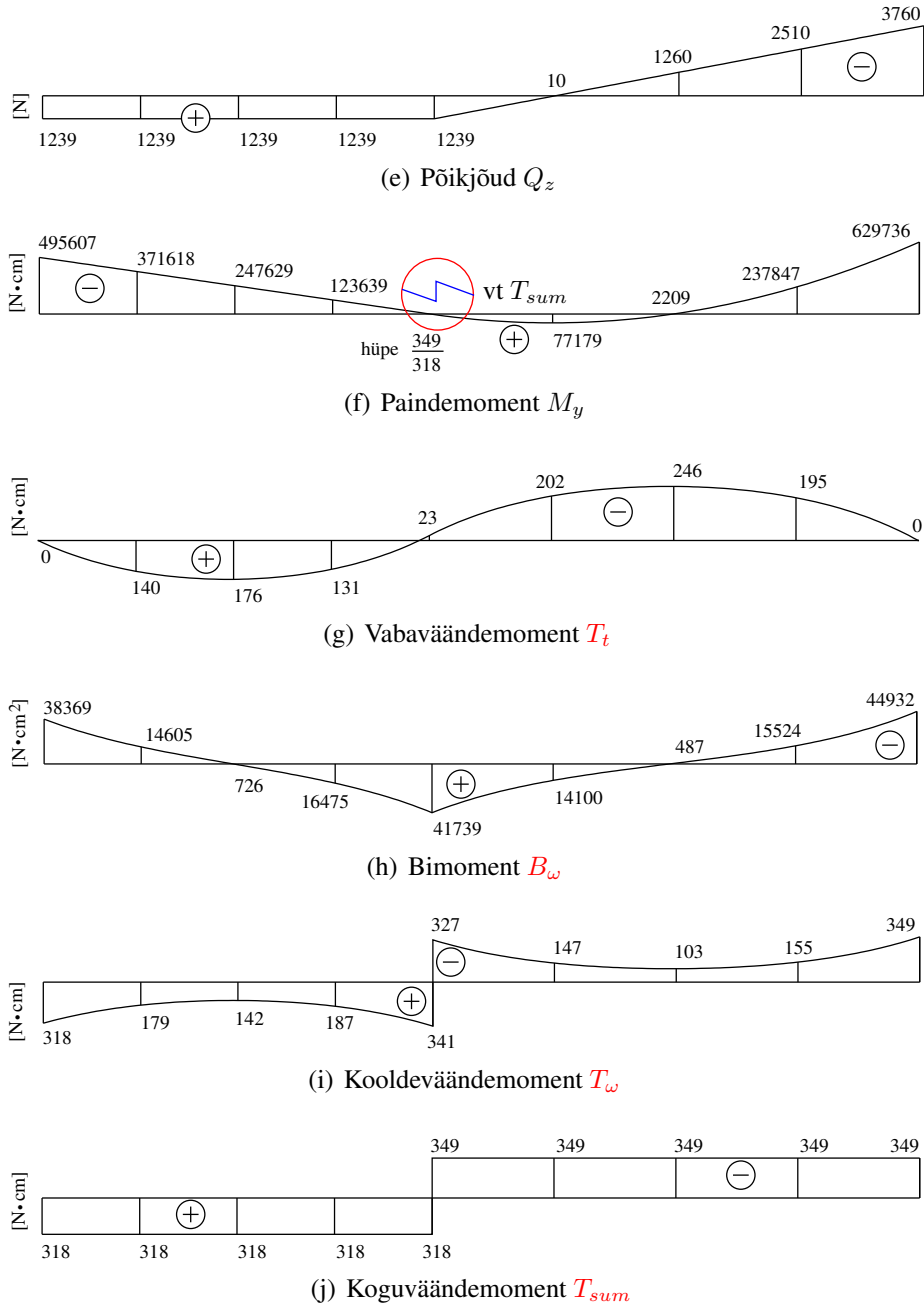


(c) Paindenurk φ



(d) Väändenurk θ

Joonis 3.12. L-tala koormusega q_z . Epüürid b–d



Joonis 3.12. L-tala koormusega q_z . Epüürid e–j

Tabelitest 3.6 ja 3.7 selgub, et EST-meetodiga saadud tulemused on kooskõlas raamatus [Bõit62] jõu- ja deformatsioonimeetodi abil leitud.

Tabel 3.6. L-tala koormusega q_z . Tulemuste võrdlus (1)

x [cm]	Z(x)	Jõumeetod [Bõt62]	Def-meetod [Bõt62]	Mõõtühik	EST-meetod	Mõõtühik
0.0	w			cm	0.000	cm
	φ			rad	0.000	rad
	Q_z			kG	1.240×10^3	N
	M_y	-4.96×10^4	-4.93×10^4	kG·m	-4.956×10^5	N·cm
	θ			rad	0.000	rad
	T_t			kG·m	0.000	N·cm
	B_ω	-3.82×10^3	-3.79×10^3	kG·m ²	-3.837×10^4	N·cm ²
	T_ω			kG·m	3.183×10^2	N·cm
	T_{sum}			kG·m	3.183×10^2	N·cm
200	w			cm	4.690×10^{-3}	cm
	φ			rad	-4.220×10^{-5}	rad
	Q_z			kG	1.240×10^3	N
	M_y			kG·m	-2.476×10^5	N·cm
	θ			rad	1.571×10^{-5}	rad
	T_t			kG·m	1.764×10^2	N·cm
	B_ω			kG·m ²	7.258×10^2	N·cm ²
	T_ω			kG·m	1.420×10^2	N·cm
	T_{sum}			kG·m	3.183×10^2	N·cm
400 – ϵ	w		-1.49×10^{-2}	cm	1.500×10^{-2}	cm
	φ			rad	-5.625×10^{-5}	rad
	Q_z			kG	1.240×10^3	N
	M_y	3.46×10^1	2.2×10^1 ²²	kG·m	3.492×10^2	N·cm
	θ		2.98×10^{-5}	rad	3.020×10^{-5}	rad
	T_t		-1.49×10^{-8} $\times GI_t$ ²³	kG·m	-2.259×10^1	N·cm
	B_ω	-4.14×10^3	-4.14×10^3	kG·m ²	4.174×10^4	N·cm ²
	T_ω			kG·m	3.409×10^2	N·cm
	T_{sum}			kG·m	3.183×10^2	N·cm

²² Deformatsioonimeetodit kasutades on siin positiivsel momendil päripäevane suund.²³ $GI_t = 1.5637 \times 10^9$ N·cm².

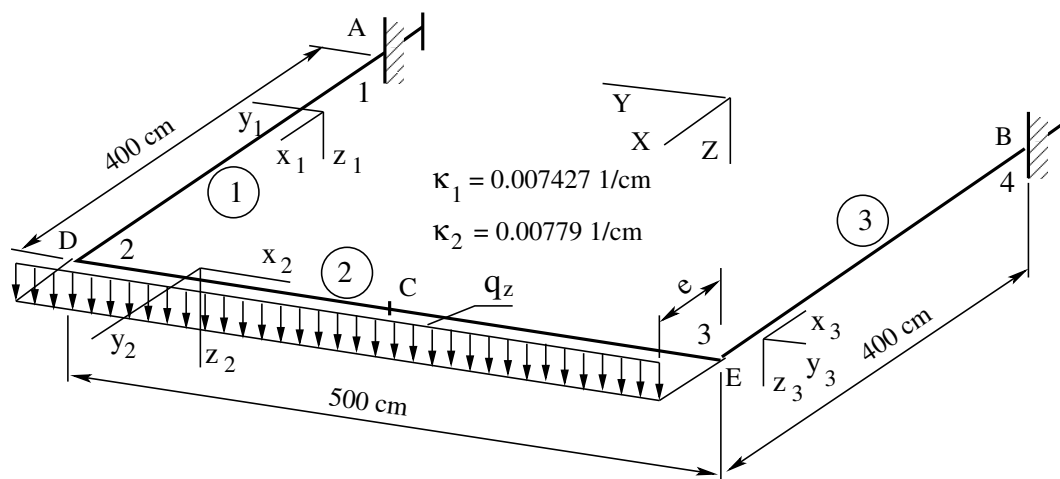
Tabel 3.7. L-tala koormusega q_z . Tulemuste võrdlus (2)

x [cm]	Z(x)	Jõumeetod [Bõt62]	Def-meetod [Bõt62]	Mõõtühik	EST-meetod	Mõõtühik		
400 + ϵ	w	3.17×10^1	-1.49×10^{-2}	cm	1.500×10^{-2}	cm		
	φ			rad	3.020×10^{-5}	rad		
	Q_z			kG	1.240×10^3	N		
	M_y			2.90×10^2	kG·m	3.183×10^2	N·cm	
	θ			-5.60×10^{-5}	rad	5.625×10^{-5}	rad	
	T_t			-1.49×10^{-8} $\times GI_t^{24}$	kG·m	-2.259×10^1	N·cm	
	B_ω			4.14×10^3	4.14×10^3	kG·m ²	4.174×10^4	N·cm ²
	T_ω					kG·m	-3.267×10^2	N·cm
	T_{sum}					kG·m	-3.492×10^2	N·cm
650	w			cm	6.539×10^{-3}	cm		
	φ			rad	3.746×10^{-5}	rad		
	Q_z			kG	-1.260×10^3	N		
	M_y			kG·m	-2.209×10^3	N·cm		
	θ			rad	2.741×10^{-5}	rad		
	T_t			kG·m	-2.462×10^2	N·cm		
	B_ω			kG·m ²	-4.868×10^2	N·cm ²		
	T_ω			kG·m	-1.030×10^2	N·cm		
	T_{sum}			kG·m	-3.492×10^2	N·cm		
900	w			cm	1.735×10^{-18}	cm		
	φ			rad	-1.355×10^{-20}	rad		
	Q_z			kG	-3.760×10^3	N		
	M_y	6.30×10^4	6.30×10^4	kG·m	-6.297×10^5	N·cm		
	θ			rad	1.084×10^{-19}	rad		
	T_t			kG·m	9.095×10^{-13}	N·cm		
	B_ω	-4.46×10^3	4.47×10^3	kG·m ²	-4.493×10^4	N·cm ²		
	T_ω			kG·m	-3.492×10^2	N·cm		
	T_{sum}			kG·m	-3.492×10^2	N·cm		

²⁴ $GI_t = 1.5637 \times 10^9 \text{ N}\cdot\text{cm}^2$.

3.1.3 Murtud teljega II-tala arvutus

Näide 3.3 (II-tala arvutus ülekandevõrranditega). Koostada joonisel 3.13 kujutatud murtud teljega tala vertikaalse siirde w , paindenurga φ_y , põikjõu Q_z , paindemomendi M_y , väändenurga θ_x , vabaväändemomendi T_t , bimomendi B_w ja kooldeväändemomendi T_w epiüürid.



Joonis 3.13. II-tala paine ja vääne

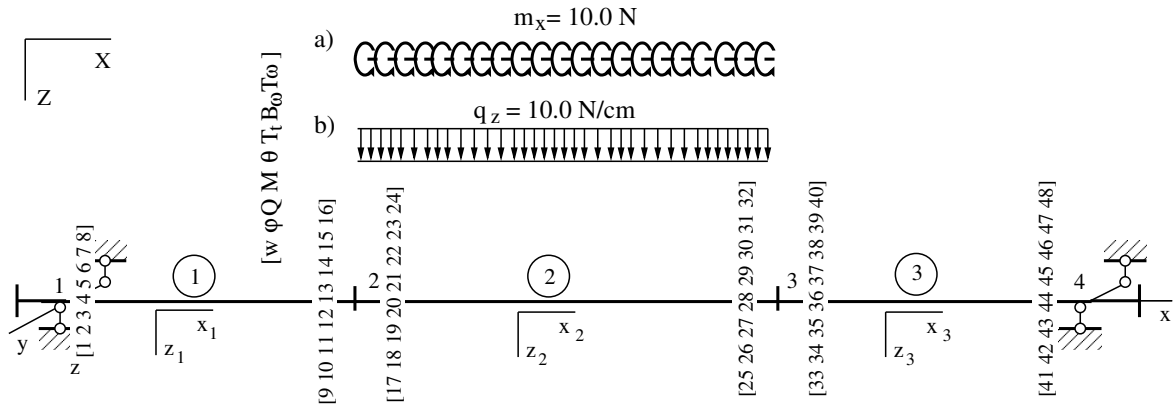
Andmed. Murtud teljega tala elementide pikkused: $l_1 = 4$ m, $l_2 = 5$ m ja $l_3 = 4$ m. Tala teine ava on ekstsentriliselt koormatud ühtlase lauskoormusega $q_z = 1.0$ kN/m. Vertikaalse lauskoormuse q_z ekstsentrilisus $e = 1.0$ cm. Varraste 1 ja 3 ristlõigeteks on valitud I-profiil nr 60a ning varda 2 ristlõikeks I-profiil nr 60b [Böt62, lk 435]. Ristlõike paindejäikused ($EI_1 = 1.7611 \times 10^5$ kN·m², $EI_2 = 1.9989 \times 10^5$ kN·m²), kooldejäikused ($EI_{\omega 1} = 2.8348 \times 10^5$ kN·m⁴, $EI_{\omega 2} = 2.9254 \times 10^5$ kN·m⁴), vabaväändejäikused ($GI_{t1} = 1.5640 \times 10^5$ kN·m², $GI_{t2} = 1.7753 \times 10^5$ kN·m²) ning kooldekarakteristikud ($\kappa_1 = \sqrt{GI_{t1}/EI_{\omega 1}} = \sqrt{1.5640 \times 10^9 / 2.8348 \times 10^{13}} = 0.0074278$ cm⁻¹, $\kappa_2 = \sqrt{GI_{t2}/EI_{\omega 2}} = \sqrt{1.7753 \times 10^9 / 2.9254 \times 10^{13}} = 0.007790$ cm⁻¹) on konstantsed.

Lahendus. Kanname ühtlaselt jaotatud põikkoormuse q_z (jn 1.21 ja tabel 1.1) elastsele teljele. Vaatleme kahte koormusjuhtu (jn 3.14), kus elastsel teljel on ühtlaselt jaotatud väändemoment $m_x = 10$ (N·cm)/cm ja ühtlaselt jaotatud põikkoormus $q_z = 10$ N/cm.

Rajaväärtuste arvutamiseks kasutame nagu EST-meetodi [Lah97a], [Lah14] puhulgi hõredat võrrandisüsteemi²⁵

$$\text{spA} \cdot \mathbf{Z} = \mathbf{B} \quad (3.26)$$

²⁵ http://digi.lib.ttu.ee/opik_eme/Ehitusmehaanika.pdf#equation.14.22



Joonis 3.14. II-tala paine ja vääne. Muutujad

kus \mathbf{Z} on võrrandisüsteemi tundmatute vektor

$$\mathbf{Z} = \begin{bmatrix} \mathbf{Z}_a^{(1)} \\ \mathbf{Z}_b^{(1)} \\ \mathbf{Z}_a^{(2)} \\ \mathbf{Z}_b^{(2)} \\ \mathbf{Z}_a^{(3)} \\ \mathbf{Z}_b^{(3)} \end{bmatrix} \quad (3.27)$$

mille elementideks on siirded, paindenurgad, põikjõud, paindemomendid, väändenurgad ning väändemomendid varraste 1, 2 ja 3 alguses ning lõpus.

Muutuja $Z(i, 1)$ indeks ($i=1, 2, 3, \dots, 48$) on toodud joonisel 3.14.

$$\mathbf{Z}_a^{(1)} = \begin{bmatrix} w_A \\ \varphi_A \\ Q_A \\ M_A \\ \theta_A \\ T_{tA} \\ B_{\omega A} \\ T_{\omega A} \end{bmatrix} = \begin{bmatrix} Z(1, 1) \\ Z(2, 1) \\ Z(3, 1) \\ Z(4, 1) \\ Z(5, 1) \\ Z(6, 1) \\ Z(7, 1) \\ Z(8, 1) \end{bmatrix}, \quad \mathbf{Z}_b^{(1)} = \begin{bmatrix} w_L \\ \varphi_L \\ Q_L \\ M_L \\ \theta_L \\ T_{tL} \\ B_{\omega L} \\ T_{\omega L} \end{bmatrix} = \begin{bmatrix} Z(9, 1) \\ Z(10, 1) \\ Z(11, 1) \\ Z(12, 1) \\ Z(13, 1) \\ Z(14, 1) \\ Z(15, 1) \\ Z(16, 1) \end{bmatrix} \quad (3.28)$$

$$\mathbf{Z}_a^{(2)} = \begin{bmatrix} w_A \\ \varphi_A \\ Q_A \\ M_A \\ \theta_A \\ T_{tA} \\ B_{\omega A} \\ T_{\omega A} \end{bmatrix} = \begin{bmatrix} Z(17, 1) \\ Z(18, 1) \\ Z(19, 1) \\ Z(20, 1) \\ Z(21, 1) \\ Z(22, 1) \\ Z(23, 1) \\ Z(24, 1) \end{bmatrix}, \quad \mathbf{Z}_b^{(2)} = \begin{bmatrix} w_L \\ \varphi_L \\ Q_L \\ M_L \\ \theta_L \\ T_{tL} \\ B_{\omega L} \\ T_{\omega L} \end{bmatrix} = \begin{bmatrix} Z(25, 1) \\ Z(26, 1) \\ Z(27, 1) \\ Z(28, 1) \\ Z(29, 1) \\ Z(30, 1) \\ Z(31, 1) \\ Z(32, 1) \end{bmatrix} \quad (3.29)$$

$$\mathbf{Z}_a^{(3)} = \begin{bmatrix} w_A \\ \varphi_A \\ Q_A \\ M_A \\ \theta_A \\ T_{tA} \\ B_{\omega A} \\ T_{\omega A} \end{bmatrix} = \begin{bmatrix} Z(33,1) \\ Z(34,1) \\ Z(35,1) \\ Z(36,1) \\ Z(37,1) \\ Z(38,1) \\ Z(39,1) \\ Z(40,1) \end{bmatrix}, \quad \mathbf{Z}_b^{(3)} = \begin{bmatrix} w_L \\ \varphi_L \\ Q_L \\ M_L \\ \theta_L \\ T_{tL} \\ B_{\omega L} \\ T_{\omega L} \end{bmatrix} = \begin{bmatrix} Z(41,1) \\ Z(42,1) \\ Z(43,1) \\ Z(44,1) \\ Z(45,1) \\ Z(46,1) \\ Z(47,1) \\ Z(48,1) \end{bmatrix} \quad (3.30)$$

Põhivõrrandites²⁶ (2.84)

$$\widehat{\mathbf{U}}_{8 \times 16} \cdot \widehat{\mathbf{Z}} = -\widehat{\mathbf{Z}} \quad (3.31)$$

sisalduva laiendatud ülekanematriksi $\widehat{\mathbf{U}}_{8 \times 16} \equiv (\mathbf{U}_{8 \times 8} \mid -\mathbf{I}_{8 \times 8})$ (C.13) arvutamiseks saab kasutada GNU Octave'i funktsiooni *yspTVmI.m*.

Võrrandisüsteemis (3.31) on tundmatuid poole rohkem kui võrrandeid. Kanname need võrrandid võrrandisüsteemi (3.26) (vt väljavõtte programmist 3.8).

Väljavõtte programmist 3.8 (Naide4_6U.m)

```
# Esimese tala hõreda laiendatud ülekanematriksi arvutus
spvF=yspTVmI(baasi0,11,11,GAr,EI,GIt,EIw);
IIv=1;
IJv=1;

# sisestab ülekanematriksi võrrandisüsteemi spA*Z=Bvb
spA=spInsertBtoA(spA,IIv,IJv,spvF);
# võrrandisüsteemi vabaliige Bvb on eelnevalt nullitud
# Teise tala hõreda laiendatud ülekanematriksi arvutus
spvF=yspTVmI(baasi0,12,12,GAr,EI,GIt,EIw);
#vB2a=yzTVqz(baasi0,12,0.0,qz,EI) # koormusvektori arvutus
vB2b=yzTVmx(baasi0,12,12,0.0,mx,GIt,EIw) # koormusvektori arvutus
#vB2=vB2a+vB2b
vB2=vB2b
krda=2;
IIv=krda*8-7;
IJv=krda*16-15;

# sisestab ülekanematriksi võrrandisüsteemi spA*Z=Bvb
spA=spInsertBtoA(spA,IIv,IJv,spvF);
# sisestab koormusvektori võrrandisüsteemi vabaliikmesse Bvb
Bvb=InsertBtoA(Bvb,NNK,1,IIv,1,vB2,8,1);
# Kolmanda tala hõreda laiendatud ülekanematriksi arvutus
spvF=yspTVmI(baasi0,11,11,GAr,EI,GIt,EIw);
krda=3;
IIv=krda*8-7;
IJv=krda*16-15;

# sisestab ülekanematriksi võrrandisüsteemi spA*Z=Bvb
spA=spInsertBtoA(spA,IIv,IJv,spvF);
# võrrandisüsteemi vabaliige Bvb on eelnevalt nullitud
```

²⁶ http://digi.lib.ttu.ee/opik_eme/Ehitusmehaanika.pdf#figure.14.9

Võrrandisüsteemis (3.26) peab olema võrrandeid ja tundmatuid ühepalju. Võrrandite arv peab ühtima maatriksi \mathbf{spA} astakuga. Puuduvad sõltumatud võrrandid saame kinemaatilistest ja staatilistest rajatingimustest. Varrassüsteemi elemente ühendavad sidemed võib jagada välis- ja sisesidemeteks [Jür85, lk 8–9].²⁷ Reaktsioonid jagatakse välimisteks ja sisemisteks.²⁸ Sisemiste reaktsioonide summa võrdub nulliga. Vaadeldes varrassüsteemi kui tervikut, võib sisemisi reaktsioone nimetada ka kontaktjõududeks.²⁹

Edasi

- püstitame rajatingimused;
- arvutame algparameetrid;
- arvutame väändenurgad ja väändemomendid;
- koostame sisejõudude epüürid.

Rajatingimuste püstitus. Väliste rajatingimuste seadmisel tuleb arvestada energia-teoreemi³⁰ (B.8). Kui avaldistes $w \Leftrightarrow Q_z$, $\varphi \Leftrightarrow M_y$, $\theta \Leftrightarrow T_{sum}$, $\theta' \Leftrightarrow B_\omega$ üks pool (siire w , paindenurk φ , pöördenurk θ , suhteline väändenurk θ') on antud, siis teine pool (põikjõud Q_z , paindemoment M_y , koguväändemoment T_{sum} , bimoment B_ω) on tundmatu.

Talal on sõlmedes 1 ja 3 jäigad toed, mis ei võimalda pööret ega kooldumist (vt tabel 1.2). Tähistame vabaväändejäikuste suhted järgmiselt: $GI_{12} = GI_{t1}/GI_{t2}$ ja $GI_{21} = GI_{t2}/GI_{t1}$.

$$\begin{aligned} Z(1,1) &= w_A^{(1)} = 0 & Z(41,1) &= w_L^{(3)} = 0 \\ Z(2,1) &= \varphi_A^{(1)} = 0 & Z(42,1) &= \varphi_L^{(3)} = 0 \\ Z(5,1) &= \theta_A^{(1)} = 0 & Z(45,1) &= \theta_L^{(3)} = 0 \\ Z(6,1) &= T_{tA}^{(1)} \equiv \theta_A'^{(1)} = 0 & Z(46,1) &= T_{tL}^{(3)} \equiv \theta_L'^{(3)} = 0 \end{aligned} \quad (3.32)$$

Sisemistest rajatingimustest vaatleme pidevustingimusi sõlmedes 2 ja 3. Varraste 1 ja 2 ning 2 ja 3 siirded ja kooldumus³¹ on võrdsed.

$$\begin{aligned} Z(9,1) - Z(17,1) &= w_L^{(1)} - w_A^{(2)} = 0 \\ Z(14,1) + Z(22,1) \cdot GI_{12} &= T_{tL}^{(1)} + T_{tA}^{(2)} \cdot GI_{12} \equiv \theta_L'^{(1)} - \theta_A'^{(2)} = 0 \\ Z(25,1) + Z(33,1) &= w_L^{(2)} - w_A^{(3)} = 0 \\ Z(30,1) + Z(38,1) \cdot GI_{21} &= T_{tL}^{(2)} + T_{tA}^{(3)} \cdot GI_{21} \equiv \theta_L'^{(2)} - \theta_A'^{(3)} = 0 \end{aligned} \quad (3.33)$$

Painde- ja väändenurkade (φ_y , θ_x) puhul peame arvestama, et varda x -telg on murtud (telgede pööre nurga $-\pi/2$ võrra ümber z -telje, vt avaldis (D.17)).

$$\begin{aligned} Z(21,1) + Z(10,1) &= \theta_A^{(2)} + \varphi_L^{(1)} = 0 \\ Z(18,1) - Z(13,1) &= \varphi_A^{(2)} - \theta_L^{(1)} = 0 \\ Z(37,1) + Z(26,1) &= \theta_A^{(3)} + \varphi_L^{(2)} = 0 \\ Z(34,1) - Z(29,1) &= \varphi_A^{(3)} - \theta_L^{(2)} = 0 \end{aligned} \quad (3.34)$$

²⁷ <http://digi.lib.ttu.ee/i/?472>

²⁸ http://www.ce.memphis.edu/3121/notes/notes_04d.pdf (20.08.2013)

²⁹ https://en.wikipedia.org/wiki/Contact_force. (20.08.2013)

³⁰ http://digi.lib.ttu.ee/opik_eme/Ehitusmehaanika.pdf#equation.F.26

³¹ Kooldumisel vabaväändemomenti kasutades järgitakse II märgikokkulepet.

Sisemistest rajatingimustest vaatleme sõlmede 2 ja 3 tasakaalutingimusi. Painde- ja väändemomentide (M_y ja T_{sumx}) puhul arvestame, et varda x -telg on murtud (telgede pööre nurga $-\pi/2$ võrra ümber z -telje, vt avaldis (D.17)).

$$\begin{aligned}
Z(19, 1) + Z(11, 1) &= Q_{zA}^{(2)} + Q_{zL}^{(1)} = 0 \\
Z(22, 1) + Z(24, 1) - Z(12, 1) &= T_{tA}^{(2)} + T_{\omega A}^{(2)} - M_{yL}^{(1)} = 0 \\
Z(20, 1) + Z(14, 1) + Z(16, 1) &= M_{yA}^{(2)} + T_{tL}^{(1)} + T_{\omega L}^{(1)} = 0 \\
Z(33, 1) + Z(15, 1) &= B_{\omega A}^{(2)} + B_{\omega L}^{(1)} = 0 \\
Z(27, 1) + Z(35, 1) &= Q_{zL}^{(2)} + Q_{zA}^{(3)} = 0 \\
Z(38, 1) + Z(40, 1) - Z(28, 1) &= T_{tA}^{(3)} + T_{\omega A}^{(3)} - M_{yL}^{(2)} = 0 \\
Z(36, 1) + Z(30, 1) + Z(32, 1) &= M_{yA}^{(3)} + T_{tL}^{(2)} + T_{\omega L}^{(2)} = 0 \\
Z(31, 1) + Z(39, 1) &= B_{\omega L}^{(2)} + B_{\omega A}^{(3)} = 0
\end{aligned} \tag{3.35}$$

Koostatud on 24 rajatingimuse võrrandit. Sisestame need võrrandisüsteemi (3.26) (vt väljavõte programmist 3.9). Võrrandisüsteemi astak võrdub tundmatute arvuga. Järelikult on sisestatud võrrandid lineaarselt sõltumatud.

Väljavõte programmist 3.9 (Naide4_6U.m)

```

##### Rajatingimused
# sõlm 1
spA=spSisestaArv(spA,25,1,1); # siire w
spA=spSisestaArv(spA,26,2,1); # pööre fi
spA=spSisestaArv(spA,27,5,1); # $theta_A$ - väändenurk
spA=spSisestaArv(spA,28,6,1); # $T_{tA}$ ($theta^{\prime}$)
# sõlm 2
# pidevus
spA=spSisestaArv(spA,29,9,1); # siire w
spA=spSisestaArv(spA,29,17,-1);
spA=spSisestaArv(spA,30,10,1); # pööre fi
spA=spSisestaArv(spA,30,21,1);
spA=spSisestaArv(spA,31,13,1); # väändenurk
spA=spSisestaArv(spA,31,18,-1);
spA=spSisestaArv(spA,32,14,1); # $T_{t}$ ($theta^{\prime}$)
spA=spSisestaArv(spA,32,22,1)*Git1/Git2;
# tasakaal
spA=spSisestaArv(spA,33,11,1); # Q
spA=spSisestaArv(spA,33,19,1);
spA=spSisestaArv(spA,34,12,-1); # M
spA=spSisestaArv(spA,34,22,1);
spA=spSisestaArv(spA,34,24,1);
spA=spSisestaArv(spA,35,20,1); # M
spA=spSisestaArv(spA,35,14,1);
spA=spSisestaArv(spA,35,16,1);
spA=spSisestaArv(spA,36,15,1); # B
spA=spSisestaArv(spA,36,23,1);
# sõlm 3
# pidevus
spA=spSisestaArv(spA,37,25,1); # w
spA=spSisestaArv(spA,37,33,-1)

```

```

spA=spSisestaArv(spA, 38, 26, 1); # fi
spA=spSisestaArv(spA, 38, 37, 1);
spA=spSisestaArv(spA, 39, 29, 1); # väändenurk
spA=spSisestaArv(spA, 39, 34, -1);
spA=spSisestaArv(spA, 40, 30, 1); # $T_t$ ( $\theta^{\prime}$ )
spA=spSisestaArv(spA, 40, 38, 1)*Git2/Git1;
# tasakaal
spA=spSisestaArv(spA, 41, 27, 1); # Q
spA=spSisestaArv(spA, 41, 35, 1);
spA=spSisestaArv(spA, 42, 28, -1); # M
spA=spSisestaArv(spA, 42, 38, 1);
spA=spSisestaArv(spA, 42, 40, 1);
spA=spSisestaArv(spA, 43, 36, 1); # M
spA=spSisestaArv(spA, 43, 30, 1);
spA=spSisestaArv(spA, 43, 32, 1);
spA=spSisestaArv(spA, 44, 31, 1); # B
spA=spSisestaArv(spA, 44, 39, 1);
# sõlm 4
spA=spSisestaArv(spA, 45, 41, 1); # w
spA=spSisestaArv(spA, 46, 42, -1); # pööre fi
spA=spSisestaArv(spA, 47, 45, 1); # väändenurk
spA=spSisestaArv(spA, 48, 46, 1); # $T_t$ ( $\theta^{\prime}$ )
#
spA_rank = sprank(spA) # võrrandisüsteemi astak

```

Sisestatud võrrandite arvu ja astakut saab kontrollida arvutuspäeviku väljavõttest 3.10.

Väljavõte arvutuspäevikust 3.10 (Naide4_6U.m)

```

Pärast põhivõrrandite sisestamist on võrrandisüsteemis
spA_rida = 24
spA_veergu = 48
Pärast toel A toetingimuste lisamist on võrrandisüsteemis
spA_rida = 28
spA_veergu = 48
Pärast sõlmes D pidevusvõrrandite lisamist on võrrandisüsteemis
spA_rida = 32
spA_veergu = 48
Pärast sõlmes D tasakaaluvõrrandite lisamist on võrrandisüsteemis
spA_rida = 36
spA_veergu = 48
Pärast sõlmes E pidevusvõrrandite lisamist on võrrandisüsteemis
spA_rida = 40
spA_veergu = 48
Pärast sõlmes E tasakaaluvõrrandite lisamist on võrrandisüsteemis
spA_rida = 44
spA_veergu = 48
Pärast toel B toetingimuste lisamist on võrrandisüsteemis
spA_rida = 48
spA_veergu = 48

spA_rank = 48

```

Algparameetrite arvutus. Rajaväärtuste leidmisel korrutasime siirded, paindenurgad ja väändenurgad skaleerimisteguriga: $baasi0 = 1.0e + 10$. Skaleerimata algparameetrite saamiseks tuleb vastavad suurused jagada skaleerimisteguriga. Talade 1, 2 ja 3 skaleerimata algparameetrid on toodud arvutuspäeviku väljavõttes 3.11.

Väljavõte arvutuspäevikust 3.11 (Naide4_6U.m)

Algparameetrid -	AP1	AP2	AP3
w -	0.0000e+00	1.1357e-04	1.1357e-04
fi -	0.0000e+00	4.9646e-08	5.6784e-07
Q -	-6.8039e-15	-6.8039e-15	-6.8039e-15
M -	2.5000e+03	3.6090e+02	2.5000e+03
theta -	0.0000e+00	5.6784e-07	4.9646e-08
Tt -	0.0000e+00	-4.6686e+02	4.6686e+02
B -	-3.7392e+04	1.0704e+05	1.0704e+05
Tw -	3.6090e+02	-2.0331e+03	-8.2776e+02

3. Siirete, nurkade ja momentide arvutus. Siirete, painde- ja väändenurkade, põikjõudude, painde- ja väändemomentide leidmiseks tala ristlõigetel kasutame ülekandevõrrandit (C.1)

$$\mathbf{Z}_L(\mathbf{x}) = \mathbf{U} \cdot \mathbf{Z}_A + \overset{\circ}{\mathbf{Z}} \quad (3.36)$$

kus \mathbf{Z}_A on tala algparameetrid (vt arvutuspäeviku väljavõte 3.11). Ülekandemaatriksi \mathbf{U} leiame GNU Octave'i funktsiooniga *ylTVlin.m* ning koormusvektori $\overset{\circ}{\mathbf{Z}}$ funktsioonidega *yzTVmx.m* ja *yzTVqz.m* (vt väljavõte programmist 3.10).

Väljavõte programmist 3.10 (Naide4_6U.m)

```
AP=AP1;
baasi0=1.0
Nmitmeks=4
xx=0.0;
xsamm=0.0;
xsamm=l1/Nmitmeks;
for ij=1:Nmitmeks+1 # 5 - displacements and forces at x=0.0
Xloikes (ij,1)=xx;
    vvF=ylTVlin (baasi0, l1, xx, GAr, EI1, GI1, EIw1);
    Fvv (1:8, ij)=vvF*AP;
    Fvv (9, ij)=Fvv (6, ij)+Fvv (8, ij);
xx=xx+xsamm;
endfor
AP=AP2;
baasi0=1.0
Nmitmeks=4
xx=0.0;
xsamm=0.0;
xsamm=l2/Nmitmeks;
for ij=1:Nmitmeks+1 # 5 - displacements and forces at x=0.0
Xloikes (ij,1)=xx;
    vvF=ylTVlin (baasi0, l2, xx, GAr, EI2, GI2, EIw2);
vB2b=yzTVmx (baasi0, l2, xx, 0.0, mx, GI2, EIw2); # koormusvektori arvutus
vB2=vB2b;
    Fvv (1:8, ij)=vvF*AP+vB2;
```

```

    Fvv(9, ij) = Fvv(6, ij) + Fvv(8, ij);
xx=xx+xsamm;
endfor
AP=AP3;
baasi0=1.0
Nmitmeks=4
xx=0.0;
xsamm=0.0;
xsamm=l3/Nmitmeks;
for ij=1:Nmitmeks+1 # 5 - displacements and forces at x=0.0
Xloikes(ij, 1)=xx;
    vvF=ylTVlin(baasi0, l3, xx, GAr, EI1, GI1, EIw1);
    Fvv(1:8, ij)=vvF*AP;
    Fvv(9, ij)=Fvv(6, ij)+Fvv(8, ij);
xx=xx+xsamm;
endfor

```

Arvutustulemused on esitatud arvutuspäeviku väljavõttes 3.12.

Väljavõte arvutuspäevikust 3.12 (Naide4_6U.m)

```

baasi0 = 1
Nmitmeks = 4
k = 0.007427
    x=      0.00      100.00      200.00      300.00      400.00
    w -      0.000e+00      7.098e-06      2.839e-05      6.388e-05      1.136e-04
    fi -      0.000e+00     -1.420e-07     -2.839e-07     -4.259e-07     -5.678e-07
    Q -      6.804e-15      6.804e-15      6.804e-15      6.804e-15      6.804e-15
    M -     -2.500e+03     -2.500e+03     -2.500e+03     -2.500e+03     -2.500e+03
    theta -      0.000e+00     -4.723e-06     -1.265e-05     -1.504e-05      4.965e-08
    Tt -      0.000e+00     -1.216e+02     -1.049e+02      5.958e+01      4.669e+02
    B -      3.739e+04      8.687e+03     -1.500e+04     -4.735e+04     -1.070e+05
    Tw -     -3.609e+02     -2.393e+02     -2.560e+02     -4.205e+02     -8.278e+02
    Tsum -     -3.609e+02     -3.609e+02     -3.609e+02     -3.609e+02     -3.609e+02

```

```

baasi0 = 1
Nmitmeks = 4
k = 0.007790
    x=      0.00      125.00      250.00      375.00      500.00
    w -      1.136e-04      1.089e-04      1.074e-04      1.089e-04      1.136e-04
    fi -      4.965e-08      2.482e-08      1.105e-21     -2.482e-08     -4.965e-08
    Q -      6.804e-15      6.804e-15      6.804e-15      6.804e-15      6.804e-15
    M -     -3.609e+02     -3.609e+02     -3.609e+02     -3.609e+02     -3.609e+02
    theta -      5.678e-07      4.423e-05      6.628e-05      4.423e-05      5.678e-07
    Tt -      4.669e+02      5.780e+02      3.638e-12     -5.780e+02     -4.669e+02
    B -     -1.070e+05      4.982e+04      8.879e+04      4.982e+04     -1.070e+05
    Tw -      2.033e+03      6.720e+02      0.000e+00     -6.720e+02     -2.033e+03
    Tsum -      2.500e+03      1.250e+03      3.638e-12     -1.250e+03     -2.500e+03

```

```

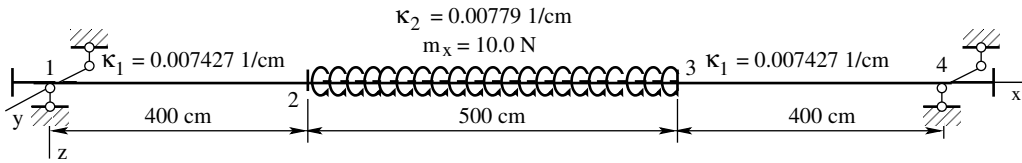
baasi0 = 1
Nmitmeks = 4

```

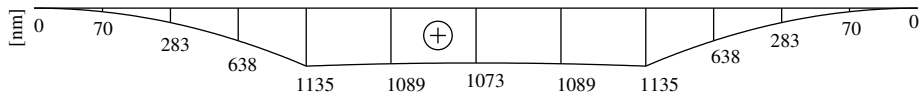
$k = 0.007427$

x=	0.00	100.00	200.00	300.00	400.00
w -	1.136e-04	6.388e-05	2.839e-05	7.098e-06	2.711e-20
fi -	5.678e-07	4.259e-07	2.839e-07	1.420e-07	0.000e+00
Q -	6.804e-15	6.804e-15	6.804e-15	6.804e-15	6.804e-15
M -	-2.500e+03	-2.500e+03	-2.500e+03	-2.500e+03	-2.500e+03
theta -	4.965e-08	-1.504e-05	-1.265e-05	-4.723e-06	1.084e-19
Tt -	-4.669e+02	-5.958e+01	1.049e+02	1.216e+02	-1.819e-12
B -	-1.070e+05	-4.735e+04	-1.500e+04	8.687e+03	3.739e+04
Tw -	8.278e+02	4.205e+02	2.560e+02	2.393e+02	3.609e+02
Tsum -	3.609e+02	3.609e+02	3.609e+02	3.609e+02	3.609e+02

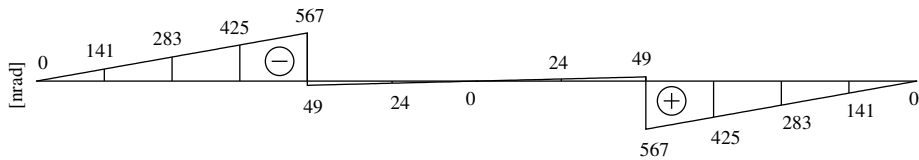
Leitud tulemuste põhjal koostame II-tala epüürid koormusest m_x (jn 3.15, b–j).



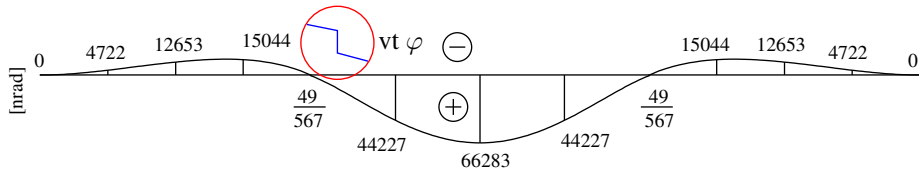
(a) Koormus $m_x = 10.0 \text{ (N}\cdot\text{cm)/cm}$ (vt tabel 1.1)



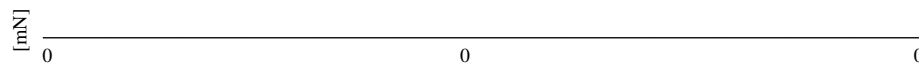
(b) Siire w



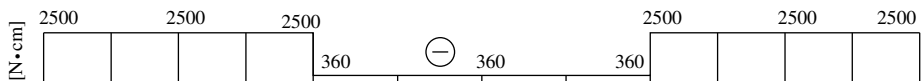
(c) Paindenurk φ



(d) Väändenurk θ

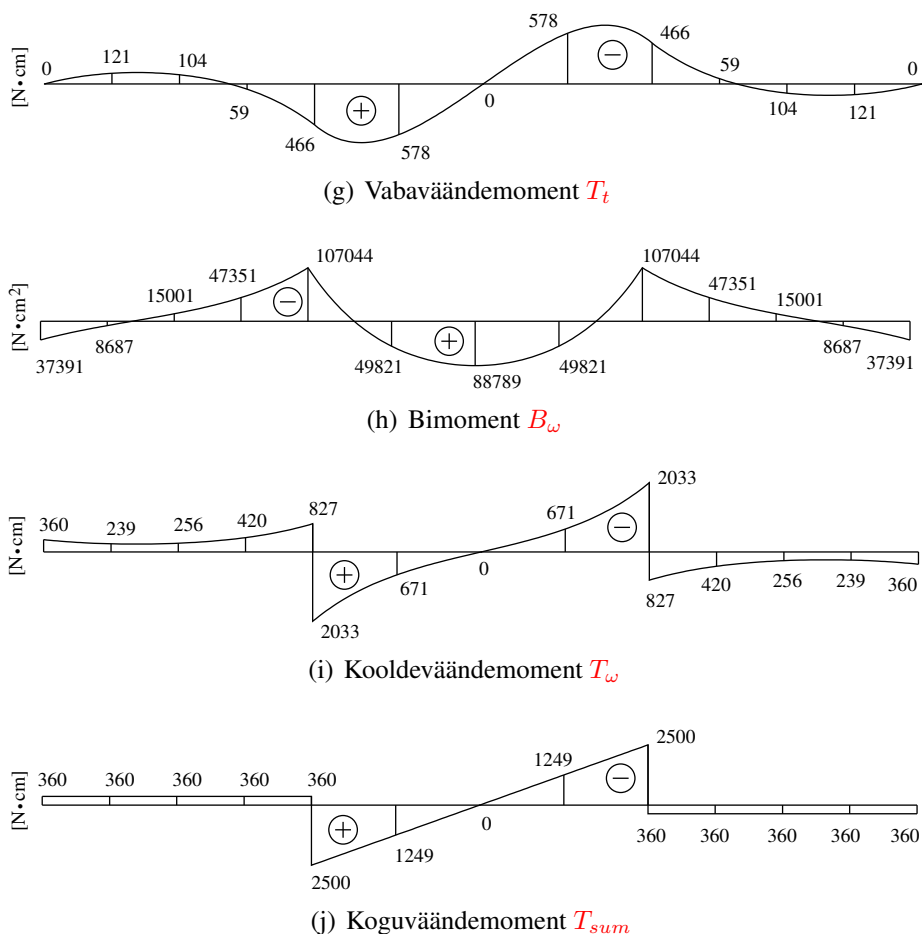


(e) Põikjõud Q_z



(f) Paindemoment M_y

Joonis 3.15. II-tala paine ja vääne. Epüürid b–f



Joonis 3.15. II-tala paine ja vääne. Epüürid g–j

EST-meetodiga ja raamatus [Bõit62] toodud valemite abil arvutatud II-tala paindemomendid ja bimomendid on esitatud tabelites 3.8, 3.9 ja 3.10.

Raamatus [Bõit62, lk 353 ja 386] on toodud näited II-kujulise raami arvutamiseks jõu- ja deformatsioonimeetodiga. Neis näidetes on varraste 1 ja 3 (jn 3.13 \overline{AD} , \overline{BE}) kooldejäikus $i_{1\omega} = EI_{1\omega}/l_1 = 1.0$. Leitud paindemomendid ja bimomendid on esitatud tabelite 3.8, 3.9 ja 3.10 veerus 'Def-meetod'.

Võrdluseks EST-meetodil saadud tulemustega võtsime [Bõit62] valemities varraste 1 ja 3 kooldejäikuseks $i_{1\omega} = EI_{1\omega}/l_1 = 2.8348 \times 10^{13}/400 = 7.0870 \times 10^{10}$ ($\kappa_1 = 0.007427$ 1/cm). Arvutiprogrammidega Naide4_6Udef.m ja Naide4_6Uforce.m arvutatud paindemomendid ja bimomendid on tabelite 3.8, 3.9 ja 3.10 veerus 'Def-meetod+'.

Arvude erinevus veergudes 'Def-meetod+' ja 'EST-meetod' on välja toodud tabelite 3.8, 3.9 ja 3.10 all.

Tabel 3.8. II-tala koormusega m_x . Tulemuste võrdlus (1)

x [cm]	Z(x)	Def-meetod [Böt62]	Def-meetod+ ³² [Böt62]	Mõõtühik	EST-meetod	Mõõtühik
0.0	w			cm	0.000	cm
	φ			rad	0.000	rad
	Q_z			kG	6.804×10^{-15}	N
	M_y	-2.5000×10^3	-2.5000×10^3	N·cm	-2.500×10^3	N·cm
	θ			rad	0.000	rad
	T_t			kG·m	0.000	N·cm
	B_ω	-1.2637×10^{-6}	-3.5662×10^4	N·cm ²	3.739×10^4	N·cm ²
	T_ω			kG·m	-3.609×10^2	N·cm
	T_{sum}			kG·m	-3.609×10^2	N·cm
200	w			cm	2.839×10^{-5}	cm
	φ			rad	-2.839×10^{-7}	rad
	Q_z			kG	6.804×10^{-15}	N
	M_y			kG·m	-2.500×10^3	N·cm
	θ			rad	-1.265×10^{-5}	rad
	T_t			kG·m	-1.049×10^2	N·cm
	B_ω			kG·m ²	-1.500×10^4	N·cm ²
	T_ω			kG·m	-2.560×10^2	N·cm
	T_{sum}			kG·m	-3.609×10^2	N·cm
400 - ϵ	w			cm	1.136×10^{-4}	cm
	φ			rad	-5.678×10^{-7}	rad
	Q_z			kG	6.804×10^{-15}	N
	M_y	2.5000×10^3	2.5000×10^3 ³³	N·cm	-2.500×10^3	N·cm
	θ			rad	4.965×10^{-8}	rad
	T_t			kG·m	4.669×10^2	N·cm
	B_ω	3.6140×10^{-6}	1.0199×10^5	N·cm ²	-1.070×10^5	N·cm ²
	T_ω			kG·m	-8.278×10^2	N·cm
	T_{sum}			kG·m	-3.609×10^2	N·cm

$$B_{AD} = 3.5662 \times 10^4 \Leftrightarrow 3.739 \times 10^4; \quad 100 \times (3.739 \times 10^4 - 3.5662 \times 10^4) / 3.739 \times 10^4 = 4.62 \%$$

$$B_{DA} = -1.0199 \times 10^5 \Leftrightarrow -1.070 \times 10^5; \quad 100 \times (1.070 \times 10^5 - 1.0199 \times 10^5) / 1.070 \times 10^5 = 4.68 \%$$

³² Raamatus [Böt62] toodud valemeid on täiendatud varda kooldejäikusega $i_{1\omega} = EI_{1\omega}/l_1$ (vt arvutiprogramme Naide4_6Udef.m ja Naide4_6Uforce.m).

³³ Deformatsioonimeetodit kasutades on siin positiivsel momendil päripäevane suund.

Tabel 3.9. II-tala koormusega m_x . Tulemuste võrdlus (2)

x [cm]	Z(x)	Def-meetod [Böt62]	Def-meetod+ ³⁴ [Böt62]	Mõõtühik	EST-meetod	Mõõtühik
400 + ϵ	w			cm	1.136×10^{-4}	cm
	φ			rad	4.965×10^{-8}	rad
	Q_z			kG	6.804×10^{-15}	N
	M_y	-1.2194×10^{-8}	-3.4412×10^2	N·cm	-3.609×10^2	N·cm
	θ			rad	5.678×10^{-7}	rad
	T_t			kG·m	4.669×10^2	N·cm
	B_ω	-3.6140×10^{-6}	-1.0199×10^5	N·cm ²	-1.070×10^5	N·cm ²
	T_ω			kG·m	2.033×10^3	N·cm
	T_{sum}			kG·m	2.500×10^3	N·cm
650	w			cm	1.074×10^{-4}	cm
	φ			rad	1.105×10^{-21}	rad
	Q_z			kG	6.804×10^{-15}	N
	M_y			kG·m	-3.609×10^2	N·cm
	θ			rad	6.628×10^{-5}	rad
	T_t			kG·m	3.638×10^{-12}	N·cm
	B_ω			kG·m ²	8.879×10^4	N·cm ²
	T_ω			kG·m	0.000	N·cm
	T_{sum}			kG·m	3.638×10^{-12}	N·cm
900 - ϵ	w			cm	1.136×10^{-4}	cm
	φ			rad	-4.965×10^{-8}	rad
	Q_z			kG	6.804×10^{-15}	N
	M_y	1.2194×10^{-8}	3.4412×10^2	N·cm	-3.609×10^2	N·cm
	θ			rad	5.678×10^{-7}	rad
	T_t			kG·m	-4.669×10^2	N·cm
	B_ω	3.6140×10^{-6}	1.0199×10^5	N·cm ²	-1.070×10^5	N·cm ²
	T_ω			kG·m	-2.033×10^3	N·cm
	T_{sum}			kG·m	-2.500×10^3	N·cm

$$M_{DE} = -3.4412 \times 10^2 \Leftrightarrow -3.609 \times 10^2; \quad 100 \times (3.609 \times 10^2 - 3.4412 \times 10^2) / 3.609 \times 10^4 = 4.65 \%$$

$$B_{DE} = -1.0199 \times 10^5 \Leftrightarrow -1.070 \times 10^5; \quad 100 \times (1.070 \times 10^5 - 1.0199 \times 10^5) / 1.070 \times 10^5 = 4.68 \%$$

$$M_{ED} = 3.4412 \times 10^2 \Leftrightarrow -3.609 \times 10^2; \quad 100 \times (3.609 \times 10^2 - 3.4412 \times 10^2) / 3.609 \times 10^4 = 4.65 \%$$

$$B_{ED} = 1.0199 \times 10^5 \Leftrightarrow -1.070 \times 10^5; \quad 100 \times (1.070 \times 10^5 - 1.0199 \times 10^5) / 1.070 \times 10^5 = 4.68 \%$$

³⁴ Raamatus [Böt62] toodud valemeid on täiendatud varda kooldejäikusega $i_{1\omega} = EI_{1\omega}/l_1$ (vt arvutiprogramme Naide4_6Udef.m ja Naide4_6Uforce.m).

Tabel 3.10. II-tala koormusega m_x . Tulemuste võrdlus (3)

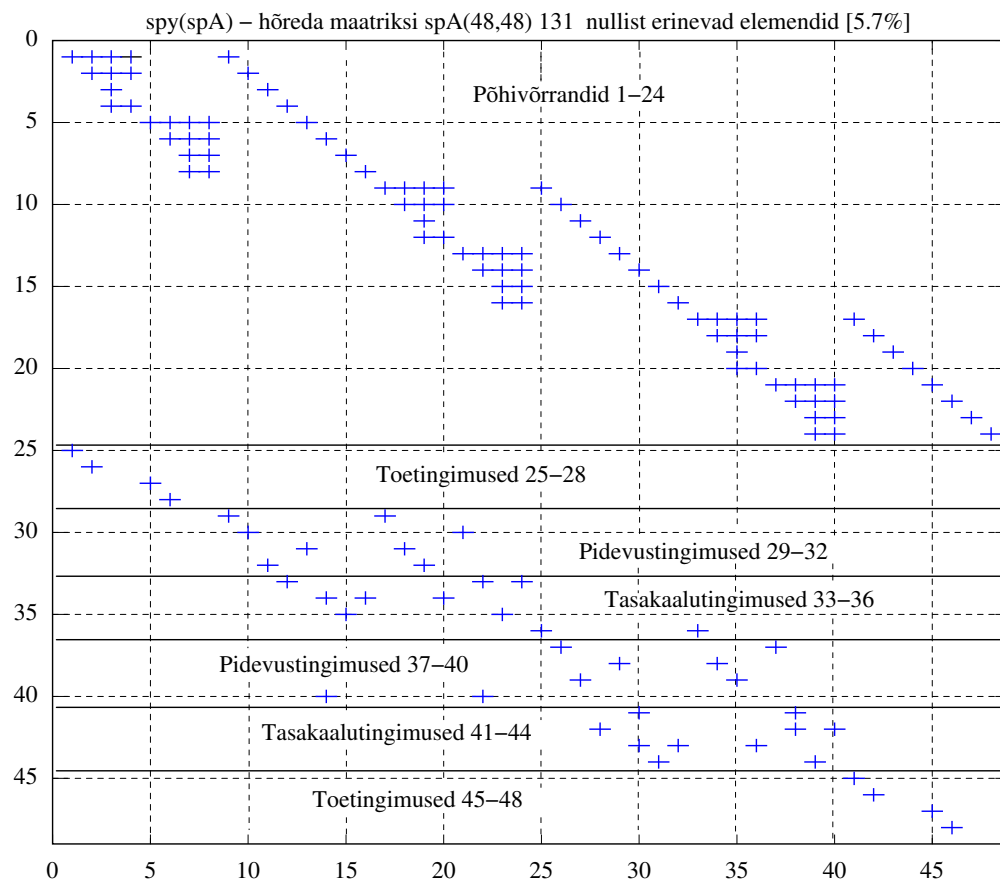
x [cm]	Z(x)	Def-meetod [Böt62]	Def-meetod+ ³⁵ [Böt62]	Mõõtühik	EST-meetod	Mõõtühik		
900 + ϵ	w	2.5000×10^3	2.5000×10^3	cm	1.136×10^{-4}	cm		
	φ			rad	5.678×10^{-7}	rad		
	Q_z			kG	6.804×10^{-15}	N		
	M_y			N·cm	-2.500×10^3	N·cm		
	θ			rad	4.965×10^{-8}	rad		
	T_t			kG·m	-4.669×10^2	N·cm		
	B_ω			-3.6140×10^{-6}	-1.0199×10^5	N·cm ²	-1.070×10^5	N·cm ²
	T_ω			kG·m	8.278×10^2	N·cm		
	T_{sum}			kG·m	3.609×10^2	N·cm		
1100	w			cm	2.839×10^{-5}	cm		
	φ			rad	2.839×10^{-7}	rad		
	Q_z			kG	6.804×10^{-15}	N		
	M_y			kG·m	-2.500×10^3	N·cm		
	θ			rad	-1.265×10^{-5}	rad		
	T_t			kG·m	1.049×10^2	N·cm		
	B_ω			kG·m ²	-1.500×10^4	N·cm ²		
	T_ω			kG·m	2.560×10^2	N·cm		
	T_{sum}			kG·m	3.609×10^2	N·cm		
1300	w	-2.5000×10^3	-2.5000×10^3	cm	2.711×10^{-20}	cm		
	φ			rad	0.000	rad		
	Q_z			kG	6.804×10^{-15}	N		
	M_y			N·cm	-2.500×10^3	N·cm		
	θ			rad	1.084×10^{-19}	rad		
	T_t			kG·m	-1.819×10^{-12}	N·cm		
	B_ω			1.2637×10^{-6}	3.5662×10^4	N·cm ²	3.739×10^4	N·cm ²
	T_ω			kG·m	3.609×10^2	N·cm		
	T_{sum}			kG·m	3.609×10^2	N·cm		

$$B_{EB} = -1.0199 \times 10^5 \Leftrightarrow -1.070 \times 10^5; \quad 100 \times (1.0199 \times 10^5 - 1.070 \times 10^5) / 1.070 \times 10^5 = 4.68 \%$$

$$B_{BE} = 3.5662 \times 10^4 \Leftrightarrow 3.739 \times 10^4; \quad 100 \times (3.739 \times 10^4 - 3.5662 \times 10^4) / 3.739 \times 10^4 = 4.62 \%$$

³⁵ Raamatus [Böt62] toodud valemeid on täiendatud varda kooldejäikusega $i_{1\omega} = EI_{1\omega}/l_1$ (vt arvutiprogramme Naide4_6Udef.m ja Naide4_6Uforce.m).

Joonisel 3.16 on hõreda maatriksi muster (hõreda maatriksi $spA(48,48)$ nullist erinevate elementide asukohad).



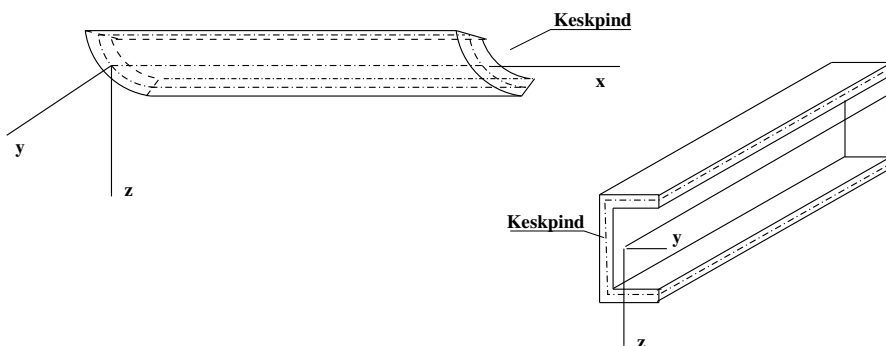
Joonis 3.16. II-tala hõreda maatriksi spA muster

A. Õhukeseseinalise varda ristlõike geomeetrised karakteristikud

Õhukeseseinalise varda ristlõike geomeetrised karakteristikud on:

- sektorkoordinaat (sks Sektorkoordinate, ingl sectorial coordinate, vn секториальная координата);
- staatiline sektormoment (sks statisches Sektormoment, ingl sectorial statical moment, vn секториальный статический момент);
- sektortsentrifugaalmoment (sks Sektorzentrifugalmoment, ingl sectorial centrifugal moment of inertia, vn секториальный центробежный момент инерции);
- sektorinertsimoment (sks Sektorträgheitsmoment, ingl sectorial moment of inertia, vn секториальный момент инерции).

Õhukeseseinalise varda keskpinna ja ristlõike lõikejoont nimetame *keskjooneks* ehk *profiljooneks* (jn A.1).



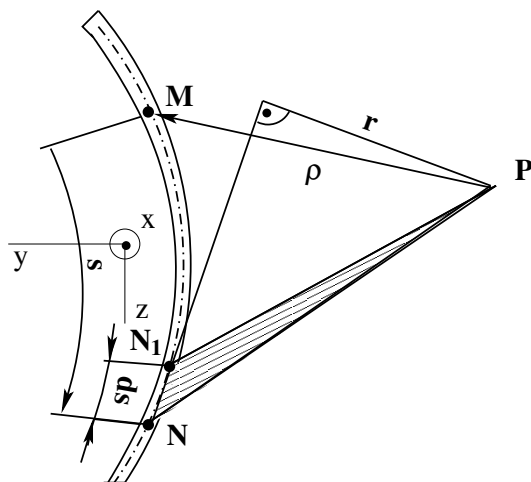
Joonis A.1. Keskjoon

A.1 Sektorkoordinaat

Õhukeseseinalise varda ristlõikest väljaspool võtame kasutusele punkti P (jn A.2), mida nimetame pooluseks. Keskjoonel valime koordinaadi alguspunktiks M. Raadiusvektor ρ määrab punkti M asukoha keskjoonel.

Meelevaldse punkti N asukoha keskjoonel saame avaldada määratud integraaliga:

$$\omega_N = \int_{s_1}^{s_2} r ds \quad (\text{A.1})$$



Joonis A.2. Sektorpindala

kus

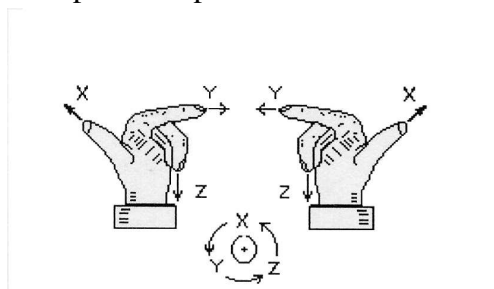
ω – sektorpindala e sektorkoordinaat;

r – pooluse P kaugus keskjoone puutujast, mis läbib punkti N;

ds – keskjoone diferentsiaal.

Integraalis olev suurus rds on võrdne kolmnurga PN_1N kahekordse pindalaga. Keskjoonega eraldatud sektorisse $\angle MPN$ jääva kujundi kahekordne pindala on võrdne sektorkoordinaadiga ω_N (A.1).

Võtame kasutusele parema käe teljestiku (jn A.3), mille puhul raadiusvektori ρ pööre vastupäeva on positiivne.



Joonisel on näidatud positiivse pöörde-
nurga suund. Vaadates telje positiivsest ot-
sast, loeme pöörde positiivseks z-teljest x-
telje suunas, x-teljest y-telje suunas ja y-
teljest z-telje suunas.

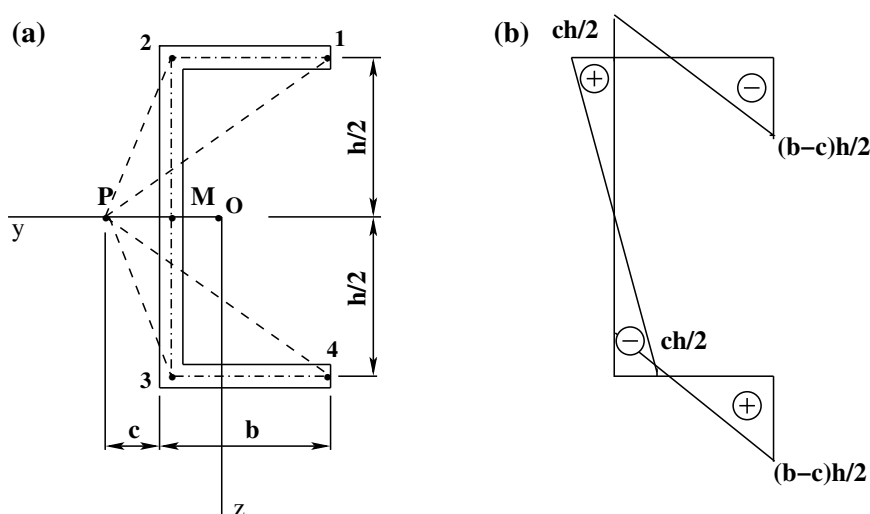
Joonis A.3. Vasaku ja parema käe
teljestik

Sektorkoordinaadi muutuse õhukeseseinalise varda ristlõikes saab esitada graafikuna. Nimetame seda graafikut sektorkoordinaatide epüüriks. Kõverjoonelise keskjoone puhul on sektorkoordinaat mittelineaarne funktsioon muutujast s ja tema graafik on kõverjooneline. Keskjoone sirgjoonelisele osale vastav sektorkoordinaat on lineaarne funktsioon muutujast s .

Näide A.1 (sektorkoordinaat). Arvutada joonisel A.4a kujutatud õhukeseseinalise varda ristlõike sektorkoordinaadid ja koostada ristlõike sektorkoordinaatide epüüri.

Valime pooluseks punkti P ja sektorkoordinaadi alguspunktiks M ($\omega_M = 0$). Arvutame punktide 1, 2, 3 ja 4 sektorkoordinaadid (raadiusvektori ρ pööre vastupäeva on positiivne).

$$\begin{aligned}\omega_1 &= 2 \cdot \triangle PM2 - 2 \cdot \triangle P21 = ch/2 - bh/2 = -(b-c)h/2 \\ \omega_2 &= 2 \cdot \triangle PM2 = ch/2 \\ \omega_3 &= -2 \cdot \triangle PM3 = -ch/2 \\ \omega_4 &= -2 \cdot \triangle PM3 + 2 \cdot \triangle P34 = -ch/2 + bh/2 = (b-c)h/2\end{aligned}\tag{A.2}$$



Joonis A.4. Sektorkoordinaat

Leitud sektorkoordinaatide väärtuste (A.2) põhjal koostame ristlõike sektorkoordinaatide epüüri (jn A.4b).

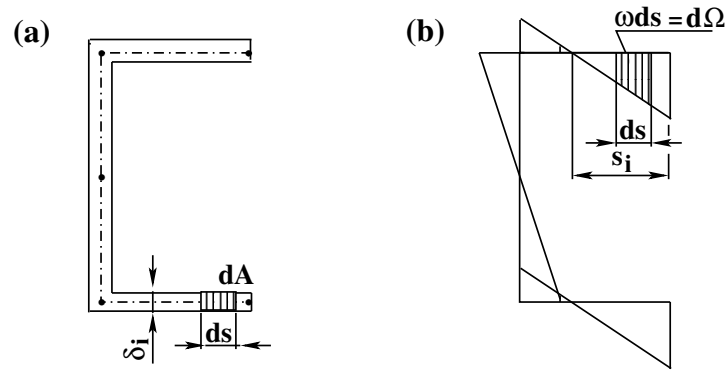
A.2 Staatileine sektormoment

Õhukeseseinalise varda ristlõike pinnaelemendi staatiliseks sektormomendiks nimetatakse pinnaelemendi dA ja sektorkoordinaadi ω korrutist. Kogu kujundi staatiline sektormoment S_ω määratakse integraalina pindala A ulatuses:

$$S_\omega = \int_A \omega dA\tag{A.3}$$

Kui ristlõikes leidub sirgeid lõike ühtlase paksusega δ_i , siis staatilise sektormomendi arvutus lihtsustub. Sel juhul avaldub keskjoone elemendi ds pikkusele vastav pinnaelement dA (jn A.5a) kujul

$$dA = \delta_i ds\tag{A.4}$$



Joonis A.5. Staatileine sektormoment

Nütüd saame avaldada staatilise sektormomendi (A.3):

$$S_\omega = \sum_{i=1}^n \delta_i \int_{s_i} \omega ds \quad (\text{A.5})$$

Leiame staatilise sektormomendi epüüri (jn A.5 b) pindala diferentsiaali $d\Omega$ seosega

$$d\Omega = \omega ds \quad (\text{A.6})$$

Õhukeseseinalise varda ristlõike ühtlase paksusega lõikude puhul saab staatilise sektormomendi arvutada avaldisega

$$S_\omega = \sum_{i=1}^n \delta_i \Omega_i \quad (\text{A.7})$$

Näide A.2 (staatiline sektormoment). Arvutada joonisel A.6a näidatud õhukeseseinalise varda ristlõikest lõikega I–I eraldatud osa staatiline sektormoment.

Esmalt leiame staatilise sektormomendi punktides 1, 2, 3 ja 4:

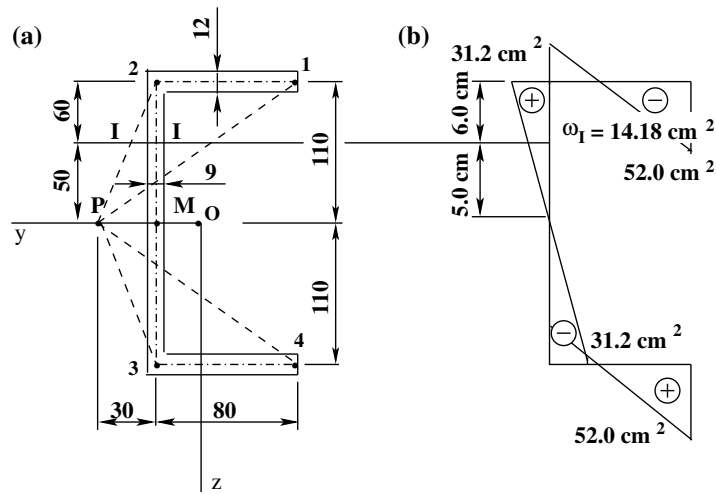
$$\begin{aligned} \omega_M &= 0 \\ \omega_1 &= 2 \cdot \triangle PM2 - 2 \cdot \triangle P21 = 3.0(11.0 - 0.6) - 8.0(11.0 - 0.6) = -52.0 \text{ cm}^2 \\ \omega_2 &= 2 \cdot \triangle PM2 = 3.0(11.0 - 0.6) = 31.2 \text{ cm}^2 \\ \omega_3 &= -2 \cdot \triangle PM3 = -3.0(11.0 - 0.6) = -31.2 \text{ cm}^2 \\ \omega_4 &= -2 \cdot \triangle PM3 + 2 \cdot \triangle P34 = -3.0(11.0 - 0.6) + 8.0(11.0 - 0.6) = 52.0 \text{ cm}^2 \end{aligned} \quad (\text{A.8})$$

Sektorkoordinaadi lõikes I–I (jn A.6a) saame sarnastest kolmnurkadest (jn A.6b):

$$\omega_{I-I} = 31.2 \cdot 5.0 / 11.0 = 14.182 \text{ cm}^2 \quad (\text{A.9})$$

Staatiline sektormoment lõikes I–I

$$S_\omega = \sum_{i=1}^2 \delta_i \Omega_i = 1.2 \frac{31.2 - 52.0}{2} 8.0 + 0.9 \frac{31.2 + 14.182}{2} 6.0 = 22.691 \text{ cm}^4 \quad (\text{A.10})$$



Joonis A.6. Staatiline sektormoment lõikes I–I

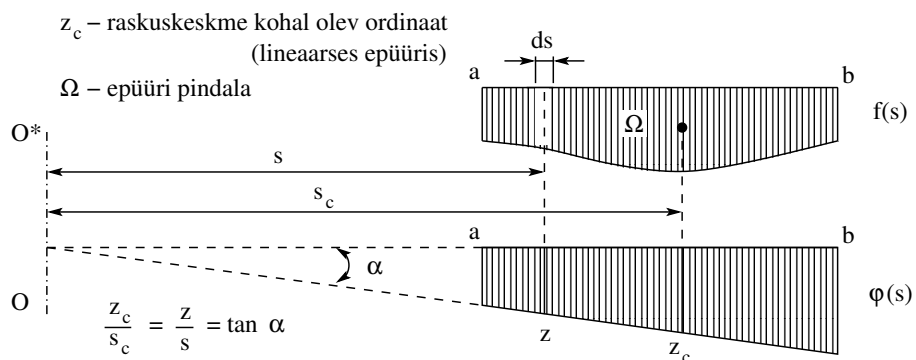
A.2.1 Vereštšagini võtte

Vereštšagini¹ võtet integraali arvutamisel saab kasutada, kui üks epüüridest on lineaarne. Joonisel A.7 kujutatud lineaarse epüüri ordinaadi φ_s saab avaldada seosest $\varphi(s) = z = s \tan \alpha$. Integraali teisendamise kujule

$$I = \int_a^b f(s) \varphi(s) ds = \tan \alpha \int_a^b s f(s) ds \tag{A.11}$$

Epüüri $f(s)$ staatiline moment telje OO^* suhtes

$$\Omega s_c = \int_a^b s f(s) ds \tag{A.12}$$

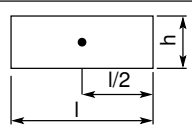
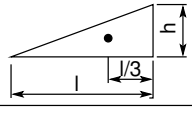
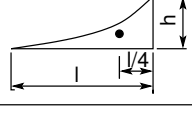
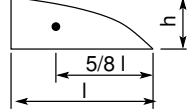


Joonis A.7. Vereštšagini võtte

¹ A. K. Vereštšagin, Moskva Raudteetranspordi Inseneride Instituudi üliõpilane, esitas selle valemi 1925. aastal.

Integraalis (A.11) asendame $\int_a^b s f(s) ds$ avaldisega (A.12). Jooniselt A.7 näeme, et $s_c \tan \alpha = z_c$, kus z_c on lineaarselt muutuv epüüris $\varphi(s)$ epüüri $f(s)$ pindala Ω raskuskeskme kohal olev ordinaat. Eelnenut arvesse võttes avaldame integraali (A.11) järgmiselt:

$$I = \int_a^b f(s) \varphi(s) ds = \Omega z_c \quad (\text{A.13})$$

Epüüri kuju	Epüüri pindala	Raskuskeskme kaugus
	$l h$	$(1/2)l$
	$(1/2) h$	$(1/3)l$
	$(1/3) h$	$(1/4)l$
	$(2/3) h$	$(5/8)l$

Joonis A.8. Epüüride pindalad

Seega on epüüride $\varphi(s)$, $f(s)$ ordinaatide korrutise integraal lõigul $[a, b]$ võrdne korrutisega, mille üheks teguriks on epüüri pindala Ω ja teiseks teguriks lineaarselt muutuv epüüris ordinaat z_c , mis on kohakuti pindala Ω raskuskeskme (jn A.7). Korrutis Ωz_c on positiivne, kui koormusest põhjustatud epüür $f(s)$ ja ordinaat z_c on sama märgiga. Joonisel A.8 on näidatud lihtsate epüüride pindalad ja nende raskuskeskmete kaugused. Epüüri raskuskeskme arvutamise asemel on lihtsam kasutada Simpsoni valemit.

A.2.2 Simpsoni valem

Simpsoni^{2,3} valemi puhul jagame pideva funktsiooni $f(x)$ integreerimisel lõigu $[a, b]$ pikkusega l pooleks ($l/2$ ja $l/2$). Siis

$$I = \int_a^b f(s) ds = \frac{l}{6} [f(a) + 4 \cdot f(c) + f(b)] \quad (\text{A.14})$$

kus

$f(a)$ – funktsiooni väärtus lõigu alguses;

$f(c)$ – funktsiooni väärtus lõigu keskel;

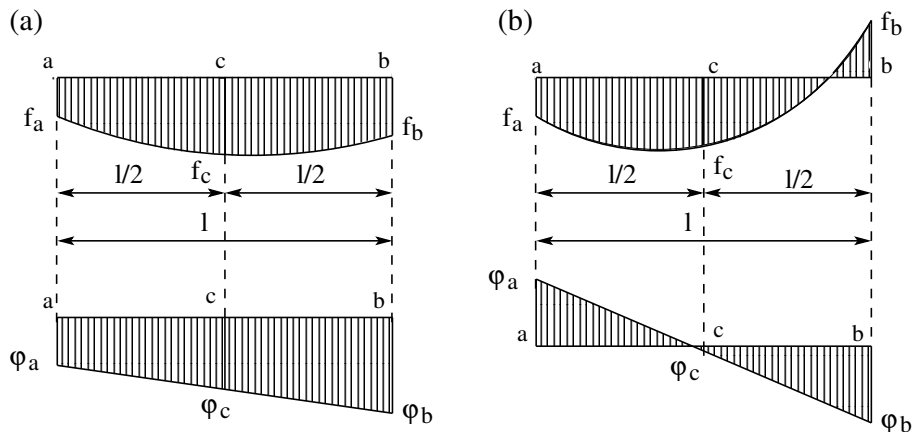
$f(b)$ – funktsiooni väärtus lõigu lõpus.

Simpsoni valem (A.14) annab täpse tulemuse kuni kuuppolünoomini. Integreerimisvahemiku a – b jagamisel paarisarvuliseks n võrdseks osaks $\Delta s = l/n$ võtab Simpsoni valem kuju

$$I = \int_a^b f(s) ds \approx \frac{\Delta s}{3} [f_0 + 4 \cdot f_1 + 2 \cdot f_2 + 4 \cdot f_3 + 2 \cdot f_4 + \dots \\ \dots + 2 \cdot f_{n-2} + 4 \cdot f_{n-1} + f_n] \quad (\text{A.15})$$

² Thomas Simpson (1710–1761), inglise matemaatik.

³ <http://www-groups.dcs.st-and.ac.uk/~history/Biographies/Simpson.html>



Joonis A.9. Märgid Simpsoni valemis

Joonisel **A.9a** on funktsioonide $f(s)$ ja $\varphi(s)$ epüüride ordinaadid sama märgiga. Joonisel **A.9b** on funktsioonide ordinaatidel epüüride otstes erinevad märgid. Korrutise integraali arvutamiseks rakendame Simpsoni valemit (A.14)

$$I = \int_a^b f(s) \varphi(s) ds = \frac{l}{6} [\varphi_a f_a + 4 \cdot \varphi_c f_c + \varphi_b f_b] \quad (\text{A.16})$$

Siin on korrutised $\varphi_a f_a$, $\varphi_c f_c$ ja $\varphi_b f_b$ positiivsed, kui epüüride ordinaadid on varda samal poolel, ja negatiivsed, kui epüüride ordinaadid on vastandmärkidega. Näiteks joonisel **A.9b** on lõigu algul (punktis a) ja lõpus (punktis b) epüüride ordinaatide korrutis negatiivne, kuna ordinaadid on suunatud eri poole. Lõigu keskel (punktis c) on ordinaatide korrutis positiivne. Simpsoni valem (A.16) annab täpse tulemuse lineaarsete epüüride ning lineaarse ja ruutparaboolse epüüri korrutamisel. Kõrgemat järku epüüride puhul tuleb kasutada Simpsoni 3/8-valemit (A.22).

Numbrilisel integreerimisel Simpsoni valemiga (A.16) kasutame arvutusprogrammi *GNU Octave*. Korrutame vektorid **a** (A.17) ja **b** (A.18) elementide kaupa (Hadamard'i⁴ korrutis)⁵. Korrutamise tulemuseks on avaldis (A.19).

$$\mathbf{a} = [\varphi_a \quad \varphi_c \quad \varphi_b] \quad (\text{A.17})$$

$$\mathbf{b} = [f_a \quad f_c \quad f_b] \quad (\text{A.18})$$

$$\mathbf{a} \cdot \mathbf{b} = [\varphi_a \cdot f_a \quad \varphi_c \cdot f_c \quad \varphi_b \cdot f_b] \quad (\text{A.19})$$

Võtame kasutusele Simpsoni valemi kordajaid sisaldava vektori \mathbf{spH} , mille transponeeritud kuju on

$$\mathbf{spH}' = \frac{l}{6} [1 \quad 4 \quad 1] \quad (\text{A.20})$$

⁴ Jacques Salomon Hadamard (1865–1963), prantsuse matemaatik.

⁵ https://en.wikipedia.org/wiki/Hadamard_product_%28matrices%29

Elementi elemendiga korrutades saadud tulemuse (A.19) korrutame skalaarselt vektoriga (A.20). Tulemuseks on Simpsoni valem (A.16)

$$\mathbf{a} \cdot \mathbf{b} \cdot \mathbf{spH} = \frac{l}{6} [\varphi_a \cdot f_a \quad \varphi_c \cdot f_c \quad \varphi_b \cdot f_b] \begin{bmatrix} 1 \\ 4 \\ 1 \end{bmatrix} = \frac{l}{6} [\varphi_a f_a + 4 \cdot \varphi_c f_c + \varphi_b f_b] \quad (\text{A.21})$$

A.2.3 Simpsoni 3/8-valem

Kasutades Simpsoni 3/8-valemit pideva funktsiooni $f(x)$ integreerimisel, jagame lõigu $[a, b]$ pikkusega l kolmeks ($l/3, l/3$ ja $l/3$):

$$\int_a^b f(x) dx = \frac{l}{8} [f(a) + 3 \cdot f(c) + 3 \cdot f(d) + f(b)] \quad (\text{A.22})$$

kus

$f(a)$ – funktsiooni väärtus lõigu alguses;

$f(c)$ – funktsiooni väärtus $\frac{1}{3}$ lõigul;

$f(d)$ – funktsiooni väärtus $\frac{2}{3}$ lõigul;

$f(b)$ – funktsiooni väärtus lõigu lõpus.

A.3 Sektortsentrifugaalmomendid

Õhukeseseinalise varda ristlõike **sektortsentrifugaalmoment** pinnakeset läbiva keskeatelje y või z suhtes avaldub integraalina

$$I_{\omega y} = \int_A z \omega dA, \quad I_{\omega z} = \int_A y \omega dA \quad (\text{A.23})$$

kus

ω – sektoripindala e sektorkoordinaat;

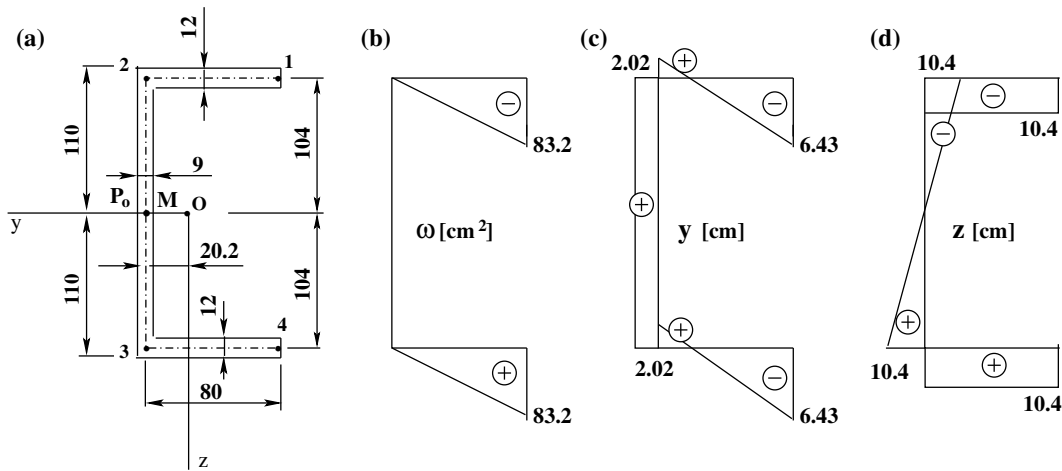
A – ristlõike pindala.

Kui ristlõikes on lõike ühtlase paksusega δ_i , siis staatilise sektormomendi arvutus lihtsustub. Keskjoone elemendi ds pikkusele vastava pinnaelemendi dA pindala on siis $\delta_i ds$.

$$I_{\omega y} = \sum_{i=1}^n \delta_i \int_{s_i} z \omega ds, \quad I_{\omega z} = \sum_{i=1}^n \delta_i \int_{s_i} y \omega ds \quad (\text{A.24})$$

Siinsed integraalid võib arvutada Vereštšagini võttega (A.13) või Simpsoni valemiga (A.16). Viimasel juhul tuleb koostada funktsioonide $\omega(s)$, $y(s)$ ja $z(s)$ graafikud (epüürid).

Näide A.3 (sektortsentrifugaalmomendid). Arvutada joonisel A.10a kujutatud õhukeseseinalise varda ristlõike sektortsentrifugaalmoment y - ja z -telje suhtes.



Joonis A.10. Sektortsentrifugaalmoment

Pooluse P_o ja koordinaadi alguspunkti M valime keskjoonel nii, nagu on näidatud joonisel **A.10a**. Pooluse P_o selline valik võimaldab arvutust lihtsustada. Punkti 1 sektorkoordinaat $\omega_1 = -8.0 \cdot 10.4 = -83.2 \text{ cm}^2$.

Ristlõike pinnakeskme asukoha leidmiseks arvutame esmalt ristlõike pindala A :

$$A = 2(8.0 - 0.45)1.2 + 22 \cdot 0.9 = 37.92 \text{ cm}^2 \quad (\text{A.25})$$

Ristlõike pinnakeskme kaugus y_o vertikaalsest keskjoonest

$$y_o = 2(8.0 - 0.45)1.2(8 + 0.45) / (2 \cdot 37.92) = 2.0189 \text{ cm} \quad (\text{A.26})$$

Joonisel **A.10a** on ristlõike keskpeateljed y ja z . Nende telgede suhtes sektortsentrifugaalmomente arvutades kasutame Vereštšagini võtet (**A.13**).

$$I_{\omega z} = \sum_{i=1}^n \delta_i \int_{s_i} y \omega ds = 0 \quad (\text{A.27})$$

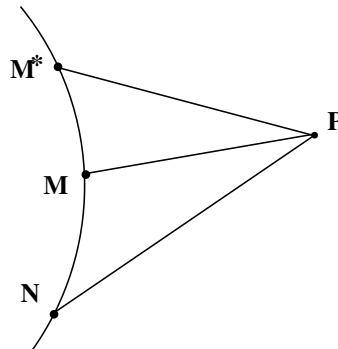
$$I_{\omega y} = \sum_{i=1}^n \delta_i \int_{s_i} z \omega ds = \sum_{i=1}^3 \delta_i z_c \Omega = 2 \cdot 1.2 \cdot 10.4(8 \cdot 83.2) / 2 = 8306.7 \text{ cm}^5 \quad (\text{A.28})$$

A.4 Sektorkoordinaadi teisendused

Vaatleme sektorkoordinaadi alguspunkti ja pooluse teisendust.

A.4.1 Sektorkoordinaadi alguspunkti muutmine

Vaatame, kuidas muutub keskjoonel asuva punkti N (jn **A.11**) sektorkoordinaat ω tema alguspunkti M^* üleviimisel punkti M (parema käe teljestiku puhul on raadiusvektori pööre vastupäeva positiivne).



Joonis A.11. Sektorkoordinaadi alguspunkti muutmine

Punkti N sektorkoordinaat alguspunktiga M*

$$\omega_N^* = 2 \cdot \triangle PM^*N \quad (\text{A.29})$$

punkti M sektorkoordinaat alguspunktiga M*

$$\omega_M^* = 2 \cdot \triangle PM^*M \quad (\text{A.30})$$

ning punkti N sektorkoordinaat alguspunktiga M

$$\omega_N = 2 \cdot \triangle PMN - 2 \cdot \triangle PM^*M = \omega_N^* - \omega_M^* \quad (\text{A.31})$$

Märgid avaldises (A.31) kehtivad raadiusvektori pöördel vastupäeva.

A.4.2 Sektorkoordinaadi pooluse muutmine

Vaatame, kuidas muutub sektorkoordinaat ω tema pooluse P_o üleviimisel punkti P (jn A.12a). Võtame kasutusele parema käe teljestiku, mille puhul on raadiusvektori pööre vastupäeva positiivne.

Sektorkoordinaadi diferentsiaalid $d\omega_{P_o}$ (poolus P_o) ja $d\omega_P$ (poolus P):

$$d\omega_{P_o} = r_o ds \quad (\text{A.32})$$

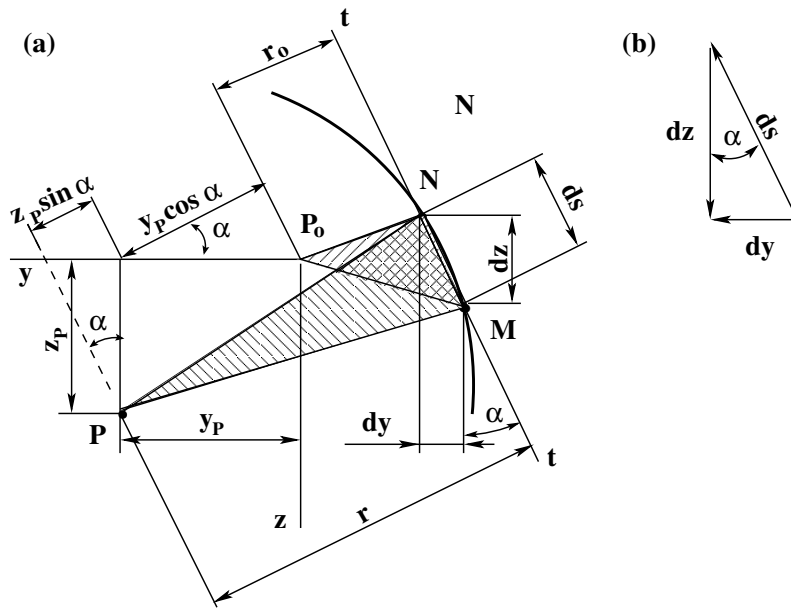
$$d\omega_P = r ds \quad (\text{A.33})$$

Jooniselt A.12a näeme, et

$$r = r_o + z_P \sin \alpha + y_P \cos \alpha \quad (\text{A.34})$$

kus α tähistab nurka keskjoone puutuja $t - t$ (punktis M) ja z-telje vahel. Jooniselt A.12b saame seosed

$$dy = ds \sin \alpha, \quad dz = -ds \cos \alpha \quad (\text{A.35})$$



Joonis A.12. Sektorkoordinaadi pooluse muutmine

Siit leiame

$$\sin \alpha = \frac{dy}{ds}, \quad \cos \alpha = -\frac{dz}{ds} \quad (\text{A.36})$$

Saadud seosed asetame avaldisse (A.34):

$$r = r_o + z_P \frac{dy}{ds} - y_P \frac{dz}{ds} \quad (\text{A.37})$$

Sektorkoordinaadi diferentsiaali $d\omega_P$ (A.33) kirjutame kujul

$$d\omega = r ds = r_o ds + z_P dy - y_P dz \quad (\text{A.38})$$

ehk

$$d\omega = d\omega_o + z_P dy - y_P dz \quad (\text{A.39})$$

Avaldist (A.39) integreerides saame

$$\omega = \omega_o + z_P y - y_P z + C \quad (\text{A.40})$$

kus C on integreerimiskonstant.

A.5 Lõikekese

Poolust, mille puhul sektortsentrifugaalmomendid $I_{\omega y}$, $I_{\omega z}$ on võrdsed nulliga, nimetatakse lõikekeskmeks [KMPR12, lk 233] (sks Schubmittelpunkt, ingl shear center, vn центр изгиба).

$$I_{\omega y} = \int_A \omega z dA = \int_A (\omega_o + z_P y - y_P z + C) z dA = 0 \quad (\text{A.41})$$

$$I_{\omega z} = \int_A \omega y dA = \int_A (\omega_o + z_P y - y_P z + C) y dA = 0 \quad (\text{A.42})$$

Kasutatud on ka terminit paindekese [Jür85, lk 229]. Varda lõikekeskmeid ühendavat joont nimetame **elastseks teljeks** (sks Schubmittelachse, ingl elastic axis e line of shear centers, вп линия центров изгиба).

Õhukeseseinalise varda pinnakeskmes võtame kasutusele parema käe teljestiku, kus y ja z on peateljed. Sel juhul võrduvad nulliga nii ristlõikepinna staatilised momendid S_y ja S_z kui ka tsentrifugaalmoment I_{yz} :

$$S_y = \int_A z \, dA = 0, \quad S_z = \int_A y \, dA = 0 \quad (\text{A.43})$$

$$I_{yz} = \int_A yz \, dA = 0, \quad I_{zy} = \int_A zy \, dA = 0 \quad (\text{A.44})$$

$$\underbrace{\int_A \omega_o y \, dA}_{I_{\omega_o z}} + z_P \underbrace{\int_A y^2 \, dA}_{I_z} - y_P \underbrace{\int_A zy \, dA}_{I_{zy}=0} + C \underbrace{\int_A y \, dA}_{S_z=0} = 0 \quad (\text{A.45})$$

$$\underbrace{\int_A \omega_o z \, dA}_{I_{\omega_o y}} + z_P \underbrace{\int_A yz \, dA}_{I_{yz}=0} - y_P \underbrace{\int_A z^2 \, dA}_{I_y} + C \underbrace{\int_A z \, dA}_{S_y=0} = 0 \quad (\text{A.46})$$

Tingimusi (A.43) ja (A.44) arvestades leiame võrranditest (A.45) ja (A.46) lõikekeskme koordinaadid z_P ja y_P :

$$z_P = - \frac{\int_A \omega_o y \, dA}{\int_A y^2 \, dA} = - \frac{I_{\omega_o z}}{I_z} \quad (\text{A.47})$$

$$y_P = \frac{\int_A \omega_o z \, dA}{\int_A z^2 \, dA} = \frac{I_{\omega_o y}}{I_y} \quad (\text{A.48})$$

Valemeid (A.47) ja (A.48) kasutatakse ka siis, kui esialgne poolus P_0 ei asu pinnakeskmes. Nüüd tuleb nende abil leitud lõikekeskme koordinaatidele z_P , y_P lisada pooluse P kaugus pinnakeskmest.

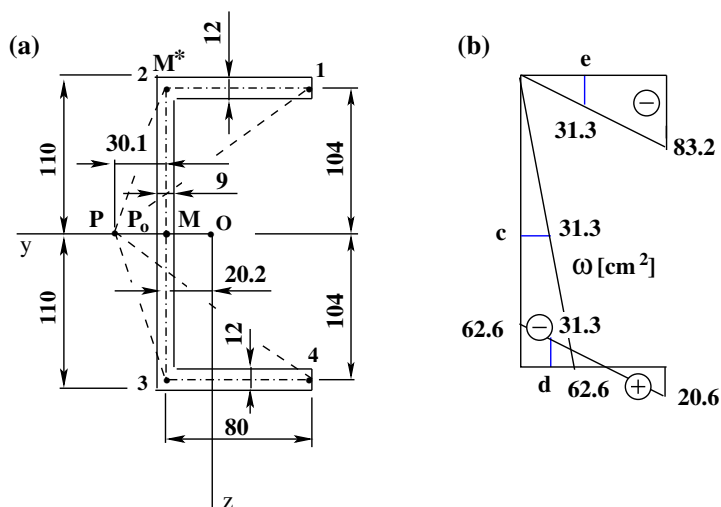
Kui ristlõikepinnal on sümmeetriatelg, siis asub pinna lõikekese sellel teljel.

Näide A.4 (õhukeseseinalise varda lõikekese). Arvutada joonisel A.13a kujutatud õhukeseseinalise varda ristlõike lõikekese. Ristlõikepinnal on sümmeetriatelg y , millel asub lõikekese y_P ($z_P = 0$). Ristlõikepinna sektortsentrifugaalmomendid $I_{\omega z} = 0$ (A.27) ja $I_{\omega y} = 8\,306.7 \text{ cm}^5$ (A.28).

Leiame ristlõike inertsimomendi I_y ja lõikekeskme koordinaadi y_P :

$$I_y = 2 \cdot \frac{7.55 \cdot 1.2^3}{12} + 2 \cdot 1.2 \cdot 7.55 \cdot 10.4^2 + \frac{0.9 \cdot 22.0^3}{12} = 2\,760.6 \text{ cm}^4 \quad (\text{A.49})$$

$$y_P = \frac{I_{\omega_o y}}{I_y} = \frac{8\,306.7}{2\,760.6} = 3.01 \text{ cm} \quad (\text{A.50})$$



Joonis A.13. Sektorkoordinaadi nullpunktid

Lõikekeskme P kaugus keskjoonest on 3.01 cm. Ristlõike keskme O ja lõikekeskme P vaheline kaugus on $3.01 + 2.02 = 5.03$ cm ($y_o = 2.0189$ cm (A.26)).

Punktide 1, 2, 3 ja 4 (jn A.13b) sektorkoordinaadid:

$$\begin{aligned}\omega_1 &= -2 \cdot \triangle P21 = -8.0 \cdot 10.4 = -83.2 \text{ cm}^2 \\ \omega_2 &= 0.0 \\ \omega_3 &= -2 \cdot \triangle P23 = -3.009 \cdot 20.8 = -62.587 \text{ cm}^2 \\ \omega_4 &= -2 \cdot \triangle P23 + 2 \cdot \triangle P34 = -62.587 + 8.0 \cdot 10.4 = 20.613 \text{ cm}^2\end{aligned}\quad (\text{A.51})$$

A.6 Sektorkoordinaadi peanullpunkt

Sektorkoordinaadi nullpunktiks nimetatakse sellist sektorkoordinaadi alguspunkti, mille puhul kogu kujundi staatiline sektormoment võrdub nulliga:

$$S_\omega = \int_A \omega dA = 0 \quad (\text{A.52})$$

Valime pooluse lõikekeskmesse P (jn A.13a). Paigutame sektorkoordinaadi alguspunkti M^* punkti 2. Olgu otsitava sektorkoordinaadi nullpunkt M , siis tema sektorkoordinaat on ω_M .

$$\int_A (\omega_N - \omega_M) dA = 0 \quad (\text{A.53})$$

Nullpunkti sektorkoordinaat ω_M on konstantne suurus, mille võib tuua integraalimärgi alt välja:

$$\int_A \omega_N dA - \omega_M \int_A dA = 0 \quad (\text{A.54})$$

Siit leiame nullpunkti sektorkoordinaadi

$$\omega_M = \frac{\int_A \omega_N dA}{\int_A dA} = \frac{S_\omega}{A} \quad (\text{A.55})$$

Sektorkoordinaadi nullpunkte võib olla mitu. Peanullpunkt on lõikekeskmele kõige lähemal. Kui ristlõikekujundil on sümmeetriatelg, siis peanullpunkt asub sellel teljel.

Näide A.5 (sektorkoordinaadi peanullpunkt). *Leida joonisel A.13a toodud õhukeseseinalise varda sektorkoordinaadi peanullpunkt. Valime pooluse lõikekeskmesse P ja sektorkoordinaadi alguspunkti M* punkti 2 (jn A.13a, kus raadiusvektori pööre vastupäeva on positiivne). Ristlõikekujundi staatilise sektormomendi S_ω arvutame avaldise (A.7) järgi, kus Ω_i on epüüri ω (jn A.13b) pindala.*

$$S_\omega = \sum_{i=1}^3 \delta_i \Omega_i = 1.2 \frac{(-83.2 - 62.59 + 20.6) 8.0}{2} - 0.9 \frac{62.59 \cdot 20.8}{2} = -1186.8 \text{ cm}^4 \quad (\text{A.56})$$

Ristlõikekujundi pindala

$$A = 1.2 \cdot 8.0 \cdot 2 + 0.9 \cdot 20.8 = 37.92 \text{ cm}^2 \quad (\text{A.57})$$

Sektorkoordinaadi nullpunkt

$$\omega_M = \frac{S_\omega}{A} = \frac{-1186.8}{37.92} = -31.3 \text{ cm}^2 \quad (\text{A.58})$$

Sektorkoordinaadi epüüriilt (jn A.13b) näeme, et ω = -31.3 cm punktides c, d, e. Kõige lähemal lõikekeskmele P (jn A.13a) on ristlõike sümmeetriateljel asuv punkt c, mis on seega sektorkoordinaadi peanullpunkt.

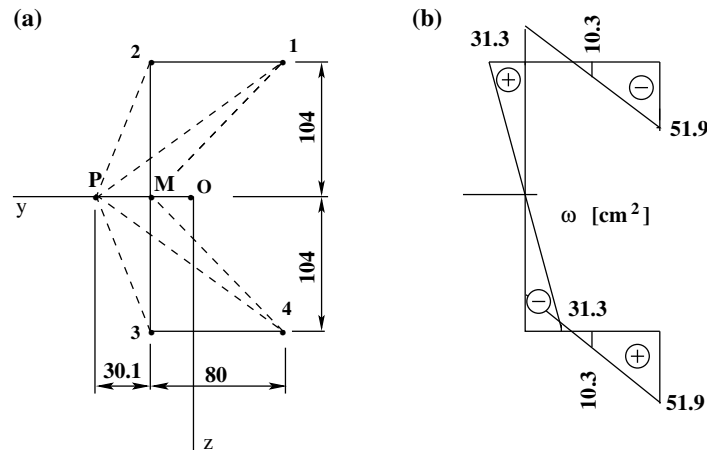
A.7 Peasektorkoordinaadid

Peasektorkoordinaatideks nimetatakse sektorkoordinaate, mille poolus on lõikekeskmes ja alguspunkt peanullpunktis. Peasektorkoordinaatide epüür on joonisel A.14b.

Näide A.6 (peasektorkoordinaatide epüür). *Koostada joonisel A.14a kujutatud õhukeseseinalise varda ristlõike keskjoone peasektorkoordinaatide epüür. Poolus asub punktis P ja peanullpunkt punktis M (ω_M = 0). Valime parema käe teljestiku, mille puhul on raadiusvektori pööre vastupäeva positiivne.*

$$\begin{aligned} \omega_2 &= 2 \cdot \triangle PM2 = 3.01 \cdot 10.4 = 31.304 \text{ cm}^2 \\ \omega_1 &= 2 \cdot \triangle PM2 - 2 \cdot \triangle P21 = 3.516 - 8 \cdot 10.4 = -51.896 \text{ cm}^2 \\ \omega_3 &= -2 \cdot \triangle PM3 = -3.01 \cdot 10.4 = -31.304 \text{ cm}^2 \\ \omega_4 &= -2 \cdot \triangle PM3 + 2 \cdot \triangle P34 = -31.304 + 8 \cdot 10.4 = 51.896 \text{ cm}^2 \end{aligned} \quad (\text{A.59})$$

Leitud tulemuste põhjal koostame peasektorkoordinaatide epüüri (jn A.14b).



Joonis A.14. Peasektorkoordinaadid

A.8 Sektorinertsimoment

Õhukeseseinalise varda ristlõike sektorinertsimoment I_ω on integraalina väljenduv summa:

$$I_\omega = \int_A \omega^2 dA \quad (\text{A.60})$$

Kui ristlõikes leidub sirgeid lõike ühtlase paksusega δ_i , siis sektorinertsimomendi arvutus lihtsustub:

$$I_\omega = \sum_{i=1}^n \delta_i \int_{s_i} \omega^2 \omega ds \quad (\text{A.61})$$

Siin võib integreerimiseks rakendada Vereštšagini võtet (A.13) või Simpsoni valemit (A.16).

Näide A.7 (sektorinertsimoment). Arvutada joonisel A.13 toodud ristlõike sektorinertsimoment I_ω . Peasektorkoordinaatide epüüri on joonisel A.14b. Numbrilisel integreerimisel kasutame Simpsoni valemit (A.16). Eelnevalt leiame peasektorkoordinaatide epüüri keskmesed väärtused $\omega_k = \pm(51.896 - 31.304)/2 = \pm 10.296 \text{ cm}^2$.

$$I_\omega = \sum_{i=1}^3 \delta_i \int_{s_i} \omega^3 ds = 2 \cdot 1.2 \cdot 8.0/6 (31.304^2 + 4 \cdot 10.296^2 + 51.896^2) + 2 \cdot 0.9 \cdot 10.4 \cdot 31.304^2/3 = 1.9226 \cdot 10^4 \text{ cm}^6 \quad (\text{A.62})$$

A.9 Valemid sektorinertsimomendi määramiseks

Õhukeseseinalise varda ristlõike sektorinertsimomendi I_ω , lõikekeskme kauguse e keskjoonest ja ristlõike väändeinertsimomendi I_t arvutamiseks kasutame valemeid tabelist „Properties of Sections“⁶⁷.

⁶ <http://www.steel-insdag.org/TeachingMaterial/Chapter17.pdf#page=2> (26.02.2014)

⁷ http://homepage.tudelft.nl/p3r3s/b16_chap7.pdf#page=8 (26.02.2014)

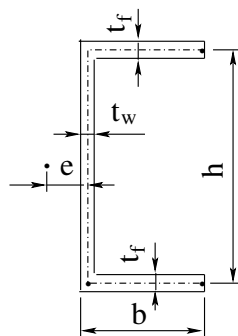
Näide A.8 (õhukeseseinaliste varraste ristlõike parameetrid). Arvutame joonisel A.15 näidatud õhukeseseinalise varda lõikekeskme ja keskjoone vahekauguse e , väändeinertsimomendi⁸ I_t ning ristlõike sektorinertsimomendi I_w :

$$e = \frac{3b^2t_f}{6bt_f + ht_w} \quad (\text{A.63})$$

$$I_t = \frac{2bt_f^3 + ht_w^3}{3} \quad (\text{A.64})$$

$$I_w = \frac{t_f b^3 h^2}{12} \frac{3bt_f + 2ht_w}{6bt_f + ht_w} \quad (\text{A.65})$$

Arvutamisel rakendame GNU Octave'i programmi *ohukeU(b,h,tf,tw)*. Programmis kasutatavad parameetrid b , h , t_f ja t_w on U-profilil (jn A.15) mõõtmised. Need võtame jooniselt A.13a: $b = 8$ cm, $h = 20.8$ cm, vöö paksus $t_f = 1.2$ cm, seina paksus $t_w = 0.9$ cm.



Joonis A.15. U-profiil

Arvustulemused on toodud arvutuspäeviku väljavõttes A.1. Võrdleme saadud tulemusi näites A.4 leitud lõikekeskme ja keskjoone vahekaugusega $e = 3.01891$ cm (A.50) ning näites A.7 leitud sektorinertsimomendiga $I_w = 1.9226 \cdot 10^4$ cm⁶. Võrdlus näitab, et programmiga arvutatud tulemused ühtivad näidetes leitudetega.

Väljavõte arvutuspäevikust A.1 (ohukeU.m)

```
octave:1> secU=ohukeU(8,20.8,1.2,0.9)
=====
          e      |      It      |      Iw
-----
secU =
  3.0189e+00    1.4270e+01    1.9226e+04
-----
octave:2>
```

⁸https://www.ioc.ee/~salupere/lk/elal_2014_ptk8_SirgeteVarrasteVaane_2.pdf#page=16 avaldis (8.60) (26.02.2014)

B. Töö õhukeseseinalise varda väändel

B.1 Väände töö

Õhukeseseinalise varda väändel tehtava töö avaldise saamiseks korrutame võrrandi

$$EI_\omega \frac{d^4\theta}{dx^4} - GI_t \frac{d^2\theta}{dx^2} - m_x(x) + b'_\omega(x) = 0 \quad (\text{B.1})$$

suvalise väändenurgaga $\hat{\theta}(x)$ ja integreerime üle varda l :

$$\int_a^b \left(EI_\omega \frac{d^4\theta}{dx^4} - GI_t \frac{d^2\theta}{dx^2} \right) \hat{\theta}(x) dx = \int_a^b (m_x(x) - b'_\omega(x)) \hat{\theta}(x) dx \quad (\text{B.2})$$

Saadud võrrandi parempoolne liige väljendab väliskoormuse tööd W_v väändel $\hat{\theta}$. Lisame koondkoormuse M_{x_i} töö ($M_{x_i}\hat{\theta}_i$) varda telje punkti i siirdel $\hat{\theta}_i$. Seega

$$W_v = \int_a^b (m_x(x) - b'_\omega(x)) \hat{\theta}(x) dx + M_{x_i}\hat{\theta}_i \quad (\text{B.3})$$

Nii nagu varda paindel [Lah12, lk 685], saame sise- ja rajajõudude töö avaldised võrrandi (B.2) vasakut poolt ositi integreerides (vt (1.38)).

Alustame võrrandi (B.2) vasaku poole esimesest liikmest:

$$\int_0^l \underbrace{\hat{\theta}}_u \underbrace{\frac{d}{dx} \left(\frac{d}{dx} EI_\omega \frac{d^2\theta}{dx^2} \right)}_{dv} dx = \underbrace{\left(\frac{d}{dx} EI_\omega \frac{d^2\theta}{dx^2} \right)}_{-T_\omega} \hat{\theta} \Big|_0^l - \int_0^l \underbrace{\frac{d}{dx} \left(EI_\omega \frac{d^2\theta}{dx^2} \right)}_{-B_\omega} \underbrace{\frac{d\hat{\theta}}{dx}}_{\hat{\theta}'} dx \quad (\text{B.4})$$

Nüüd integreerime avaldise (B.4) viimast liiget:

$$- \int_0^l \underbrace{\frac{d\hat{\theta}}{dx}}_u \underbrace{\frac{d}{dx} \left(EI_\omega \frac{d^2\theta}{dx^2} \right)}_{dv} dx = - \underbrace{\left(EI_\omega \frac{d^2\theta}{dx^2} \right)}_{-B_\omega} \underbrace{\frac{d\hat{\theta}}{dx}}_{\hat{\theta}'} \Big|_0^l + \int_0^l \underbrace{\left(EI_\omega \frac{d^2\theta}{dx^2} \right)}_{-B_\omega} \underbrace{\frac{d^2\hat{\theta}}{dx^2}}_{\hat{\theta}''} dx \quad (\text{B.5})$$

Võrrandi (B.2) vasaku poole teist liiget integreerides võtame u ja dv järgmiselt:

$$- \int_0^l \underbrace{\hat{\theta}}_u \underbrace{\frac{d}{dx} \left(GI_t \frac{d\theta}{dx} \right)}_{dv} dx = - \underbrace{\left(GI_t \frac{d\theta}{dx} \right)}_{T_t} \hat{\theta} \Big|_0^l + \int_0^l \underbrace{\left(GI_t \frac{d\theta}{dx} \right)}_{T_t} \underbrace{\frac{d\hat{\theta}}{dx}}_{\hat{\theta}'} dx \quad (\text{B.6})$$

Integreerime veel ositi võrrandi (B.2) parema poole teist liiget, võttes u ja dv järgmiselt:

$$- \int_0^l \underbrace{\hat{\theta}(x)}_u \underbrace{b'_\omega(x)}_{dv} dx = - b_\omega \hat{\theta} \Big|_0^l + \int_0^l b_\omega \hat{\theta}' dx \quad (\text{B.7})$$

Arvestades avaldisi (B.4), (B.5), (B.6) ja (B.7), võime võrrandi (B.2) esitada virtuaaltööde (passiivtööde) summana:

$$\begin{aligned} & \underbrace{\left[(T_{sum} - b_\omega) \hat{\theta} - B_\omega \hat{\theta}' \right] \Big|_0^l}_{W_r - \text{rajajõudude töö}} - \underbrace{\int_0^l \left[T_t \hat{\theta}' - B_\omega \hat{\theta}'' \right] dx}_{W_s - \text{sisejõudude töö}} + \\ & \underbrace{\int_a^b \left(m_x(x) \hat{\theta}(x) + b_\omega(x) \hat{\theta}'(x) \right) dx}_{W_k - \text{koormuse töö}} + M_{x_i} \hat{\theta}_i = 0 \end{aligned} \quad (\text{B.8})$$

Siin on arvestatud, et vabaväändemoment T_t ja kooldeväändemoment T_ω moodustavad kogu-väändemomendi $T_{sum} = T_t + T_\omega$.

Võttes arvesse, et rajajõudude töö W_r ja koormuse töö W_k summa moodustab välisjõudude töö $W_v = W_r + W_k$, saame elastsete varrassüsteemide energiateoreemi [Din11, lk 112]

$$W_s + W_v = 0 \quad (\text{B.9})$$

sõnastuse: *sise- ja välisjõudude tööde summa võimalikel siiretel*¹ võrdub nulliga.

Rajajõudude töö avaldisele võib anda kuju

$$W_r = \left[(T_{sum} - b_\omega) \hat{\theta} - B_\omega \hat{\theta}' \right] \Big|_0^l = \left[(T_t + T_\omega) \hat{\theta} - b_\omega \hat{\theta} - B_\omega \hat{\theta}' \right] \Big|_0^l \quad (\text{B.10})$$

Sisejõudude töö saab avaldada ka nii:

$$W_s = - \int_0^l \left[T_t \hat{\theta}' - B_\omega \hat{\theta}'' \right] dx = - \int_0^l \frac{T_t \hat{T}_t}{GI_t} dx - \int_0^l \frac{B_\omega \hat{B}_\omega}{EI_\omega} dx \quad (\text{B.11})$$

Siin on kasutatud vabaväändemomendi T_t ja bimomendi B_ω avaldisi

$$\hat{\theta}' = \frac{\hat{T}_t}{GI_t}, \quad \hat{\theta}'' = - \frac{\hat{B}_\omega}{EI_\omega} \quad (\text{B.12})$$

¹ <http://www.mh.ttu.ee/jkirs/Anal%3%bc%3%bctiline-mehaanika/Anal%3%bc%3%bctiline-meh-1.docx> (1.03.2016)

B.2 Varrassüsteemi rajaülesanne

Varrassüsteemi kuuluvad toed, sidemed ja jõud [Jür85, lk 6]. Välissidemeteks² nimetame varrassüsteemi kui terviku liikumist kitsendavaid tingimusi.³

Koormused⁴ tekitavad välissidemetes toereaktsioone, kusjuures nii koormus kui ka toereaktsioonid (välisreaktsioonid) on välisjõud.

Välissidemetest (tugedelt) vabastamise printsiip kujutab tervikliku varrassüsteemi „tugedelt lahtilõikamist“ ja nende mõju asendamist toesiirete ja toereaktsioonidega. Tugedele on ühed neist antud ja teised on tundmatud (vt rajajõudude töö (B.8)) ning määratakse ülesande lahendamiseks. Toesiirdeid ja toepöördeid nimetatakse kinemaatilisteks, toereaktsioone aga staatilisteks rajaväärtusteks (sks Randwert, ingl boundary value, вn граничное значение e краевое значение).

Varrassüsteemi elemendid (vardad) on omavahel ühendatud sisesidemetega [Jür85, lk 9]. Süsteemi elemendi „lahtilõikamisel“ asendame sisesidemed siirete ja reaktsioonidega. Viimaseid nimetatakse ka sisereaktsioonideks⁵. Varraste ühendussõlmedes määratakse siirete ja pöörete pidevustingimused. Tasakaalus olevas süsteemis on ka ühendussõlmed tasakaalus. Staatiline jõudude ülekande⁶ ühendussõlmes toimub kontaktjõududega⁷, mille resultant on null. Sisesidemete siirdeid ja pöörded nimetatakse kinemaatilisteks ning reaktsioone staatilisteks rajaväärtusteks.

Antud rajatingimustel (sks Randbedingung⁸, ingl boundary condition, вn граничное условие e краевое условие) varrassüsteemi elementide diferentsiaalvõrranditele lahendite leidmist nimetame *varrassüsteemi rajaülesandeks* (sks Randwertproblem⁹ e Randwertaufgabe, ingl boundary value problem¹⁰, вn граничная задача e краевая задача).

Varrassüsteemi rajaülesande lahendamiseks võib kasutada EST-meetodit [Lah14]¹¹.

² ./AJ_tugevus.djvu (3.12.2015)

³ http://www.ioc.ee/~salupere/lk/Staatika_2006.pdf#page=10 (22.02.2016)

⁴ https://www.ttu.ee/public/e/ehitusteaduskond/Instituudid/Ehitiste_projek-teerimise_instituut/Oppematerjalid/Projekteerimise_alused/Sissejuh_Omak_Kasus.pdf#page=6 (22.02.2016)

⁵ http://www.ce.memphis.edu/3121/notes/notes_04d.pdf (20.08.2013)

⁶ <https://de.wikipedia.org/wiki/Kraft%C3%BCbertragung> (20.08.2013)

⁷ https://en.wikipedia.org/wiki/Contact_force (20.08.2013)

⁸ <https://de.wikipedia.org/wiki/Randbedingung> (08.02.2016)

⁹ <https://de.wikipedia.org/wiki/Randwertproblem> (08.02.2016)

¹⁰ https://en.wikipedia.org/wiki/Boundary_value_problem (08.02.2016)

¹¹ <http://digi.lib.ttu.ee/i/?1717> (08.02.2016)

C. Põhivalemid

Esitame õhukeseseinalise tala painde ja takistatud väände ülekandevõrrandid maatrikskujul:

$$\mathbf{Z}_L(\mathbf{x}) = \mathbf{U} \cdot \mathbf{Z}_A + \overset{\circ}{\mathbf{Z}} \quad (\text{C.1})$$

kus \mathbf{Z}_A , \mathbf{Z}_L on vastavalt varda alguses ja lõpus olevad siirded, paindenurgad, põikjõud, paindemomendid, väändenurgad ja väändemomendid.

$$\mathbf{Z}_A = \begin{bmatrix} w_A \\ \varphi_A \\ Q_A \\ M_A \\ \theta_A \\ T_{tA} \\ B_{\omega A} \\ T_{\omega A} \end{bmatrix}, \quad \mathbf{Z}_L = \begin{bmatrix} w_L \\ \varphi_L \\ Q_L \\ M_L \\ \theta_L \\ T_{tL} \\ B_{\omega L} \\ T_{\omega L} \end{bmatrix} \quad (\text{C.2})$$

Ülekandemaatriks \mathbf{U} teise märgikokkuleppe puhul on

$$\mathbf{U}_{8 \times 8} = \begin{bmatrix} \mathbf{U}_{12(4 \times 4)} & 0 \\ 0 & \mathbf{U}_{22(4 \times 4)} \end{bmatrix} \quad (\text{C.3})$$

kus alammaatriks $\mathbf{U}_{12(4 \times 4)}$ kirjeldab tala painet (vt [Lah12, lk 688]¹):

$$\mathbf{U}_{12(4 \times 4)} = \begin{bmatrix} 1 & -x & -\frac{x}{GA_Q} + \frac{x^3}{6EI_y} & \frac{x^2}{2EI_y} \\ 0 & 1 & -\frac{x^2}{2EI_y} & -\frac{x}{EI_y} \\ 0 & 0 & -1 & 0 \\ 0 & 0 & -x & -1 \end{bmatrix} \quad (\text{C.4})$$

ning alammaatriks $\mathbf{U}_{22(4 \times 4)}$ õhukeseseinalise tala takistatud vääned:

$$\mathbf{U}_{22(4 \times 4)} = \begin{bmatrix} 1 & -\frac{1}{GI_t} x & \frac{1}{GI_t} (\text{ch } \kappa x - 1) & \frac{1}{GI_t} \frac{1}{\kappa} (\text{sh } \kappa x - \kappa x) \\ 0 & -1 & \kappa \text{sh } \kappa x & \text{ch } \kappa x - 1 \\ 0 & 0 & -\text{ch } \kappa x & -\frac{1}{\kappa} \text{sh } \kappa x \\ 0 & 0 & -\kappa \text{sh } \kappa x & -\text{ch } \kappa x \end{bmatrix} \quad (\text{C.5})$$

¹ http://digi.lib.ttu.ee/opik_eme/Ehitusmehaanika.pdf#equation.F.36

$\overset{\circ}{\mathbf{Z}}$ on tala koormusvektor, mis koosneb painde koormusvektorist $\overset{\circ}{\mathbf{Z}}_{11}$ ja takistatud väände koormusvektorist $\overset{\circ}{\mathbf{Z}}_{21}$:

$$\overset{\circ}{\mathbf{Z}} = \begin{bmatrix} \overset{\circ}{\mathbf{Z}}_{11} \\ \overset{\circ}{\mathbf{Z}}_{21} \end{bmatrix} \quad (\text{C.6})$$

Painde koormusvektori $\overset{\circ}{\mathbf{Z}}_{11}$ (vt [Lah12, avaldis (1.66)² ja tabel G.1³]) saab siirde w_e erilahendite tuletistest:

$$\overset{\circ}{\mathbf{Z}}_{11} = \begin{bmatrix} w_e \\ \varphi_e \\ Q_e \\ M_e \end{bmatrix} = \begin{bmatrix} w_e \\ -w'_e \\ -EIw_e''' \\ -EIw_e'' \end{bmatrix} = \begin{bmatrix} \sum \mathcal{M}_y \frac{(x-a_M)_+^2}{EI_y 2!} + \sum F_z \frac{(x-a_F)_+^3}{EI_y 3!} + \sum q_z \frac{(x-a_q)_+^4}{EI_y 4!} \\ -\sum \mathcal{M}_y \frac{(x-a_M)_+^1}{EI_y 1!} - \sum F_z \frac{(x-a_F)_+^2}{EI_y 2!} - \sum q_z \frac{(x-a_q)_+^3}{EI_y 3!} \\ -\sum F_z (x-a_F)_+^0 - \sum q_z (x-a_q)_+^1 \\ -\sum \mathcal{M}_y (x-a_M)_+^0 - \sum F_z (x-a_F)_+^1 - \sum q_z \frac{(x-a_q)_+^2}{2!} \end{bmatrix} \quad (\text{C.7})$$

Takistatud väände koormusvektori $\overset{\circ}{\mathbf{Z}}_{21}$ saab väändenurga θ_e erilahendite tuletistest:

$$\overset{\circ}{\mathbf{Z}}_{21} = \begin{bmatrix} \theta_e \\ T_{te} \\ B_{\omega e} \\ T_{\omega e} \end{bmatrix} = \begin{bmatrix} \theta_e \\ GI_t \theta'_e \\ -GI_t \frac{1}{\kappa^2} \theta''_e \\ -GI_t \frac{1}{\kappa^2} \theta'''_e \end{bmatrix} = \begin{bmatrix} \theta_e \\ EI_\omega \kappa^2 \theta'_e \\ EI_\omega \theta''_e \\ EI_\omega \theta'''_e \end{bmatrix} \quad (\text{C.8})$$

Koormusvektori $\overset{\circ}{\mathbf{Z}}$ valime tabelitest C.1 ja C.2.

Õhukeseseinalise tala painde ja takistatud väände ülekandevõrrandid võib kirjutada võrrandisüsteemina

$$\mathbf{U} \cdot \mathbf{Z}_A - \mathbf{I}_{8 \times 8} \cdot \mathbf{Z}_L = -\overset{\circ}{\mathbf{Z}} \quad (\text{C.9})$$

Lühemalt

$$\widehat{\mathbf{U}}_{8 \times 16} \cdot \widehat{\mathbf{Z}} = -\overset{\circ}{\mathbf{Z}} \quad (\text{C.10})$$

kus

$$\widehat{\mathbf{Z}} = \begin{bmatrix} \mathbf{Z}_A \\ \mathbf{Z}_L \end{bmatrix} \quad (\text{C.11})$$

² http://digi.lib.ttu.ee/opik_eme/Ehitusmehaanika.pdf#equation.1.66

³ http://digi.lib.ttu.ee/opik_eme/Ehitusmehaanika.pdf#table.G.1

kus

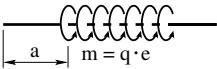
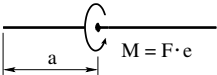
$$\mathbf{Z}_A = \begin{bmatrix} w_A \\ \varphi_A \\ Q_A \\ M_A \\ \theta_A \\ T_{tA} \\ B_{\omega A} \\ T_{\omega A} \end{bmatrix} = \begin{bmatrix} Z(1,1) \\ Z(2,1) \\ Z(3,1) \\ Z(4,1) \\ Z(5,1) \\ Z(6,1) \\ Z(7,1) \\ Z(8,1) \end{bmatrix}, \quad \mathbf{Z}_L = \begin{bmatrix} w_L \\ \varphi_L \\ Q_L \\ M_L \\ \theta_L \\ T_{tL} \\ B_{\omega L} \\ T_{\omega L} \end{bmatrix} = \begin{bmatrix} Z(9,1) \\ Z(10,1) \\ Z(11,1) \\ Z(12,1) \\ Z(13,1) \\ Z(14,1) \\ Z(15,1) \\ Z(16,1) \end{bmatrix} \quad (\text{C.12})$$

ning laiendatud ülekandemaatriks avaldub

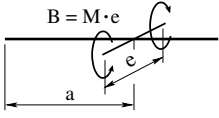
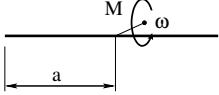
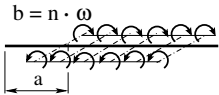
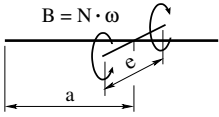
$$\widehat{\mathbf{U}}_{8 \times 16} = (\mathbf{U}_{8 \times 8} \mid -\mathbf{I}_{8 \times 8}) \quad (\text{C.13})$$

C.1 Koormusvektorid

Tabel C.1. Koormusvektorid õhukeseseinalise varda väändel (1)

Koormuse skeem	$\overset{\circ}{\mathbf{Z}}$	Vektori komponentide avaldised
	θ_e T_{te} $B_{\omega e}$ $T_{\omega e}$	$\frac{m_x}{GI_t} \frac{i_0}{\kappa^2} \left[\text{ch } \kappa (x - a)_+ - 1 - \kappa^2 \frac{(x - a)_+^2}{2} \right]$ $m_x \frac{1}{\kappa} [\text{sh } \kappa (x - a)_+ - \kappa (x - a)_+]$ $m_x \frac{1}{\kappa^2} [1 - \text{ch } \kappa (x - a)_+]$ $- m_x \frac{1}{\kappa} [\text{sh } \kappa (x - a)_+]$ yzWGMx.m
	θ_e T_{te} $B_{\omega e}$ $T_{\omega e}$	$\frac{M_x}{GI_t} \frac{i_0}{\kappa} [\text{sh } \kappa (x - a)_+ - \kappa (x - a)_+]$ $M_x [\text{ch } \kappa (x - a)_+ - 1]$ $- M_x \frac{1}{\kappa} [\text{sh } \kappa (x - a)_+]$ $- M_x [\text{ch } \kappa (x - a)_+]$ yzWGMx.m

Tabel C.2. Koormusvektorid õhukeseseinalise varda väändel (2)

Koormuse skeem	$\overset{\circ}{Z}$	Vektori komponentide avaldised
	θ_e T_{te} $B_{\omega e}$ $T_{\omega e}$	$\frac{B_k i_0}{G I_t} [\operatorname{ch} \kappa (x - a)_+ - 1]$ $B_k \kappa [\operatorname{sh} \kappa (x - a)_+]$ $- B_k [\operatorname{ch} \kappa (x - a)_+]$ $- B_k \kappa [\operatorname{sh} \kappa (x - a)_+]$ <p style="text-align: center; color: red;">yzWGBY.m</p>
	θ_e T_{te} $B_{\omega e}$ $T_{\omega e}$	$\frac{M \cdot \omega' i_0}{G I_t} [\operatorname{ch} \kappa (x - a)_+ - 1]$ $M \cdot \omega' \kappa [\operatorname{sh} \kappa (x - a)_+]$ $- M \cdot \omega' [\operatorname{ch} \kappa (x - a)_+]$ $- M \cdot \omega' \kappa [\operatorname{sh} \kappa (x - a)_+]$
	θ_e T_{te} $B_{\omega e}$ $T_{\omega e}$	$- \frac{n \cdot \omega i_0}{G I_t \kappa} [\operatorname{sh} \kappa (x - a)_+ - \kappa (x - a)_+]$ $- n \cdot \omega' [\operatorname{ch} \kappa (x - a)_+ - 1]$ $n \cdot \omega' \frac{1}{\kappa} [\operatorname{sh} \kappa (x - a)_+]$ $n \cdot \omega' [\operatorname{ch} \kappa (x - a)_+]$
	θ_e T_{te} $B_{\omega e}$ $T_{\omega e}$	$- \frac{N \cdot \omega i_0}{G I_t} [\operatorname{ch} \kappa (x - a)_+ - 1]$ $- N \cdot \omega' \kappa [\operatorname{sh} \kappa (x - a)_+]$ $N \cdot \omega' [\operatorname{ch} \kappa (x - a)_+]$ $N \cdot \omega' \kappa [\operatorname{sh} \kappa (x - a)_+]$

D. Vektorite teisendused

D.1 Kohalik ja üldteljestik

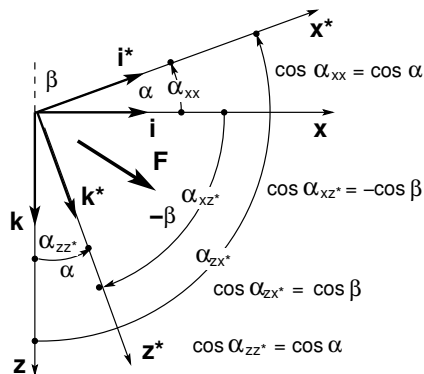
Konstruksioonivarraste asukohta ja suuna kirjeldamiseks kasutame üldteljestikku (teljed x ja z joonisel D.1). Varraskonstruksiooni iga vardaga seotakse teljestik x^*, z^* nii, et x^* -telg ühtib varda teljega. Nimetame x^* - ja z^* -telge kohalikuks teljestikuks.

Kasutame ainult parema käe teljestikku (jn A.3). Vaadates tasapinnalist konstruksiooni y -telje positiivsest otsast, loeme pöörde positiivseks z -teljest x -telje suunas. Parema käe teljestiku puhul on positiivne pööre vastupäeva. Siirete ja jõuvektorite kirjeldamiseks kohalikes ja üldkoordinaatides tuleb teha koordinaatide teisendused.

D.2 Koordinaatide teisendus

Koordinaatide teisendusvalemite tuletamiseks vaatleme joonist D.1. Olgu koordinaadid xyz üldkoordinaadid ja $x^*y^*z^*$ kohalikud koordinaadid. Vaatleme veel parema käe kolmikuid i, j, k ja i^*, j^*, k^* . Need on ühikvektorite kolmikud, mis määravad koordinaattelgede suuna. Joonisel D.1 on ühikvektorid j ja j^* suunatud vaataja poole. Vektori \vec{F} projektsioonid telgedele x, z on F_x, F_z , telgedele x^*, z^* aga F_x^*, F_z^* . Seega

$$\vec{F} = F_x \cdot \vec{i} + F_z \cdot \vec{k} = F_x^* \cdot \vec{i}^* + F_z^* \cdot \vec{k}^*, \quad \left\{ \begin{array}{l} \vec{i}^* \\ \vec{j}^* \\ \vec{k}^* \end{array} \right\}, \quad \left\{ \begin{array}{l} \vec{i} \\ \vec{j} \\ \vec{k} \end{array} \right\} \quad (\text{D.1})$$



Joonis D.1. Koordinaatide teisendus

Korrutame avaldise (D.1) vektoritega \vec{i}^* ja \vec{k}^* . Võtame arvesse, et risti olevate vektorite skalaarkorrutis (sisekorrutis) on null. Saame

$$\begin{aligned}\vec{\mathbf{F}} \cdot \vec{i}^* &= F_x^* = F_x \cdot \vec{i} \cdot \vec{i}^* + F_z \cdot \vec{k} \cdot \vec{i}^* \\ \vec{\mathbf{F}} \cdot \vec{k}^* &= F_z^* = F_x \cdot \vec{i} \cdot \vec{k}^* + F_z \cdot \vec{k} \cdot \vec{k}^*\end{aligned}\quad (\text{D.2})$$

Pöördseoste leidmiseks korrutame avaldist (D.1) vektoritega \vec{i} ja \vec{k} :

$$\begin{aligned}\vec{\mathbf{F}} \cdot \vec{i} &= F_x = F_x^* \cdot \vec{i}^* \cdot \vec{i} + F_z^* \cdot \vec{k}^* \cdot \vec{i} \\ \vec{\mathbf{F}} \cdot \vec{k} &= F_z = F_x^* \cdot \vec{i}^* \cdot \vec{k} + F_z^* \cdot \vec{k}^* \cdot \vec{k}\end{aligned}\quad (\text{D.3})$$

Ühikvektorite skalaarkorrutis võrdub nende positiivsete suundade vahelise nurga koosinusega:

$$\begin{aligned}\vec{i} \cdot \vec{i}^* &= \vec{i}^* \cdot \vec{i} = \cos \alpha_{xx^*}, & \vec{i} \cdot \vec{k}^* &= \cos \alpha_{xz^*} \\ \vec{k} \cdot \vec{k}^* &= \vec{k}^* \cdot \vec{k} = \cos \alpha_{zz^*}, & \vec{i}^* \cdot \vec{k} &= \cos \alpha_{zx^*}\end{aligned}\quad (\text{D.4})$$

Telje x^* suunakoosinused tähistame järgmiselt: $\cos \alpha_{xx^*} = \cos \alpha$ ja $\cos \alpha_{zx^*} = \cos \beta$ ($\cos \beta = \cos(90^\circ + \alpha) = -\sin \alpha$). Jooniselt D.1 näeme, et

$$\begin{aligned}\cos \alpha_{xx^*} &= \cos \alpha, & \cos \alpha_{zx^*} &= \cos \beta \\ \cos \alpha_{zz^*} &= \cos \alpha, & \cos \alpha_{xz^*} &= -\cos \beta\end{aligned}\quad (\text{D.5})$$

Suunakoosinused arvutame varda lõpu ja alguse koordinaatide x_L, z_L, x_A, z_A (jn D.2) järgi:

$$\cos \alpha = \frac{x_L - x_A}{l} \quad (\text{D.6})$$

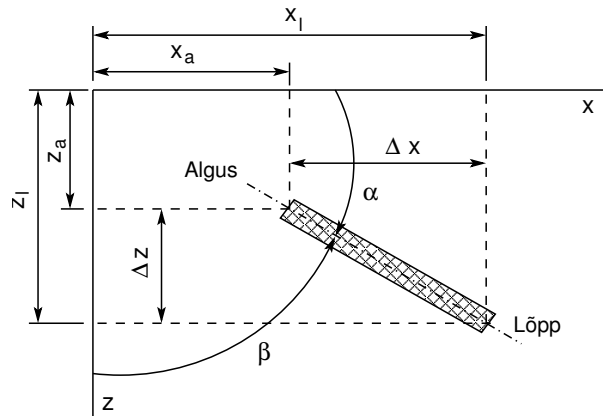
$$\cos \beta = \frac{z_L - z_A}{l} \quad (\text{D.7})$$

kus varda pikkus

$$l = \sqrt{(z_L - z_A)^2 + (x_L - x_A)^2} \quad (\text{D.8})$$

Nüüd avaldame koordinaatide teisenduse:

$$\begin{bmatrix} F_x^* \\ F_z^* \end{bmatrix} = \begin{bmatrix} \cos \alpha & \cos \beta \\ -\cos \beta & \cos \alpha \end{bmatrix} \begin{bmatrix} F_x \\ F_z \end{bmatrix} \quad (\text{D.9})$$



Joonis D.2. Varda suunakoosinused

Koordinaatide pöördteisendus:

$$\begin{bmatrix} F_x \\ F_z \end{bmatrix} = \begin{bmatrix} \cos \alpha & -\cos \beta \\ \cos \beta & \cos \alpha \end{bmatrix} \begin{bmatrix} F_x^* \\ F_z^* \end{bmatrix} \quad (\text{D.10})$$

Võrreldes koordinaatide teisendusmaatrikseid avaldistes (D.9) ja (D.10), näeme, et nendes on read ja veerud vahetatud, s.t ühe saab teisest *transposeerimisel*. Asendades F_x ja F_z võrrandis (D.9) nende avaldistega võrrandis (D.10), saame maatrikskorrutise

$$\begin{bmatrix} \cos \alpha & \cos \beta \\ -\cos \beta & \cos \alpha \end{bmatrix} \begin{bmatrix} \cos \alpha & -\cos \beta \\ \cos \beta & \cos \alpha \end{bmatrix} = \begin{bmatrix} 1 & 0 \\ 0 & 1 \end{bmatrix} \quad (\text{D.11})$$

Siin annab maatriksi korrutamise tema transposeeritud kujuga ühikmaatriksi. Selliseid maatrikseid nimetatakse *ortogonaalseteks*. Ortogonaalse maatriksi pöördmaatriks võrdub tema transposeeritud kujuga (mõlemal juhul on korrutiseks ühikmaatriks).

Arvestades, et $\cos \beta = \cos (90^\circ + \alpha) = -\sin \alpha$, võime seosed (D.9) kirjutada kujul

$$\begin{bmatrix} F_x^* \\ F_z^* \end{bmatrix} = \begin{bmatrix} \cos \alpha & -\sin \alpha \\ \sin \alpha & \cos \alpha \end{bmatrix} \begin{bmatrix} F_x \\ F_z \end{bmatrix} \quad (\text{D.12})$$

ja pöördteisenduse

$$\begin{bmatrix} F_x \\ F_z \end{bmatrix} = \begin{bmatrix} \cos \alpha & \sin \alpha \\ -\sin \alpha & \cos \alpha \end{bmatrix} \begin{bmatrix} F_x^* \\ F_z^* \end{bmatrix} \quad (\text{D.13})$$

Koordinaatide teisendus pöördel nurga α võrra:
– ümber z^* -telje

$$\begin{bmatrix} x \\ y \\ z \end{bmatrix} = R_{z^*}(\alpha) \begin{bmatrix} x^* \\ y^* \\ z^* \end{bmatrix} = \begin{bmatrix} \cos \alpha & \sin \alpha & 0 \\ -\sin \alpha & \cos \alpha & 0 \\ 0 & 0 & 1 \end{bmatrix} \begin{bmatrix} x^* \\ y^* \\ z^* \end{bmatrix} \quad (\text{D.14})$$

– ümber x^* -telje

$$\begin{bmatrix} x \\ y \\ z \end{bmatrix} = R_{x^*}(\alpha) \begin{bmatrix} x^* \\ y^* \\ z^* \end{bmatrix} = \begin{bmatrix} 1 & 0 & 0 \\ 0 & \cos \alpha & -\sin \alpha \\ 0 & \sin \alpha & \cos \alpha \end{bmatrix} \begin{bmatrix} x^* \\ y^* \\ z^* \end{bmatrix} \quad (\text{D.15})$$

– ümber y^* -telje

$$\begin{bmatrix} x \\ y \\ z \end{bmatrix} = R_{y^*}(\alpha) \begin{bmatrix} x^* \\ y^* \\ z^* \end{bmatrix} = \begin{bmatrix} \cos \alpha & 0 & -\sin \alpha \\ 0 & 1 & 0 \\ \sin \alpha & 0 & \cos \alpha \end{bmatrix} \begin{bmatrix} x^* \\ y^* \\ z^* \end{bmatrix} \quad (\text{D.16})$$

Näide D.1 (vektorite teisendus pöördel). Olgu antud varda väändnurga vektor $\theta_x^{(1)}$ ja paindenurga vektor $\varphi_y^{(1)}$. Kohalike koordinaatide x^* , y^* pöördel ümber z^* -telje nurga $-\pi/2$ võrra

$$\begin{bmatrix} \theta_x^{(2)} \\ \varphi_y^{(2)} \\ z^* \end{bmatrix} = R_{x^*} \begin{bmatrix} x^* \\ y^* \\ z^* \end{bmatrix} = \begin{bmatrix} \cos(\pi/2) & \sin(\pi/2) & 0 \\ -\sin(\pi/2) & \cos(\pi/2) & 0 \\ 0 & 0 & 1 \end{bmatrix} \begin{bmatrix} \theta_x^{(1)} \\ \varphi_y^{(1)} \\ z^* \end{bmatrix} \quad (\text{D.17})$$

Siit saame

$$\theta_x^{(2)} + \varphi_y^{(1)} = 0 \quad (\text{D.18})$$

$$\varphi_y^{(2)} - \theta_x^{(1)} = 0 \quad (\text{D.19})$$

Avaldised (D.18) ja (D.19) selgitavad, kuidas tuleb pöörete vektorid kontakti panna.

Murdepunktis peavad olema tasakaalus koguväändemomendi vektor $T_{sum\ x}^{(1)}$ ja paindemomendi vektor $M_y^{(1)}$ ning vektorid $T_{sum\ x}^{(2)}$ ja $M_y^{(2)}$:

$$T_{sum\ x}^{(2)} - M_y^{(1)} = 0 \quad (\text{D.20})$$

$$M_y^{(2)} + T_{sum\ x}^{(1)} = 0 \quad (\text{D.21})$$

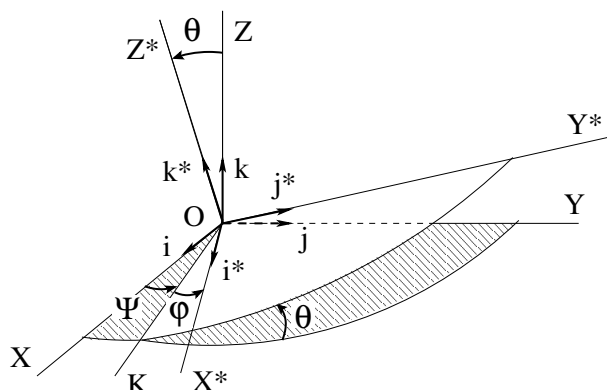
Võttes arvesse, et koguväändmoment T_{sum} koosneb vabaväändemomendist T_t ja kooldeväändemomendist T_ω ($T_{sum} = T_t + T_\omega$), saame sõlme tasakaaluvõrranditeks

$$T_{tx}^{(2)} + T_{\omega x}^{(2)} - M_y^{(1)} = 0 \quad (\text{D.22})$$

$$M_y^{(2)} + T_{tx}^{(1)} + T_{\omega x}^{(1)} = 0 \quad (\text{D.23})$$

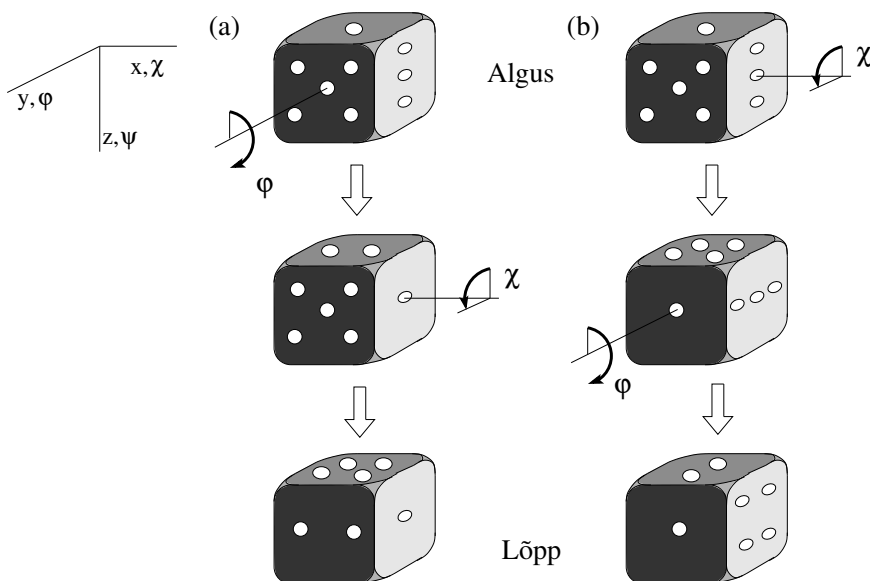
D.3 Jäiga keha pööre

Kinnispunkti ümber liikuva jäiga keha (jn D.3) asendi määramiseks kasutatakse *Euleri nurki* θ , ψ ja φ [LR71]. Vaatleme üldist (globaalset) Cartesiuse ristkoordinaadistikku X, Y, Z ja kohalikku (lokaalset) ristkoordinaadistikku X^*, Y^*, Z^* , mis on seotud jäiga kehaga. Tasandite OXY ja OX^*Y^* lõikejoont OK nimetatakse *sõlmjooneks*. Positiivse suuna sõlmjoonel määrame nii, et pöördel Z -teljelt Z^* -teljele väiksemat nurka θ mööda tekiks parema käe teljestik.

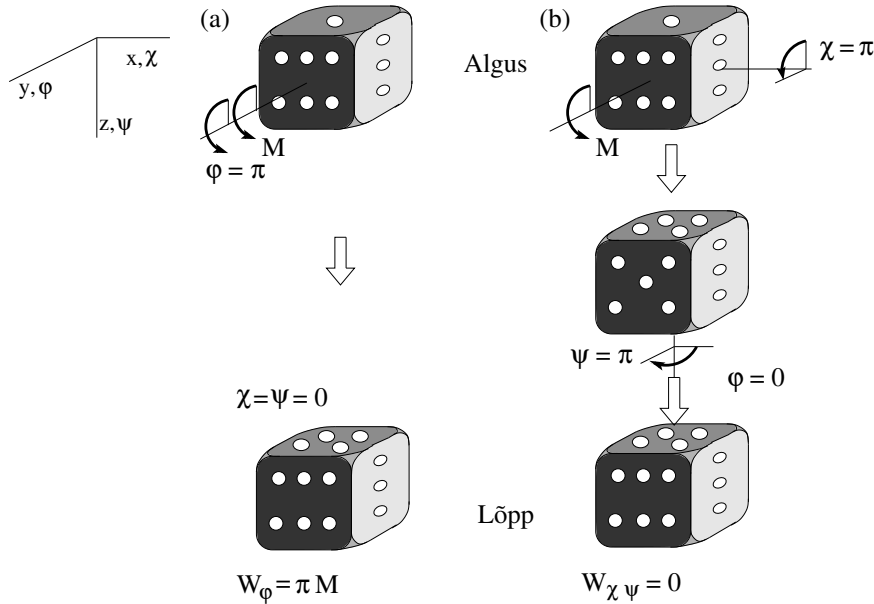


Joonis D.3. Euleri nurgad

Euleri nurkade jaoks on kasutusele võetud erinimetused, mis on pärit astronoomiast. Nii nimetatakse nurka θ *nutatsiooninurgaks*, nurka ψ *pretsessiooninurgaks* ja nurka φ *omapöördenurgaks*. Analoogilised nimetused on ka telgedel, mille ümber nimetatud pöörded toimuvad: Z -telge nimetatakse *pretsessiooniteljeks*, sõlmjoont OK *nutatsiooniteljeks* ja Z^* -telge *omapöörlemisteljeks*.



Joonis D.4. Pöördenurkade mittekonserveerivsus fikseeritud telgede suhtes



Joonis D.5. Momentide mittekonservatiivsus fikseeritud telgede suhtes

Lineaarses paindeteoorias vaadeldakse pöördenurki fikseeritud telgede suhtes. Näitame, et suurte (lõplike) pöördenurkade puhul ei kehti pöörete *kommutatiivsus*. Võrdleme joonisel D.4 näidatud pöörded x- ja y-telje ümber. Joonisel D.4a teeme pöörded $\varphi = 1/2\pi$ ja $\chi = 1/2\pi$ ümber y- ja x-telje, joonisel D.4b pöörded $\chi = 1/2\pi$ ja $\varphi = 1/2\pi$ ümber x- ja y-telje. Pöörete algasendid on samad, lõppasendid aga erinevad, seega pöörded ümber fikseeritud telgede ei ole vahetatavad, kommutatiivsed [Arg82].

Edasi vaatleme jäika keha, millele mõjub moment y-telje suhtes (jn D.5a). Pöördel φ ümber y-telje teeb moment M positiivset tööd $W_\varphi = \pi M$. Jäiga keha sama lõppasendi (jn D.5b) saame pööretega χ ja ψ ümber x- ja z-telje. Viimati vaadeldud pööretel moment M tööd ei tee, s.t $W_{\chi\psi} = 0$. Nii sõltub töö fikseeritud telgede puhul tee (pöördenurkade) kujust ja on *mittekonservatiivne* [Zie77].

D.4 Kvaasi- ja semitangentsiaalsed momendid

Kvaasi-¹ ja semitangentsiaalse² momendi mõistet [Kre09, lk 59] kasutatakse lõplike pöörete puhul lõplike elementide meetodis [GS94], [YM86].

Kvaasitangentsiaalne moment

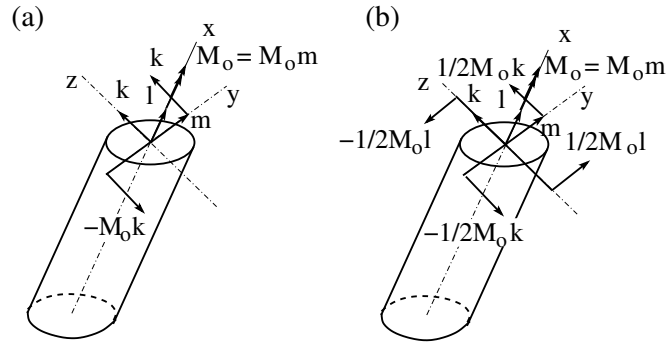
Vaatleme kvaasitangentsiaalse momendi rakendust (jn D.6a). Võtame kasutusele jäiga jõuõla, mis on risti varda teljega. Jõuõla suuna määrab ühikvektora l . Rakendame varda ristlõikesse jõupaari $M_o k$.

$$M_o = l \times M_o k = M_o m \quad (D.24)$$

kus ühikvektorid k ja m on risti.

¹ Kvaasi- (ld *quasi* 'just nagu') peaaegu.

² Semi- (ld *semi* 'pool') pool-.



Joonis D.6. Kvaasi- ja semitangentsiaalsed momendid

Rakendame varda otsa väikese pöörde $\vec{\varphi}$. Uueks jõuõlaks saab

$$\mathbf{I}^* = \mathbf{I} + \vec{\varphi} \times \mathbf{l} \quad (\text{D.25})$$

ning uueks momendiks

$$\mathbf{M}^q = \mathbf{l} \times M_o \mathbf{k} \quad (\text{D.26})$$

Momendi juurdekasv

$$\begin{aligned} \mathbf{M}_{\Delta}^q &= \mathbf{M}^q - \mathbf{M}_o = M_o (\mathbf{I}^* - \mathbf{I}) \times \mathbf{k} = M_o (\vec{\varphi} \times \mathbf{l}) \times \mathbf{k} = \\ &= M_o (\vec{\varphi} \cdot \mathbf{k}) \mathbf{l} \end{aligned} \quad (\text{D.27})$$

Ülemine indeks q osutab siin kvaasitangentsiaalsele momendile.

Semitangentsiaalne moment

Vaatleme *semitangentsiaalse momendi* rakendust (jn **D.6b**), kus momendil on kaks teineteisega risti olevat jõuõlga. Rakendatav moment

$$\mathbf{M}_o = \mathbf{l} \times \frac{1}{2} M_o \mathbf{k} - \mathbf{k} \times \frac{1}{2} M_o \mathbf{l} = M_o \mathbf{m} \quad (\text{D.28})$$

on sama suur kui kvaasitangentsiaalne moment (**D.24**).

Rakendame varda otsa pöörde $\vec{\varphi}$, jättes momendid $\frac{1}{2} M_o \mathbf{l}$ ja $\frac{1}{2} M_o \mathbf{k}$ konstantseks. Jõuõlg (vektor) \mathbf{k} muutub nii nagu \mathbf{l} (**D.25**):

$$\mathbf{k}^* = \mathbf{k} + \vec{\varphi} \times \mathbf{k} \quad (\text{D.29})$$

Semitangentsiaalse momendi juurdekasv

$$\mathbf{M}_{\Delta}^s = \mathbf{I}^* \times \frac{1}{2} M_o \mathbf{k} - \mathbf{k}^* \times \frac{1}{2} M_o \mathbf{l} - \mathbf{M}_o \quad (\text{D.30})$$

Asetades \mathbf{l} , \mathbf{k} ja \mathbf{M}_o avaldised (**D.25**), (**D.29**), (**D.28**) võrrandisse (**D.30**), saame

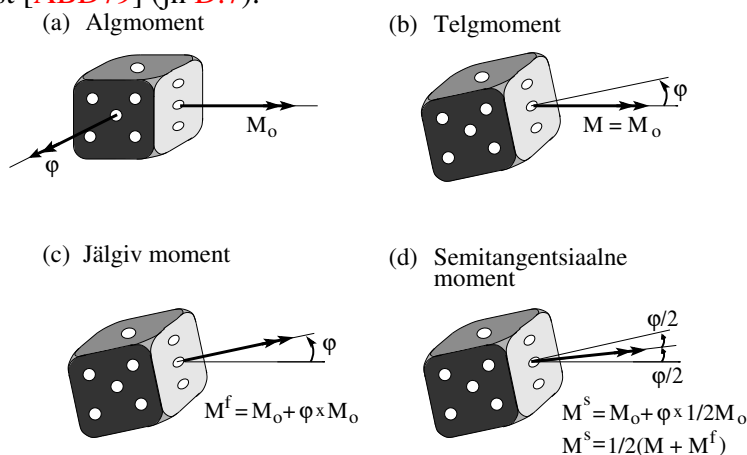
$$\mathbf{M}_{\Delta}^s = \frac{1}{2} M_o [(\vec{\varphi} \times \mathbf{l}) \times \mathbf{k} - (\vec{\varphi} \times \mathbf{k}) \times \mathbf{l}] = \frac{1}{2} M_o \vec{\varphi} \times \mathbf{m} = \frac{1}{2} \vec{\varphi} \times \mathbf{M}_o \quad (\text{D.31})$$

Ülemine indeks s osutab siin semitangentsiaalsele momendile.

Jälgiva momendi³ (ingl *follower moment*) juurdekasv

$$\mathbf{M}_{\Delta}^f = \vec{\varphi} \times \mathbf{M}_o \quad (\text{D.32})$$

Semitangentsiaalset momenti võib vaadelda kui fikseeritud momendi ja jälgiva momendi keskmist väärtust [ABD79] (jn D.7).



Joonis D.7. Jälgiv ja semitangentsiaalne moment

Joonisel:

- (b) *telgmoment* M – moment ümber fikseeritud telje Lagrange'i koordinaatides;
- (c) *jälgiv moment* M^f – moment kaasaliikuvates Lagrange'i koordinaatides;
- (d) *semitangentsiaalne moment* M^s – momentide M , M^f aritmeetiline keskmine:

$$M^s = \frac{1}{2}M + M^f \quad (\text{D.33})$$

D.5 Kvaasi- ja semitangentsiaalsed pöörded

Semitangentsiaalsetele momentidele (jn D.7) vastavaid pöörded nimetatakse semitangentsiaalseteks (jn D.8). Semitangentsiaalne pööre on jälgiva pöörded ja telgpöörded (pööre ümber fikseeritud telje) aritmeetiline keskmine.

Semitangentsiaalse pöörded kommutatiivsus

Semitangentsiaalsete pöörded kirjeldamiseks kasutame tähistust

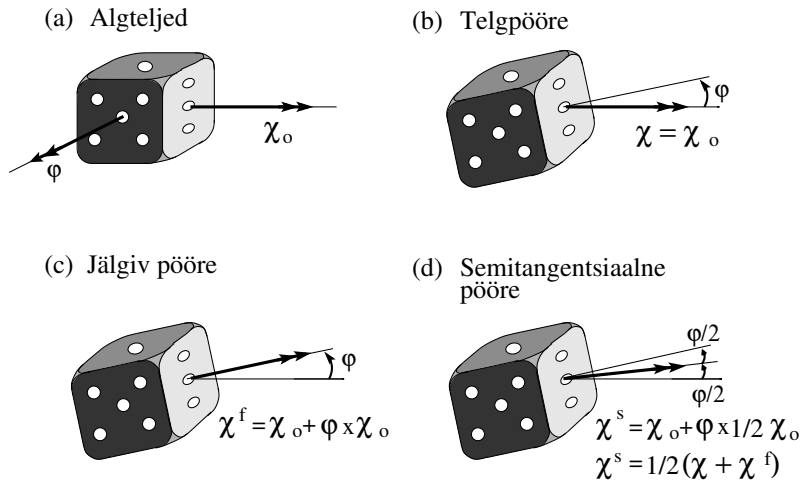
$$\mathbf{T}(\varphi^s) = \frac{1}{2}(\varphi + \varphi^f) \quad (\text{D.34})$$

$$\mathbf{T}(\chi^s) = \frac{1}{2}(\chi + \chi^f) \quad (\text{D.35})$$

Pöörded järjestus joonisel D.9:

- (a) *telgpöörded* $\varphi = \frac{\pi}{2} \Rightarrow \chi = \frac{\pi}{2}$;
- (b) *jälgivad pöörded* $\varphi = \frac{\pi}{2} \Rightarrow \chi^f = \frac{\pi}{2}$;
- (c) *telgpöörded vastupidises järjestuses* $\chi = \frac{\pi}{2} \Rightarrow \varphi = \frac{\pi}{2}$.

³ Moment järgneb tema rakenduspunkti pöördedele.



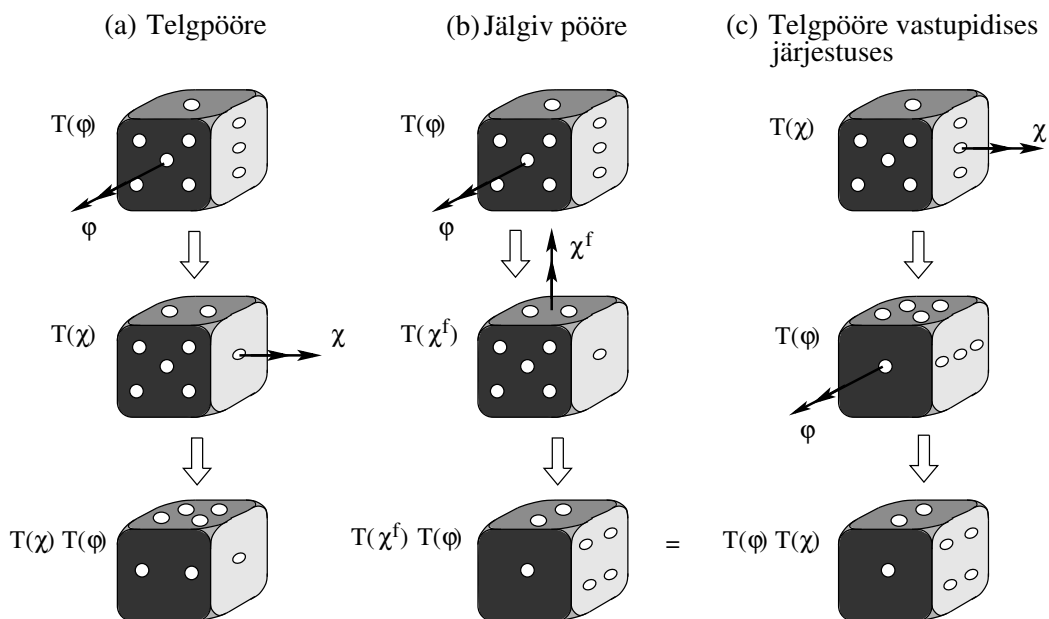
Joonis D.8. Jälgiv ja semitangentsiaalne pööre

Näitame, et semitangentsiaalsete pöörete järjestusest $\mathbf{T}(\chi^s) \Rightarrow \mathbf{T}(\varphi^s)$ või $\mathbf{T}(\varphi^s) \Rightarrow \mathbf{T}(\chi^s)$ ei sõltu lõpptulemus:

$$\begin{aligned} \mathbf{T}(\chi^s) \mathbf{T}(\varphi^s) &= \frac{1}{2} [\mathbf{T}(\chi) \mathbf{T}(\varphi) + \mathbf{T}(\chi^f) \mathbf{T}(\varphi)] = \\ &= \frac{1}{2} [\mathbf{T}(\chi) \mathbf{T}(\varphi) + \mathbf{T}(\varphi) \mathbf{T}(\chi)] = \mathbf{T}(\varphi^s) \mathbf{T}(\chi^s) \end{aligned} \quad (\text{D.36})$$

Siin kasutasime joonisel D.9 olevat võrdust

$$\mathbf{T}(\chi^f) \mathbf{T}(\varphi) = \mathbf{T}(\varphi) \mathbf{T}(\chi) \quad (\text{D.37})$$



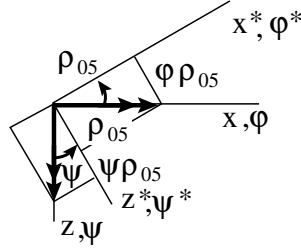
Joonis D.9. Semitangentsiaalsete pöörete kommutatiivsus

Semitangentsiaalsete pöörete reeglid

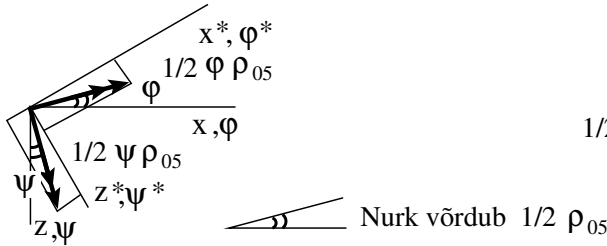
Semitangentsiaalsete pöörete puhul tuleb vahet teha järgmistel juhtudel (jn D.10):

- (a) koordinaadid pöörduvad, kuid ristlõige ei pöördu;
- (b) nii koordinaadid kui ka ristlõige pöörduvad;
- (c) ristlõige pöördub, kuid koordinaadid ei pöördu.

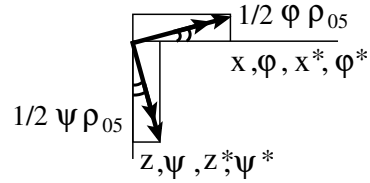
(a) Koordinaatide pööre



(b) Koordinaatide ja ristlõike pööre



(c) Ristlõike pööre



Joonis D.10. Semitangentsiaalsete pöörete reeglid

Alustame lihtsaima juhuga, kus koordinaadid pöörduvad, kuid ristlõige ei pöördu. Koordinaatide teisendus tehakse vektoritega $\varphi = \{\varphi, \chi, \psi\}$ ja $\varphi^* = \{\varphi^*, \chi^*, \psi^*\}$.

$$\varphi^* = (\mathbf{I}_3 + \mathbf{T}_R) \varphi \quad (\text{D.38})$$

kus \mathbf{I}_3 on 3×3 ühikmaatriks ja

$$\mathbf{T}_R = \begin{bmatrix} 0 & \rho_{06} & -\rho_{05} \\ -\rho_{06} & 0 & \rho_{04} \\ \rho_{05} & -\rho_{04} & 0 \end{bmatrix} \quad (\text{D.39})$$

Teisenduse (D.38) maatrikskuju:

$$\begin{bmatrix} \varphi^* \\ \chi^* \\ \psi^* \end{bmatrix} = \begin{bmatrix} 0 & \rho_{06} & -\rho_{05} \\ -\rho_{06} & 0 & \rho_{04} \\ \rho_{05} & -\rho_{04} & 0 \end{bmatrix} \begin{bmatrix} \varphi \\ \chi \\ \psi \end{bmatrix} \quad (\text{D.40})$$

Tasandilisel juhul $\chi = 0$, $\rho_{06} = 0$ (jn D.10a) teeme teisenduse

$$\begin{aligned} \varphi^* &= \varphi - \rho_{05}\psi \\ \psi^* &= \psi + \rho_{05}\varphi \end{aligned} \quad (\text{D.41})$$

Koordinaatide ja ristlõike samaaegsel pöördumisel

$$\varphi^* = \left(\mathbf{I}_3 + \frac{1}{2} \mathbf{T}_R \right) \varphi \quad (\text{D.42})$$

kus \mathbf{T}_R on antud avaldisega (D.39). Tasandilisel juhul $\chi = 0$, $\rho_{06} = 0$ (jn D.10b)

$$\begin{aligned} \varphi^* &= \varphi - \frac{1}{2} \rho_{05} \psi \\ \psi^* &= \psi + \frac{1}{2} \rho_{05} \varphi \end{aligned} \quad (\text{D.43})$$

Kui koordinaadid ei pöördu ja ristlõige pöördub (jn D.10c), siis

$$\varphi^* = \left(\mathbf{I}_3 - \frac{1}{2} \mathbf{T}_R \right) \varphi \quad (\text{D.44})$$

Tasandilisel juhul $\chi = 0$, $\rho_{06} = 0$ (jn D.10c) teeme teisenduse

$$\begin{aligned} \varphi^* &= \varphi + \frac{1}{2} \rho_{05} \psi \\ \psi^* &= \psi - \frac{1}{2} \rho_{05} \varphi \end{aligned} \quad (\text{D.45})$$

D.6 Pseudovektor

D.6.1 Suurte pöörete maatriksesitus

Lõplikud pöörded, nii nagu siirdedki, ei ole lineaarsed ega lihtsalt liidetavad. Geomeetriliselt mittelineaarses teoorias defineeris Argyris [Arg82] pöörde pseudovektori, mis on kasutusel näiteks programmpaketis ANSYS [ANS92].

$$\{\theta\} = \{\varphi \ \chi \ \psi\}^T = \theta \mathbf{e} \quad (\text{D.46})$$

kus φ , χ , ψ on pöörde θ komponendid ristkoordinaadistikus $Oxyz$.

$$\theta = \sqrt{\varphi^2 + \chi^2 + \psi^2} \quad (\text{D.47})$$

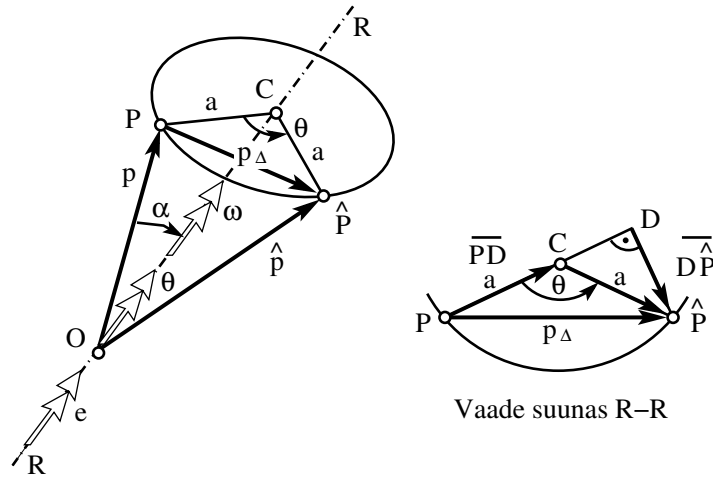
ja \mathbf{e} on pöörde teljesuunaline ühikvektor (jn D.11).

Pöörete abimaatriks on

$$[\mathbf{S}] = \begin{bmatrix} 0 & -\psi & \chi \\ \psi & 0 & -\varphi \\ -\chi & \varphi & 0 \end{bmatrix} \quad (\text{D.48})$$

Leiame pöörete teisendusmaatriksi $\mathbf{T}(\theta)$ nii, et kohavektor \mathbf{p} pöörduks uude asukohta $\hat{\mathbf{p}}$ (jn D.11):

$$\hat{\mathbf{p}} = \mathbf{T}(\theta) \mathbf{p} \quad (\text{D.49})$$



Joonis D.11. Pseudovektor

Teisendusmaatriks $\mathbf{T}(\theta)$ on mittelineaarne funktsioon pöördest θ .

Normeerime pöörete pseudovektori nii:

$$\{\varpi\} = \omega \{e\} \quad (\text{D.50})$$

kus $\{\varpi\}$ on pöörde pseudovektor pikkusega ω ja komponentidega ω_1 , ω_2 ja ω_3 . Kasutame Rankini ja Brogani [RB86] normaliseerimist

$$\omega = 2 \sin \frac{\theta}{2} \quad (\text{D.51})$$

mis seob θ ja ω :

$$\{\varpi\} = 2 \sin \frac{\theta}{2} \{e\} \quad (\text{D.52})$$

Teisendusmaatriks \mathbf{T} [RB86] on seoses pöördega $\{\varpi\}$ või pöördega $\{\theta\}$.

$$[\mathbf{T}] = [\mathbf{I}_3] + \sqrt{1 - \left(\frac{\omega}{2}\right)^2} [\mathbf{T}] + \frac{1}{2} [\mathbf{\Omega}] \quad (\text{D.53})$$

kus \mathbf{I}_3 on 3×3 ühikmaatriks ja $\mathbf{\Omega}$ pöörete abimaatriks:

$$[\mathbf{\Omega}] = \begin{bmatrix} 0 & -\omega_z & \omega_y \\ \omega_z & 0 & -\omega_x \\ -\omega_y & \omega_x & 0 \end{bmatrix} \quad (\text{D.54})$$

Kui pseudovektor on moodustatud ja normaliseeritud, siis määrame lõplike pöörete teisenduse võrrandi (D.53) abil. Vastupidi, kui lõplike pöörete teisendus on teada, siis määrame pseudovektori $\{\varpi\}$ avaldisest

$$[\mathbf{\Omega}] = \frac{1}{\sqrt{1 + \gamma}} \left([\mathbf{T}] - [\mathbf{T}]^T \right) \quad (\text{D.55})$$

kus γ on maatriksi $[\mathbf{T}]$ jälg:

$$\gamma = T_{11} + T_{22} + T_{33} \quad (\text{D.56})$$

D.6.2 Üksik pseudovektor

Argyris [Arg82] vaatleb järjestikeste pööretega ekvivalentset üksikut pseudovektorit θ .

Määrame pseudovektori ω :

$$\{\omega\} = \{\omega_x \ \omega_y \ \omega_z\} = \tan \frac{\theta}{2} \{\mathbf{e}\} \quad (\text{D.57})$$

ja pseudovektorile $\{\omega\}$ vastava abimaatriksi:

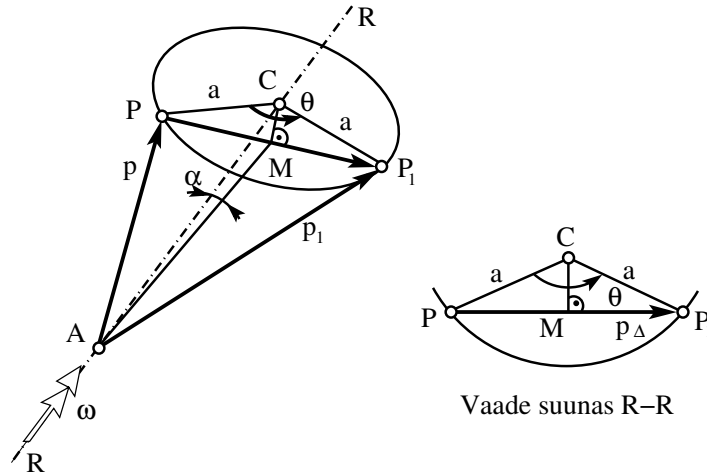
$$[\Omega] = \begin{bmatrix} 0 & -\omega_z & \omega_y \\ \omega_z & 0 & -\omega_x \\ -\omega_y & \omega_x & 0 \end{bmatrix} = \frac{\tan \frac{\theta}{2}}{\theta} \begin{bmatrix} 0 & -\psi & \chi \\ \psi & 0 & -\varphi \\ -\chi & \varphi & 0 \end{bmatrix} = \frac{1}{2} \frac{\tan \frac{\theta}{2}}{\frac{\theta}{2}} [\mathbf{S}] \quad (\text{D.58})$$

Vaatleme joonist D.12, kus punkt M on lõigu $\overline{PP_1} = \mathbf{p}_\Delta$ keskpunkt. Lõik

$$\overline{AM} = \frac{1}{2} (\mathbf{p} + \mathbf{p}_1) \quad \text{ehk} \quad \mathbf{p} + \mathbf{p}_1 = 2 \overline{AM} \quad (\text{D.59})$$

Jooniselt näeme, et

$$\mathbf{p} + \mathbf{p}_\Delta = \mathbf{p}_1 \quad \text{ehk} \quad \mathbf{p}_1 - \mathbf{p} = \mathbf{p}_\Delta \quad (\text{D.60})$$



Joonis D.12. Üksik pseudovektor

Et lõik \overline{CM} on risti lõiguga $\overline{PP_1}$, siis

$$\overline{PM} = \frac{1}{2} \mathbf{p}_\Delta = \overline{CM} \tan \frac{\theta}{2} \quad (\text{D.61})$$

Kuna \mathbf{p}_Δ on risti pseudovektoriga ω ja $2 \overline{AM} = \mathbf{p} + \mathbf{p}_1$, siis langeb ta kokku vektorkorrutisega $\omega \times (\mathbf{p} + \mathbf{p}_1)$. Arvestades, et pseudovektori ω ja lõigu \overline{AM} vaheline nurk on α , saame vektorkorrutise $|\omega \times (\mathbf{p} + \mathbf{p}_1)|$ suuruseks

$$\sin \alpha \cdot \tan \frac{\theta}{2} \cdot 2 \overline{AM} = \frac{\overline{CM}}{\overline{AM}} \cdot \tan \frac{\theta}{2} \cdot 2 \overline{AM} = 2 \overline{CM} \cdot \tan \frac{\theta}{2} = |\mathbf{p}_\Delta| \quad (\text{D.62})$$

Siit saame seose

$$\mathbf{p}_\Delta = \boldsymbol{\omega} \times (\mathbf{p} + \mathbf{p}_1) = \mathbf{p}_1 - \mathbf{p} \quad (\text{D.63})$$

Võttes arvesse määrangu (D.58), saame seose (D.63) esitada kujul

$$\mathbf{p}_1 - \mathbf{p} = \boldsymbol{\Omega} (\mathbf{p} + \mathbf{p}_1) \quad (\text{D.64})$$

Siin veendusime korrutiste $\boldsymbol{\omega} \times \mathbf{p}$ ja $\boldsymbol{\Omega}\mathbf{p}$ samaväärsuses.

D.6.3 Suured pöörded ja kvaternioonid

Eesmärgiks on üles ehitada pöörete pseudovektor $\{\theta_{n+1}\}$ eelmisest pseudovektorist $\{\theta_n\}$ juurdekasvu (inkremendi) $\{\Delta\theta\}$ abil. Argyris [Arg82] kasutas pöörete pseudovektori moodustamiseks *kvaternioone*⁴.

Kvaternioonide [BŠ73] mõiste võttis kasutusele W. R. Hamilton⁵ 1843. aastal. Kvaternioonid⁶ on defineeritud skaalari ja vektori summana [ANS92]:

$$\langle q \rangle = a + \{\mathbf{b}\} \quad (\text{D.65})$$

kus sulud $\langle \rangle$ tähistavad kvaterniooni. Kvaterniooni $\langle q \rangle$ skalaarne ja vektoriaalne osa on a ning $\{\mathbf{b}\}$. Kvaterniooni $\langle q \rangle$ norm $|q|$ arvutatakse järgmiselt:

$$|q| = \sqrt{a^2 + b_1^2 + b_2^2 + b_3^2} \quad (\text{D.66})$$

kus b_1, b_2 ja b_3 on vektori $\{\mathbf{b}\}$ komponendid. Kui $|q| = 1$, siis $\langle q \rangle$ on ühikkvaternioon. Olgu $\langle q_1 \rangle$ ja $\langle q_2 \rangle$ kaks kvaterniooni:

$$\langle q_1 \rangle = a + \{\mathbf{b}\} \quad (\text{D.67})$$

$$\langle q_2 \rangle = c + \{\mathbf{d}\} \quad (\text{D.68})$$

Kvaternioonide korrutis $\langle q_{12} \rangle$ avaldub viisil

$$\langle q_{12} \rangle = \langle q_1 \rangle \langle q_2 \rangle = ac - \{\mathbf{b}^T\} \{\mathbf{d}\} + c \{\mathbf{b}\} + a \{\mathbf{d}\} - \{\mathbf{b}\} \times \{\mathbf{d}\} \quad (\text{D.69})$$

Kvaterniooni $\langle q_{12} \rangle$ skalaarne $\mathbf{S}(q_{12})$ ja vektoriaalne $\{\mathbf{V}(q_{12})\}$ osa:

$$\mathbf{S}(q_{12}) = ac + \{\mathbf{b}^T\} \{\mathbf{d}\} \quad (\text{D.70})$$

$$\{\mathbf{V}(q_{12})\} = c \{\mathbf{b}\} + a \{\mathbf{d}\} - \{\mathbf{b}\} \times \{\mathbf{d}\} \quad (\text{D.71})$$

Argyris [Arg82, lk 150] esitab pseudovektori kujul

$$\langle q \rangle = \cos \frac{\theta}{2} + \sin \frac{\theta}{2} \{\mathbf{e}\} \quad (\text{D.72})$$

⁴ Kvaternioon (ld *quaterni* 'neljakaupa') arvkuju: $\alpha = a + bi + cj + dk$, kus a, b, c ja d on reaalarvud ning 1, i, j ja k kvaterniooniühikud.

⁵ Sir William Rowan Hamilton (1805–1865), iiri matemaatik ja füüsik.

⁶ <http://www.geometrictools.com/Documentation/Quaternions.pdf> (11.03.2016)

Siin on $\langle q \rangle$ ühikkvaternioon. Avaldiste (D.52), (D.50) abil saame pseudovektori (D.72) kujul

$$\langle q \rangle = \cos \frac{\theta}{2} + \frac{1}{2} \{ \mathbf{e} \} \quad (\text{D.73})$$

Pseudovektori moodustamisel vaatleme pöördeid $\{ \theta_n \}$ ja $\{ \Delta \theta \}$:

$$\langle q_n \rangle = \cos \frac{\theta_n}{2} + \frac{1}{2} \{ \omega_n \} \quad (\text{D.74})$$

$$\langle \Delta q \rangle = \cos \frac{\Delta \theta}{2} + \frac{1}{2} \{ \Delta \omega \} \quad (\text{D.75})$$

kus $\{ \omega_n \}$ on normaliseeritud $\{ \theta_n \}$ ja $\{ \Delta \omega \}$ on normaliseeritud $\{ \Delta \theta \}$.

Pseudovektori $\langle q_{n+1} \rangle$ moodustamiseks kasutatakse kvaternioonide korrutamist (D.69):

$$\begin{aligned} \langle q_{n+1} \rangle &= \langle \Delta q \rangle \langle q_n \rangle = \cos \frac{\theta_n}{2} \cos \frac{\Delta \theta}{2} - \frac{1}{4} \{ \omega_n \}^T \{ \Delta \omega \} + \\ &+ \frac{1}{2} \cos \frac{\Delta \theta}{2} \{ \omega_n \} + \frac{1}{2} \cos \frac{\theta_n}{2} \{ \Delta \omega \} - \frac{1}{4} \{ \omega_n \} \times \{ \Delta \omega \} \end{aligned} \quad (\text{D.76})$$

Pseudovektor $\langle q_{n+1} \rangle$ on ühikvektor, sest $\langle \Delta q \rangle$ ja $\langle q_n \rangle$ on ühikkvaternioonid. Pseudovektori $\langle q_{n+1} \rangle$ saab esitada kahel viisil:

$$\langle q_{n+1} \rangle = \cos \frac{\theta_{n+1}}{2} + \frac{1}{2} \{ \omega_{n+1} \} \quad (\text{D.77})$$

$$\langle q_{n+1} \rangle = \cos \frac{\theta_{n+1}}{2} + \sin \frac{\theta_{n+1}}{2} \{ \mathbf{e}_{n+1} \} \quad (\text{D.78})$$

Määrame kvaterniooni (D.76) skalaarse ja vektoriaalse osa:

$$\mathbf{S}(q_{n+1}) = \cos \frac{\theta_{n+1}}{2} = \cos \frac{\theta_n}{2} \cos \frac{\Delta \theta_n}{2} - \frac{1}{4} \{ \omega_n \}^T \{ \Delta \omega \} \quad (\text{D.79})$$

$$\{ \mathbf{V}(q_{n+1}) \} = \frac{1}{2} \{ \omega_{n+1} \} = \frac{1}{2} \cos \frac{\Delta \theta}{2} \{ \omega_n \} + \frac{1}{2} \cos \frac{\theta_n}{2} \{ \Delta \omega \} - \frac{1}{4} \{ \omega_n \} \times \{ \Delta \omega \} \quad (\text{D.80})$$

Pöördeid θ_{n+1} ja $\{ \omega_{n+1} \}$ leiame võrranditest (D.79) ja (D.80).

Tuleb arvestada, et nurk θ on piiratud pöördega $\pm \pi$. See piirang tuleneb siinusest, mille määramispiirkond on $0 \dots \pi$. Kui $|\theta|$ on suurem kui π , siis

$$\theta^* = \begin{cases} \theta & \text{kui } |\theta| \leq \pi \\ 2\pi - \theta & \text{kui } |\theta| > \pi \end{cases} \quad (\text{D.81})$$

E. Arvutiprogrammid

EST-meetodi arvutiprogrammid leiab raamatule lisatud CD-plaadilt vastavalt baasrajale (ingl base path) – file:///D:, file:///E:, file:///F:, file:///S:, file:///Z:, file:///media/cdrom0, file:///media/E_OPE. Arvutiprogrammide avamisest loe lk 4.

E.1 Programmid tala väände arvutamiseks

Programm E.1 (Naide2_1.m)¹ 56 – arvutab väändenurga θ ja momendid T_t , B_ω , T_ω ning T_{sum} lausmomendiga m_x koormatud konsoolis.

Kasutab funktsioone

- $y_{spWGvfmhvI}(baasi0, l, GI, EIw)^2$
- $y_{spWGfhlin}(baasi0, l, x, GI, EIw)^3$
- $y_{zWGmx}(baasi0, l, l, a, mx, GI, EIw)^4$
- $spInsertBtoA(spA, Iv, Jv, spB)^5$
- $InsertBtoA(Bvb, I, J, IM, JN, vB, M, N)^6$
- $spSisestaArv(spA, iv, jv, sv)^7$
- $ylWGfhlin(baasi0, l, x, GI, EIw)^8$
- $SisejoudWGmxpunktis(l, X, a, AlgP, mx, GI, EIw, suurus)^9$
- $minMaxGrfVnurk(Fv)^{10}$

Programm E.2 (Naide2_2.m)¹¹ 63 – arvutab väändenurga θ ja momendid T_t , B_ω , T_ω ning T_{sum} koondmomendiga M_x koormatud konsoolis.

Kasutab funktsioone

- $y_{spWGvfmhvI}(baasi0, l, GI, EIw)^{12}$

¹ ./octaveProgrammid/Naide2_1.m
² ./octaveProgrammid/yspWGvfmhvI.m
³ ./octaveProgrammid/yspWGfhlin.m
⁴ ./octaveProgrammid/yzWGmx.m
⁵ ./octaveProgrammid/spInsertBtoA.m
⁶ ./octaveProgrammid/InsertBtoA.m
⁷ ./octaveProgrammid/spSisestaArv.m
⁸ ./octaveProgrammid/ylWGfhlin.m
⁹ ./octaveProgrammid/SisejoudWGmxpunktis.m
¹⁰ ./octaveProgrammid/minMaxGrfVnurk.m
¹¹ ./octaveProgrammid/Naide2_2.m
¹² ./octaveProgrammid/yspWGvfmhvI.m

- *ySpWGfhlin(baasi0,l,x,GI,Elw)*¹³
- *yzWGMx(baasi0,l,x,a,Mx,GI,Elw)*¹⁴
- *spInsertBtoA(spA,Iv,IJv,spB)*¹⁵
- *InsertBtoA(Bvb,I,J,IM,JN,vB,M,N)*¹⁶
- *spSisestaArv(spA,iv,jv,sv)*¹⁷
- *ylWGfhlin(baasi0,l,x,GI,Elw)*¹⁸
- *SisejoudWGmxpunktis(l,X,a,AlgP,mx,GI,Elw,suurused)*¹⁹
- *minMaxGrfVnurk(Fvv)*²⁰

Programm E.3 (Naide2_3.m)²¹ 69 – arvutab väändenurga θ ja momendid T_t , B_ω , T_ω ning T_{sum} bimomendiga B_ω koormatud konsoolis.

Kasutab funktsioone

- *ySpWGvfmhvi(baasi0,l,GI,Elw)*²²
- *ySpWGfhlin(baasi0,l,x,GI,Elw)*²³
- *yzWGBY(baasi0,l,x,a,By,GI,Elw)*²⁴
- *spInsertBtoA(spA,Iv,IJv,spB)*²⁵
- *InsertBtoA(Bvb,I,J,IM,JN,vB,M,N)*²⁶
- *spSisestaArv(spA,iv,jv,sv)*²⁷
- *ylWGfhlin(baasi0,l,x,GI,Elw)*²⁸
- *SisejoudWGmxpunktis(l,X,a,AlgP,mx,GI,Elw,suurused)*²⁹
- *minMaxGrfVnurk(Fvv)*³⁰

Programm E.4 (Naide2_4.m)³¹ 75 – arvutab väändenurga θ ja momendid T_t , B_ω , T_ω ning T_{sum} lausmomendiga m_x koormatud talas.

-
- 13 ./octaveProgrammid/ySpWGfhlin.m
 - 14 ./octaveProgrammid/yzWGMx.m
 - 15 ./octaveProgrammid/spInsertBtoA.m
 - 16 ./octaveProgrammid/InsertBtoA.m
 - 17 ./octaveProgrammid/spSisestaArv.m
 - 18 ./octaveProgrammid/ylWGfhlin.m
 - 19 ./octaveProgrammid/SisejoudWGmxpunktis.m
 - 20 ./octaveProgrammid/minMaxGrfVnurk.m
 - 21 ./octaveProgrammid/Naide2_3.m
 - 22 ./octaveProgrammid/ySpWGvfmhvi.m
 - 23 ./octaveProgrammid/ySpWGfhlin.m
 - 24 ./octaveProgrammid/yzWGBY.m
 - 25 ./octaveProgrammid/spInsertBtoA.m
 - 26 ./octaveProgrammid/InsertBtoA.m
 - 27 ./octaveProgrammid/spSisestaArv.m
 - 28 ./octaveProgrammid/ylWGfhlin.m
 - 29 ./octaveProgrammid/SisejoudWGmxpunktis.m
 - 30 ./octaveProgrammid/minMaxGrfVnurk.m
 - 31 ./octaveProgrammid/Naide2_4.m

Kasutab funktsioone

- *yspWgvfmhvI(baasi0,l,GI,Elw)*³²
- *yspWGFhlin(baasi0,l,x,GI,Elw)*³³
- *yzWGMx(baasi0,l,l,a,mx,GI,Elw)*³⁴
- *spInsertBtoA(spA,Iv,IJv,spB)*³⁵
- *InsertBtoA(Bvb,I,J,IM,JN,vB,M,N)*³⁶
- *spSisestaArv(spA,iv,jv,sv)*³⁷
- *ylWGFhlin(baasi0,l,x,GI,Elw)*³⁸
- *SisejoudWGMxpunktis(l,X,a,AlgP,mx,GI,Elw,suurused)*³⁹
- *minMaxGrfVnurk(Fvv)*⁴⁰

Programm E.5 (Naide2_5.m)⁴¹ 82 – arvutab väändenurga θ ja momendid T_t , B_ω , T_ω ning T_{sum} koondmomendiga M_x koormatud talas.

Kasutab funktsioone

- *yspWgvfmhvI(baasi0,l,GI,Elw)*⁴²
- *yspWGFhlin(baasi0,l,x,GI,Elw)*⁴³
- *yzWGMx(baasi0,l,x,a,Mx,GI,Elw)*⁴⁴
- *spInsertBtoA(spA,Iv,IJv,spB)*⁴⁵
- *InsertBtoA(Bvb,I,J,IM,JN,vB,M,N)*⁴⁶
- *spSisestaArv(spA,iv,jv,sv)*⁴⁷
- *ylWGFhlin(baasi0,l,x,GI,Elw)*⁴⁸
- *SisejoudWGMxpunktis(l,X,a,AlgP,mx,GI,Elw,suurused)*⁴⁹
- *minMaxGrfVnurk(Fvv)*⁵⁰

Programm E.6 (Naide2_6.m)⁵¹ 87 – arvutab väändenurga θ ja momendid T_t , B_ω , T_ω ning T_{sum} bimomendiga B_ω koormatud talas.

-
- 32 ./octaveProgrammid/yspWgvfmhvI.m
 - 33 ./octaveProgrammid/yspWGFhlin.m
 - 34 ./octaveProgrammid/yzWGMx.m
 - 35 ./octaveProgrammid/spInsertBtoA.m
 - 36 ./octaveProgrammid/InsertBtoA.m
 - 37 ./octaveProgrammid/spSisestaArv.m
 - 38 ./octaveProgrammid/ylWGFhlin.m
 - 39 ./octaveProgrammid/SisejoudWGMxpunktis.m
 - 40 ./octaveProgrammid/minMaxGrfVnurk.m
 - 41 ./octaveProgrammid/Naide2_5.m
 - 42 ./octaveProgrammid/yspWgvfmhvI.m
 - 43 ./octaveProgrammid/yspWGFhlin.m
 - 44 ./octaveProgrammid/yzWGMx.m
 - 45 ./octaveProgrammid/spInsertBtoA.m
 - 46 ./octaveProgrammid/InsertBtoA.m
 - 47 ./octaveProgrammid/spSisestaArv.m
 - 48 ./octaveProgrammid/ylWGFhlin.m
 - 49 ./octaveProgrammid/SisejoudWGMxpunktis.m
 - 50 ./octaveProgrammid/minMaxGrfVnurk.m
 - 51 ./octaveProgrammid/Naide2_6.m

Kasutab funktsioone

- *yspWGvfmhvI(baasi0,l,GI,Elw)*⁵²
- *yspWGfhlin(baasi0,l,x,GI,Elw)*⁵³
- *yzWGBBy(baasi0,l,x,a,By,GI,Elw)*⁵⁴
- *spInsertBtoA(spA,Iv,IJv,spB)*⁵⁵
- *InsertBtoA(Bvb,I,J,IM,JN,vB,M,N)*⁵⁶
- *spSisestaArv(spA,iv,jv,sv)*⁵⁷
- *ylWGfhlin(baasi0,l,x,GI,Elw)*⁵⁸
- *SisejoudWGmxpunktis(l,X,a,AlgP,mx,GI,Elw,suurused)*⁵⁹
- *minMaxGrfVnurk(Fvv)*⁶⁰

Programm E.7 (Naide2_7.m)⁶¹ 93 – arvutab väändenurga θ ja momendid T_t , B_ω , T_ω ning T_{sum} pikijõuga F_x koormatud talas.

Kasutab funktsioone

- *yspWGvfmhvI(baasi0,l,GI,Elw)*⁶²
- *yspWGfhlin(baasi0,l,x,GI,Elw)*⁶³
- *yzWGBBy(baasi0,l,x,a,By,GI,Elw)*⁶⁴
- *spInsertBtoA(spA,Iv,IJv,spB)*⁶⁵
- *InsertBtoA(Bvb,I,J,IM,JN,vB,M,N)*⁶⁶
- *spSisestaArv(spA,iv,jv,sv)*⁶⁷
- *ylWGfhlin(baasi0,l,x,GI,Elw)*⁶⁸
- *SisejoudWGmxpunktis(l,X,a,AlgP,mx,GI,Elw,suurused)*⁶⁹
- *minMaxGrfVnurk(Fvv)*⁷⁰

Programm E.8 (Naide2_8.m)⁷¹ 99 – arvutab väändenurga θ ja momendid T_t , B_ω , T_ω ning T_{sum} laus- ja koondkoormusega m_x , M_x ning bimomendiga B_ω koormatud konsoolis.

-
- 52 ./octaveProgrammide/yspWGvfmhvI.m
 - 53 ./octaveProgrammide/yspWGfhlin.m
 - 54 ./octaveProgrammide/yzWGBBy.m
 - 55 ./octaveProgrammide/spInsertBtoA.m
 - 56 ./octaveProgrammide/InsertBtoA.m
 - 57 ./octaveProgrammide/spSisestaArv.m
 - 58 ./octaveProgrammide/ylWGfhlin.m
 - 59 ./octaveProgrammide/SisejoudWGmxpunktis.m
 - 60 ./octaveProgrammide/minMaxGrfVnurk.m
 - 61 ./octaveProgrammide/Naide2_7.m
 - 62 ./octaveProgrammide/yspWGvfmhvI.m
 - 63 ./octaveProgrammide/yspWGfhlin.m
 - 64 ./octaveProgrammide/yzWGBBy.m
 - 65 ./octaveProgrammide/spInsertBtoA.m
 - 66 ./octaveProgrammide/InsertBtoA.m
 - 67 ./octaveProgrammide/spSisestaArv.m
 - 68 ./octaveProgrammide/ylWGfhlin.m
 - 69 ./octaveProgrammide/SisejoudWGmxpunktis.m
 - 70 ./octaveProgrammide/minMaxGrfVnurk.m
 - 71 ./octaveProgrammide/Naide2_8.m

Kasutab funktsioone

- *yspWGvfmhvI(baasi0,l,GI,Elw)*⁷²
- *yspWGfhlin(baasi0,l,x,GI,Elw)*⁷³
- *yzWGBBy(baasi0,l,x,a,By,GI,Elw)*⁷⁴
- *spInsertBtoA(spA,Iv,Iv,spB)*⁷⁵
- *InsertBtoA(Bvb,I,J,IM,JN,vB,M,N)*⁷⁶
- *spSisestaArv(spA,iv,jv,sv)*⁷⁷
- *ylWGfhlin(baasi0,l,x,GI,Elw)*⁷⁸
- *SisejoudWGmxpunktis(l,X,a,AlgP,mx,GI,Elw,suurused)*⁷⁹
- *minMaxGrfVnurk(Fvv)*⁸⁰

Programm E.9 (Naide2_10.m)⁸¹ 116 – arvutab väändenurga θ ja momendid T_t , B_ω , T_ω ning T_{sum} laus- ja koondkoormusega m_x , M_x ning bimomendiga B_ω koormatud mitmesildelises talas.

Kasutab funktsioone

- *yspWGvfmhvI(baasi0,l,GI,Elw)*⁸²
- *yspWGfhlin(baasi0,l,x,GI,Elw)*⁸³
- *yzWGBBy(baasi0,l,x,a,By,GI,Elw)*⁸⁴
- *spInsertBtoA(spA,Iv,Iv,spB)*⁸⁵
- *InsertBtoA(Bvb,I,J,IM,JN,vB,M,N)*⁸⁶
- *spSisestaArv(spA,iv,jv,sv)*⁸⁷
- *ylWGfhlin(baasi0,l,x,GI,Elw)*⁸⁸
- *SisejoudWGmxpunktis(l,X,a,AlgP,mx,GI,Elw,suurused)*⁸⁹
- *minMaxGrfVnurk(Fvv)*⁹⁰

72 ./octaveProgrammid/yspWGvfmhvI.m

73 ./octaveProgrammid/yspWGfhlin.m

74 ./octaveProgrammid/yzWGBBy.m

75 ./octaveProgrammid/spInsertBtoA.m

76 ./octaveProgrammid/InsertBtoA.m

77 ./octaveProgrammid/spSisestaArv.m

78 ./octaveProgrammid/ylWGfhlin.m

79 ./octaveProgrammid/SisejoudWGmxpunktis.m

80 ./octaveProgrammid/minMaxGrfVnurk.m

81 ./octaveProgrammid/Naide2_10.m

82 ./octaveProgrammid/yspWGvfmhvI.m

83 ./octaveProgrammid/yspWGfhlin.m

84 ./octaveProgrammid/yzWGBBy.m

85 ./octaveProgrammid/spInsertBtoA.m

86 ./octaveProgrammid/InsertBtoA.m

87 ./octaveProgrammid/spSisestaArv.m

88 ./octaveProgrammid/ylWGfhlin.m

89 ./octaveProgrammid/SisejoudWGmxpunktis.m

90 ./octaveProgrammid/minMaxGrfVnurk.m

Funktsioon E.1 (`ySpWGVfMhVl(baasi0,l,l,GIt,EIw)`)⁹¹ 56, 54, 111 – arvutab õhukeseseinalise varda väände hõreda laiendatud ülekandemaatriksi ($U_{4 \times 4} \mid -I_{4 \times 4}$).

Funktsioon E.2 (`ySpWGFhlin(baasi0,l,x,GIt,EIw)`)⁹² 54 – arvutab õhukeseseinalise varda väände hõreda ülekandemaatriksi $U_{4 \times 4}$.

Funktsioon E.3 (`ylWGFhlin(baasi0,l,x,GIt,EIw)`)⁹³ 115 – arvutab õhukeseseinalise varda väände ülekandemaatriksi $U_{4 \times 4}$.

Funktsioon E.4 (`yzWGMx(baasi0,l,l,a,mx,GIt,EIw)`)⁹⁴ 54, 173, 115 – arvutab õhukeseseinalise varda väände lausmomendi koormusvektori $-\overset{\circ}{Z}$.

Funktsioon E.5 (`yzWGMx(baasi0,l,x,a,Mx,GIt,EIw)`)⁹⁵ 173, 115 – arvutab õhukeseseinalise varda väände koondmomendi koormusvektori $-\overset{\circ}{Z}$.

Funktsioon E.6 (`yzWGBy(baasi0,l,x,a,By,GIt,EIw)`)⁹⁶ 54 – arvutab õhukeseseinalise varda väände koondbimomendi koormusvektori $-\overset{\circ}{Z}$.

Funktsioon E.7 (`SisejoudWGMxpunktis(l,X,a,AlgP,mx,GIt,EIw, suurused)`)⁹⁷ 54 – arvutab õhukeseseinalise varda väände koondbimomendi koormusvektori $-\overset{\circ}{Z}$.

Funktsioon E.8 (`minMaxGrfVnurk(Fvv)`)⁹⁸ – arvutab siirete ja momentide maksimaalsed ja minimaalsed väärtused graafikute mahutamiseks ekraanile.

Funktsioon E.9 (`spInsertBtoA(spA,IM,JN,spB)`)⁹⁹ – sisestab hõreda maatriksi `spB` hõredasse maatriksisse `spA`, alustades `IM`-nda rea ja `JN`-nda veeru lõikekohast. Hõredate maatriksite `spA` ja `spB` kattuvad elemendid liidetakse.

Funktsioon E.10 (`InsertBtoA(A,I,J,IM,JN,B,M,N)`)¹⁰⁰ – sisestab $(M \times N)$ -järku maatriksi `B` _{$M \times N$} ($I \times J$)-järku maatriksisse `A` _{$I \times J$} , alustades `IM`-nda rea ja `JN`-nda veeru lõikekohast.

Funktsioon E.11 (`spSisestaArv(spA,iv,jv,sv)`)¹⁰¹ – sisestab arvu `sv` hõreda maatriksi `spA` `iv`-nda rea `jv`-nda veeru lõikekohale.

⁹¹ `./octaveProgrammid/ySpWGVfMhVl.m`

⁹² `./octaveProgrammid/ySpWGFhlin.m`

⁹³ `./octaveProgrammid/ylWGFhlin.m`

⁹⁴ `./octaveProgrammid/yzWGMx.m`

⁹⁵ `./octaveProgrammid/yzWGMx.m`

⁹⁶ `./octaveProgrammid/yzWGBy.m`

⁹⁷ `./octaveProgrammid/SisejoudWGMxpunktis.m`

⁹⁸ `./octaveProgrammid/minMaxGrfVnurk.m`

⁹⁹ `./octaveProgrammid/spInsertBtoA.m`

¹⁰⁰ `./octaveProgrammid/InsertBtoA.m`

¹⁰¹ `./octaveProgrammid/spSisestaArv.m`

E.2 Programmid murtud tala arvutamiseks

Programm E.10 (Naide4_5Gamma.m)¹⁰² 123 – arvutab väändenurga θ ja momendid T_t , B_ω , T_ω ning T_{sum} lausmomendiga m_x koormatud konsoolis.

Kasutab funktsioone

- *ySpTVmI*(baasi0,l,l,GAr,EJ,GIt,EIw)¹⁰³
- *ySpTVlin*(baasi0,l,x,GAr,EJ,GIt,EIw)¹⁰⁴
- *ylTVlin*(baasi0,l,x,GAr,EJ,GIt,EIw)¹⁰⁵
- *yzTVmx*(baasi0,l2,l2,0.0,mx,GIt,EIw)J¹⁰⁶
- *yzTVqz*(baasi0,l2,l2,0.0,mx,GIt,EIw)J¹⁰⁷
- *spInsertBtoA*(spA,Iv,IJv,spB)¹⁰⁸
- *InsertBtoA*(Bvb,I,J,IM,JN,vB,M,N)¹⁰⁹
- *spSisestaArv*(spA,iv,jv,sv)¹¹⁰
- *ylTVlin*(baasi0,l,x,GAr,EJ,GIt,EIw)¹¹¹
- *minMaxGrfTVnurk*(LisaGr,Fvvs)¹¹²

Programm E.11 (Naide4_5GammaTV.m)¹¹³ 131 – arvutab väändenurga θ ja momendid T_t , B_ω , T_ω ning T_{sum} lauskoormusega q_z koormatud konsoolis.

Kasutab funktsioone

- *ySpTVmI*(baasi0,l,l,GAr,EJ,GIt,EIw)¹¹⁴
- *ySpTVlin*(baasi0,l,x,GAr,EJ,GIt,EIw)¹¹⁵
- *ylTVlin*(baasi0,l,x,GAr,EJ,GIt,EIw)¹¹⁶
- *yzTVmx*(baasi0,l2,l2,0.0,mx,GIt,EIw)J¹¹⁷
- *yzTVqz*(baasi0,l2,l2,0.0,mx,GIt,EIw)J¹¹⁸
- *spInsertBtoA*(spA,Iv,IJv,spB)¹¹⁹
- *InsertBtoA*(Bvb,I,J,IM,JN,vB,M,N)¹²⁰

102 ./octaveProgrammid/Naide4_5Gamma.m

103 ./octaveProgrammid/ySpTVmI.m

104 ./octaveProgrammid/ySpTVlin.m

105 ./octaveProgrammid/ylTVlin.m

106 ./octaveProgrammid/yzTVmx.m

107 ./octaveProgrammid/yzTVqz.m

108 ./octaveProgrammid/spInsertBtoA.m

109 ./octaveProgrammid/InsertBtoA.m

110 ./octaveProgrammid/spSisestaArv.m

111 ./octaveProgrammid/ylTVlin.m

112 ./octaveProgrammid/minMaxGrfTVnurk.m

113 ./octaveProgrammid/Naide4_5GammaTV.m

114 ./octaveProgrammid/ySpTVmI.m

115 ./octaveProgrammid/ySpTVlin.m

116 ./octaveProgrammid/ylTVlin.m

117 ./octaveProgrammid/yzTVmx.m

118 ./octaveProgrammid/yzTVqz.m

119 ./octaveProgrammid/spInsertBtoA.m

120 ./octaveProgrammid/InsertBtoA.m

- *spSisestaArv(spA,iv,jv,sv)*¹²¹
- *ylTVlin(baasi0,l,x,GA,r,EJ,GIt,EIw)*¹²²
- *minMaxGrfTVnurk(LisaGr,Fvvs)*¹²³

Programm E.12 (Naide4_6U.m)¹²⁴ 139 – arvutab väändenurga θ ja momendid T_t , B_ω , T_ω ning T_{sum} lausmomendiga m_x koormatud konsoolis.

Kasutab funktsioone

- *ySpTVmI(baasi0,l,l,GA,r,EJ,GIt,EIw)*¹²⁵
- *ySpTVlin(baasi0,l,x,GA,r,EJ,GIt,EIw)*¹²⁶
- *ylTVlin(baasi0,l,x,GA,r,EJ,GIt,EIw)*¹²⁷
- *yzTVmx(baasi0,l2,l2,0.0,mx,GIt,EIw)*¹²⁸
- *yzTVqz(baasi0,l2,l2,0.0,mx,GIt,EIw)*¹²⁹
- *spInsertBtoA(spA,Iv,Iv,spB)*¹³⁰
- *InsertBtoA(Bvb,I,J,IM,JN,vB,M,N)*¹³¹
- *spSisestaArv(spA,iv,jv,sv)*¹³²
- *ylTVlin(baasi0,l,x,GA,r,EJ,GIt,EIw)*¹³³
- *minMaxGrfTVnurk(LisaGr,Fvvs)*¹³⁴

Funktsioon E.12 (ySpTVmI(baasi0,l,l,GA,r,EJ,GIt,EIw))¹³⁵ 139 – arvutab õhukeseseinalise varda painde ja väände hõreda laiendatud ülekan demaatriksi ($U_{4 \times 4} \mid -I_{4 \times 4}$).

Funktsioon E.13 (ySpTVlin(baasi0,l,x,GA,r,EJ,GIt,EIw))¹³⁶ 122 – arvutab õhukeseseinalise varda painde ja väände hõreda ülekan demaatriksi.

Funktsioon E.14 (ylTVlin(baasi0,l,x,GA,r,EJ,GIt,EIw))¹³⁷ 126, 143 – arvutab õhukeseseinalise varda painde ja väände ülekan demaatriksi.

121 ./octaveProgrammid/spSisestaArv.m
 122 ./octaveProgrammid/ylTVlin.m
 123 ./octaveProgrammid/minMaxGrfTVnurk.m
 124 ./octaveProgrammid/Naide4_6U.m
 125 ./octaveProgrammid/ySpTVmI.m
 126 ./octaveProgrammid/ySpTVlin.m
 127 ./octaveProgrammid/ylTVlin.m
 128 ./octaveProgrammid/yzTVmx.m
 129 ./octaveProgrammid/yzTVqz.m
 130 ./octaveProgrammid/spInsertBtoA.m
 131 ./octaveProgrammid/InsertBtoA.m
 132 ./octaveProgrammid/spSisestaArv.m
 133 ./octaveProgrammid/ylTVlin.m
 134 ./octaveProgrammid/minMaxGrfTVnurk.m
 135 ./octaveProgrammid/ySpTVmI.m
 136 ./octaveProgrammid/ySpTVlin.m
 137 ./octaveProgrammid/ylTVlin.m

Funktsioon E.15 (`yzTVmx(baasi0,l2,l2,0.0,mx,GIt,EIw)`)¹³⁸ 126, 143 – arvutab õhukeseseinalise varda väände lausmomendi koormusvektori $-\dot{\mathbf{Z}}$.

Funktsioon E.16 (`yzTVqz(baasi0,l2,0.0,qz,EI)`)¹³⁹ 126, 143 – arvutab õhukeseseinalise varda painde lauskoormuse q_z koormusvektori $-\dot{\mathbf{Z}}$.

Funktsioon E.17 (`minMaxGrfTVnurk(LisaGr,Fvvs)`)¹⁴⁰ – arvutab siirete ja momentide maksimaalsed ja minimaalsed väärtused graafikute mahutamiseks ekraanile.

Programm E.13 (`Naide4_6Udef.m`)¹⁴¹ 149 – arvutab deformatsioonimeetodiga väändemomendi M_y ja bimomendi B_ω murtud talas.

Programm E.14 (`Naide4_6Uforce.m`)¹⁴² 149 – arvutab jõumeetodiga väändemomendi M_y ja bimomendi B_ω murtud talas.

E.3 Ristlõike geomeetrised karakteristikud

Funktsioon E.18 (`ohukeU(b,h,tf,tw)`)¹⁴³ 166 – arvutab ristlõike lõikekeskme ja keskjoone vahelise kauguse e , väändeinertsimomendi I_t ning sektorinertsimomendi I_ω .

¹³⁸ `./octaveProgrammid/yzTVmx.m`

¹³⁹ `./octaveProgrammid/yzTVqz.m`

¹⁴⁰ `./octaveProgrammid/minMaxGrfTVnurk.m`

¹⁴¹ `./octaveProgrammid/Naide4_6Udef.m`

¹⁴² `./octaveProgrammid/Naide4_6Uforce.m`

¹⁴³ `./octaveProgrammid/ohukeU.m`

Kirjandus

- [ABD79] J. H. Argyris, H.-P. Balmer, J. St. Doltsinis, P. C. Dunne, M. Haase, M. Kleiber, G. A. Malejannakis, H. P. Mlejnek, M. Müller, D. W. Scharpf. Finite element method – the natural approach. *Computer Methods in Applied Mechanics and Engineering*, vol. 17–18, pp. 1–106, 1979. 182
- [And12] N. Andjelić. Torsional analysis of open section thin-walled beams.¹ Belgrade: *FME Transactions*, vol. 40, no. 2, pp. 93–97, 2012. 212
- [ANS92] *ANSYS User's Manual for Revision 5.0*. Vol. IV, Theory. P. Kohnke (ed.). Chp. 3: Geometric Nonlinearities,² pp. 3-1–3-27. Houston, PA: Swanson Analysis Systems, Inc., 1992. 185, 188
- [Arg82] J. H. Argyris. An excursion into large rotations. *Computer Methods in Applied Mechanics and Engineering*, vol. 32, no. 1–3, pp. 85–155, 1982. 180, 185, 187, 188
- [BC09] O. A. Bauchau, J. I. Craig. *Structural Analysis: With Applications to Aerospace Structures*.³ Dordrecht, Heidelberg, London, New York: Springer Verlag, 2009. 108
- [BKL13] Z. Brzoska, Z. Kączkowski, J. Lipka, Z. Olesiak, M. Życzkowski. Strength of Structural Elements.⁴ *Studies in Applied Mechanics*. Vol. 26. Elsevier Science Ltd, 2013. 33
- [BŠ73] В. Н. Бранец, И. П. Шмыглевский. *Применение кватернионов в задачах ориентации твердого тела*. Москва: Наука, 1973. 188

¹ http://www.mas.bg.ac.rs/_media/istrazivanje/fme/vol40/2/08_n_andjelic.pdf (3.12.2015)

² <http://research.me.udel.edu/~lwang/teaching/ME81/ansys56manual.pdf#page=70> (31.01.2016)

³ <https://books.google.ee/books?id=GYRX8ZYVNYQC&pg=PR8&lpg=PR8&dq=displacement+method+structural+analysis+thin-walled&source=bl&ots=HfiET119Bc&sig=D-vQzkD7TViBz2u0txNFv72oWzY&hl=en&sa=X&ved=0CDIQ6AEwBTgKahUKEwirt0dDGAhVkkXIKHXpRAIw#v=onepage&q=displacement%20method%20structural%20analysis%20thin-walled&f=false> (3.12.2015)

⁴ <https://books.google.ee/books?id=OE0vBQAAQBAJ&pg=PA419&lpg=PA419&dq=sign+of+\bimoment+and+moment&source=bl&ots=4eps3hNtsP&sig=qmfCXQTE9ZXWoKEwJXPzYbgDnXc\&hl=et&sa=X&ei=nOA3VeiXJoK6ygO4pYGYDQ&ved=0CDQQ6AEwBg> (23.04.2015)

- [Böt62] Д. В. Бычков. *Строительная механика стержневых тонкостенных конструкций*.⁵ Москва: Госстройиздат, 1962. 3, 30, 32, 33, 41, 67, 73, 79, 85, 91, 97, 107, 108, 109, 110, 117, 118, 119, 120, 121, 128, 129, 130, 134, 135, 136, 137, 146, 147, 148, 149, 212
- [DK90] L. Damkilde, S. Krenk. *Models of Thin-Walled Beam Connections*.⁶ Dept. of Building Technology and Structural Engineering, Aalborg University. *Engineering Mechanics*, no. 3, 1990. 108
- [Din11] D. Dinkler. *Grundlagen der Baustatik. Modelle und Berechnungsmethoden für ebene Stabtragwerke*. 1. Auflage 2011.⁷ Vieweg+Teubner Verlag | Springer Fachmedien Wiesbaden GmbH, 2011. 168
- [Fil78] А. П. Филин. *Прикладная механика твердого деформируемого тела: Сопротивление материалов с элементами теории сплошных сред и строительной механики. Том II*. Москва: Наука, 1978. 216
- [Gei14] K. Geißler. *Handbuch Brückenbau*.⁸ Berlin: John Wiley & Sons, 2014. 212
- [GS94] A. S. Gendy, A. F. Saleeb. Generalized mixed finite element model for pre- and post-quasistatic buckling response of thin-walled framed structures. *International Journal for Numerical Methods in Engineering*, vol. 37, pp. 297–322, 1994. 180
- [HIM11] A. F. Hughes, D. C. Iles, A. S. Malik. *Design of Steel Beams in Torsion*. In accordance with Eurocodes and the UK National Annexes.⁹ Ascot, Berkshire: Steel Construction Institute (SCI), 2011. 22, 44, 212
- [HM12] M. Horáček, J. Melcher. Mathematical definitions and experimentally verification of the torsion characteristics of perforated steel beams.¹⁰ In: Proc. of the 14th WSEAS International Conference on Mathematical and Computational Methods in Science and

⁵ <http://sci-lib.com/book000149.html> (26.01.2016)

⁶ http://vbn.aau.dk/files/80026202/MODELS_OF_THIN_WALLED_BEAM_CONNECTIONS.pdf (3.07.2015)

⁷ https://books.google.ee/books?id=ykQlBAAAQBAJ&q=Arbeitssatz&dq=Baustatik+Schnittprinzip&hl=et&source=gbs_word_cloud_r&cad=5#v=snippet&q=Arbeitssatz&f=false (01.03.2016)

⁸ https://books.google.ee/books?id=EGaMAwAAQBAJ&pg=PA722&lpg=PA722&dq=Abklingfaktor+f%C3%BCr+Torsion\string&source=bl&ots=8-NCafhz3M&sig=qCf_B5w0lni7GZsOH7wfUNl7JAY&hl=en&sa=X&ei=qTEuVa02BIq6sQHTkIGABg&ved=0CCgQ6AEwAQ#v=onepage&q=Abklingfaktor%20f%C3%BCr%20Torsion&f=false (3.12.2015)

⁹ http://www.google.ee/url?sa=t&rct=j&q=&esrc=s&source=web&cd=1&ved=0ahUKEwj_g7z-4_TJAhUCXCwKHV0oAdoQFggbMAA&url=http%3A%2F%2Fwww.steelconstruction.info%2Ffile%3Aasci_p385.pdf%3Finternal_link&usq=AFQjCNGrKCgJUX0yA1ERv2fpFjh6qNgtPg&bvm=bv.110151844,d.bGg (22.12.2015)

¹⁰ <http://www.wseas.us/e-library/conferences/2012/Sliema/MACMESE/MACMESE-13.pdf> (18.04.2015)

- Engineering (MACMESE '12), Sliema, Malta September 7–9, 2012. WSEAS¹¹ Press, 2012, pp. 91–96. 216
- [Jür85] A. Jürgenson. *Tugevusõpetus*.^{12 13} Tallinn: Valgus, 1985. 3, 26, 33, 55, 62, 68, 74, 80, 86, 92, 98, 109, 123, 140, 162, 169
- [KK13] R. Kindmann, U. Krüger. *Stahlbau*. Teil 1: Grundlagen. Mit Beispielen nach Eurocode 3. 5. Auflage.¹⁴ Berlin: Ernst & Sohn, 2013. 216
- [KMPR12] A. Klauson, J. Metsaveer, P. Põdra, U. Raukas. *Tugevusõpetus*. Tallinn: Tallinna Tehnikaülikooli kirjastus, 2012. 15, 16, 18, 22, 29, 32, 161, 217
- [Kre09] S. Krenk. *Non-linear Modeling and Analysis of Solids and Structures*.¹⁵ Cambridge: Cambridge University Press, 2009. 180
- [Lah12] A. Lahe. *Ehitusmehaanika*.¹⁶ Tallinn: Tallinna Tehnikaülikooli kirjastus, 2012. 56, 63, 69, 75, 81, 87, 93, 99, 167, 171, 172
- [Lah14] A. Lahe. *The EST Method. Structural Analysis*.¹⁷ Tallinn: Tallinn University of Technology Press, 2014. 55, 62, 68, 74, 80, 86, 92, 98, 110, 121, 137, 169
- [Lah97a] A. Lahe. The transfer matrix and the boundary element method.¹⁸ *Proc. Estonian Acad. Sci. Engng.*, 1997, 3, 1. pp. 3–12. 55, 62, 68, 74, 80, 86, 92, 98, 110, 121, 137
- [Lah97b] A. Lahe. The EST method for the frame analysis. In: Proc. Tenth Nordic Seminar on Computational Mechanics, October 24–25, 1997. Tallinn: Tallinn University of Technology Press, 1997, pp. 202–205. 55
- [Lah98a] A. Lahe. The EST method for the frame analysis in second order theory. In: Proc. of the NSCM-11: Nordic Seminar on Computational Mechanics, October 16–17, 1997. Royal Institute of Technology, Department of Structural Engineering, Stockholm, TRITA-BKN. Bulletin 39, Stockholm, 1998, pp. 167–170. 55

¹¹ <http://www.wseas.org/cms.action> (3.12.2015)

¹² [./AJ_tugevus.djvu](http://www.digi.lib.ttu.ee/AJ_tugevus.djvu) (3.12.2015)

¹³ <http://digi.lib.ttu.ee/i/?472>

¹⁴ <http://onlinelibrary.wiley.com/doi/10.1002/9783433602560.fmatter/pdf>
(14.04.2013)

¹⁵ <https://books.google.ee/books?id=Z8jhqf9BpyAC&pg=PA60&lpg=PA60&dq=rotation++follower+moment&source=bl&ots=AadHzK1AkV&sig=8qTt00GmF04R8xI1wo5F08QwrxA&hl=et&sa=X&ved=0ahUKEwixoaycqb3KAhWB8HIKHWF-Cbk4FBDoAQgwMAY>
(22.01.2016)

¹⁶ http://digi.lib.ttu.ee/opik_eme/Ehitusmehaanika.pdf (8.08.2013)

¹⁷ <http://digi.lib.ttu.ee/estmethod/ESTmethod.pdf> (8.08.2013)

¹⁸ http://books.google.ee/books?id=ghco7svk5T4C&pg=PA3&lpg=PA3&dq=Andres+Lahe&source=bl&ots=3SFfo4UCES&sig=_XLUez-SfW2FVYGRx8v2LVm16V8&hl=et&ei=YQaFTMeIEoWcOOyCyNwP&sa=X&oi=book_result&ct=result&resnum=5&ved=0CB0Q6AEwBDgK#v=onepage&q=Andres%20Lahe&f=false (3.12.2015)

- [Lah08] A. Lahe. *Lõplike elementide meetod*.¹⁹ Tallinn: Tallinna Tehnikaülikooli kirjastus, 2008.
- [LH13] J. P. Lebet, M. A. Hirt. *Steel Bridges. Conceptual and Structural Design of Steel and Steel-Concrete Composite Bridges*.²⁰ Lausanne: EPFL Press. Distributed by CRC Press, 2013, p. 232.
- [LR71] Ü. Lepik, L. Roots. *Teoreetiline mehaanika*.²¹ Tallinn: Valgus, 1971. 179
- [Loo08] K. Loorits. *Teraskonstruksioonide arvutus Eurokoodeks 3 järgi*.²² Tallinn: Eesti Teraskonstruksiooniühing, 2008. 3, 33
- [MR96] J. Metsaveer, U. Raukas. *Varda sisejõud ja pinged*.²³ Tallinn: Tallinna Tehnikaülikool, mehaanikainstituut, 1996. 32
- [MW03] D. B. Moore, F. Wald (eds.). *Design of Structural Connections according to Eurocode 3 – Frequently Asked Questions*.^{24 25} Watford, UK: Building Research Establishment Ltd, 2003. 108
- [Pra74] W. Prager. *Introduction to Structural Optimization. CISM Lecture Notes. Vol. 212*. Wien: Springer Verlag, 1974. 212
- [BP68] *Прочность, устойчивость, колебания*. Справочник в трех томах. Том 1. Под ред. И. А. Биргера и Я. Г. Пановко. Москва: Машиностроение, 1968. 41
- [RB86] C. C. Rankin, F. A. Brogan. An element independent corotational procedure for the treatment of large rotations. *Journal of Pressure Vessel Technology – ASME*, vol. 108, no. 2, pp. 165–174, 1986. 186
- [Sad63] С. Я. Садэтов. *Расчет тонкостенных стержней открытого профиля*. Москва: Росвузиздат, 1963. 3, 16, 46, 48, 61, 67, 73, 79, 85, 91, 97, 103, 104, 217
- [Smi75] А. Ф. Смирнов. *Сопротивление материалов*. Москва: Высшая школа, 1975. 16
- [Ste59] В. В. Степанов. *Курс дифференциальных уравнений*. Москва: Гос. изд-во физико-математической литературы, 1959. 48

¹⁹ http://digi.lib.ttu.ee/opik_eme/Lem.pdf (8.08.2013)

²⁰ https://books.google.ee/books?id=xYZFAQAAQBAJ&pg=PA232&lpg=PA232&dq=warping+moment&source=bl&ots=cgQSNUPqMZ&sig=JPwNJkW87XJDQbpJwQe_IEe5-Jc&hl=en&sa=X&ei=-norVeiWEtHXauK5gNAL&ved=0CDwQ6AEwBjgK#v=onepage&q=warpingmoment&f=false (13.04.2015)

²¹ <http://erb.nlib.ee/?kid=13346192&oid=7b4c150e> (6.06.2015)

²² http://www.ester.ee/record=b2379676~S1*est (5.04.2015)

²³ [./vsp.djvu](#) (3.12.2015)

²⁴ http://www.e-konstrukcije.si/user_files/vsebina/Informacije/DESIGN_OF_STRUCTURAL_CONNECTIONS_TO_EUROCODE_3.pdf (3.12.2015)

²⁵ http://people.fsv.cvut.cz/~wald/CESTRUCO/_aa_Textbook.htm (3.07.2015)

- [Teh05] L. H. Teh. *Spatial rotation kinematics and flexural-torsional buckling*.²⁶ University of Wollongong, Research Online. 2005. 108
- [VN87] T. A. Vernon, Y. Nadeau. *Thin-Walled Beam Theories and Their Applications in the Torsional Strength Analysis of Ship Hulls*. ADA178296 Technical Memorandum 87/202.^{27 28} Canada: Defence Research Establishment Atlantic, 1987. 216
- [Vla59] rB. З. Власов. *Тонкостенные упругие стержни*. 2-ое издание.²⁹ Москва: Гос. изд-во физико-математической литературы, 1959. 16, 18, 19
- [WE98] W. Wagner, G. Erlhof. *Praktische Baustatik*. Teil 2. 15. Auflage.³⁰ Stuttgart: B. G. Teubner, 1998. 216
- [YM86] Y.-B. Yang, W. McGuire. Joint rotation and geometric nonlinear analysis. *ASCE Journal of Structural Engineering*, vol. 112, no. 4, pp. 879–905, 1986. 180
- [YSM00] A. Yavari, S. Sarkani, E. T. Moyer, Jr. On applications of generalized functions to beam bending problems.³¹ *International Journal of Solids and Structures*, vol. 37, no. 40, pp. 5675-5705, 2000. 48
- [Zie77] H. Ziegler. *Principles of Structural Stability*. 2nd edition. Basel: Birkhäuser, 1977. 180

²⁶ <http://ro.uow.edu.au/cgi/viewcontent.cgi?article=1669&context=engpapers> (3.07.2015)

²⁷ <http://oai.dtic.mil/oai/oai?verb=getRecord&metadataPrefix=html&identifier=ADA178296> (25.03.2015)

²⁸ http://www.google.ee/url?sa=t&rct=j&q=&esrc=s&source=web&cd=2&ved=0ahUKEwiikdKT-NHKAhXI6CwKHQssDjsQFgggMAE&url=http://www.dtic.mil/cgi-bin/GetTRDoc%3FAD%3DADA178296&usq=AFQjCNE73dt7oQwWX0bcW6bLH5_s6h_0Q&bvm=bv.113034660,d.bGg&cad=rja (25.03.2015)

²⁹ <http://dwg.ru/dnl/9881> (26.01.2016)

³⁰ https://books.google.ee/books?id=VT5EcGYVvQIC&pg=PA177&lpg=PA177&dq=berechnung+w%C3%B6lbmoment&source=bl&ots=1CHx_GeAPJ&sig=xtbmAY75Jj9bGTs_lysYNQgCxzo&hl=en&sa=X&ei=7ocrVfjgMMHnaJ6FgdgH&ved=0CDkQ6AEwAw#v=onepage&q=berechnung%20w%C3%B6lbmoment&f=false (13.04.2015)

³¹ http://www.yavari.ce.gatech.edu/sites/default/files/pubs/generalized_functions.pdf (25.03.2015)

Aineregister

A

arvutifunktsioon

InsertBtoA.m, 196
minMaxGrfTVnurk.m, 199
minMaxGrfVnurk.m, 196
SisejoudWGmxpunktis.m, 196
spInsertBtoA.m, 196
spSisestaArv.m, 196
ylTVlin.m, 198
ylWGfhlin.m, 196
yspTVlin.m, 198
yspTVmI.m, 198
yspWGfhlin.m, 196
yspWGvfmhvI.m, 196
yzTVmx.m, 199
yzTVqz.m, 199
yzWGBBy.m, 196
yzWGMx.m, 196
yzWGmx.m, 196

arvutiprogramm

Naide2_1.m, 191
Naide2_2.m, 191
Naide2_3.m, 192
Naide2_4.m, 192
Naide2_5.m, 193
Naide2_6.m, 193
Naide2_7.m, 194
Naide2_8.m, 194
Naide2_10.m, 195
Naide4_5Gamma.m, 197
Naide4_5GammaTV.m, 197
Naide4_6Udef.m, 199
Naide4_6Uforce.m, 199
Naide4_6U.m, 198
ohukeU.m, 199

B

baasrada, 191
bimomendi õlg, 35
bimoment, 17, 22, 26, 38, 43, 55, 62, 68, 74,
80, 86, 92, 98, 109, 121, 137
bipaari moment, 38
bipaari õlg, 38

C

Cauchy valem, 48
Coulomb'i moodul, 43

D

detafunktsioon, 48
deplanatsioon, 17
diferentsiaalvõrrand, 44
Diraci detafunktsioon, 48

E

ekvivalentne koormus, 48
elastne telg, 33, 34, 107, 121, 137, 162
elastsusmoodul, 43
elementide kaupa korrutamise, 157
energiateoreem, 168
erilahend, 46, 49, 50
esimene märgikokkulepe, 47
Euleri nurgad, 179

H

Hadamard'i korrutis, 157
Heaviside'i funktsioon, 49

I

I märgikokkulepe, 32, 47
II märgikokkulepe, 32, 47, 52

J

jaotatud pöördemoment, 35

jõubipaar, 38
 jõudude bipaar, 35
 jõudude ülekanne, 169
 jõupaar, 180
 jõupaari moment, 38
 jälgiv moment, 182
 jälgiv pööre, 182

K

keskjoon, 151
 keskpeatelg, 158, 162
 kinemaatilised rajatingimused, 56, 63, 69, 75, 81, 87, 93, 99, 109, 112, 123, 140
 koguväändmoment, 24, 43, 48, 109
 kohalikud koordinaadid, 175
 kommutatiivsus, 182
 kontaktjõud, 47, 109, 169
 kooldejäikus, 44, 45, 62, 98, 110, 121, 137
 kooldenihepinge, 17, 24, 26, 29, 43
 kooldenormaalpinge, 17, 21–24, 26, 28, 32
 kooldepikkedeformatsioon, 21
 kooldepinge, 17
 kooldeväändmoment, 25, 26, 43, 55, 62, 68, 74, 80, 86, 92, 98, 109, 121, 137
 kooldumine, 16
 kooldumus, 107, 113, 124, 140
 koordinaadid
 kohalikud koordinaadid, 175
 üldkoordinaadid, 175
 koordinaatide teisendus, 176, 177
 koormuse töö, 168
 koormusfunktsioon, 49
 koormusvektor, 53
 kvaternioon, 188
 kõverdumine, 16

L

laiendatud ülekanndemaatriks, 54, 56, 63, 69, 75, 81, 87, 93, 99, 111, 122, 139, 173
 lausmoment, 43
 liittööseisund, 33
 lõikekese, 26, 33, 38, 161, 162

M

maatriks

laiendatud ülekanndemaatriks, 54, 56, 63, 69, 75, 81, 87, 93, 99, 111, 122, 139, 173
 ortogonaalne maatriks, 177
 ülekanndemaatriks, 52, 171
 märgikokkulepe, 32
 I märgikokkulepe, 32
 II märgikokkulepe, 32

N

nihkeelastsusmoodul, 43
 nihkemoodul, 43
 nullpunkt
 sektorkoordinaadi nullpunkt, 163
 sektorkoordinaadi peanullpunkt, 164
 nutatsiooninurk, 179
 nutatsioonitelg, 179

O

omapöördenurk, 179
 omapöörlemistelg, 179

P

paindekese, 26
 paindemoment, 109
 parema käe kolmikud, 175
 peanullpunkt, 25, 31, 45
 peasektorkoordinaadid, 164
 pidevustingimused, 109, 123
 pikijõud, 24
 pinnakese, 159
 poolus, 19, 20, 25, 44, 152, 159, 161
 pretsessiooninurk, 179
 pretsessioonitelg, 179
 profiiljoon, 151
 pseudovektor, 108, 185, 187
 põhivõrrandid, 53
 pöördemoment, 34
 jaotatud pöördemomendi märk, 35
 pöördemomendi märk, 34

R

raadiusvektor, 151
 rajajõud, 47
 rajajõudude töö, 168

rajatingimused, 169
rajaväärtused, 169
rajaülesanne, 169

S

seina paksus, 166
sektorinertsimoment, 22, 29, 43, 151, 165
sektorkoordinaadi nullpunkt, 163
sektorkoordinaadi peanullpunkt, 25, 31, 45, 164
sektorkoordinaadi poolus, 160
sektorkoordinaat, 21, 92, 151, 153
sektortsentrifugaalmoment, 26, 151, 158
semitangentsiaalne moment, 181
semitangentsiaalne pööre, 182
Simpsoni 3/8-valem, 158
sise- ja välisjõudude tööd võimalikel siiretel, 168
sisereaktsioonid, 169
sisesidemed, 169
skaleerimistegur, 54
staatiline sektormoment, 29, 151, 153, 154, 164
staatilised rajatingimused, 56, 63, 69, 75, 81, 87, 93, 99, 109, 112, 123, 140
suunakoosinus, 176
sõlmjoon, 179

T

takistatud vääne, 16, 21
tasakaalutingimused, 109, 123
teine märgikokkulepe, 47, 52
telgmoment, 182
telgpööre, 182
toereaktsioonid, 109, 169
tsentrifugaalmoment, 162
tunnusarv väändel, 44
töö
koormuse töö, 168
rajajõudude töö, 168
välisjõudude töö, 168

V

vabaväändejäikus, 16, 44, 45, 62, 98, 110, 121, 137

vabaväändemoment, 24, 43, 55, 62, 68, 74, 80, 86, 92, 98, 109, 121, 137
vabavääne, 15
vektorite skalaarkorrutis, 158, 176
Vereštšagini võte, 155
virtuaalsiirete printsiip väändel, 168
Vlassovi teooria esimene hüpotees, 18
Vlassovi teooria teine hüpotees, 18, 19, 21
välisjõudude töö, 168
välisreaktsioonid, 169
välissidemed, 169
väändeinertsimoment, 43, 165
väändemoment, 32
väändenurk, 55, 62, 68, 74, 80, 86, 92, 98, 109, 121, 137
vääne
takistatud vääne, 16, 21
vabavääne, 15
vöö paksus, 22, 166

W

Wronski determinant, 46

Ü

ühikkvaternioon, 189
ühikvektorite kolmikud, 175
üldistatud koormus, 48
üldkoordinaadid, 175
ülekan demaatriks, 52, 53, 171
ülekan devõrrandid, 171, 172

Y

Youngi moodul, 43

Terminid ja sümbolid

Bimoment. (eurokoodeksis – bimoment B_{Ed} ; sks Bimoment, ingl bimoment, vn изгибно-крутящий бимомент). Bimomendi tähis on B_ω . **Bimomendi** võib leida avaldisega

$$B_\omega = -EI_\omega\theta'' \quad (\text{T.1})$$

kus

E – elastsusmoodul ehk Youngi moodul (konstruktsiooniterastel 190 ... 220 GPa);

I_ω – sektorinertsimoment;

θ'' – vääندنurга teine tuletis varda teljesuunalise koordinaadi järgi.

3, 17, 22, 32, 35, 41, 43, 55–57, 60, 62–64, 66, 68–70, 72, 74, 75, 78, 80, 81, 84, 86, 87, 90, 92, 93, 96, 98–100, 103, 109, 110, 112, 117, 121, 128, 134, 137, 146, 168, 191–195, 197–199

Elastne joon (skс Biegelinie e elastische Linie, ingl elastic line, vn упругая линия). **Elastseks jooneks** nimetatakse varda kõverdunud telge, mille kuju määrab elastse joone võrand.

33

Elastne telg (skс Schubmittelachse, ingl elastic axis e line of shear centers, vn упругая ось e линия центров изгиба) on varda lõikekeskmeid ühendav joon.

3, 33, 44, 107, 121, 137, 162

Koguvääндemoment (eurokoodeksis – summaarne vääндemoment; skс gesamte Torsionsmoment, ingl torsional moment, vn полный крутящий момент). **Koguvääндemoment** on võrdne vabavääндemomendi (St. Venant'i vääндemomendi) T_t ja kooldevääндemomendi T_ω algebralise summaga:

$$T_{sum} = T_t + T_\omega \quad (\text{T.2})$$

kus

T_{sum} – koguvääндemoment;

T_t – vabavääндemoment;

T_ω – kooldevääндemoment.

4, 24, 41, 43, 55–57, 60, 62–64, 66, 68–70, 72, 74, 75, 78, 80, 81, 84, 86, 87, 90, 92, 93, 96, 98–100, 103, 109, 110, 112, 117, 124, 128, 134, 141, 146, 168, 178, 191–195, 197, 198

Kooldejäikus (sks Wölbsteifigkeit, ingl warping rigidity of the section, vn секториальная жесткость депланации тонкостенного стержня). **Kooldejäikus** avaldub elastsusmooduli E ja sektorinertsimomendi I_ω korrutisena:

$$EI_\omega = E \times I_\omega \quad (\text{T.3})$$

kus

I_ω – sektorinertsimoment;

E – elastsusmoodul ehk Youngi moodul (konstruktsiooniterastel 190 ... 220 GPa).

44, 45, 55, 62, 68, 74, 80, 86, 92, 98, 110, 121, 137

Kooldekarakteristik (sks Abklingfaktor für Torsion [Gei14, lk 722], ingl flexural-torsion cross-section characteristic [And12], [Pra74], vn изгибно-крутильная характеристика стержня [Böt62]). **Kooldekarakteristik** iseloomustab kooldumise määra. Kooldekarakteristiku tähis on κ . Kooldekarakteristik saadakse õhukeseseinalise varda takistatud väände diferentsiaalvõrrandi vastavast karakteristlikust võrrandist.

$$\kappa = \sqrt{\frac{GI_t}{EI_\omega}}, \quad a = \sqrt{\frac{EI_\omega}{GI_t}} \quad (\text{T.4})$$

kus

GI_t – vabaväändejäikus;

$E I_\omega$ – kooldejäikus;

a – kooldekarakteristiku pöördväärus (ingl torsional bending constant) [HIM11].

44, 45, 55, 62, 68, 74, 80, 86, 92, 98, 110, 121, 137

Kooldemoment (eurokoodeksis – $M_{\omega,Ed}$; sks Wölbmoment, ingl warping moment, vn изгибно-крутящий момент). Kooldemomendi tähis on M_ω . **Kooldemoment** leitakse samal viisil nagu **bimoment**, kuid bimomendil puudub momendi dimensioon.

$$M_\omega = \mp \frac{EI_\omega}{(h - t_f)} \theta'' \quad (\text{T.5})$$

kus

E – elastsusmoodul ehk Youngi moodul (konstruktsiooniterastel 190 ... 220 GPa);

I_ω – sektorinertsimoment;

θ'' – väändenurga teine tuletis varda teljesuunalise koordinaadi järgi;

h – ristlõike kõrgus;

t_f – vöö paksus.

22

Kooldenihkepinge (eurokoodeksis – takistatud väändest tingitud nihkepinge; sks Wölb-schubspannung, ingl warping shear stress, vn секториальное касательное напряжение). **Kooldenihkepinge** tähis on τ_ω . Kooldenihkepinge võib leida avaldisega

$$\tau_\omega = E \theta''' \frac{S_\omega^*}{\delta} = - \frac{T_\omega S_\omega^*}{I_\omega \delta} \quad (\text{T.6})$$

kus

E – elastsusmoodul ehk Youngi moodul (konstruktsiooniterastel 190 . . . 220 GPa);
 θ''' – **väändenurga** kolmas tuletis varda teljesuunalise koordinaadi järgi;
 S_{ω}^* – eraldatud osa **staatiline sektormoment**;
 δ – ristlõikeelemendi paksus vaadeldavas kohas;
 T_{ω} – **kooldeväändemoment**;
 I_{ω} – **sektorinertsimoment**.
3, 24, 26, 29–31

Kooldenormaalpinge (eurokoodeksis – bimomendist tingitud normaalpinge; sks Wölbnormalspannungen, ingl warping normal stress, vn секториальное нормальное напряжение). **Kooldenormaalpinge** σ_{ω} võib leida avaldistega

$$\sigma_{\omega} = -E\omega\theta'', \quad \sigma_{\omega} = \frac{B_{\omega}\omega}{I_{\omega}} \quad (\text{T.7})$$

kus

E – elastsusmoodul ehk Youngi moodul (konstruktsiooniterastel 190 . . . 220 GPa);
 ω – **sektorkoordinaat**;
 θ'' – **väändenurga** teine tuletis varda teljesuunalise koordinaadi järgi;
 B_{ω} – **bimoment**;
 ω – **sektorkoordinaat**;
 I_{ω} – **sektorinertsimoment**.
3, 17, 21, 23, 24, 26, 30–32

Kooldetugevusmoment (skS Wölbwiderstandsmoment, ingl warping section modulus, vn секториальный момент сопротивления) on sektorinertsimomendi I_{ω} ja maksimaalse sektorkoordinaadi ω_{max} jagatis. **Kooldetugevusmomendi** tähis on W_{ω} .

$$W_{\omega} = \frac{I_{\omega}}{\omega_{max}} \quad (\text{T.8})$$

siin

I_{ω} – **sektorinertsimoment**;
 ω_{max} – maksimaalne **sektorkoordinaat**.
110

Kooldeväändemoment (eurokoodeksis – takistatud väände väändemoment; sks Wölbtorsionsmoment, ingl warping torsional moment, vn изгибно-крутящий момент). **Kooldeväändemoment** T_{ω} määratakse integraaliga:

$$T_{\omega} = \int_A \tau_{\omega} r dA \quad (\text{T.9})$$

kus

τ_{ω} – **kooldenihkepinge**;
 r – pooluse kaugus keskjoone puutujast;
 A – ristlõike pindala.
24–27, 31, 41, 43, 55, 56, 60, 62, 63, 66, 68, 69, 72, 74, 78, 80, 84, 86, 90, 92, 96, 98, 99, 103, 109, 112, 117, 121, 128, 134, 137, 146, 168, 178, 191–195, 197, 198

Lõikekese e väändekese (eurokoodeksis – väändekese; sks Schubmittelpunkt, ingl shear center, vn центр изгиба) on punkt (poolus), mille puhul sektortsentrifugaalmomendid $I_{\omega y}$, $I_{\omega z}$ on võrdsed nulliga. **Lõikekeskme** koordinaadid z_P ja y_P keskpeateljestikus määratakse avaldistega

$$z_P = - \frac{\int_A \omega_o y \, dA}{\int_A y^2 \, dA} = - \frac{I_{\omega_o z}}{I_z} \quad (\text{T.10})$$

$$y_P = \frac{\int_A \omega_o z \, dA}{\int_A z^2 \, dA} = \frac{I_{\omega_o y}}{I_y} \quad (\text{T.11})$$

kus

ω – sektorkoordinaat;

$I_{\omega_o z}$ – sektortsentrifugaalmoment keskpeatelje y suhtes;

$I_{\omega_o y}$ – sektortsentrifugaalmoment keskpeatelje z suhtes;

I_z – peainertsimoment keskpeatelje y suhtes;

I_y – peainertsimoment keskpeatelje z suhtes.

26, 33, 36, 37, 39

Sektorinertsimoment (eurokoodeksis – ristlõike sektoriaalinertsimoment; sks Sektorträgheitsmoment, ingl warping constant, vn секториальный момент инерции) on integraalina väljenduv summa. **Sektorinertsimomendi** tähis on I_ω . Sektorinertsimoment määratakse integraaliga:

$$I_\omega = \int_A \omega^2 \, dA \quad (\text{T.12})$$

kus

ω – sektorkoordinaat;

A – ristlõike pindala.

3, 22, 23, 29, 31, 43, 166, 199

Sektorkoordinaadi nullpunkt (sks Nullpunkt für die Sektorkoordinate, ingl null sectorial point, vn секториальная нулевая точка) on selline sektorkoordinaadi alguspunkt, mille puhul kogu kujundi staatiline sektormoment võrdub nulliga.

$$S_\omega = \int_A \omega \, dA = 0 \quad (\text{T.13})$$

kus

S_ω – staatiline sektormoment;

ω – sektorkoordinaat;

A – ristlõike pindala.

Sektorkoordinaadi nullpunkti koordinaadi leiame avaldisega

$$\omega_M = \frac{S_\omega}{A} \quad (\text{T.14})$$

Sektorkoordinaadi nullpunkte võib olla mitu. Sektorkoordinaadi peanullpunkt on lõikekeskmele kõige lähemal.

3, 37, 38

Sektorkoordinaat e sektorpindala (eurokoodeksis – sektoriaalpindala; sks Sektorcoordinate, ingl sectorial coordinate, vn секториальная координата) on pindala koordinaat. **Sektorkoordinaadi** tähis on ω . Sektorkoordinaat määratakse integraaliga:

$$\omega_N = \int_{s_1}^{s_2} r \, ds \quad (\text{T.15})$$

kus

r – pooluse kaugus keskjoone puutujast, mis läbib punkti N;

ds – keskjoone diferentsiaal.

3, 21, 26, 31, 37, 39, 41, 92, 107

Sektortsentrifugaalmoment (skS sektorielles Deviationsmoment, ingl sectorial deviation moment, vn секториальный центробежный момент инерции, kasutusel ka секториально-линейный центробежный статический момент) on integraalina väljenduv summa. **Sektortsentrifugaalmomendi** tähis on $I_{\omega y}$ või $I_{\omega z}$. Sektortsentrifugaalmoment määratakse integraaliga:

$$I_{\omega y} = \int_A z \omega \, dA, \quad I_{\omega z} = \int_A y \omega \, dA \quad (\text{T.16})$$

kus

ω – sektorkoordinaat;

$I_{\omega z}$ – sektortsentrifugaalmoment keskpeatelje y suhtes;

$I_{\omega y}$ – sektortsentrifugaalmoment keskpeatelje z suhtes;

A – ristlõike pindala.

3, 158

Staatiline sektormoment (eurokoodeksis – sektoriaal-staatiline moment; sks statisches Sektormoment, ingl warping statical moment, vn секториальный статический момент). **Staatiline sektormoment** S_ω määratakse integraaliga:

$$S_\omega = \int_A \omega \, dA \quad (\text{T.17})$$

kus

ω – sektorkoordinaat;

A – ristlõike pindala.

3, 29

Suhteline väändenurk (skS Verdrillung e relativer Verdrehwinkel, ingl rotation per unit length e twist, vn относительный угол закручивания) iseloomustab varda väändenurga muutumist varda telje suunas. **Suhtelise väändenurga** tähis on θ' .

$$\theta' = \frac{d\theta}{dx} \quad (\text{T.18})$$

kus

θ – väändenurk.

41, 55, 62, 68, 74, 75, 80, 81, 86, 87, 92, 93, 98, 109, 110

Tunnusarv väändel (sks Stabkennzahl für Torsion [KK13, lk 89], [WE98, lk 18], ingl torsion parameter [HM12] e warping parameter [VN87], vn корень характеристического уравнения [Fil78, lk 318, 407]) iseloomustab kooldumise määra. **Tunnusarv väändel** ϵ_t saadakse õhukeseseinalise varda takistatud väände diferentsiaalvõrrandi vastavast karakteristiklikust võrrandist.

$$\epsilon_t = l\kappa = l\sqrt{\frac{GI_t}{EI_\omega}} \quad (\text{T.19})$$

kus

l – varda pikkus;

κ – kooldekarakteristik;

GI_t – vabaväändejäikus;

EI_ω – kooldejäikus.

44

Vabaväändejäikus (sks Torsionssteifigkeit, ingl torsional rigidity e St. Venant torsional constant, vn жесткость при чистом кручении) avaldub nihkeelastsusmooduli G ja väändeinertsimomendi I_t korrutisena:

$$GI_t = G \times I_t \quad (\text{T.20})$$

kus

I_t – väändeinertsimoment;

G – nihkeelastsusmoodul e nihkemoodul e Coulomb'i moodul, mis on antud avaldisega $G = E/(1 + \nu)$, kus E on elastsusmoodul ja ν on Poissoni tegur. Konstruksiooni terastel $\nu \approx 0.25 \dots 0.3$, $E/G = 2.6$ ja $G \approx 81$ GPa.

16, 44, 45, 55, 62, 68, 74, 80, 86, 92, 98, 110, 121, 137

Vabaväändemoment (eurokoodeksis – vabaväände (St. Venant'i väände) väändemoment; sks Torsionsmoment (Saint-Venant Torsion), ingl St. Venant torsional moment, vn момент чистого кручения). **Vabaväändemomendi** T_t ja väändenurga $\theta(x)$ tuletis varda teljesuunalise koordinaadi järgi on omavahel seotud:

$$T_t = GI_t\theta' \quad (\text{T.21})$$

kus

θ' – väändenurga tuletis varda teljesuunalise koordinaadi järgi;

GI_t – vabaväändejäikus.

15, 24, 30, 41, 43, 45, 55, 56, 60, 62, 63, 66, 68, 69, 72, 74, 78, 80, 84, 86, 90, 92, 96, 98, 99, 103, 109, 112, 117, 121, 128, 134, 137, 146, 168, 178, 191–195, 197, 198

Väändeinertsimoment (eurokoodeksis – ristlõike väändeinertsimoment; sks Torsion-trägheitsmoment, ingl St. Venant torsional constant, vn момент инерции при чистом кручении) võib pidada polaarinertsimomendi üldistuseks. **Väändeinertsimomendi** tähis on I_t . Väändeinertsimomendi määramiseks võib leida avaldise teatmikest.

$$I_t = \frac{1}{3}\eta \sum_{i=1}^n b_i \delta_i^3 \quad (\text{T.22})$$

kus

b_i ja δ_i – ristlõikes oleva väljavenitatud ristkülikulise lehe küljed ($b_i \gg \delta_i$);

η – tegur, mille väärus sõltub ristlõike kujust: L-profilil $\eta = 1.00 \dots 1.10$, I-profilil $\eta = 1.2$, U-profilil $\eta = 1.12$ ja T-profilil $\eta = 1.15$ [Sad63, lk 23].

Väändeinertsimomendi I_t arvutamist õhukeseseinalise suletud ristlõike korral vt [KM-PR12, lk 305].

16, 43, 166, 199

Väändenurk (eurokoodeksis – väändenurk; sks Drehwinkel, ingl torsional angle, vn угол закручивания) mõeldab varda ristlõigete pöördumist üksteise suhtes. Väändenurga tähis on θ .

15, 19, 21, 32, 41, 43, 55, 60, 62, 66, 68, 72, 74, 75, 78, 80, 81, 84, 86, 87, 90, 92, 93, 96, 98, 103, 109, 110, 117, 121, 127, 133, 137, 145, 191–195, 197, 198

